

女川原子力発電所第2号機 工事計画審査資料	
資料番号	02-工-B-19-0163_改 0
提出年月日	2021年 6月 2日

VI-2-2-13 軽油タンク室の地震応答計算書

O 2 (3) VI-2-2-13 R O

2021年6月

東北電力株式会社

目 次

1. 概要	1
2. 基本方針	2
2.1 位置	2
2.2 構造概要	3
2.3 解析方針	5
2.4 適用基準	7
3. 解析方法	8
3.1 地震時荷重算出断面	8
3.2 解析方法	11
3.2.1 構造部材	11
3.2.2 地盤物性及び材料物性のばらつき	11
3.2.3 減衰定数	12
3.2.4 地震応答解析の解析ケースの選定	13
3.3 荷重及び荷重の組合せ	15
3.3.1 耐震評価上考慮する状態	15
3.3.2 荷重	15
3.3.3 荷重の組合せ	16
3.4 入力地震動	17
3.5 解析モデル及び諸元	46
3.5.1 解析モデル	46
3.5.2 使用材料及び材料の物性値	49
3.5.3 地盤の物性値	49
3.5.4 地下水位	50
4. 解析結果	52
4.1 南北方向の解析結果	52
4.2 東西方向（タンク室）の解析結果	119
4.3 東西方向（ポンプ室）の解析結果	176

1. 概要

本資料は、添付書類「VI-2-1-6 地震応答解析の基本方針」に基づき実施する軽油タンク室の地震応答解析について説明するものである。

本地震応答解析は、軽油タンク室が耐震性に関する技術基準へ適合することを確認するために用いる応答値を抽出するものである。

軽油タンク室は、面部材として加振方向に平行に配置される妻壁や隔壁を有する箱形構造物であることから、二次元地震応答解析により地震時荷重を算定し、その荷重を三次元構造解析モデルに作用させて耐震評価を実施するものである。よって、地震応答解析により抽出する応答値は、三次元構造解析モデルに作用させる地震時土圧、慣性力及び基礎地盤に発生する接地圧である。

また、機器・配管系が耐震性に関する技術基準へ適合することを確認するために用いる応答値の抽出を行う。

2. 基本方針

2.1 位置

軽油タンク室の位置を図 2-1 に示す。

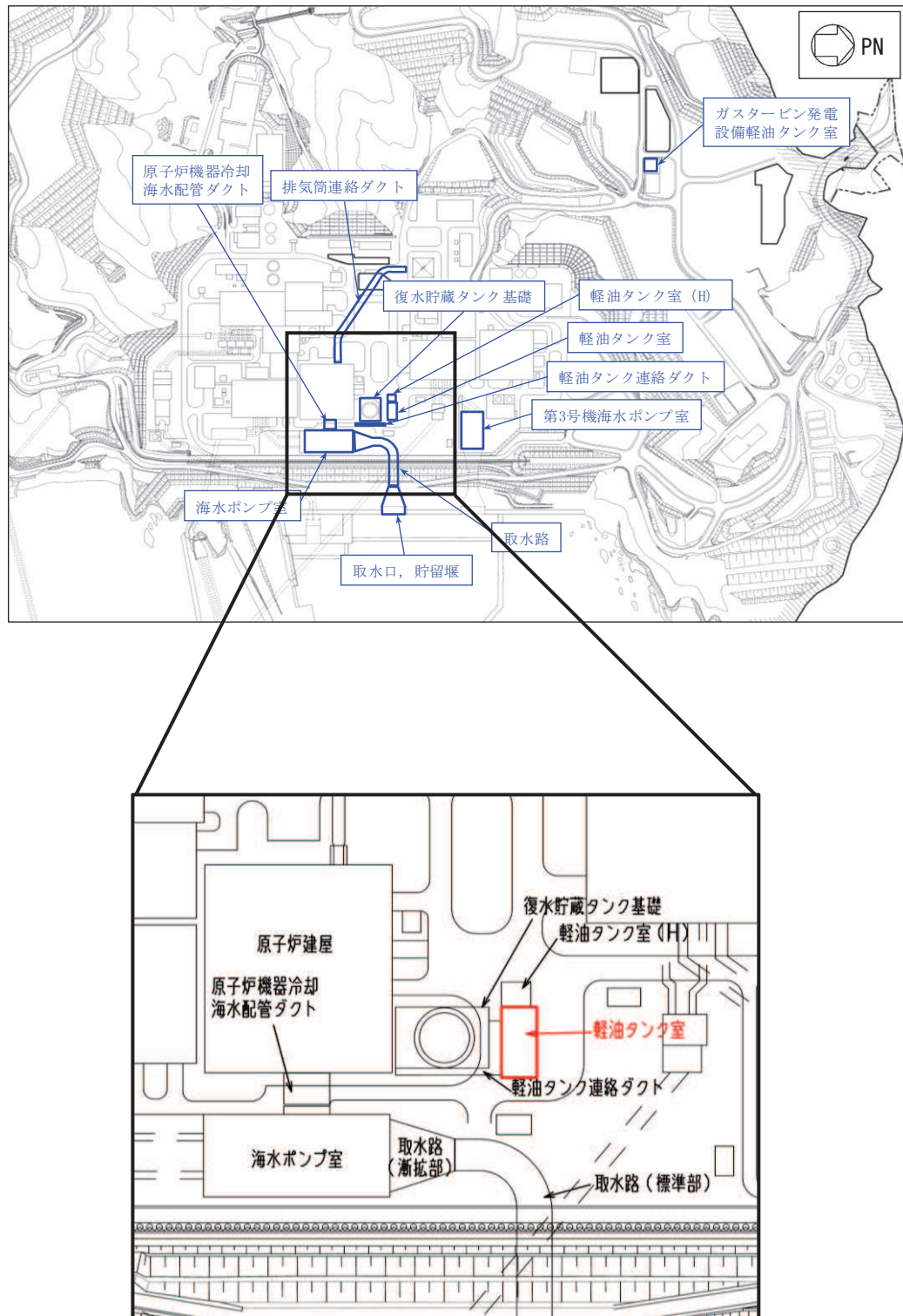


図 2-1 軽油タンク室の位置図

2.2 構造概要

軽油タンク室の平面図を図 2-2 に、断面図を図 2-3、図 2-4 及び図 2-5 に示す。

軽油タンク室は、軽油タンクや燃料移送ポンプ等を間接支持しており、支持機能が要求される。

軽油タンク室は、幅 32.40m（東西）×20.70m（南北）、高さ 6.80m の鉄筋コンクリート造の地中構造物で、二連ボックスカルバート構造の 2 室のタンク室と、タンク室南側に位置し三連のボックスカルバート状の断面を有する 3 室のポンプ室にて構成され、マンメイドロック（以下「MMR」という。）を介して十分な支持性能を有する岩盤に設置されている。

軽油タンク室は、面部材として加振方向に平行に配置される妻壁や隔壁を有する箱形構造物である。

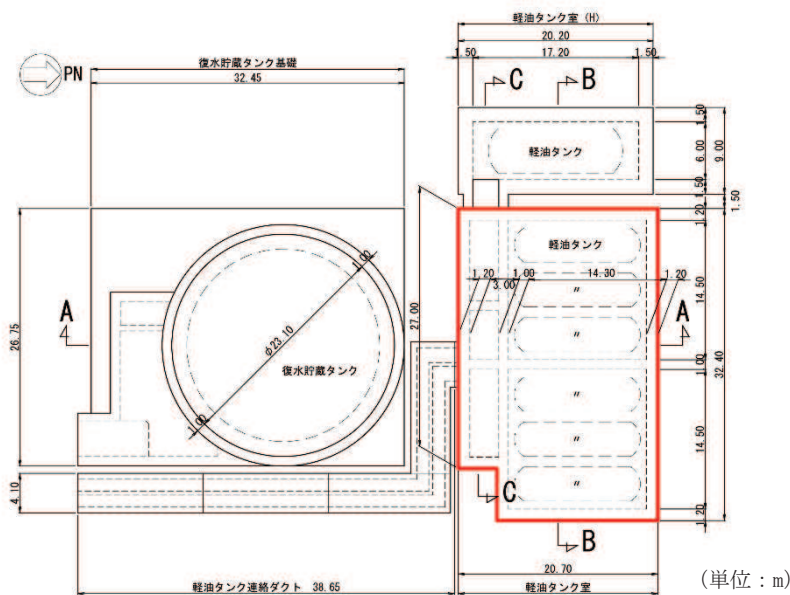


図 2-2 軽油タンク室平面図

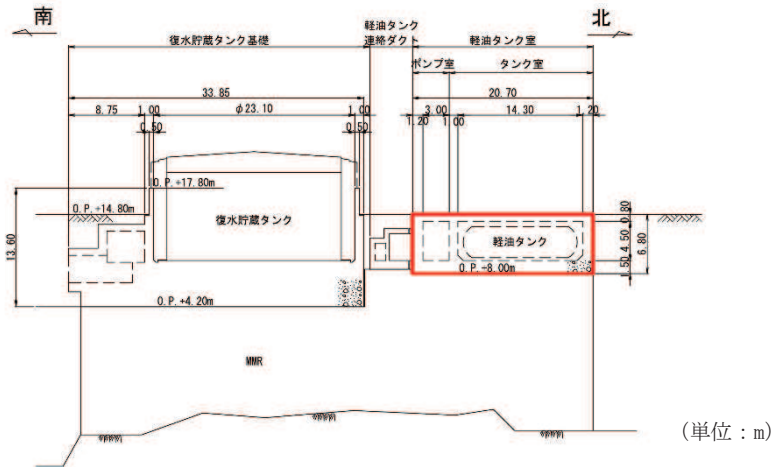


図 2-3 軽油タンク室断面図 (A-A 断面, 南北)

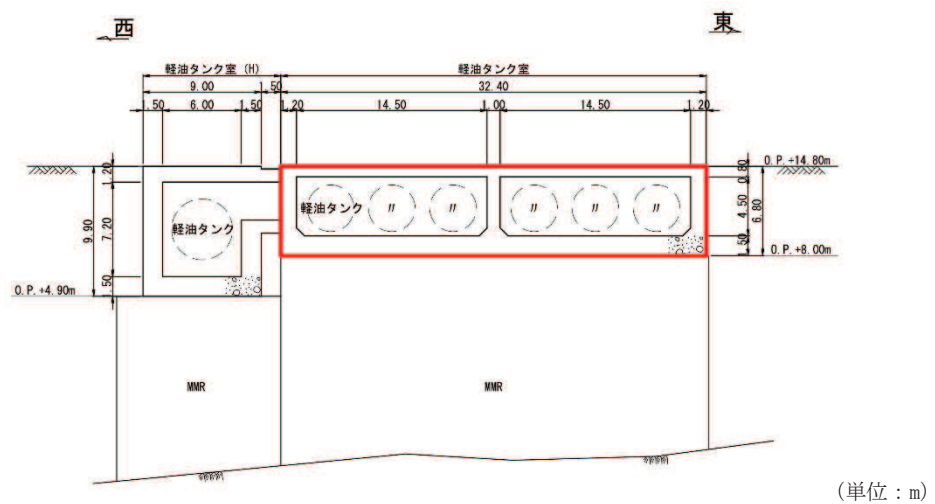


図 2-4 軽油タンク室断面図 (B-B 断面, 東西 (タンク室))

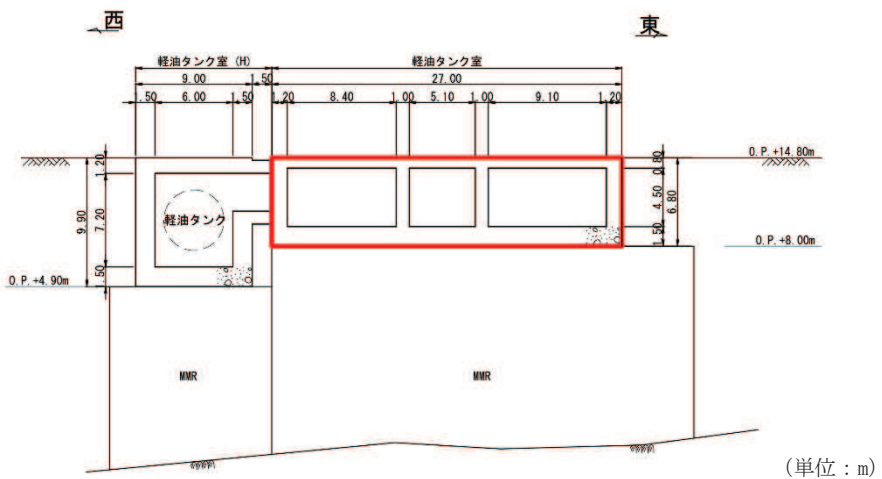


図 2-5 軽油タンク室断面図 (C-C 断面, 東西 (ポンプ室))

2.3 解析方針

軽油タンク室は、添付書類「VI-2-1-6 地震応答解析の基本方針」に基づき、基準地震動 S_s 及び弹性設計用地震動 S_d に対して地震応答解析を実施する。

図 2-6 に軽油タンク室の地震応答解析フローを示す。

地震応答解析は、「2. 基本方針」に基づき、「3.1 地震時荷重算出断面」に示す断面において、「3.2 解析方法」に示す水平地震動と鉛直地震動の同時加振による二次元有限要素法による時刻歴応答解析により行うこととし、地盤物性及び材料物性のばらつきを適切に考慮する。

二次元有限要素法による時刻歴応答解析は、「3.3 荷重及び荷重の組合せ」及び「3.5 解析モデル及び諸元」に示す条件を基に、「3.4 入力地震動」により設定する入力地震動を用いて実施する。

地震応答解析による応答加速度は、機器・配管系の設計用床応答曲線の作成に用い、地震時土圧、慣性力及び基礎地盤の接地圧は、軽油タンク室の耐震評価に用いる。

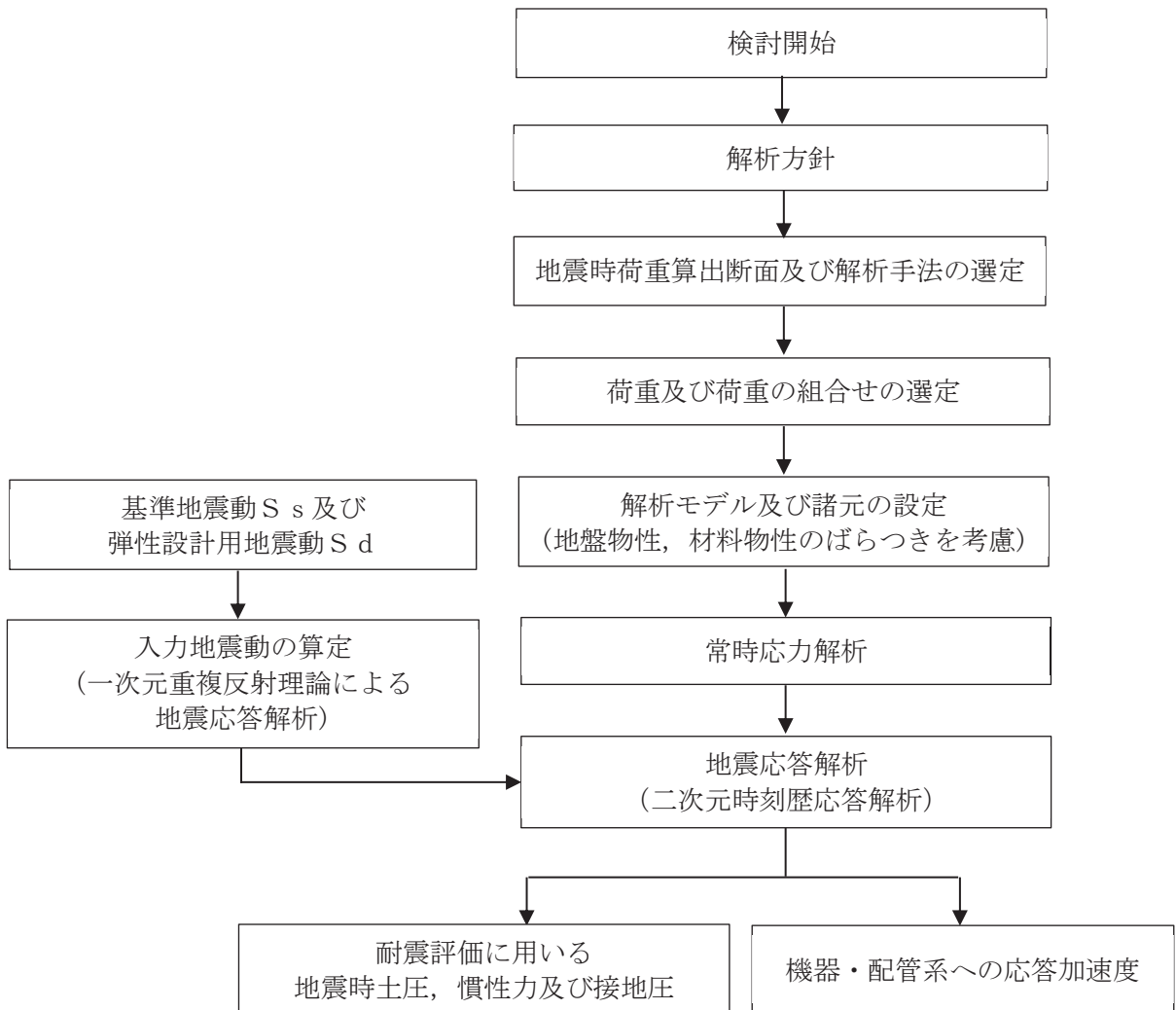


図 2-6 軽油タンク室の地震応答解析フロー

2.4 適用基準

適用する規格、基準等を以下に示す。

- ・コンクリート標準示方書[構造性能照査編]（土木学会、2002年制定）
- ・原子力発電所屋外重要土木構造物の耐震性能照査指針・マニュアル（土木学会 原子力土木委員会、2005年6月）
- ・原子力発電所耐震設計技術指針 J E A G 4 6 0 1 – 1987（社団法人 日本電気協会 電気技術基準調査委員会）

3. 解析方法

3.1 地震時荷重算出断面

軽油タンク室の地震時荷重算出断面位置を図3-1に示す。地震時荷重算出断面は、構造的特徴や周辺地質状況を踏まえ、タンク軸方向で構造物の中心を通る南北方向（A-A断面）及びタンクの軸方向に対し直交する東西方向とし、東西方向は妻壁や隔壁の配置が異なることによる剛性差を考慮して、タンク室を通る断面（B-B断面、東西（タンク室））とポンプ室を通る断面（C-C断面、東西（ポンプ室））とする。地震時荷重算出用地質断面図を図3-2～図3-4に示す。

なお、加振方向に平行に配置され耐震上見込むことができる面部材の配置から、南北方向(A-A断面)が弱軸方向となり、東西方向(B-B断面及びC-C断面)が強軸方向となる。よって、構造物の耐震評価に用いる応答値の抽出は、弱軸方向に対して実施し、機器・配管系の耐震評価に用いる応答値の抽出は、弱軸方向及び強軸方向に対して実施する。

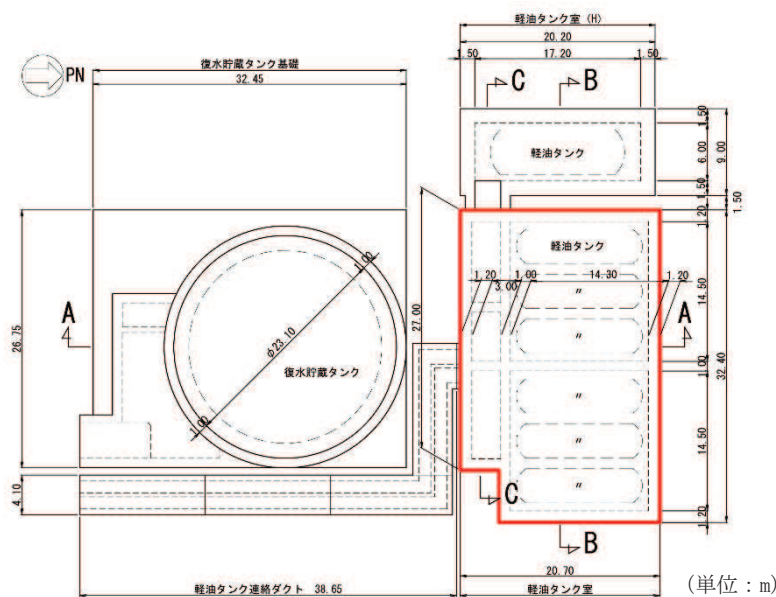


図 3-1 軽油タンク室の地震時荷重算出断面位置図

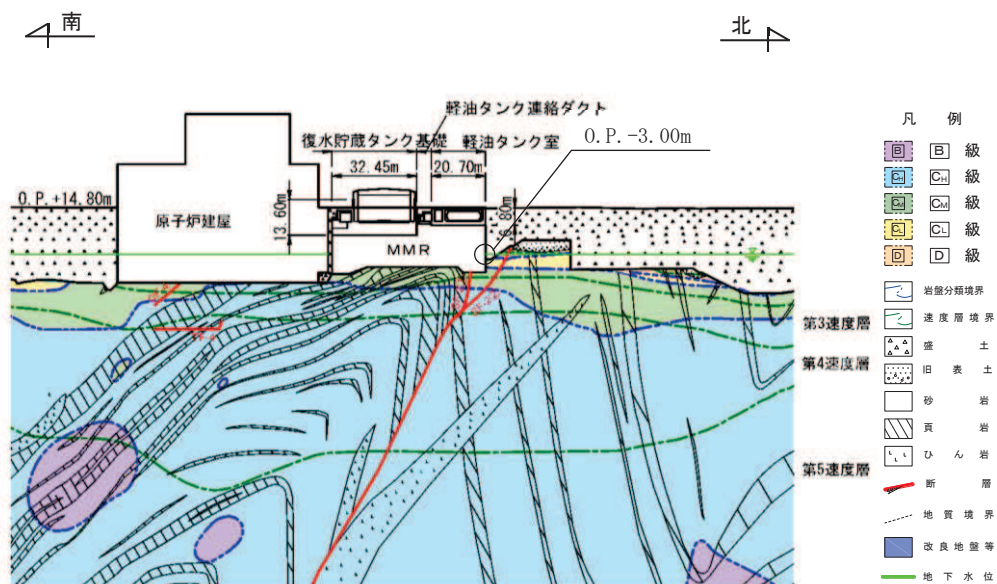


図 3-2 軽油タンク室 地震時荷重算出用地質断面図 (A-A 断面, 南北)

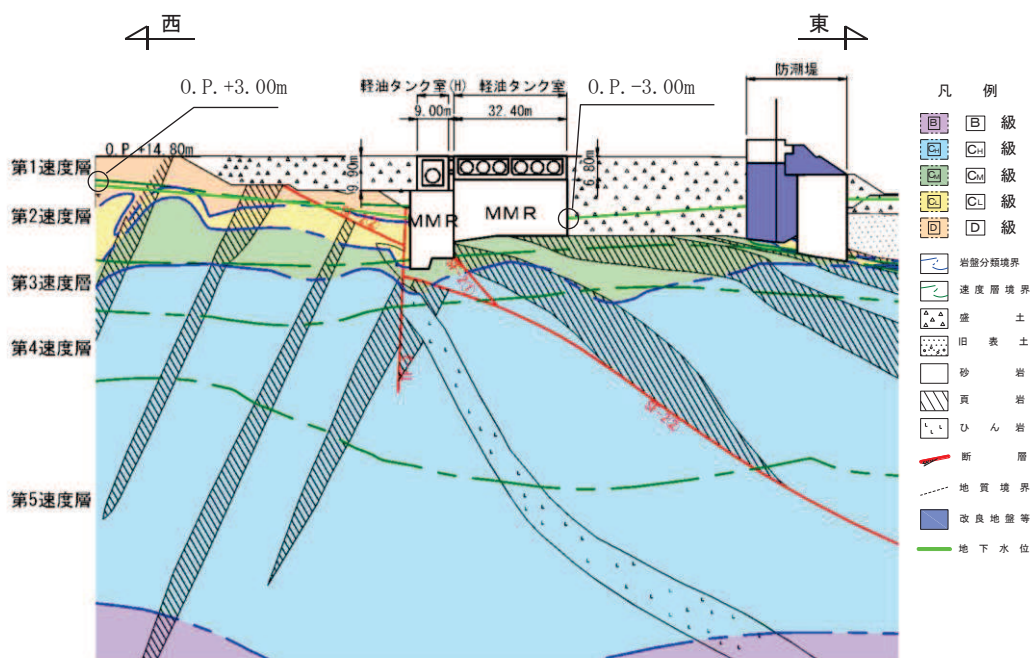


図 3-3 軽油タンク室 地震時荷重算出用地質断面図 (B-B 断面, 東西 (タンク室))

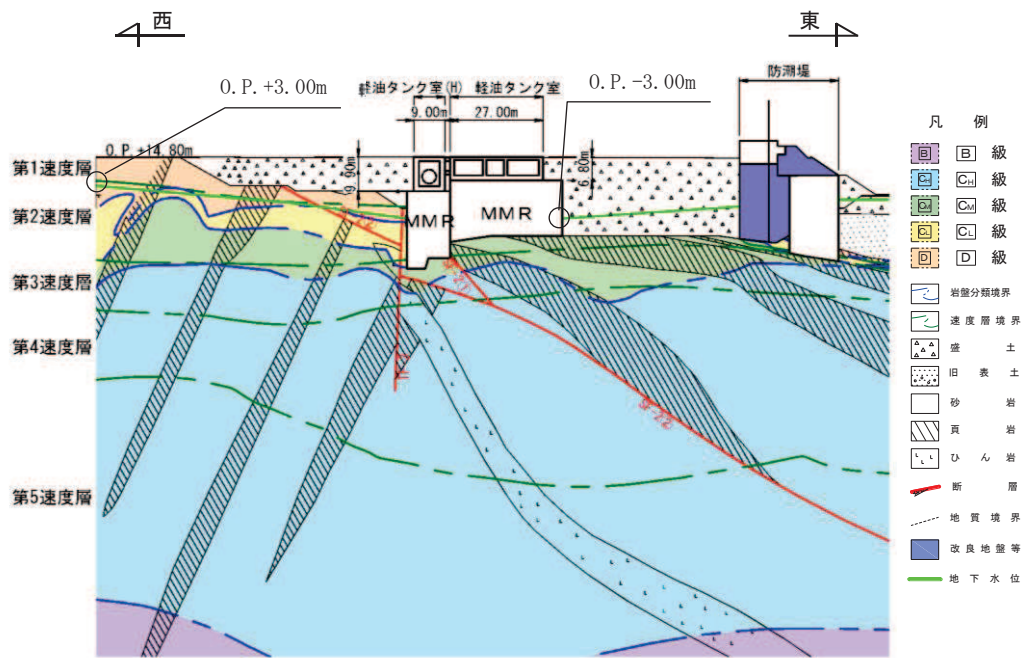


図 3-4 軽油タンク室 地震時荷重算出用地質断面図 (C-C 断面, 東西 (ポンプ室))

3.2 解析方法

軽油タンク室の地震応答解析は、添付書類「VI-2-1-6 地震応答解析の基本方針」のうち、「2.3 屋外重要土木構造物」に示す解析方法及び解析モデルを踏まえて実施する。

地震応答解析は、構造物と地盤の相互作用を考慮できる二次元動的有限要素法により、基準地震動 S_s 及び弾性設計用地震動 S_d に基づき設定した水平地震動と鉛直地震動の同時加振による逐次時間積分の時刻歴応答解析（全応力解析）により行う。

南北方向において隣接構造物となる原子炉建屋は、軽油タンク室の耐震評価において保守的な評価になるよう盛土としてモデル化する。一方、軽油タンク室は復水貯蔵タンク基礎と同一の MMR を共有しており、お互いの振動の影響を受けることから、復水貯蔵タンク基礎及び復水貯蔵タンクをモデル化する。東西方向においては、軽油タンク室 (H) の MMR と接しており、お互いの振動の影響を受けることから、軽油タンク室 (H) とその MMR 及び軽油タンクをモデル化する。

構造部材については、頂版、底版及び地震時荷重算出断面に垂直な壁部材は線形はり要素、断面に平行な壁部材は平面応力要素とし、構造物の奥行方向の長さと各部材の奥行方向の長さの比率や三次元構造解析モデルとの変位を整合させるためのヤング係数の調整を行い、実構造物と等価な剛性となるようモデル化する。また、地盤については地盤のひずみ依存性を適切に考慮できるようモデル化する。

地震応答解析については、解析コード「SLAP Ver. 6.64」を使用する。なお解析コードの検証及び妥当性確認等の概要については、添付書類「VI-5 計算機プログラム（解析コード）の概要」に示す。

3.2.1 構造部材

鉄筋コンクリート部材は、線形はり要素及び平面応力要素でモデル化する。

3.2.2 地盤物性及び材料物性のばらつき

地盤物性及び材料物性のばらつきの影響を考慮するため、表 3-1 に示す解析ケースを設定する。

軽油タンク室は、MMR 上に設置され、周囲が埋戻されており、主たる荷重は盛土等の土圧となることから、盛土、旧表土及び D 級岩盤の初期せん断係数のばらつきを考慮する。

初期せん断弾性係数の標準偏差 σ を用いて設定した解析ケース②及び③を実施することにより地盤物性のばらつきの影響を網羅的に考慮する。

また、材料物性のばらつきとして構造物の実強度に基づいて設定した解析ケース④を実施することにより、材料物性のばらつきの影響を考慮する。

詳細な解析ケースの考え方は、「3.2.4 地震応答解析の解析ケースの選定」に示す。

表 3-1 解析ケース

解析ケース	材料物性 (コンクリート) (E_0 : ヤング係数)	地盤物性	
		盛土, 旧表土, D 級岩盤 (G_0 : 初期せん断弾性係数)	C_L 級岩盤, C_M 級岩盤, C_H 級岩盤, B 級岩盤 (G_d : 動せん断弾性係数)
ケース① (基本ケース)	設計基準強度	平均値	平均値
ケース②	設計基準強度	平均値+ 1σ	平均値
ケース③	設計基準強度	平均値- 1σ	平均値
ケース④	実強度に基づく 圧縮強度*	平均値	平均値

注記*：既設構造物のコア採取による圧縮強度試験の結果を使用する。

3.2.3 減衰定数

構造部材の減衰定数は、粘性減衰で考慮する。

粘性減衰は、固有値解析にて求められる固有周期と各材料の減衰比に基づき、質量マトリックス及び剛性マトリックスの線形結合で表される以下の Rayleigh 減衰を解析モデル全体に与える。固有値解析結果に基づき設定した α , β を表 3-2 に示す。

$$[c] = \alpha [m] + \beta [k]$$

[c] : 減衰係数マトリックス

[m] : 質量マトリックス

[k] : 剛性マトリックス

α , β : 係数

表 3-2 Rayleigh 減衰における係数 α , β の設定結果

地震時荷重算出断面	α	β
南北方向	2.357×10^{-1}	1.273×10^{-3}
東西方向 (タンク室)	2.315×10^{-1}	1.296×10^{-3}
東西方向 (ポンプ室)	2.311×10^{-1}	1.298×10^{-3}

3.2.4 地震応答解析の解析ケースの選定

(1) 耐震評価における解析ケース

耐震評価においては、すべての基準地震動 S_s に対し、解析ケース①（基本ケース）を実施する。解析ケース①において、曲げ・軸力系の破壊、せん断破壊及び地盤の支持力照査の照査項目ごとに照査値が 0.5 以上となるすべての照査項目に対して、最も厳しい地震動を用いて、表 3-1 に示す解析ケース②～④を実施する。耐震評価における解析ケースを表 3-3 に示す。

表 3-3 耐震評価における解析ケース

解析ケース			ケース①	ケース②	ケース③	ケース④					
基本ケース			地盤物性のばらつき ($+1\sigma$) を考慮した解析ケース			材料物性 (コンクリート) に実強度を考慮した解析ケース					
地盤物性			平均値			平均値					
材料物性			設計基準強度			設計基準強度					
地震動 (位相)	S _s -D 1	++ * ¹	○	基準地震動 S_s (7 波) に水平動の位相反転を考慮した地震動 (7 波) を加えた全 14 波により照査を行ったケース① (基本ケース) の結果から、曲げ・軸力系の破壊、せん断破壊及び基礎地盤の支持力照査の照査項目ごとに照査値が 0.5 以上となる照査項目に対して、最も厳しい (許容限界に対する裕度が最も小さい) 地震動を用いてケース②～④を実施する。 すべての照査項目の照査値がいずれも 0.5 未満の場合は、照査値が最も厳しくなる地震動を用いてケース②～④を実施する。							
		-+ * ¹	○								
	S _s -D 2	++ * ¹	○								
		-+ * ¹	○								
	S _s -D 3	++ * ¹	○								
		-+ * ¹	○								
	S _s -F 1	++ * ¹	○								
		-+ * ¹	○								
	S _s -F 2	++ * ¹	○								
		-+ * ¹	○								
	S _s -F 3	++ * ¹	○								
		-+ * ¹	○								
	S _s -N 1	++ * ¹	○								
		-+ * ¹	○								

注記 *1 : 耐震評価にあたっては、原子力発電所屋外重要土木構造物の耐震性能照査指針・マニュアル（土木学会 原子力土木委員会、2005 年 6 月）（以下「土木学会マニュアル」という。）に従い、水平方向の位相反転を考慮する。地震動の位相について、++ の左側は水平動、右側は鉛直動を表し、「-」は位相を反転させたケースを示す。

*2 : 既設構造物のコア採取による圧縮強度試験の結果を使用する。

(2) 機器・配管系に対する応答加速度抽出のための解析ケース

機器・配管系に対する応答加速度抽出においては、床応答への保守的な配慮として解析ケース①に加え、表3-1に示す解析ケース②～④を実施する。機器・配管系の応答加速度抽出における解析ケースを表3-4に示す。

表3-4 機器・配管系の応答加速度抽出のための解析ケース

解析ケース			ケース①	ケース②	ケース③	ケース④	
地震動(位相)	地盤物性		基本ケース	地盤物性のばらつき (+1σ) を考慮した解析ケース	地盤物性のばらつき (-1σ) を考慮した解析ケース	材料物性(コンクリート)に実強度を考慮した解析ケース	
	材料物性			平均値	平均値+1σ	平均値-1σ	平均値
	S s-D 1	++ ^{*1}	○	○	○	○	○
	S d-D 1						
	S s-D 2	++ ^{*1}	○	○	○	○	○
	S d-D 2						
	S s-D 3	++ ^{*1}	○	○	○	○	○
	S d-D 3						
	S s-F 1	++ ^{*1}	○	○	○	○	○
	S d-F 1						
	S s-F 2	++ ^{*1}	○	○	○	○	○
	S d-F 2						
	S s-F 3	++ ^{*1}	○	○	○	○	○
	S d-F 3						
	S s-N 1	++ ^{*1}	○	○	○	○	○
	S d-N 1						

注記*1：地震動の位相について、++の左側は水平動、右側は鉛直動を表す。

*2：既設構造物のコア採取による圧縮強度試験の結果を使用する。

3.3 荷重及び荷重の組合せ

荷重及び荷重の組合せは、添付書類「VI-2-1-9 機能維持の基本方針」に基づき設定する。

3.3.1 耐震評価上考慮する状態

軽油タンク室の地震応答解析において、地震以外に考慮する状態を以下に示す。

(1) 運転時の状態

発電用原子炉施設が運転状態にあり、通常の条件下におかれている状態。ただし、運転時の異常な過渡変化時の影響を受けないことから考慮しない。

(2) 設計基準事故時の状態

設計基準事故時の影響を受けないことから考慮しない。

(3) 設計用自然条件

積雪を考慮する。埋設構造物であるため風の影響は考慮しない。

(4) 重大事故等時の状態

重大事故等時の影響を受けないことから考慮しない。

3.3.2 荷重

軽油タンク室の地震応答解析において、考慮する荷重を以下に示す。

(1) 固定荷重 (G)

固定荷重として、躯体自重、機器・配管荷重を考慮する。

(2) 積載荷重 (P)

積載荷重として、積雪荷重 P_s を含めて地表面に 4.9kN/m^2 を考慮する。

(3) 積雪荷重 (P_s)

積雪荷重として、発電所の最寄りの気象官署である石巻特別地域気象観測所で観測された月最深積雪の最大値である 43cm に平均的な積雪荷重を与えるための係数 0.35 を考慮した値を設定する。また、建築基準法施行令第 86 条第 2 項により、積雪量 1cm ごとに 20N/m^2 の積雪荷重が作用することを考慮する。

(4) 地震荷重 (S_s)

基準地震動 S_s による荷重を考慮する。

(5) 地震荷重 (S_d)

弾性設計用地震動 S_d による荷重を考慮する。

3.3.3 荷重の組合せ

荷重の組合せを表 3-5 に示す。

表 3-5 荷重の組合せ

外力の状態	荷重の組合せ
地震時 (S s)	G + P + S s
地震時 (S d) *	G + P + S d

注記 * : 機器・配管系の耐震設計に用いる。

G : 固定荷重

P : 積載荷重 (積雪荷重 P_s を含めて $4.9kN/m^2$ を地表面に考慮)

S s : 地震荷重 (基準地震動 S s)

S d : 地震荷重 (弾性設計用地震動 S d)

3.4 入力地震動

入力地震動は、添付書類「VI-2-1-6 地震応答解析の基本方針」のうち「2.3 屋外重要土木構造物」に示す入力地震動の設定方針を踏まえて設定する。

地震応答解析に用いる入力地震動は、解放基盤表面で定義される基準地震動 S_s 及び弾性設計用地震動 S_d を一次元重複反射理論により地震応答解析モデル下端位置で評価したものを用いる。なお、入力地震動の設定に用いる地下構造モデルは、添付書類「VI-2-1-3 地盤の支持性能に係る基本方針」のうち「7.1 入力地震動の設定に用いる地下構造モデル」を用いる。

図3-5に入力地震動算定の概念図を、図3-6～図3-33に入力地震動の加速度時刻歴波形及び加速度応答スペクトルを示す。入力地震動の算定には、解析コード「SHAKE Ver. 1.6」を使用する。解析コードの検証及び妥当性確認の概要については、添付書類「VI-5 計算機プログラム（解析コード）の概要」に示す。

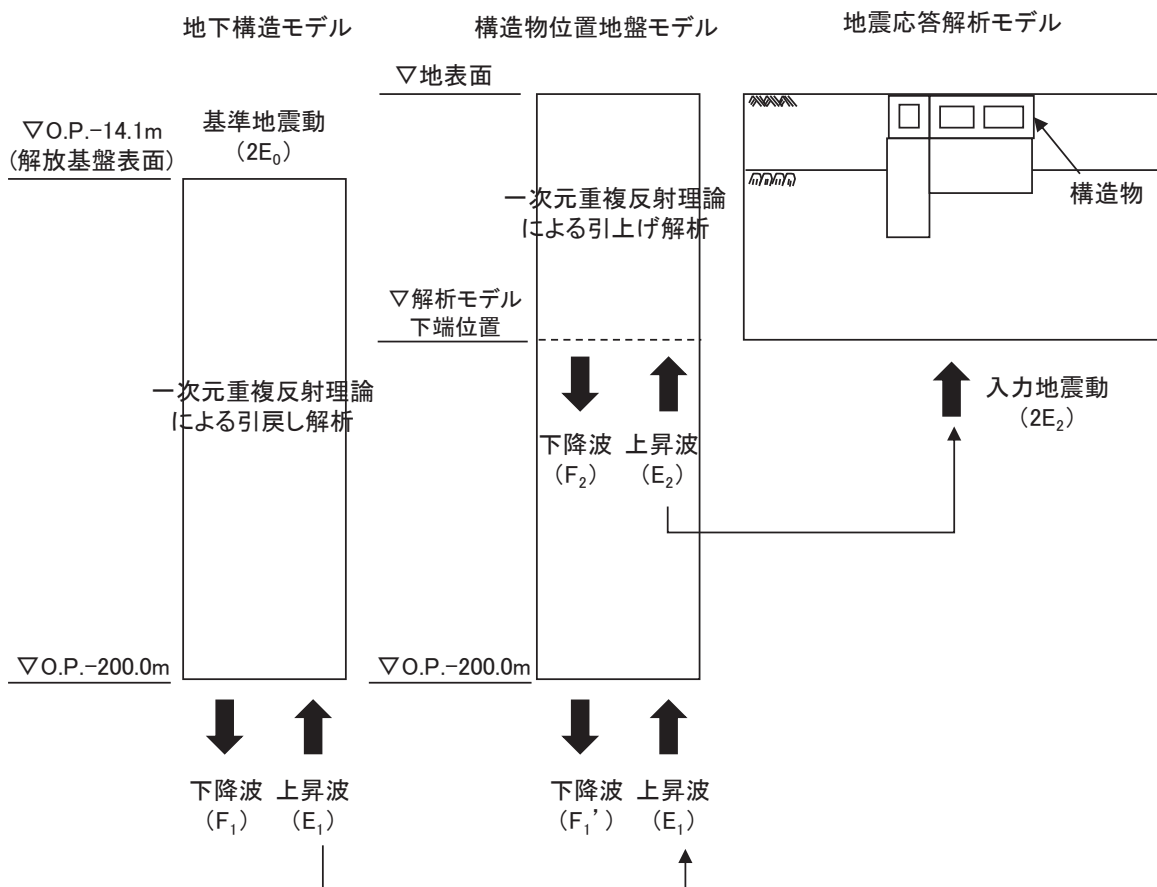
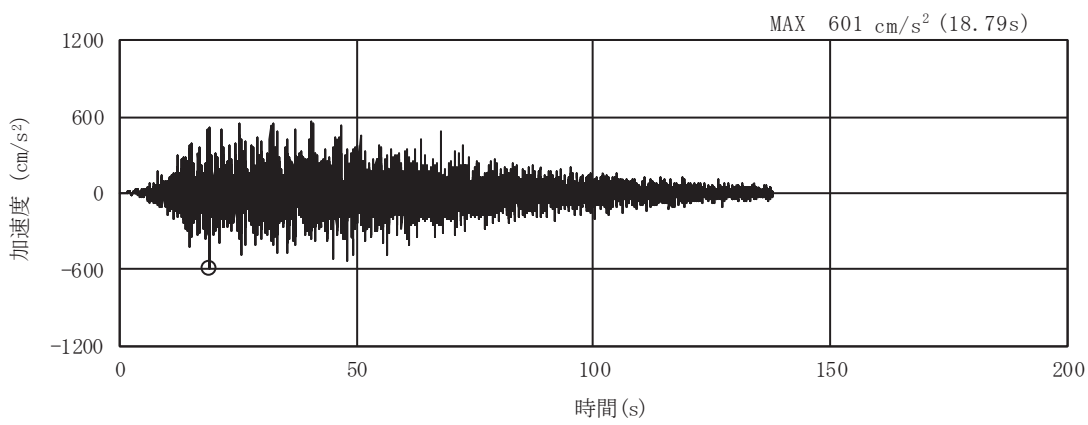
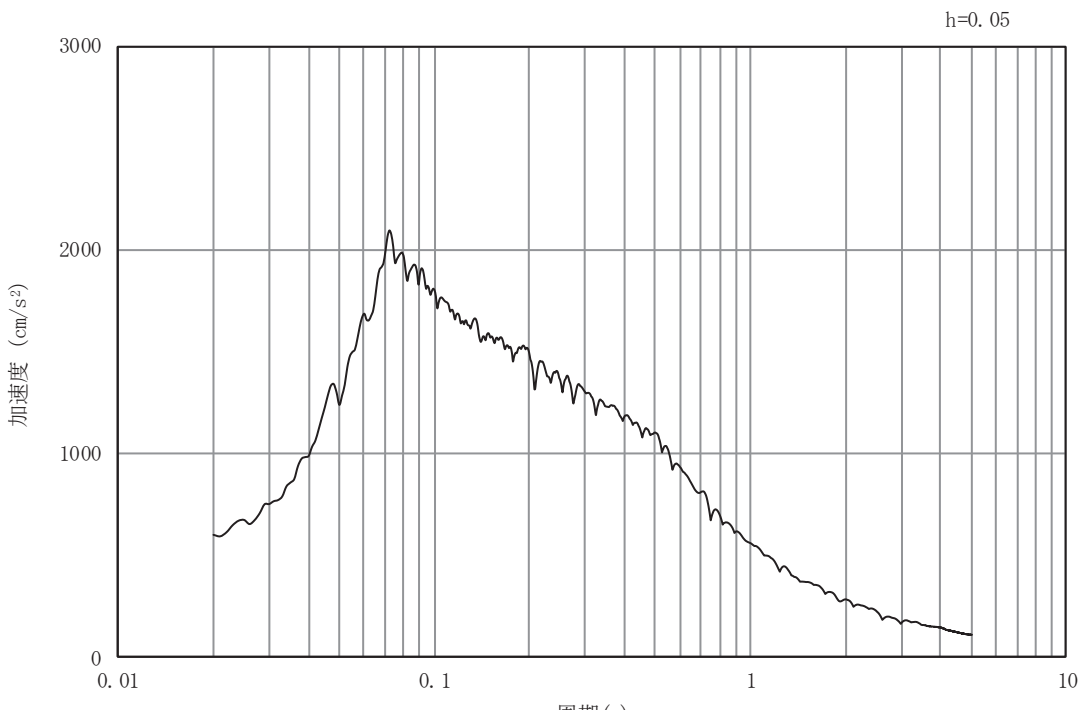


図 3-5 入力地震動算定の概念図

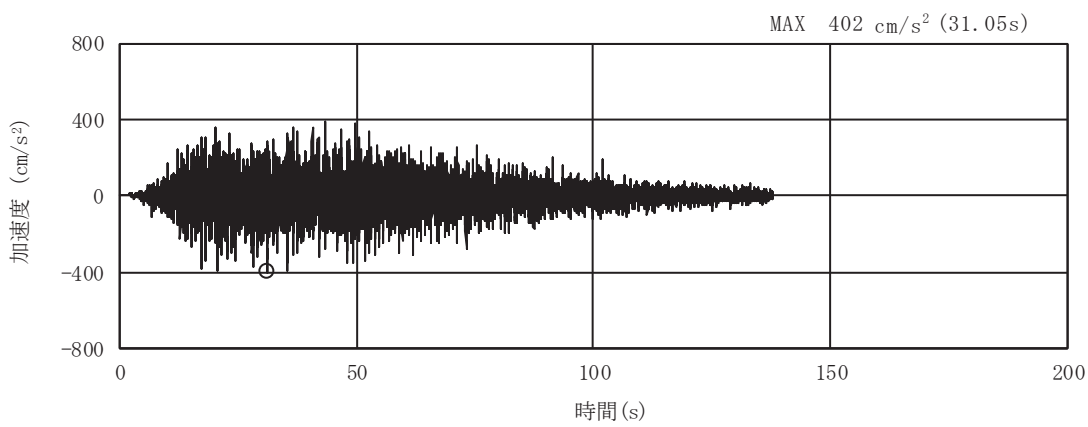


(a) 加速度時刻歴波形

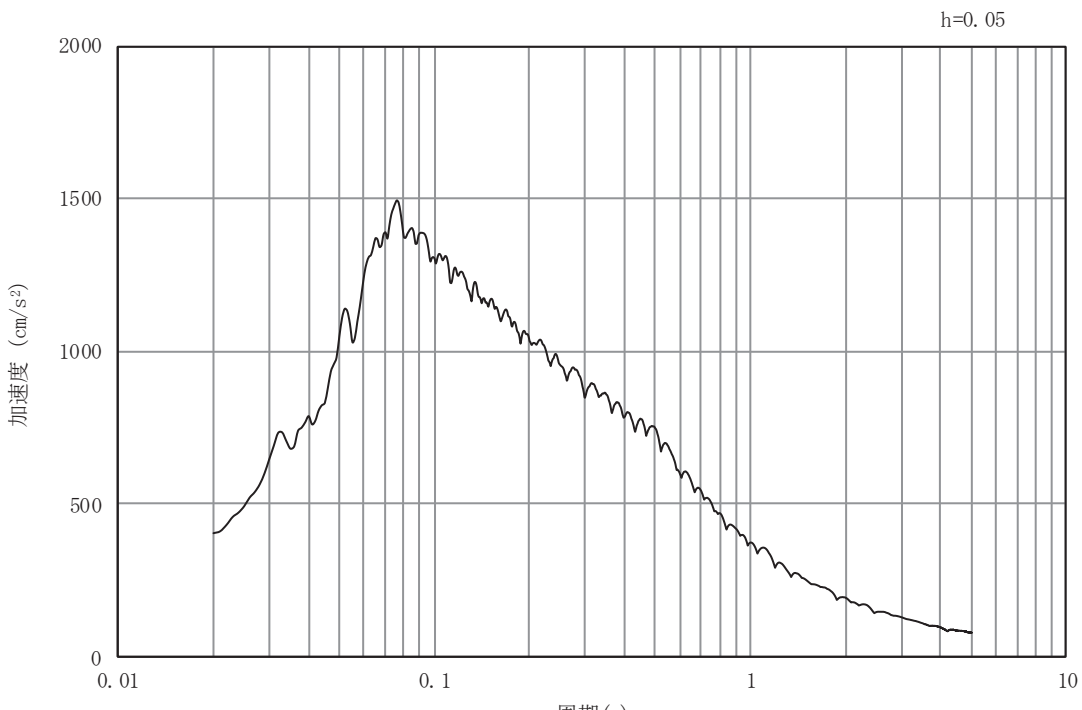


(b) 加速度応答スペクトル

図3-6 入力地震動の加速度時刻歴波形及び加速度応答スペクトル
(水平成分： S s - D 1)

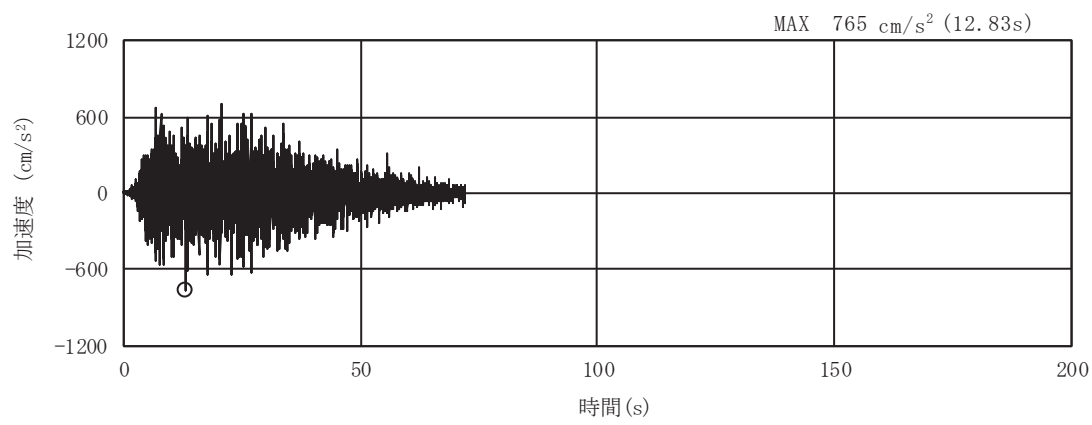


(a) 加速度時刻歴波形

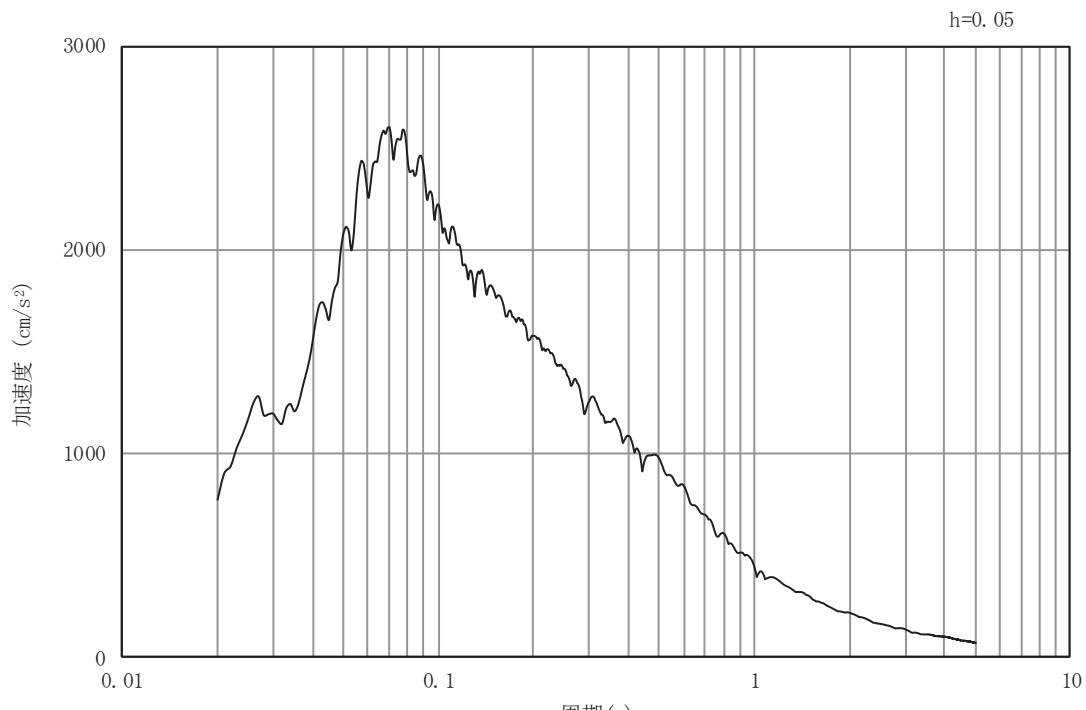


(b) 加速度応答スペクトル

図3-7 入力地震動の加速度時刻歴波形及び加速度応答スペクトル
(鉛直成分: S s-D 1)

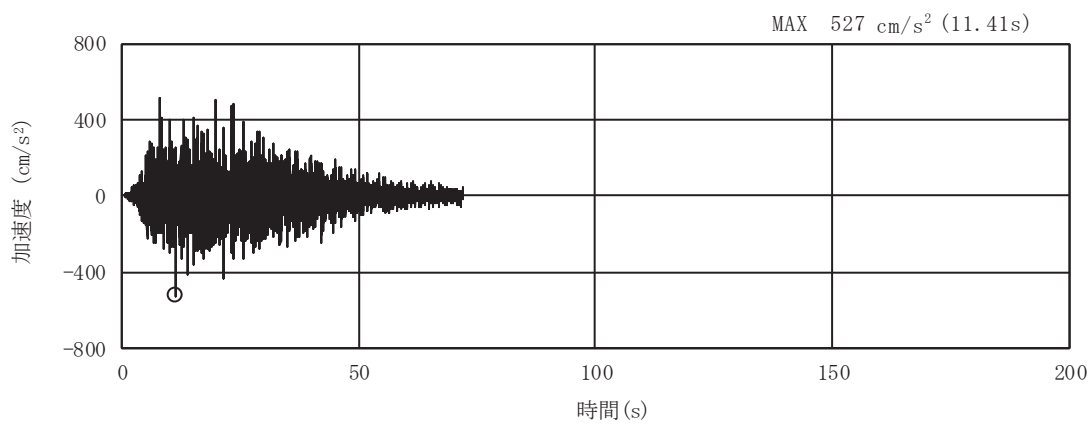


(a) 加速度時刻歴波形

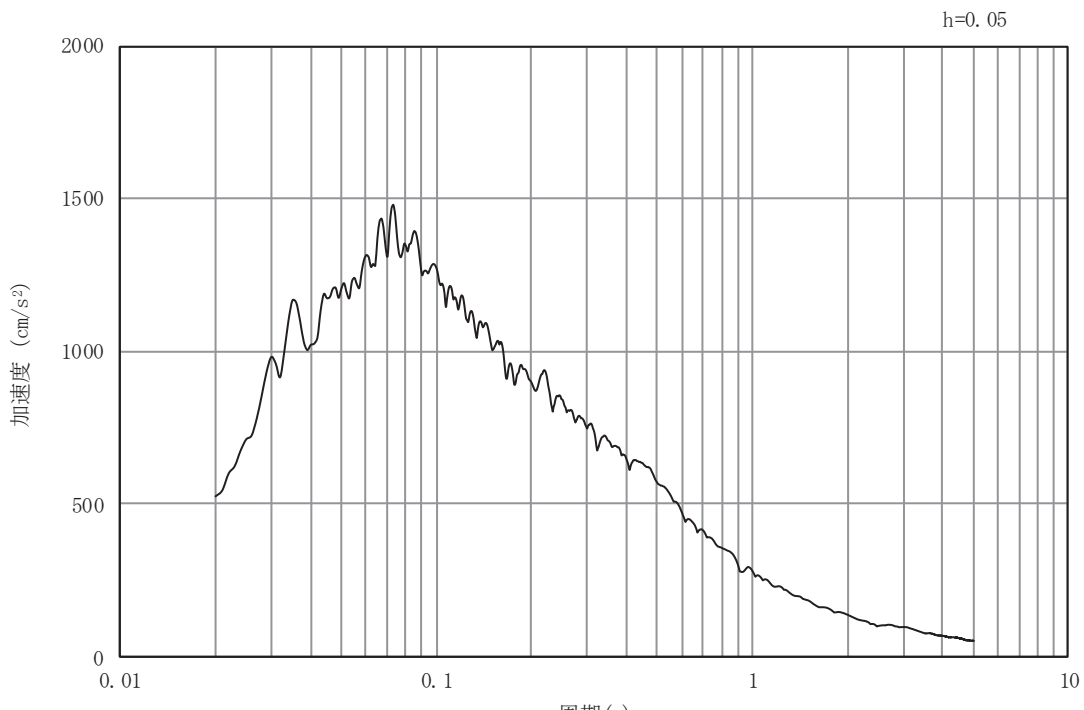


(b) 加速度応答スペクトル

図3-8 入力地震動の加速度時刻歴波形及び加速度応答スペクトル
(水平成分： S s - D 2)

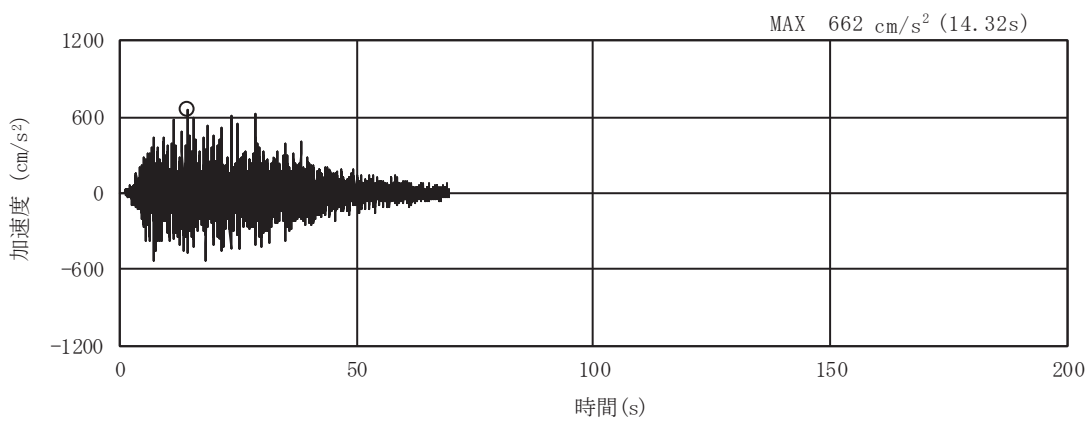


(a) 加速度時刻歴波形

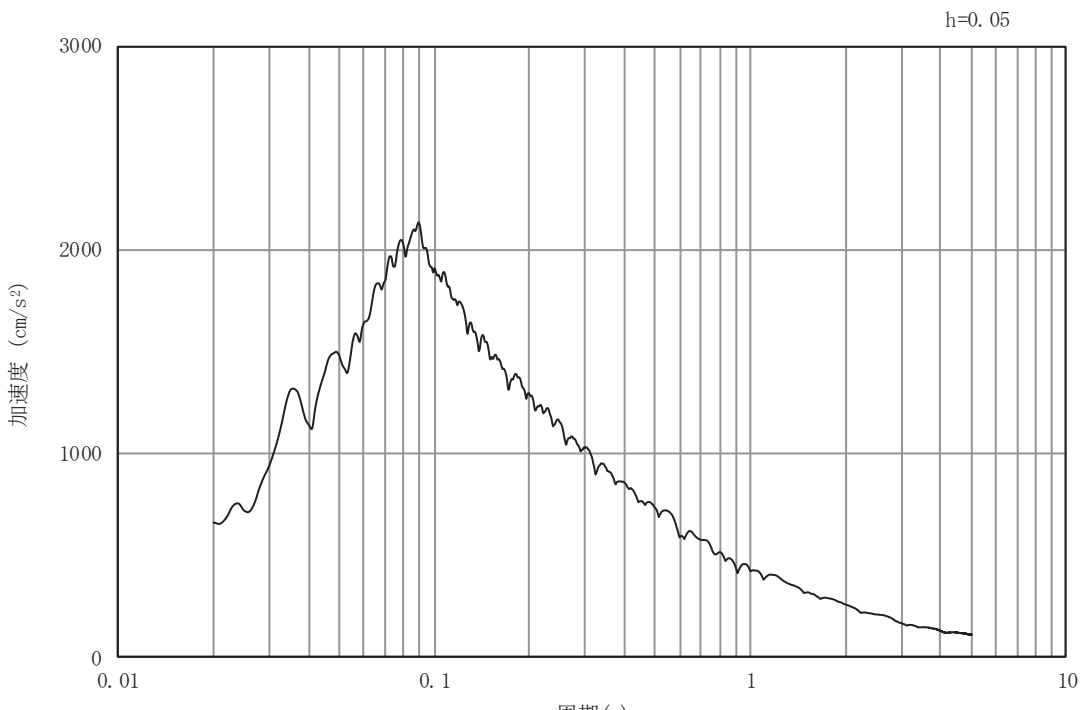


(b) 加速度応答スペクトル

図3-9 入力地震動の加速度時刻歴波形及び加速度応答スペクトル
(鉛直成分: S s - D 2)



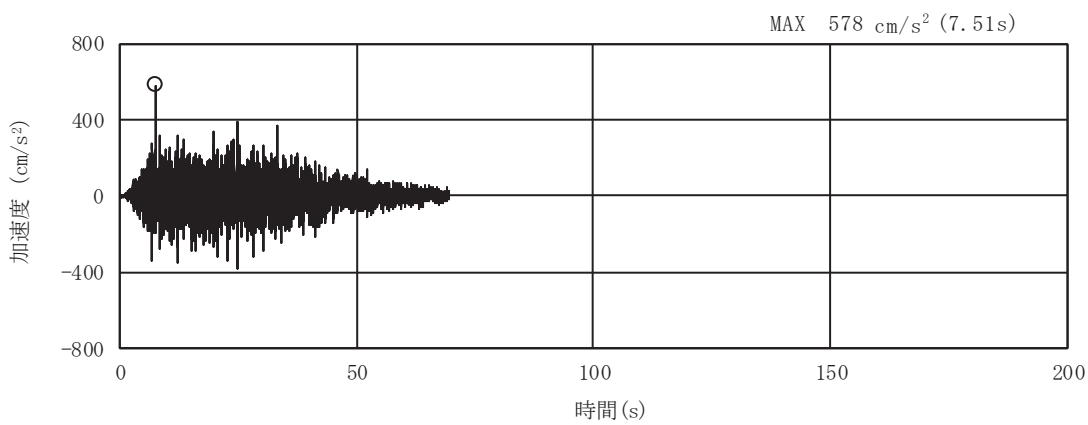
(a) 加速度時刻歴波形



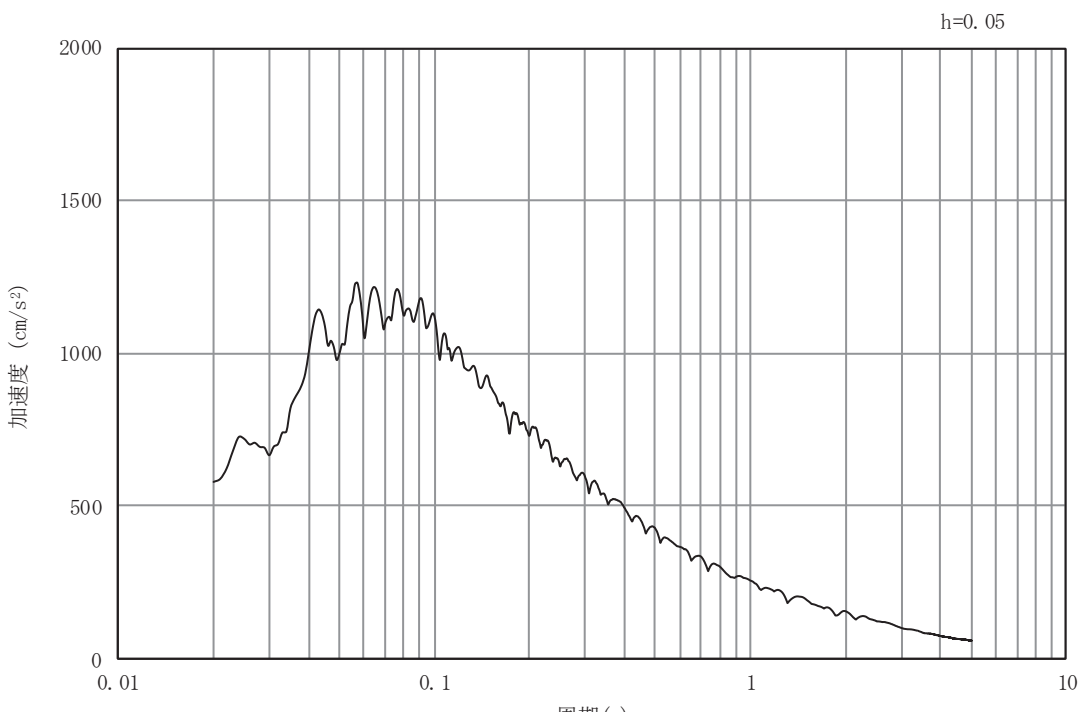
(b) 加速度応答スペクトル

図3-10 入力地震動の加速度時刻歴波形及び加速度応答スペクトル

(水平成分： S s - D 3)



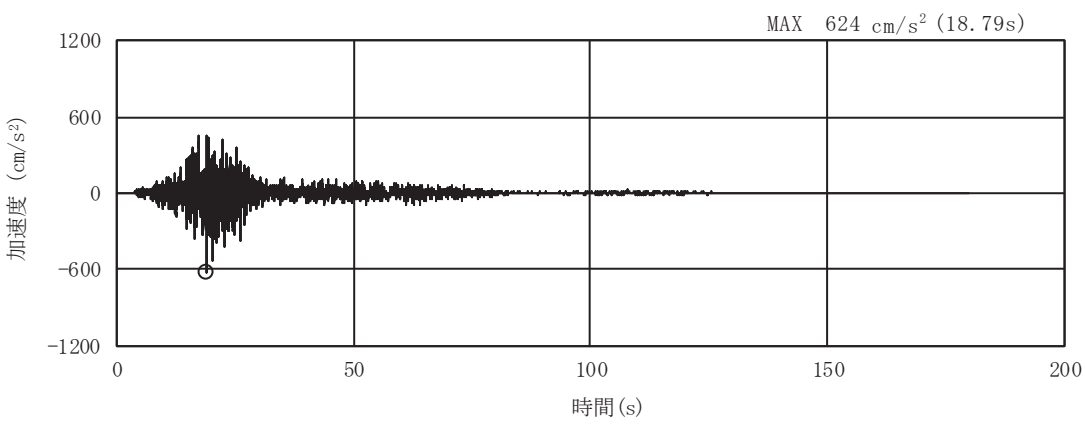
(a) 加速度時刻歴波形



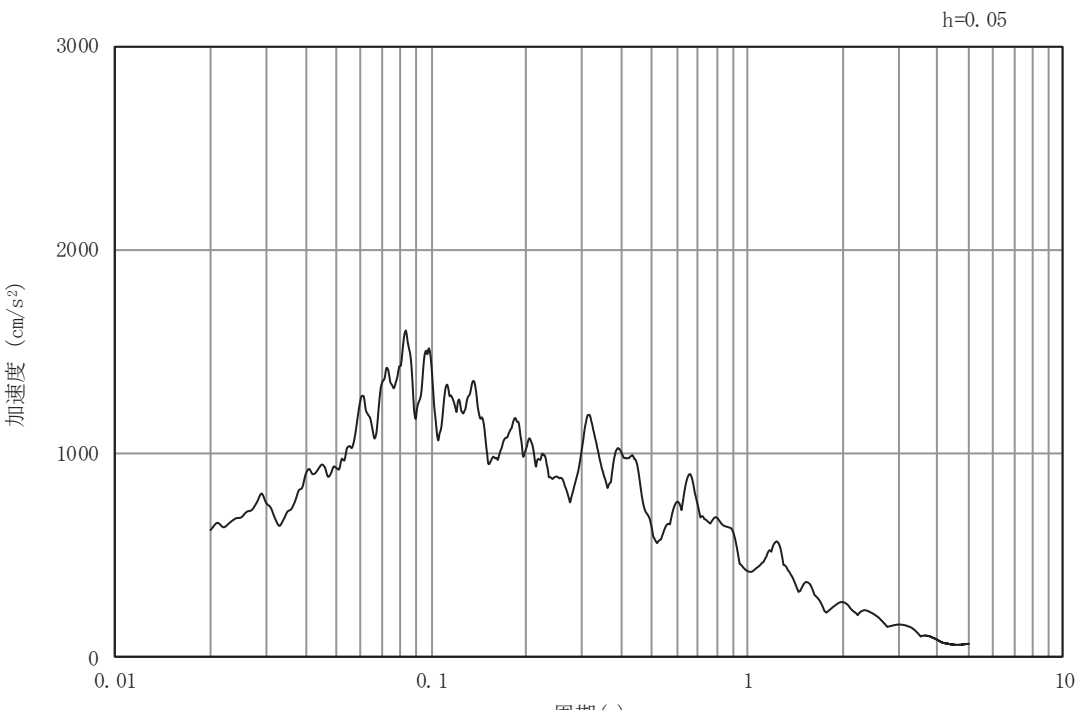
(b) 加速度応答スペクトル

図3-11 入力地震動の加速度時刻歴波形及び加速度応答スペクトル

(鉛直成分： S s - D 3)

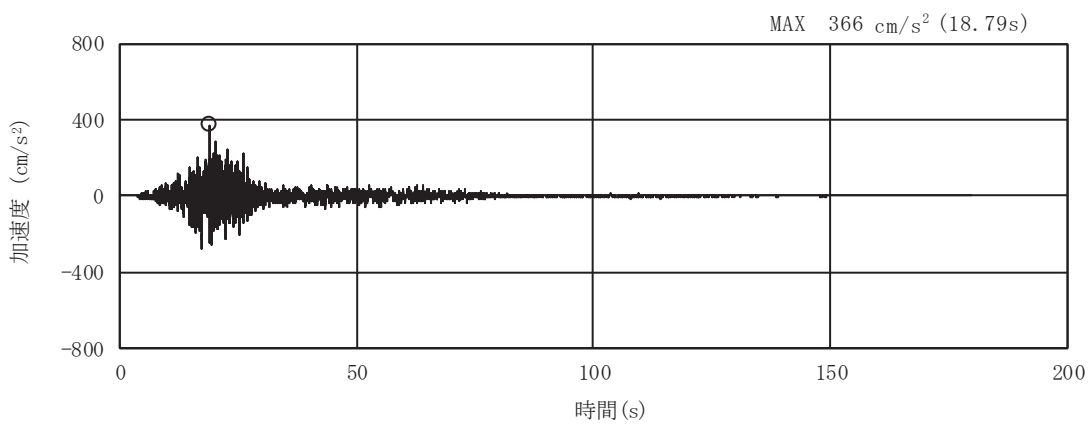


(a) 加速度時刻歴波形

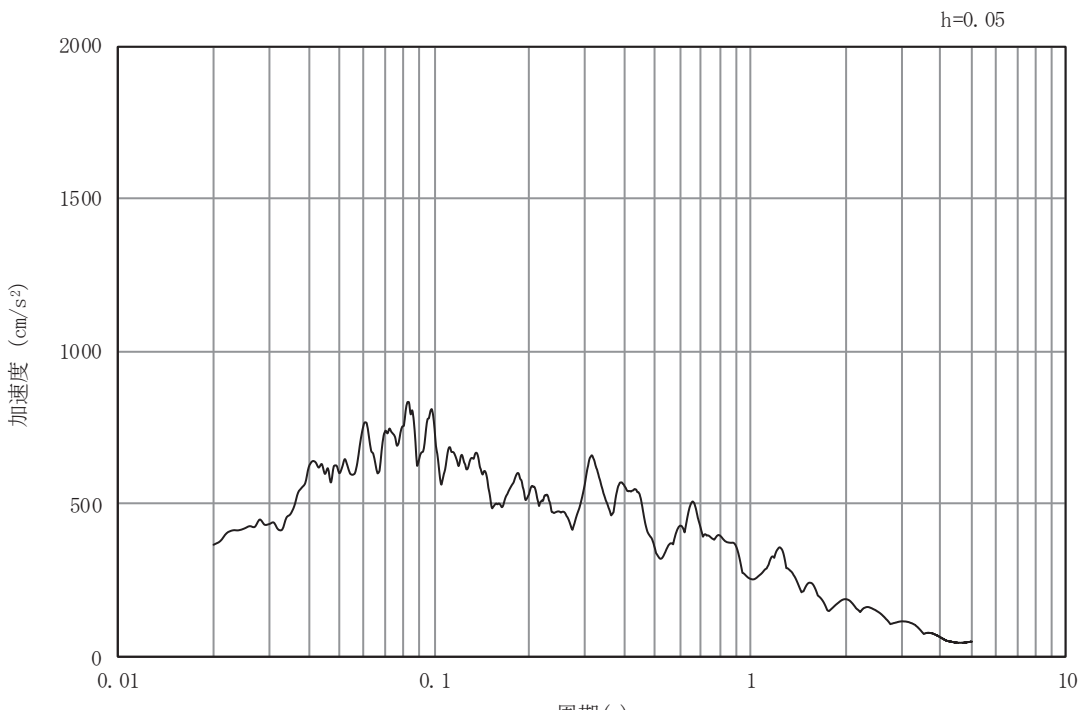


(b) 加速度応答スペクトル

図3-12 入力地震動の加速度時刻歴波形及び加速度応答スペクトル
(水平成分 : S s - F 1)

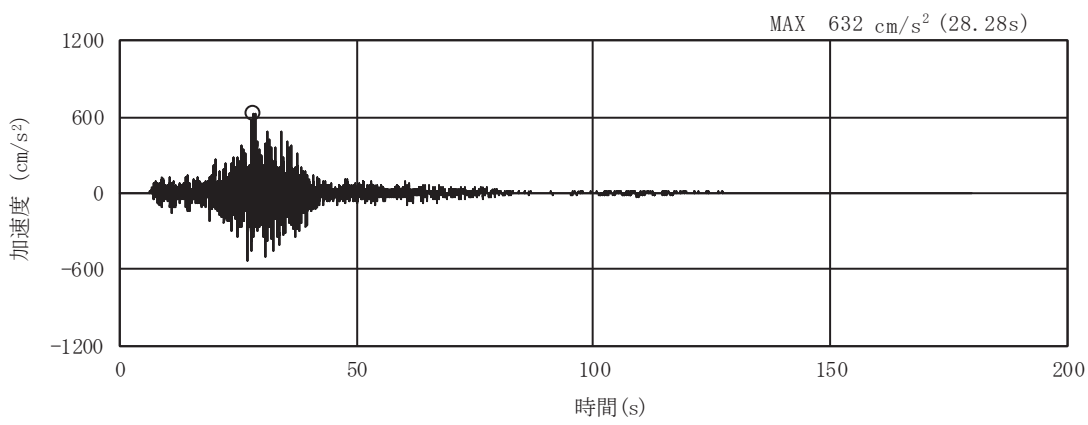


(a) 加速度時刻歴波形

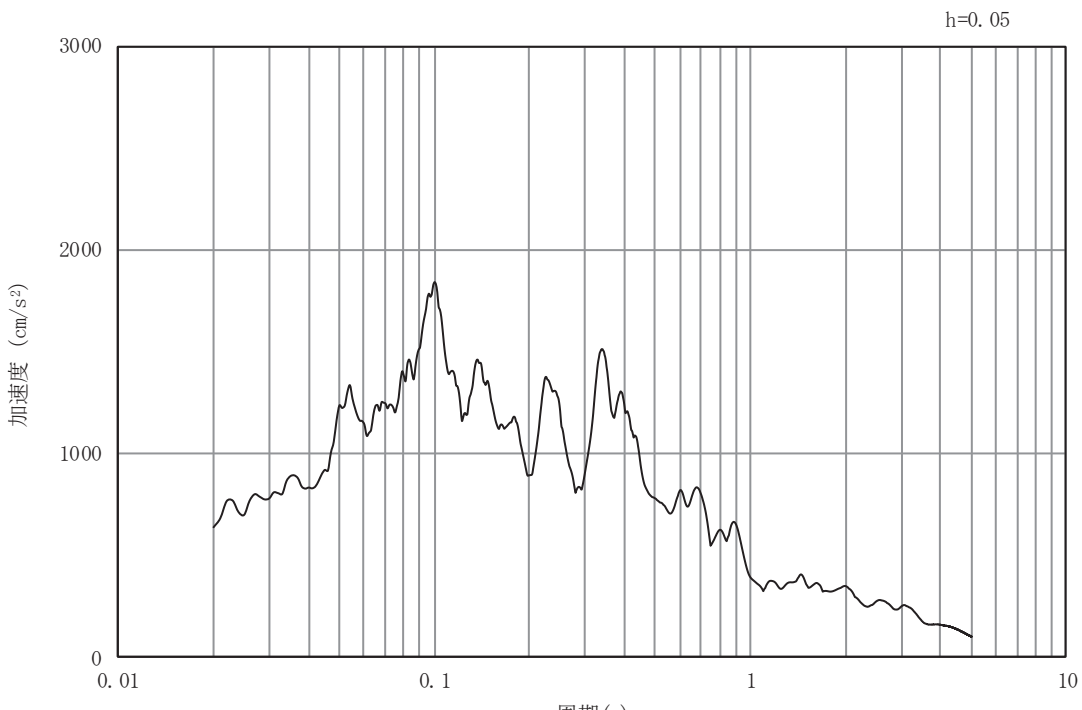


(b) 加速度応答スペクトル

図3-13 入力地震動の加速度時刻歴波形及び加速度応答スペクトル
(鉛直成分: S s - F 1)

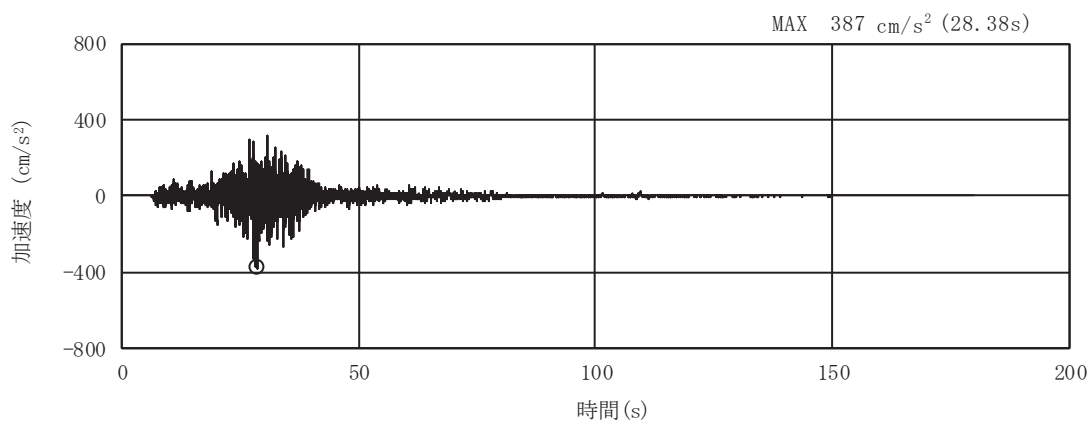


(a) 加速度時刻歴波形

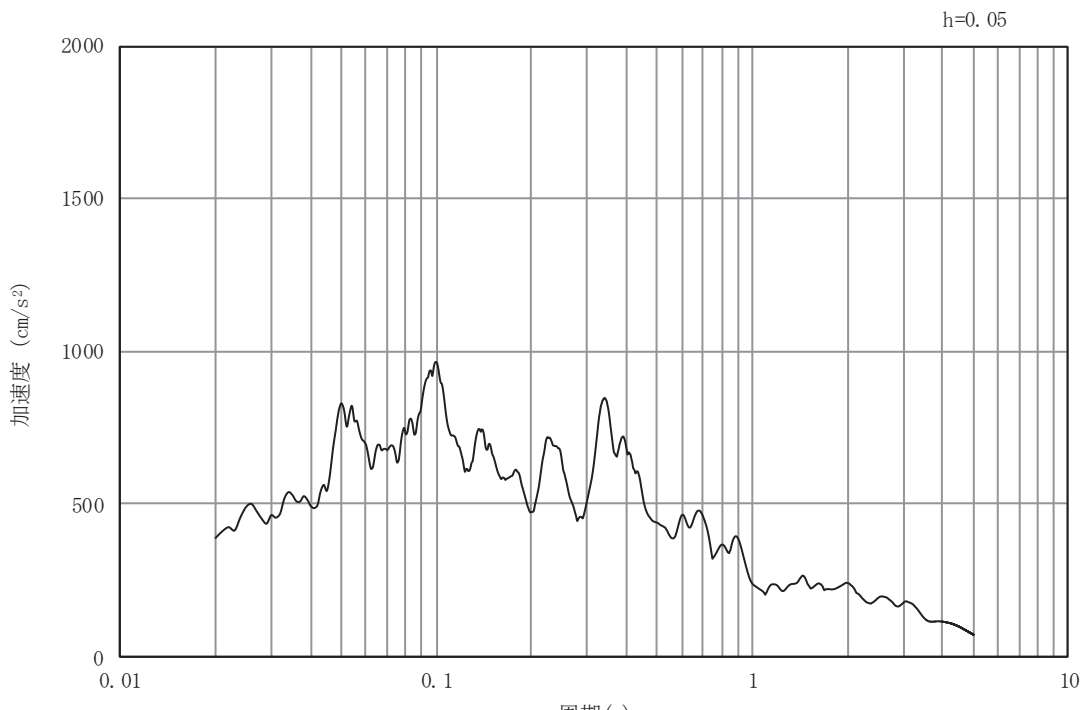


(b) 加速度応答スペクトル

図3-14 入力地震動の加速度時刻歴波形及び加速度応答スペクトル
(水平成分： S s – F 2)

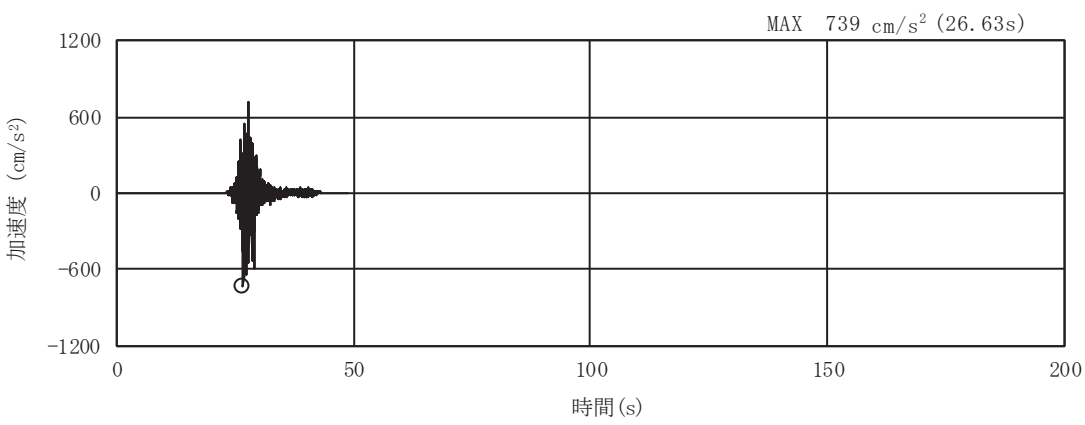


(a) 加速度時刻歴波形

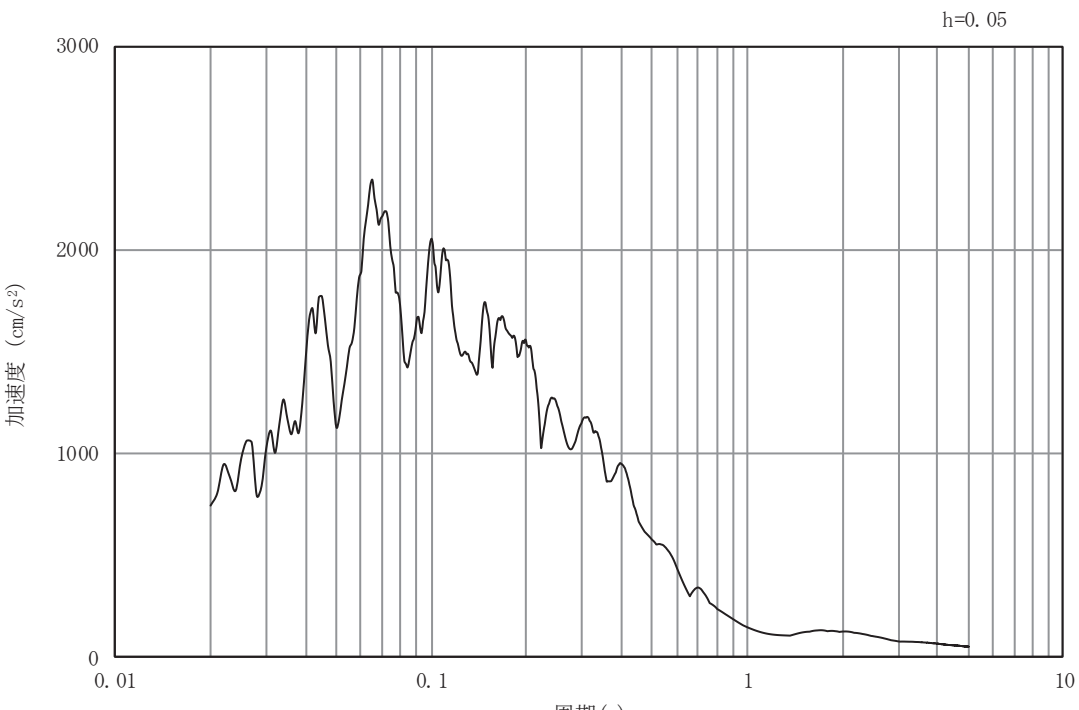


(b) 加速度応答スペクトル

図3-15 入力地震動の加速度時刻歴波形及び加速度応答スペクトル
(鉛直成分： S s - F 2)

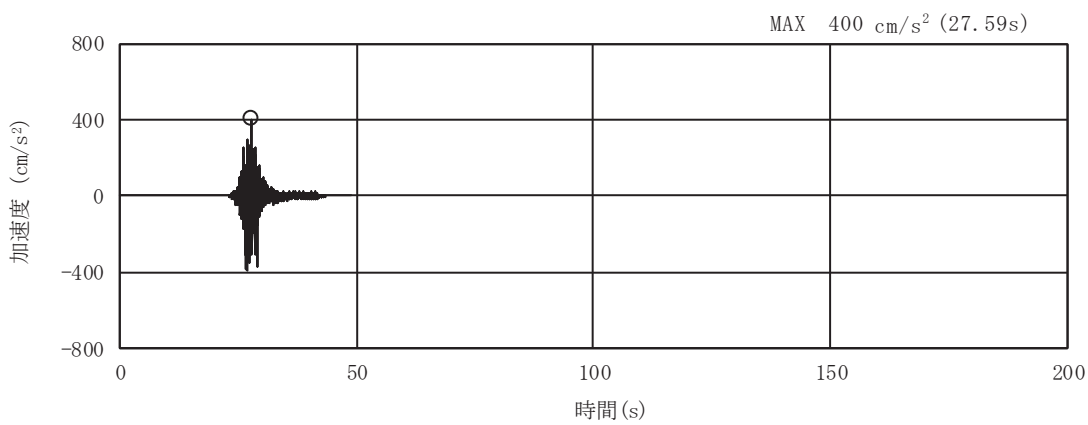


(a) 加速度時刻歴波形

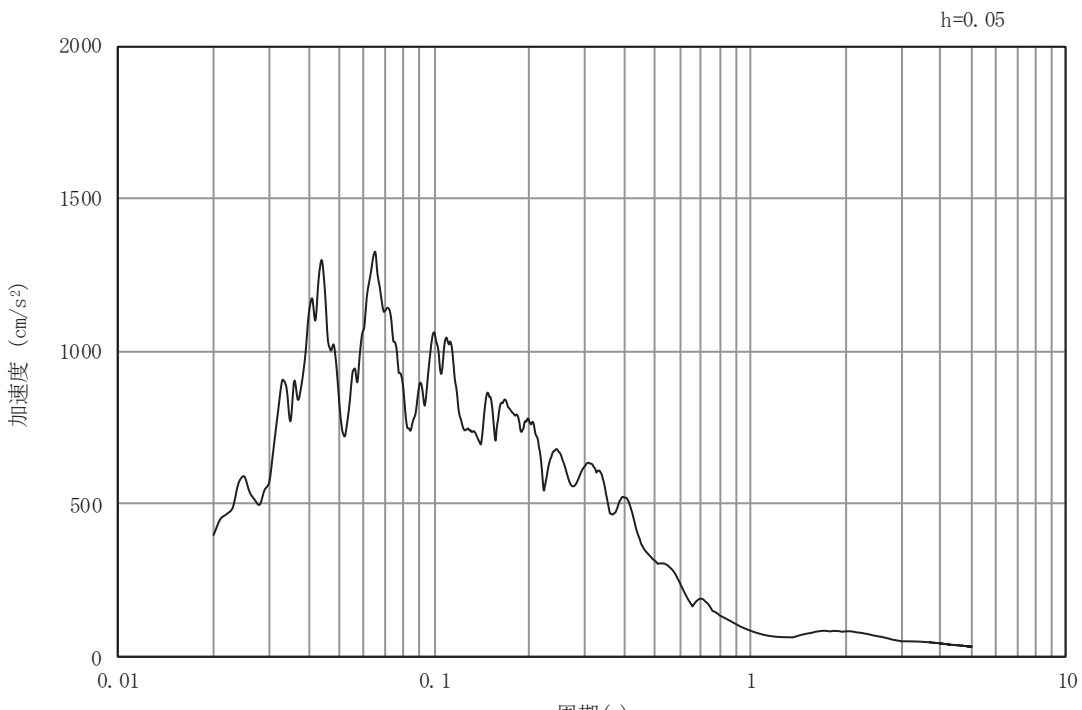


(b) 加速度応答スペクトル

図3-16 入力地震動の加速度時刻歴波形及び加速度応答スペクトル
(水平成分： S s - F 3)



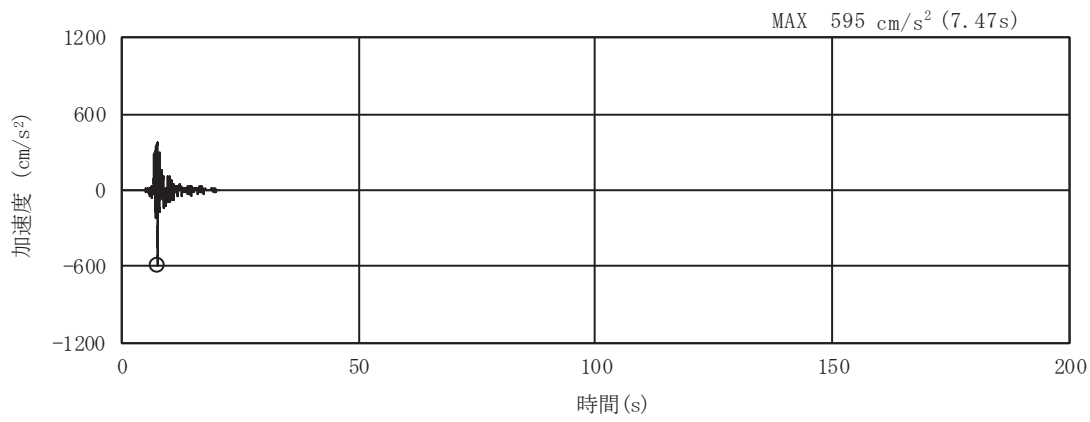
(a) 加速度時刻歴波形



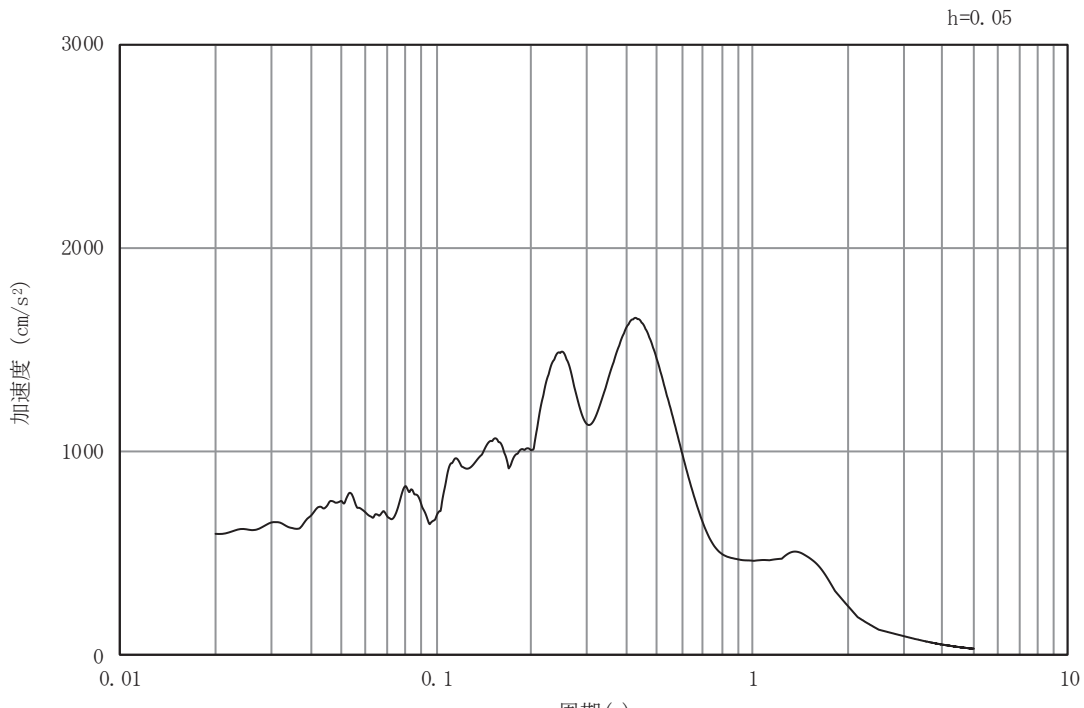
(b) 加速度応答スペクトル

図3-17 入力地震動の加速度時刻歴波形及び加速度応答スペクトル

(鉛直成分： S s - F 3)

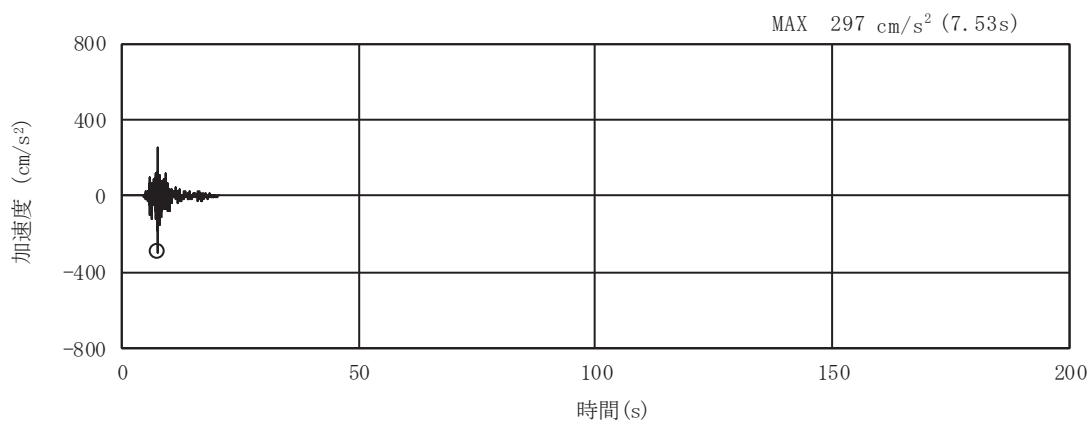


(a) 加速度時刻歴波形

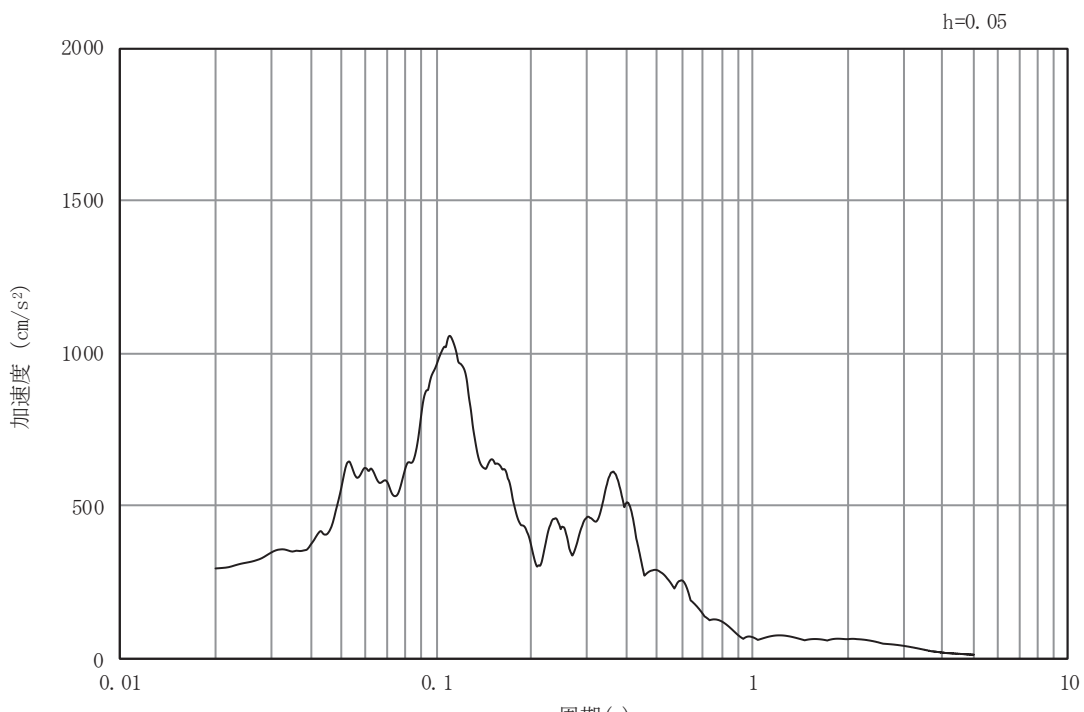


(b) 加速度応答スペクトル

図3-18 入力地震動の加速度時刻歴波形及び加速度応答スペクトル
(水平成分： S s - N 1)



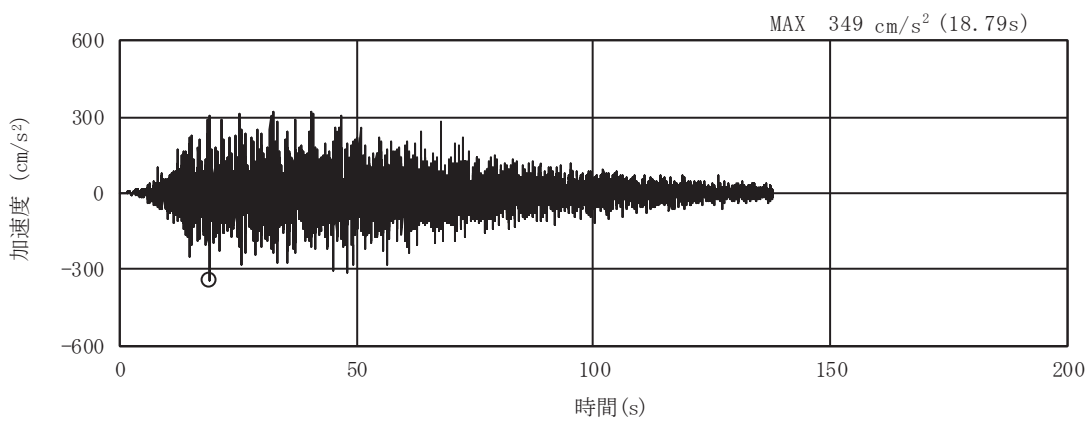
(a) 加速度時刻歴波形



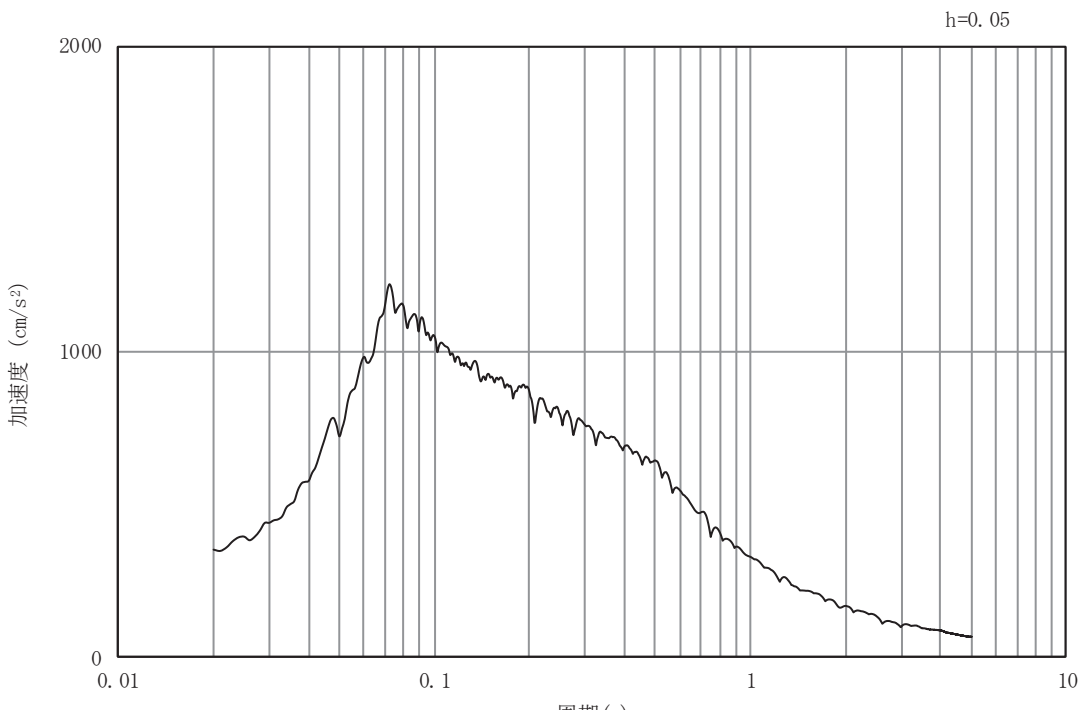
(b) 加速度応答スペクトル

図3-19 入力地震動の加速度時刻歴波形及び加速度応答スペクトル

(鉛直成分： S s - N 1)



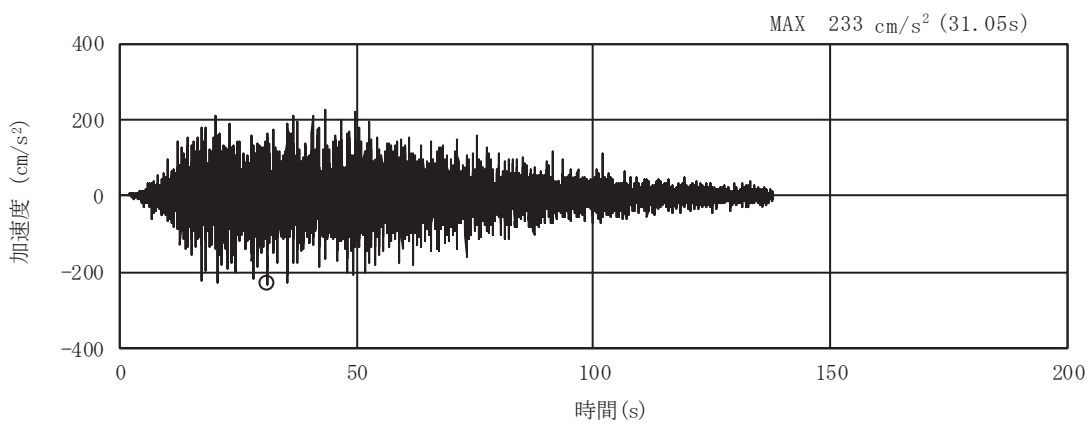
(a) 加速度時刻歴波形



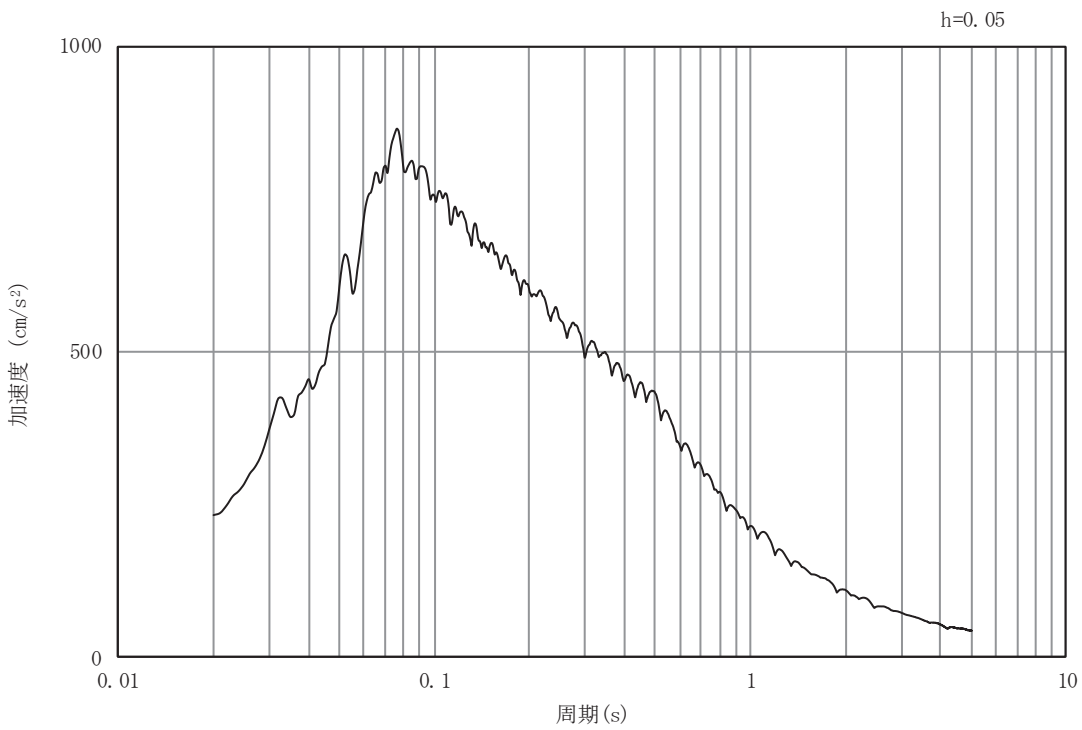
(b) 加速度応答スペクトル

図3-20 入力地震動の加速度時刻歴波形及び加速度応答スペクトル

(水平成分： S d - D 1)

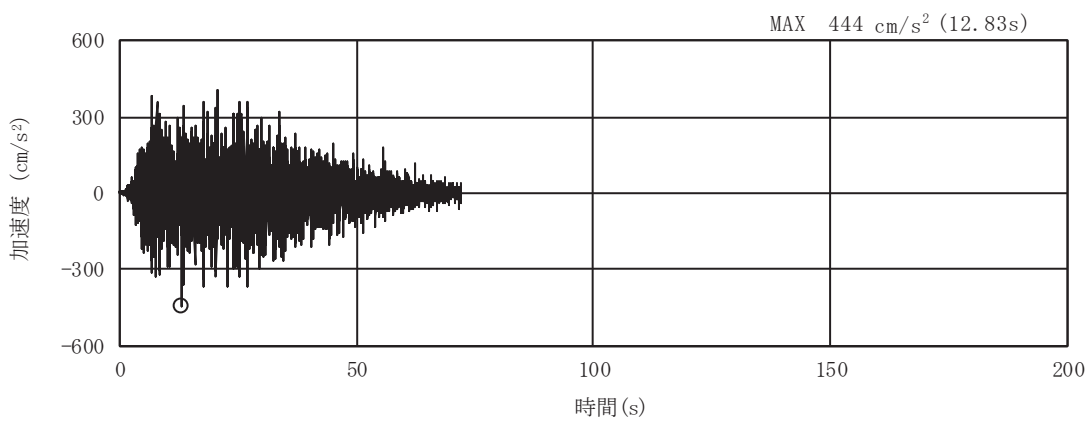


(a) 加速度時刻歴波形

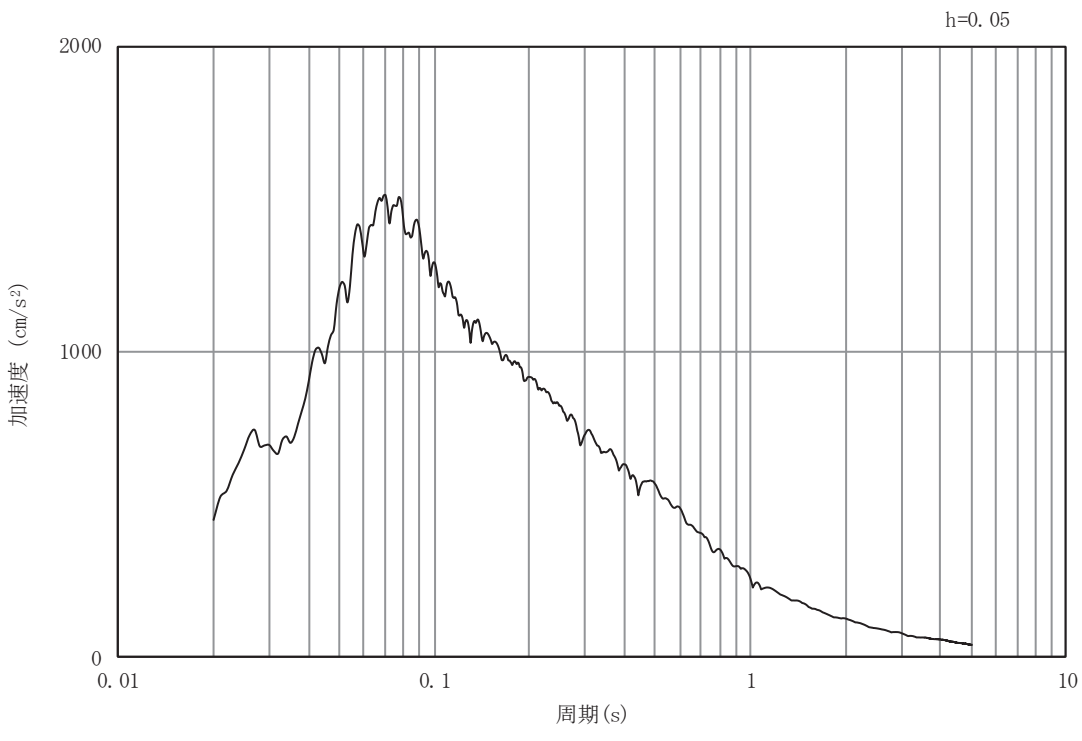


(b) 加速度応答スペクトル

図3-21 入力地震動の加速度時刻歴波形及び加速度応答スペクトル
(鉛直成分: S d-D 1)

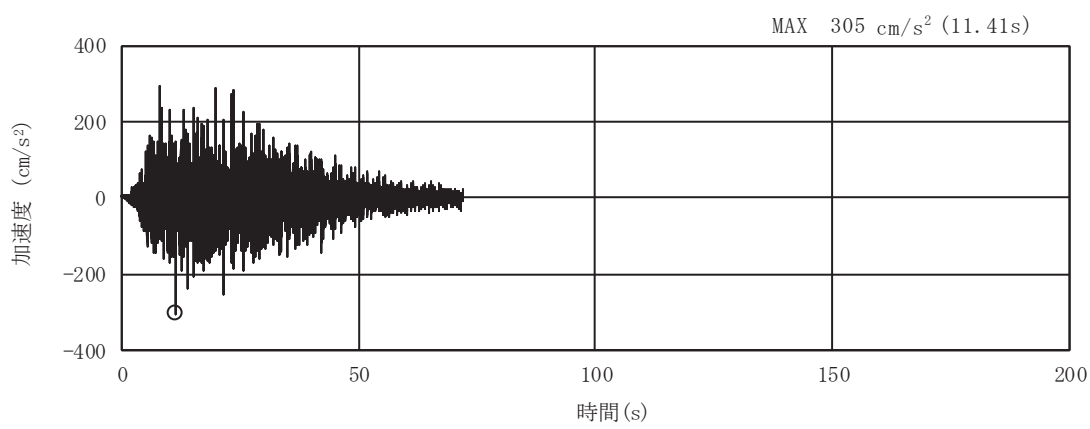


(a) 加速度時刻歴波形

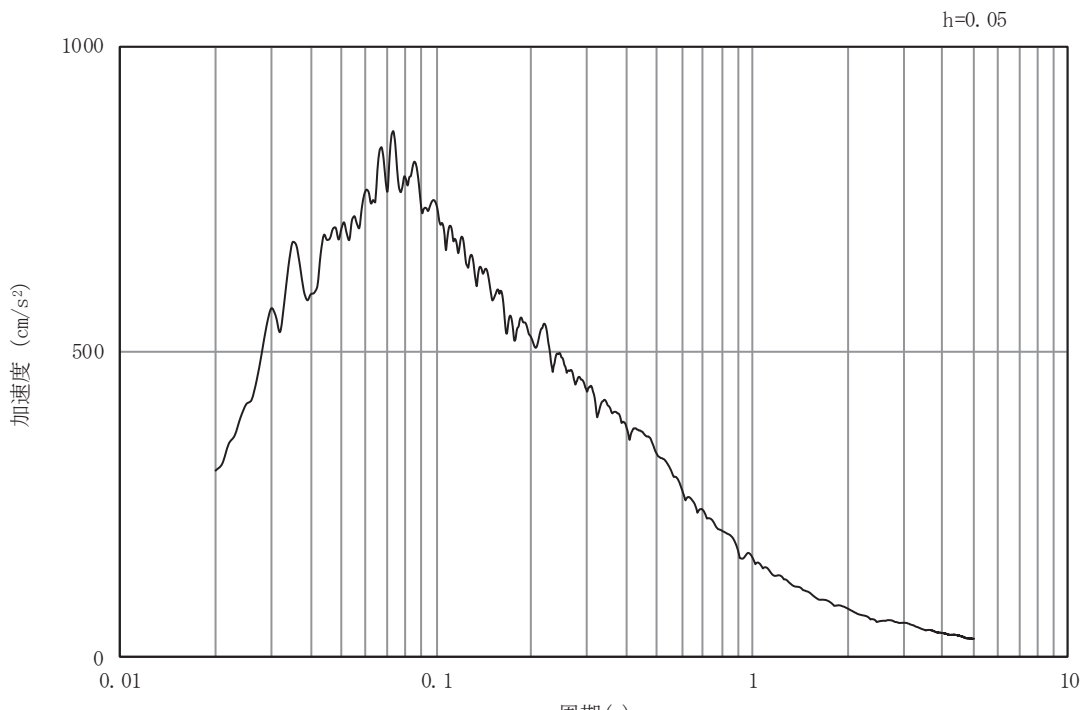


(b) 加速度応答スペクトル

図3-22 入力地震動の加速度時刻歴波形及び加速度応答スペクトル
(水平成分： S d - D 2)

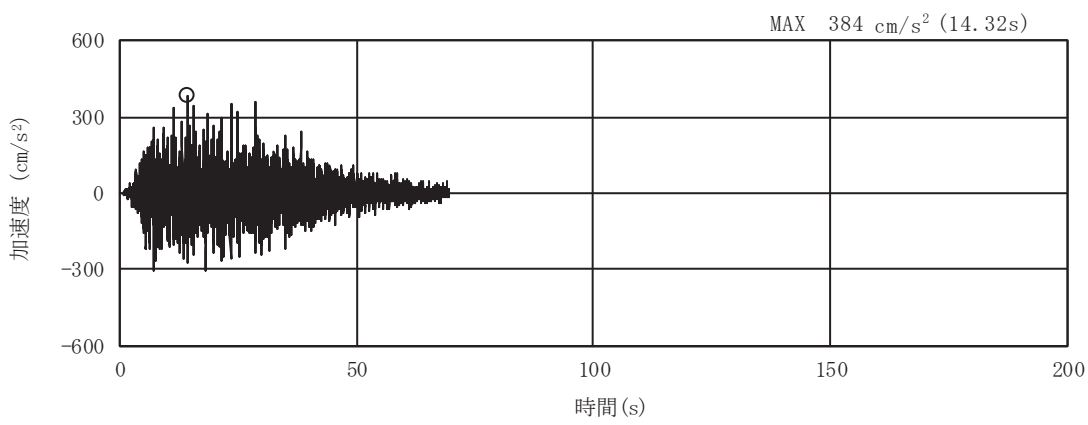


(a) 加速度時刻歴波形

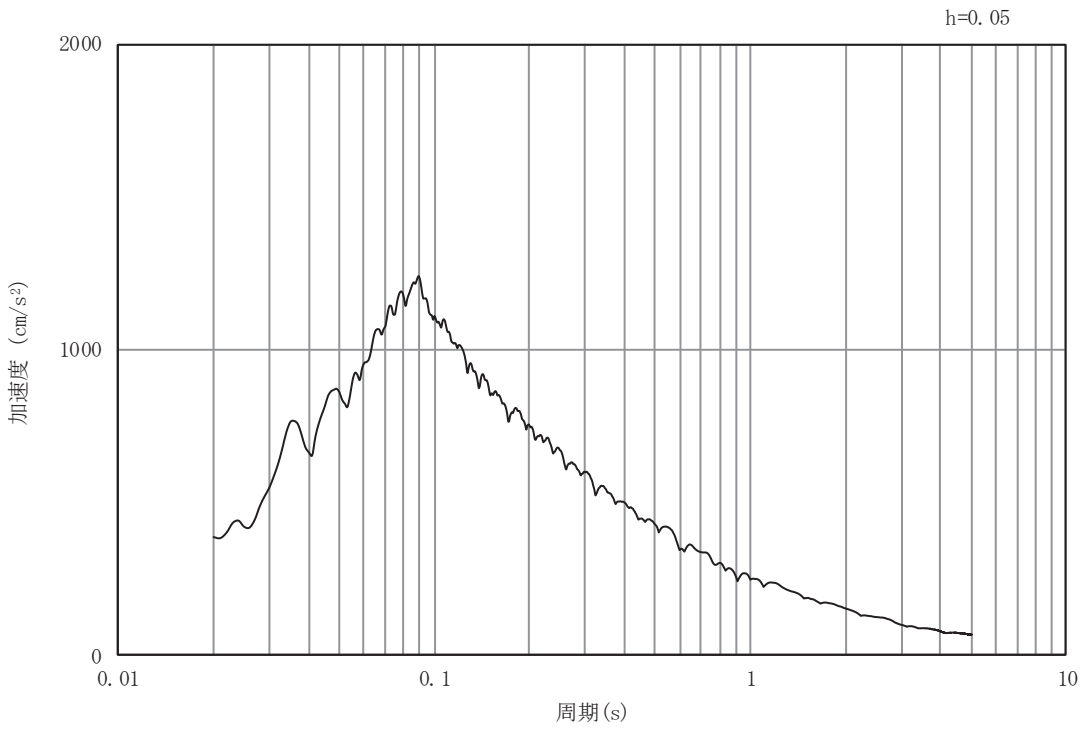


(b) 加速度応答スペクトル

図3-23 入力地震動の加速度時刻歴波形及び加速度応答スペクトル
(鉛直成分: S d-D 2)

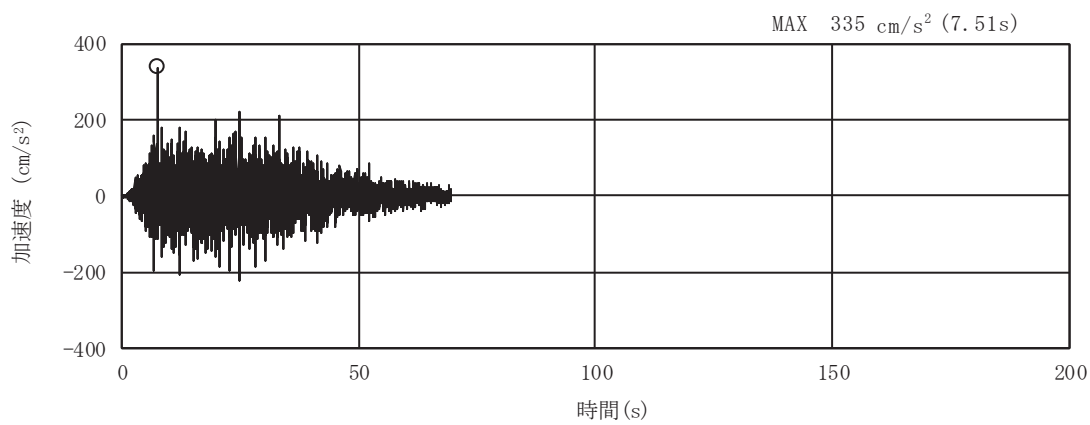


(a) 加速度時刻歴波形

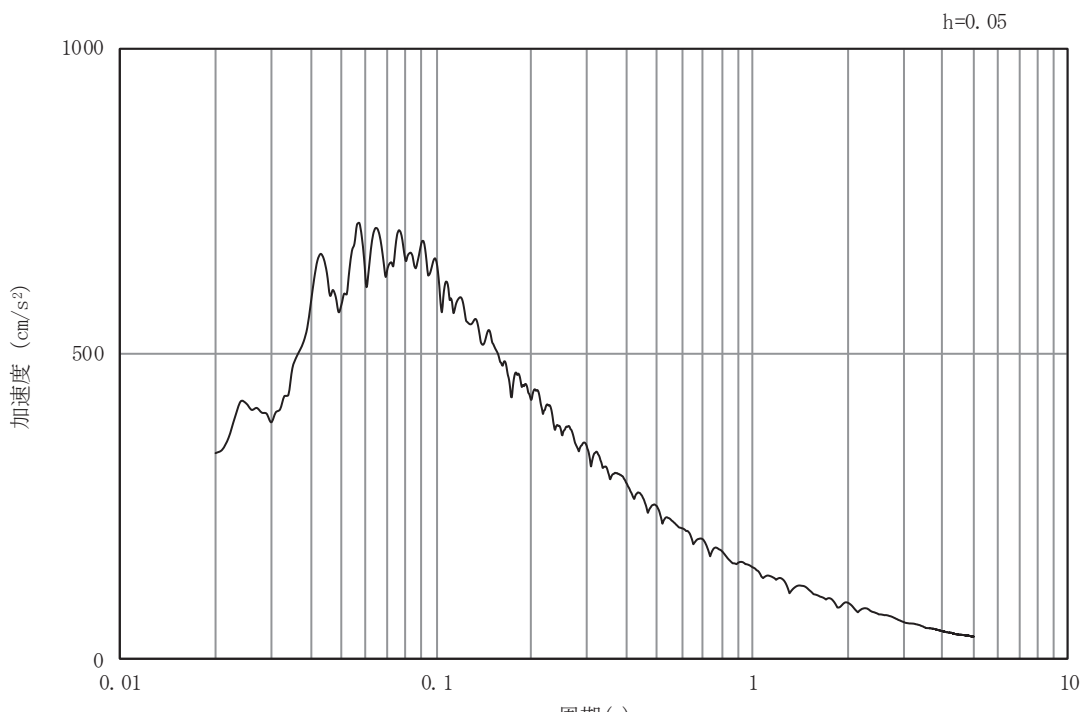


(b) 加速度応答スペクトル

図3-24 入力地震動の加速度時刻歴波形及び加速度応答スペクトル
(水平成分 : S d - D 3)



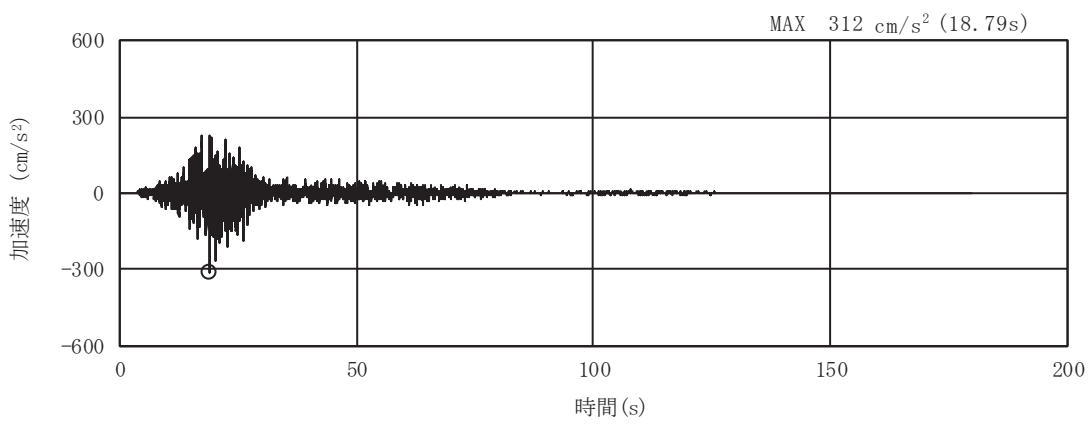
(a) 加速度時刻歴波形



(b) 加速度応答スペクトル

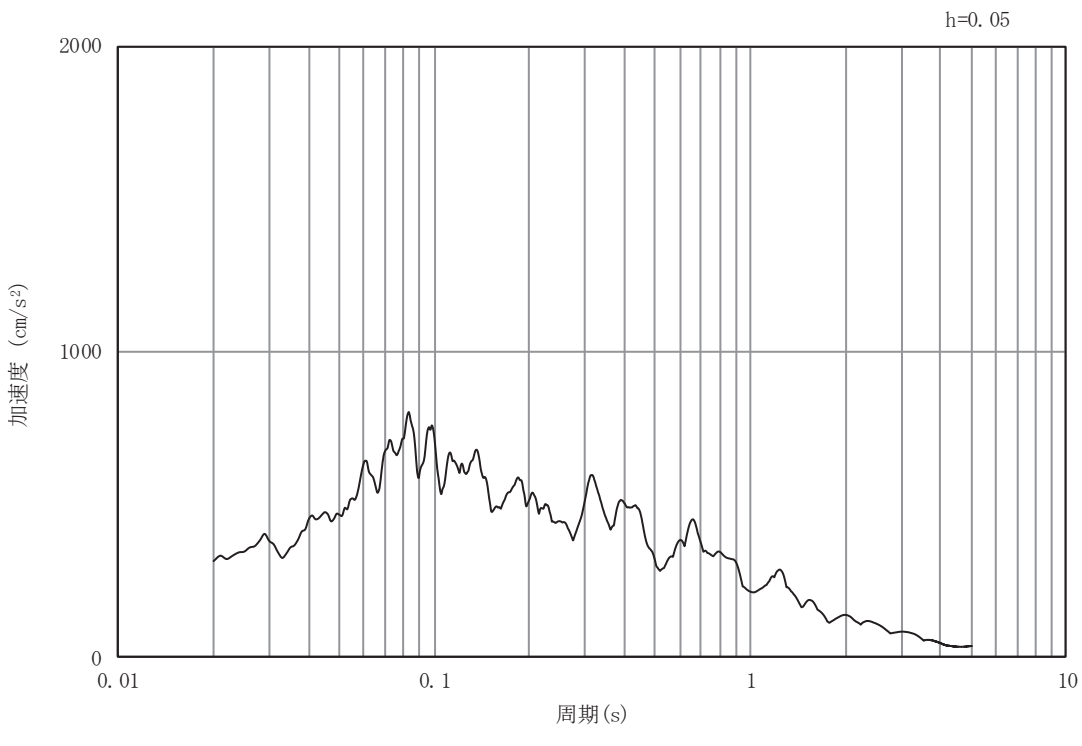
図3-25 入力地震動の加速度時刻歴波形及び加速度応答スペクトル

(鉛直成分： S d - D 3)



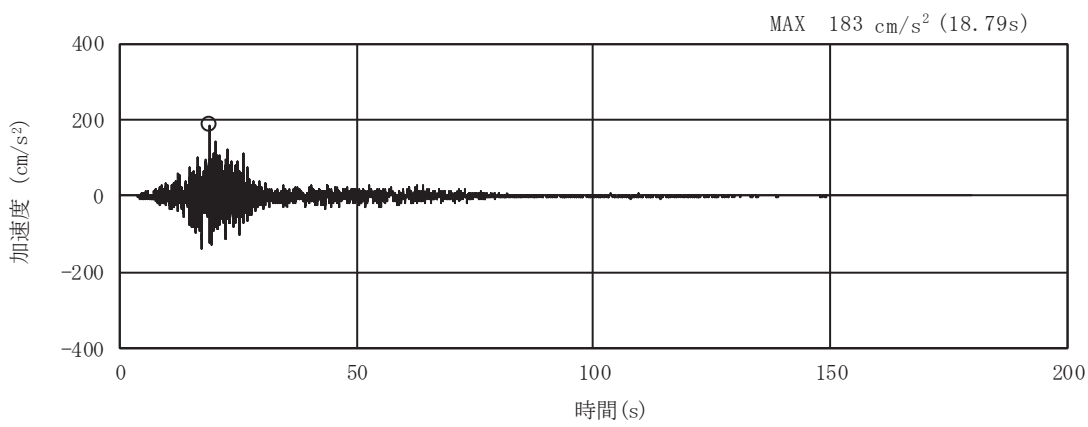
(a) 加速度時刻歴波形

O 2 ③ VI-2-2-13 R 0

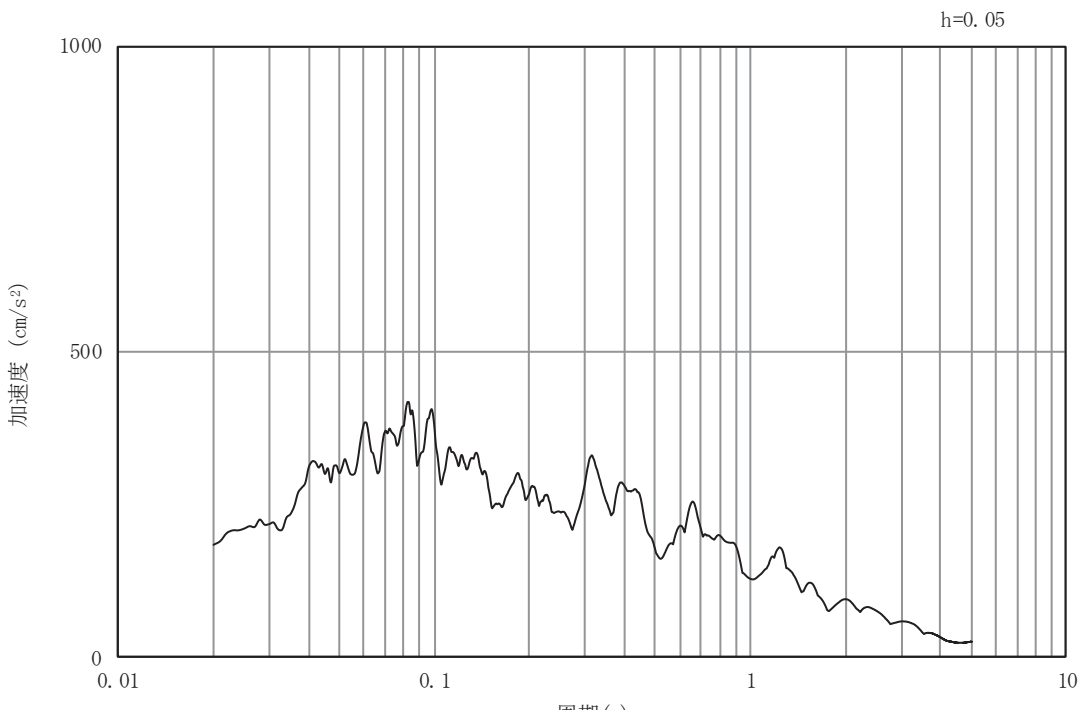


(b) 加速度応答スペクトル

図3-26 入力地震動の加速度時刻歴波形及び加速度応答スペクトル
(水平成分 : S d - F 1)

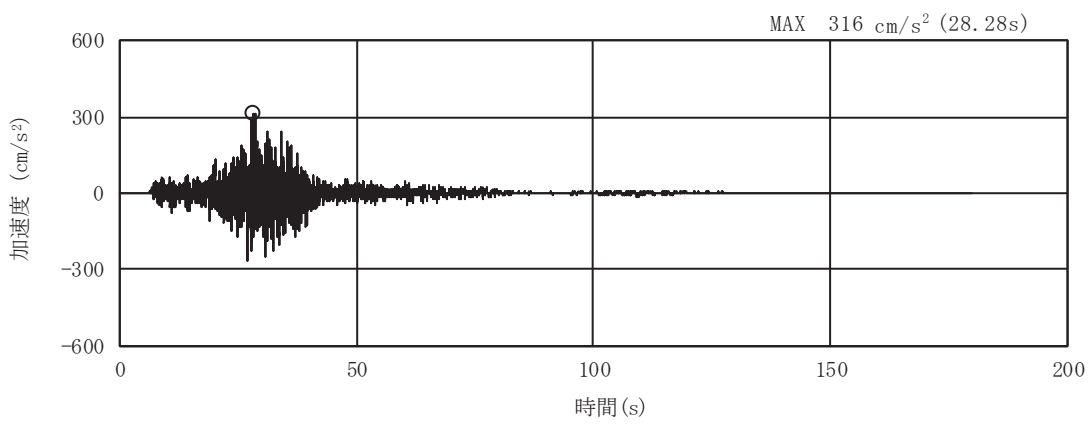


(a) 加速度時刻歴波形

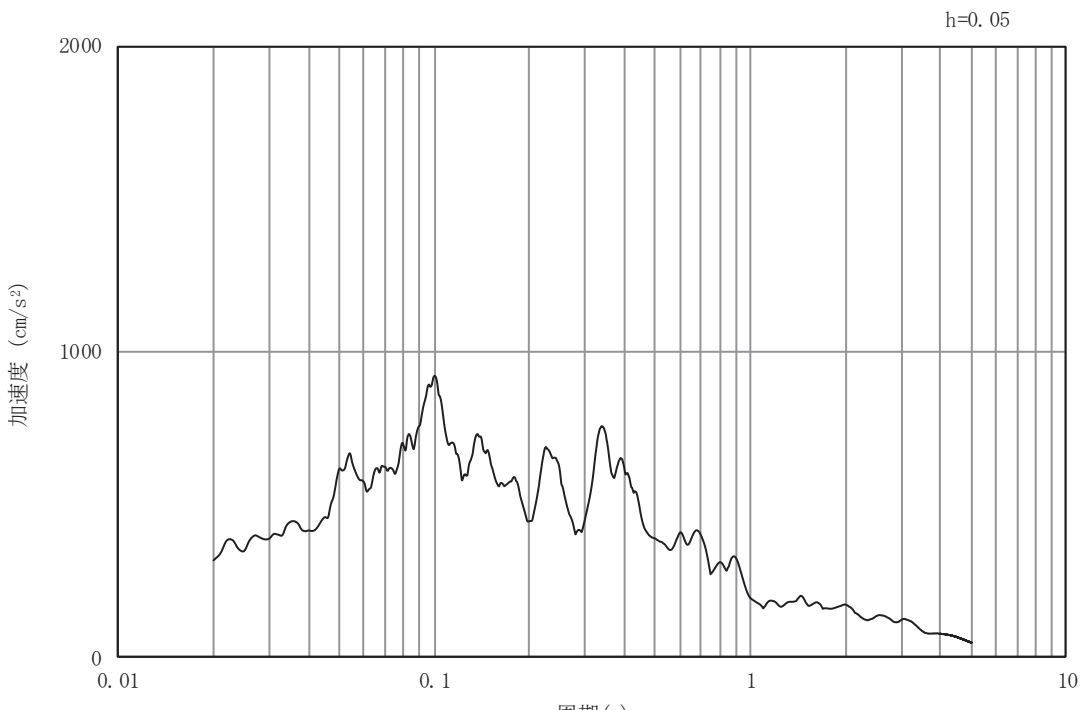


(b) 加速度応答スペクトル

図3-27 入力地震動の加速度時刻歴波形及び加速度応答スペクトル
(鉛直成分: S d - F 1)



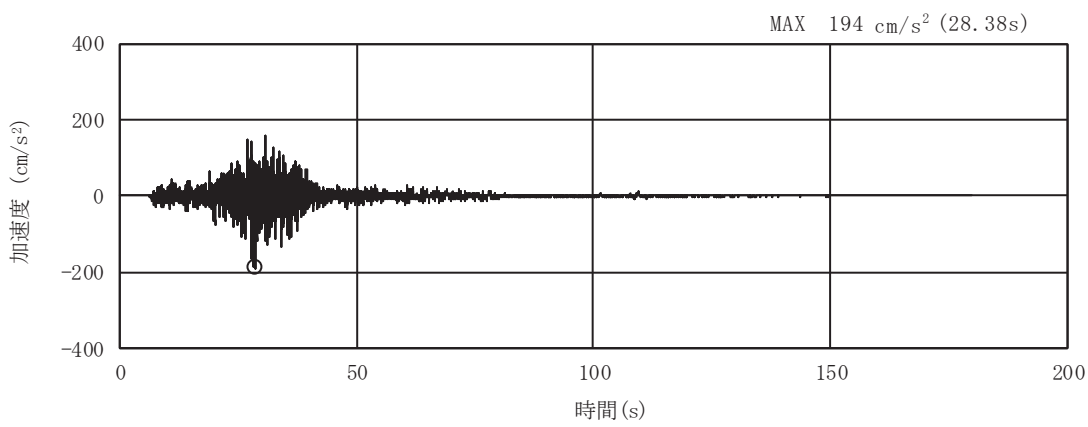
(a) 加速度時刻歴波形



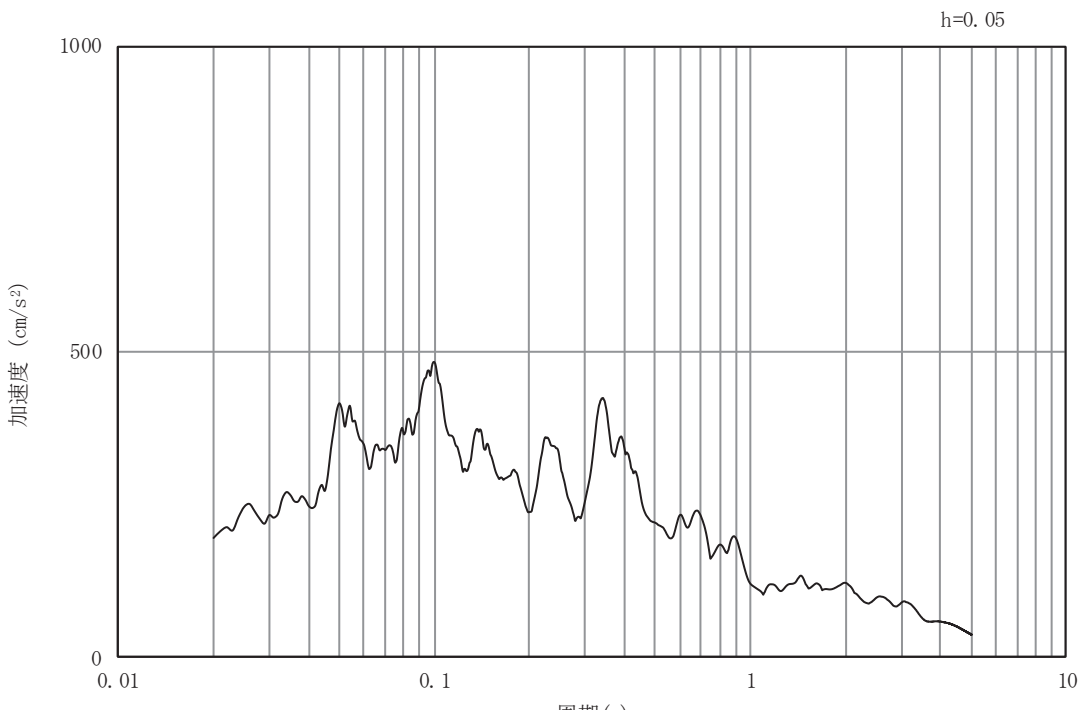
(b) 加速度応答スペクトル

図3-28 入力地震動の加速度時刻歴波形及び加速度応答スペクトル

(水平成分： S d - F 2)



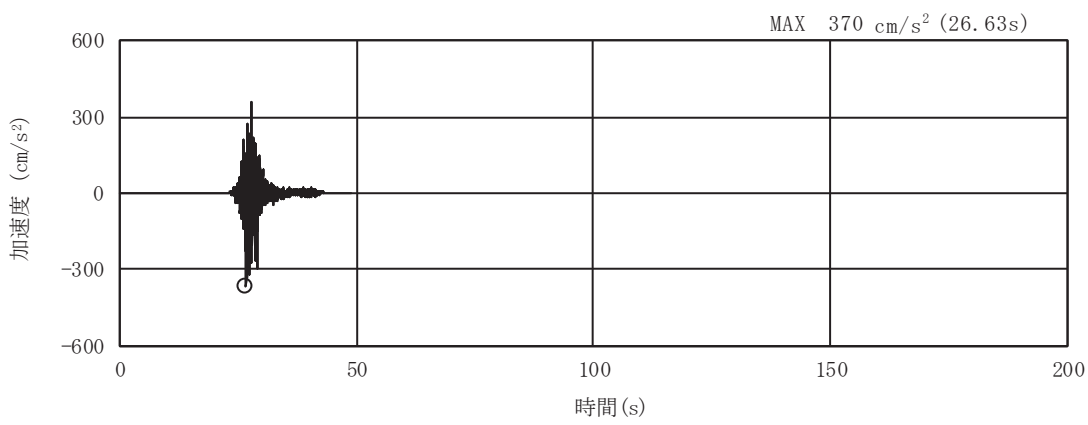
(a) 加速度時刻歴波形



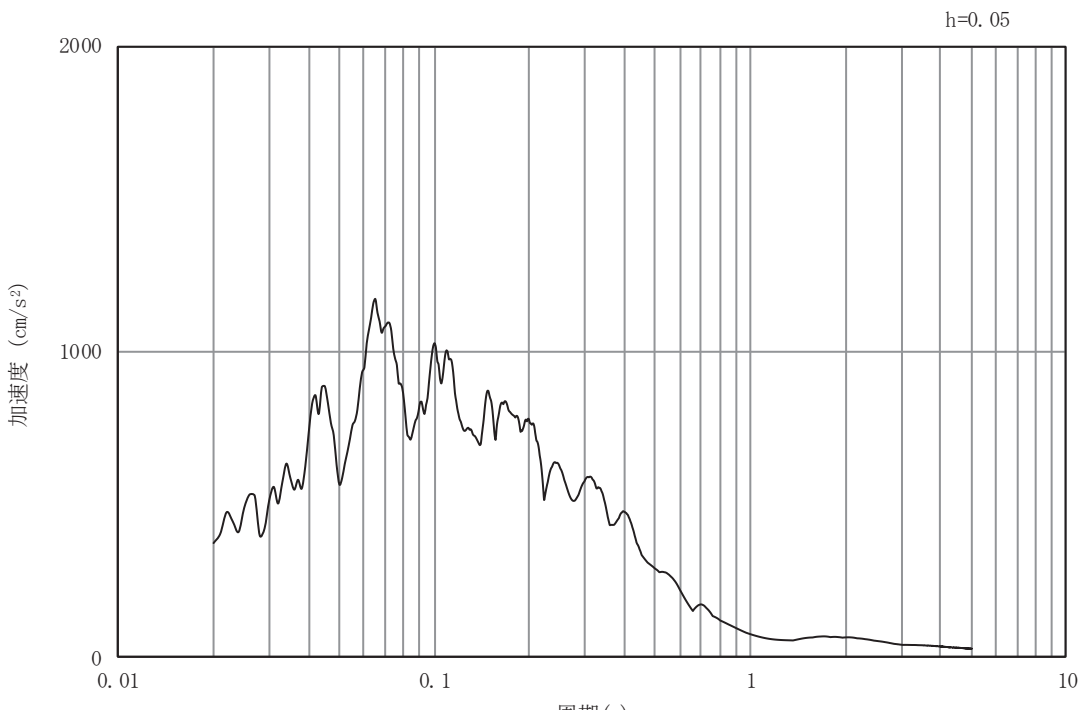
(b) 加速度応答スペクトル

図3-29 入力地震動の加速度時刻歴波形及び加速度応答スペクトル

(鉛直成分： S d - F 2)

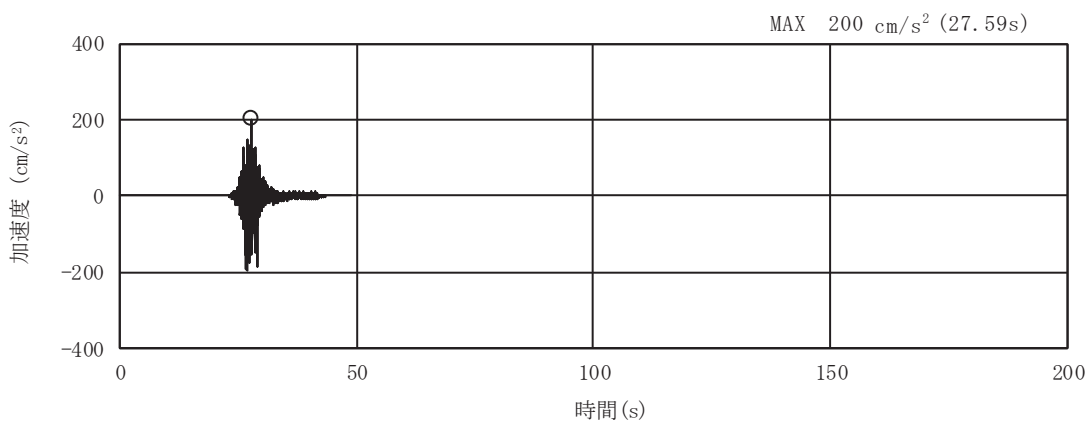


(a) 加速度時刻歴波形

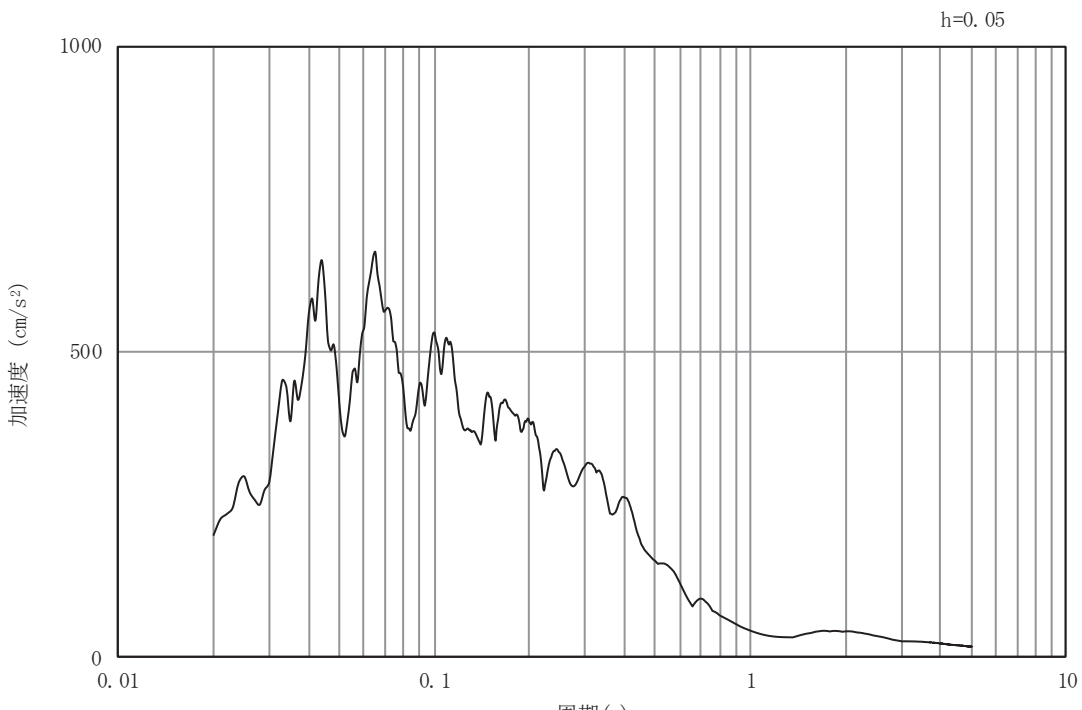


(b) 加速度応答スペクトル

図3-30 入力地震動の加速度時刻歴波形及び加速度応答スペクトル
(水平成分： S d – F 3)



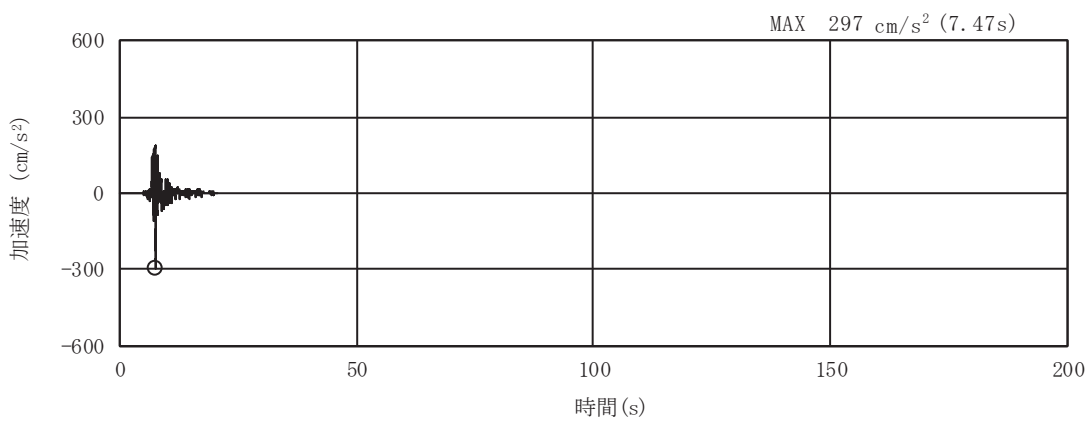
(a) 加速度時刻歴波形



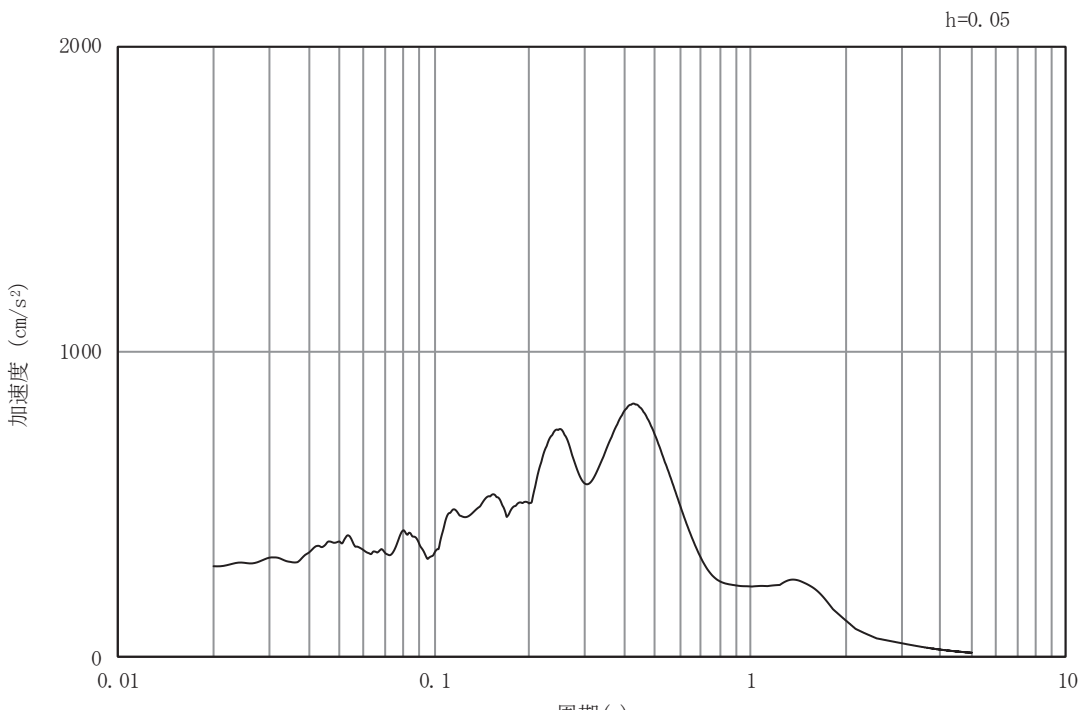
(b) 加速度応答スペクトル

図3-31 入力地震動の加速度時刻歴波形及び加速度応答スペクトル

(鉛直成分： S d - F 3)



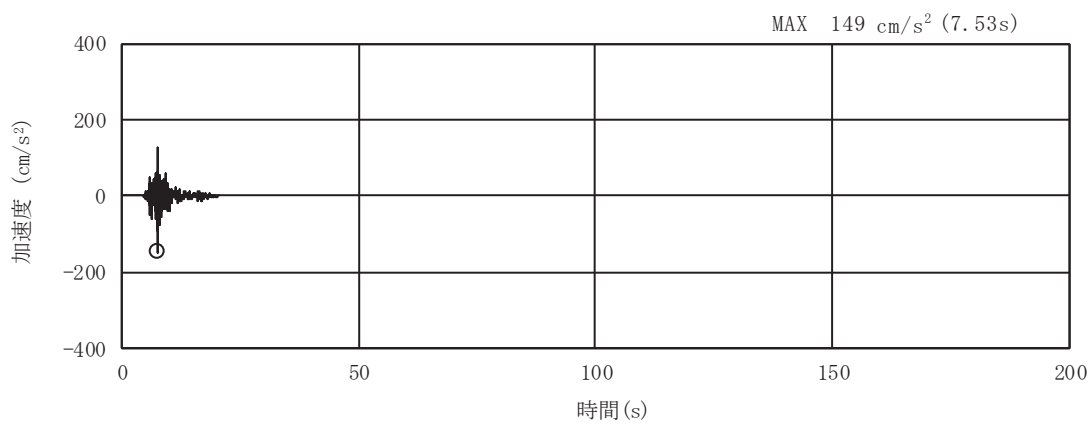
(a) 加速度時刻歴波形



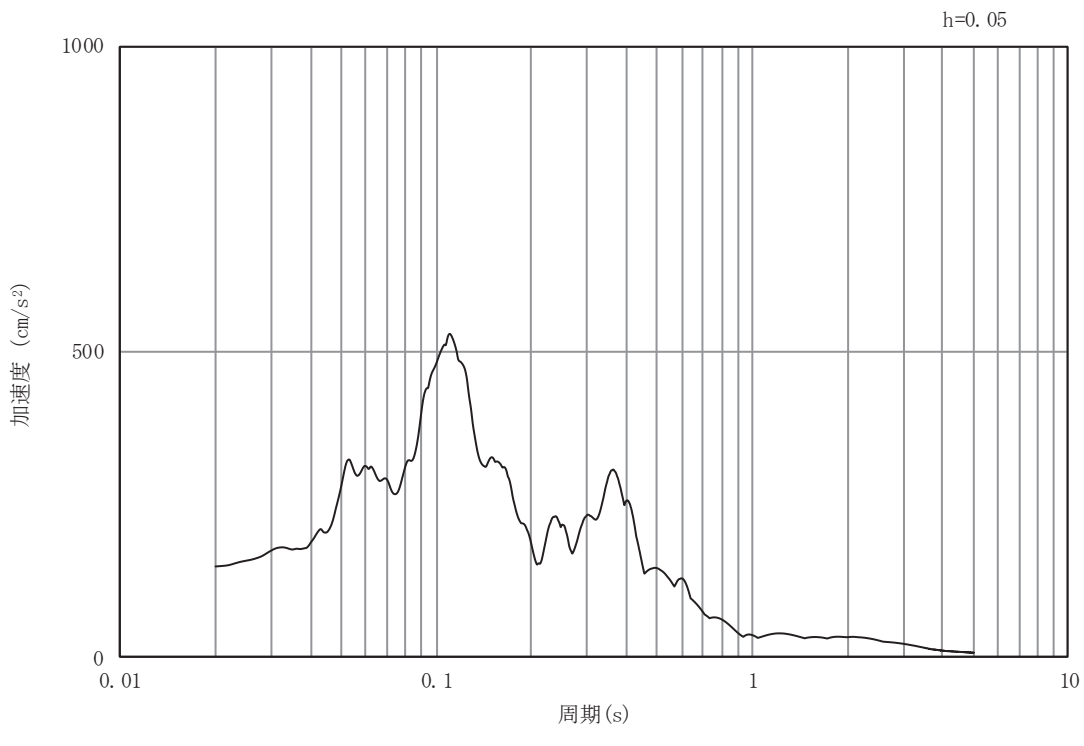
(b) 加速度応答スペクトル

図3-32 入力地震動の加速度時刻歴波形及び加速度応答スペクトル

(水平成分： S d - N 1)



(a) 加速度時刻歴波形



(b) 加速度応答スペクトル

図3-33 入力地震動の加速度時刻歴波形及び加速度応答スペクトル
(鉛直成分: S d - N 1)

3.5 解析モデル及び諸元

3.5.1 解析モデル

軽油タンク室の地震応答解析モデルを図3-34～図3-36に示す。

(1) 解析領域

二次元有限要素法による時刻歴応答解析の解析モデルの解析領域は、境界条件の影響が地盤及び構造物の応力状態に影響を及ぼさないよう、十分に広い領域とする。

(2) 境界条件

二次元有限要素法による時刻歴応答解析の解析モデルの境界条件については、有限要素解析における半無限地盤を模擬するため、粘性境界を設ける。

(3) 構造物のモデル化

構造物と等価な剛性を有する二次元等価剛性モデルを作成して実施することとし、構造部材については、線形はり要素及び平面応力要素によりモデル化する。また、軽油タンクについては、線形はり要素によりモデル化し、軽油タンクの総重量を重心高さに質点として考慮する。

(4) 地盤のモデル化

D級を除く岩盤は線形の平面ひずみ要素でモデル化する。また、盛土、旧表土及びD級岩盤は、地盤の非線形性をマルチスプリング要素で考慮した平面ひずみ要素でモデル化する。

(5) 隣接構造物のモデル化

隣接構造物となる原子炉建屋は、軽油タンク室の耐震評価において保守的な評価となるよう盛土としてモデル化する。一方、軽油タンク室とMMRを共有する復水貯蔵タンク基礎及び復水貯蔵タンクは、お互いの振動の影響を受けるためモデル化する。また、軽油タンク室(H)のMMRと接しており、お互いの振動の影響を受けることから、軽油タンク室(H)とそのMMR及び軽油タンクをモデル化する。

(6) ジョイント要素の設定

地震時の「地盤とMMR」、「MMRと構造物」及び「構造物と地盤」との接合面における剥離及びすべりを考慮するため、これらの接合面にジョイント要素を設定する。

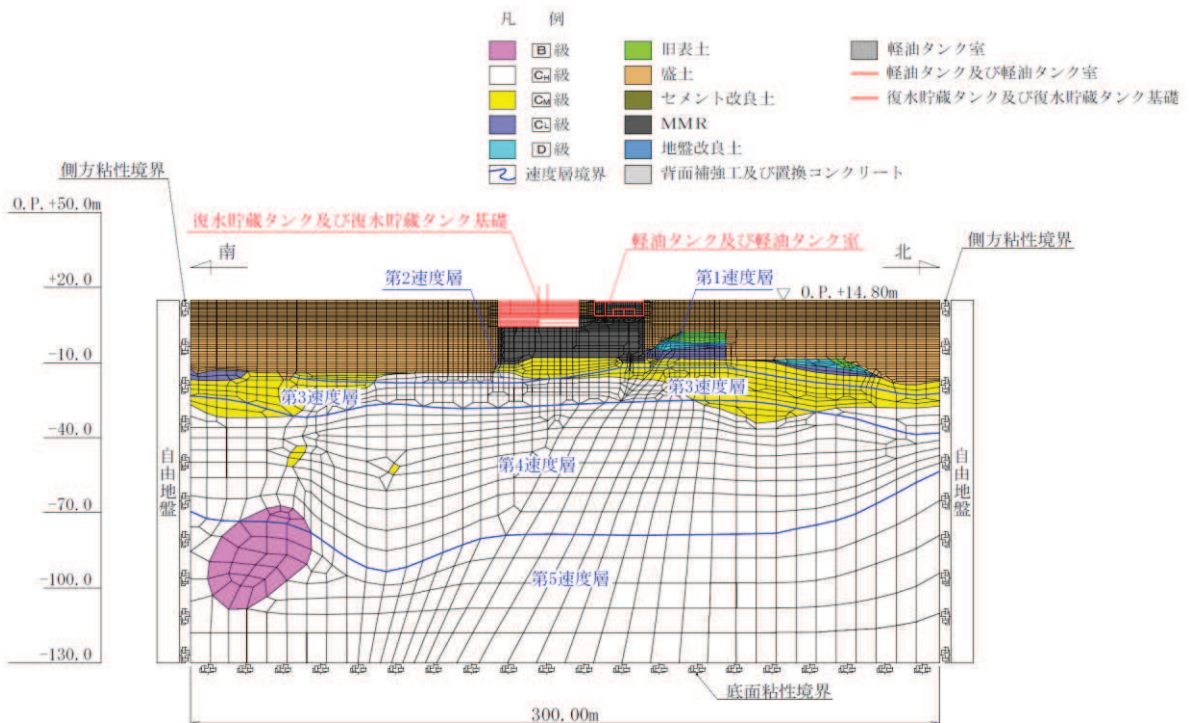


図 3-34 軽油タンク室の地震応答解析モデル図（南北方向）

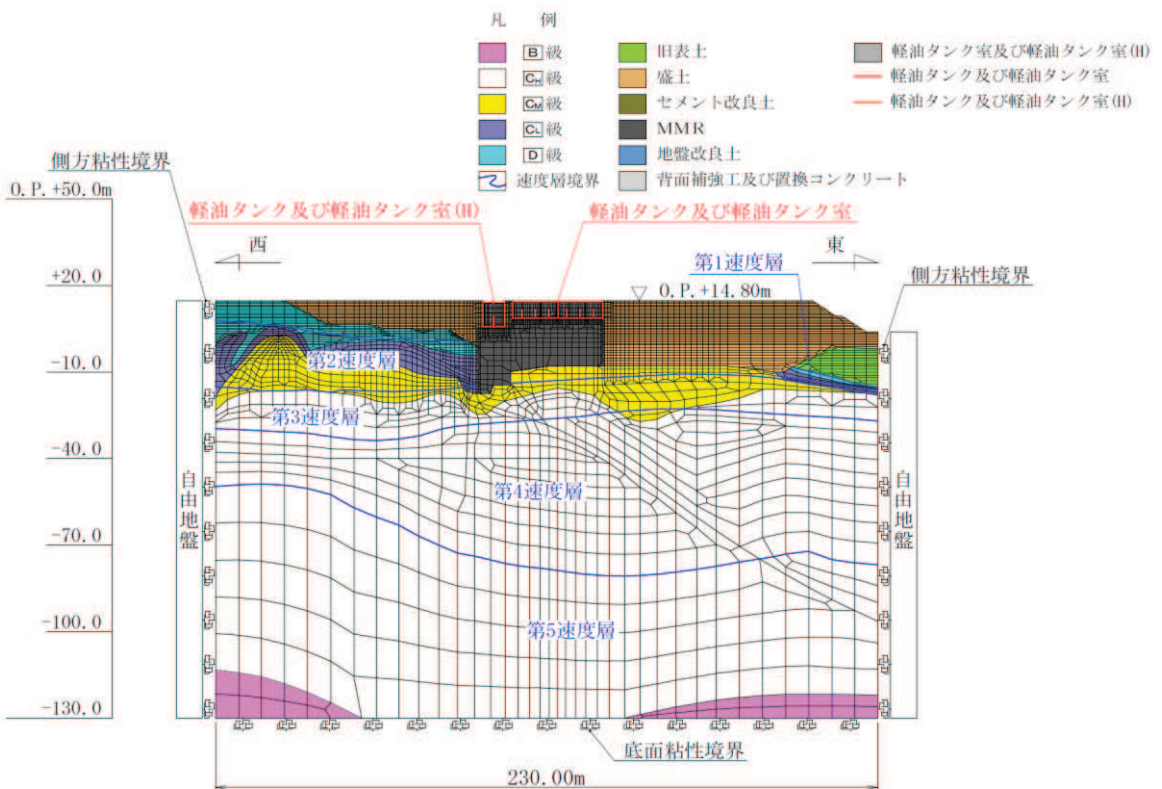


図 3-35 軽油タンク室の地震応答解析モデル図（東西方向（タンク室））

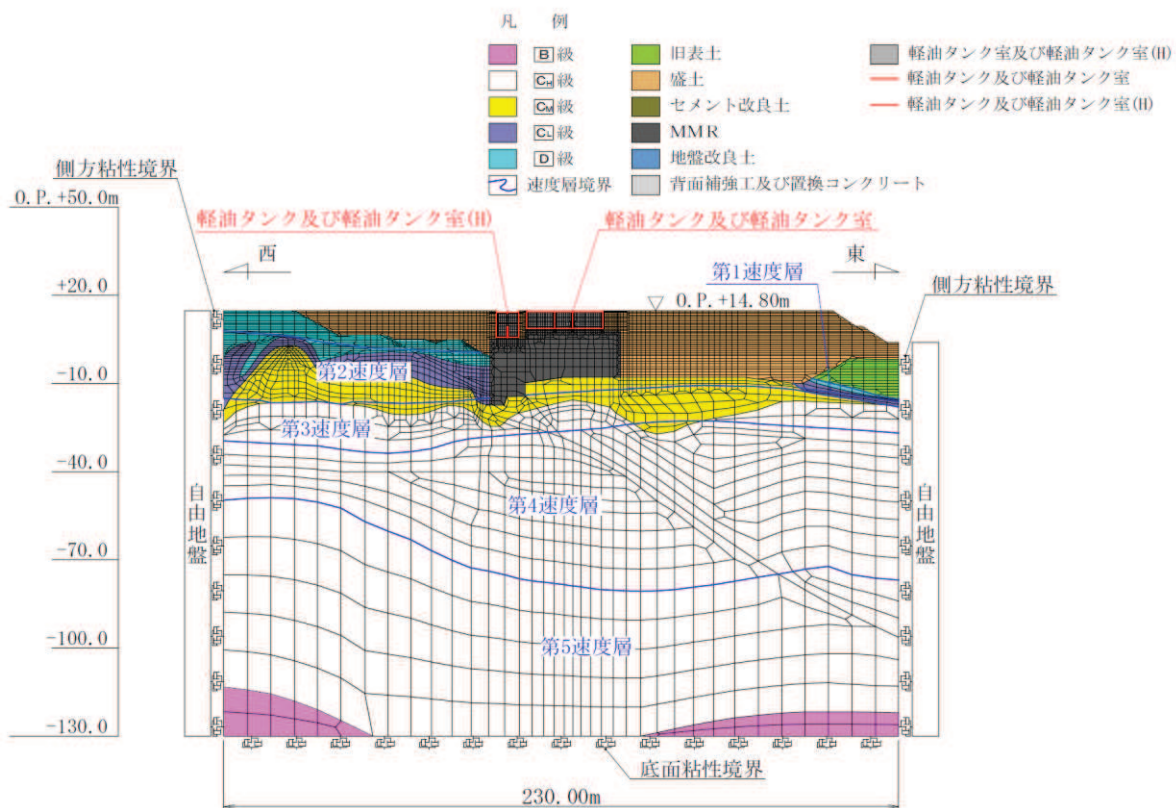


図 3-36 軽油タンク室の地震応答解析モデル図（東西方向（ポンプ室））

3.5.2 使用材料及び材料の物性値

構造物の使用材料を表3-6に、材料の物性値を表3-7に示す。

表3-6 使用材料

材料		仕様
コンクリート	底版、側壁、隔壁	設計基準強度 20.5N/mm^2
	頂版、隔壁	設計基準強度 24.0N/mm^2
鉄筋		SD345
軽油タンク		SM400C

表3-7 材料の物性値

材料	項目		材料諸元	備考
鉄筋コンクリート	単位体積重量 (kN/m^3)		24.0	
コンクリート	ヤング係数 (N/mm^2)	実強度*	3.32×10^4	解析ケース④
		設計基 準強度	20.5N/mm^2	解析ケース①, ②, ③
			24.0N/mm^2	2.33×10^4
ボアソン比			0.2	

注記*：既設構造物のコア採取による圧縮強度試験の結果を使用する。

3.5.3 地盤の物性値

地盤については、添付書類「VI-2-1-3 地盤の支持性能に係る基本方針」にて設定している物性値を用いる。

3.5.4 地下水位

設計用地下水位は、添付書類「VI-2-1-3 地盤の支持性能に係る基本方針」に従い設定する。設計用地下水位の一覧を表3-8に、設計用地下水位を図3-37～図3-39に示す。

表3-8 設計用地下水位の一覧

施設名称	地震時荷重算出断面	設計用地下水位
軽油タンク室	南北方向	O.P.-3.00 m
	東西方向（タンク室）	O.P.-3.00 m～O.P.+3.00 m
	東西方向（ポンプ室）	O.P.-3.00 m～O.P.+3.00 m

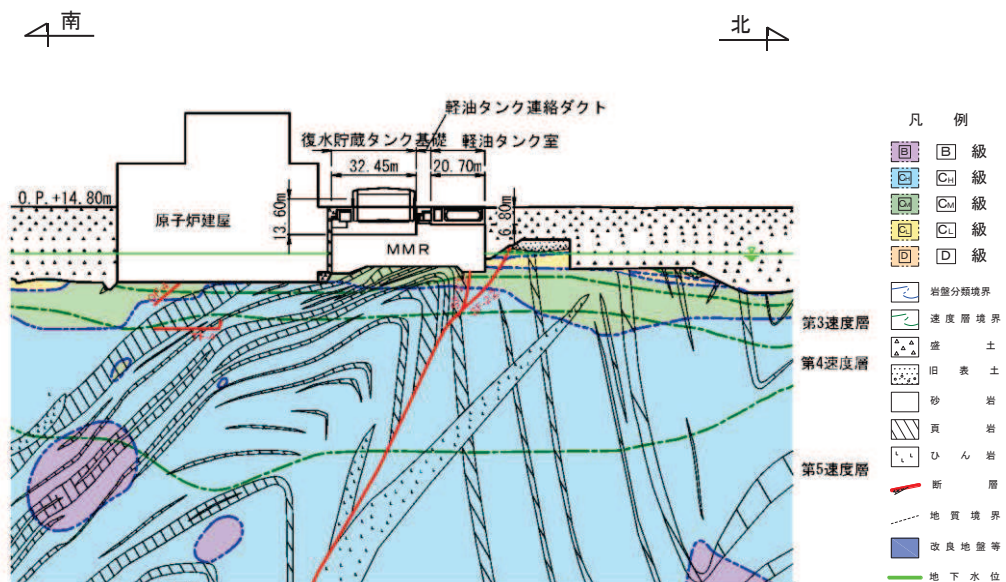


図3-37 設計用地下水位（南北方向）

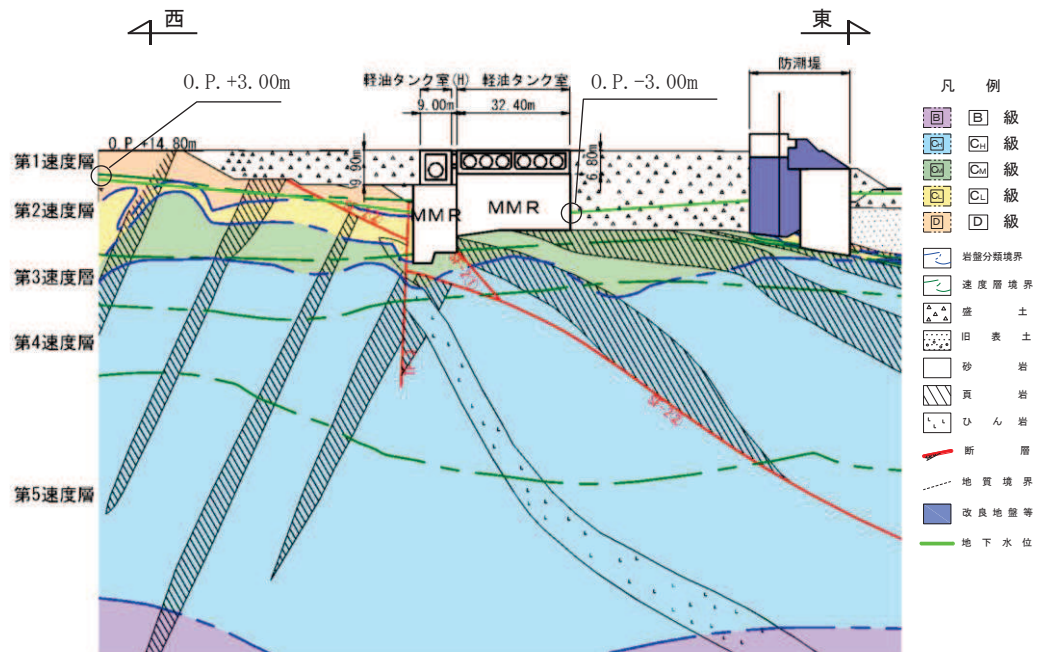


図 3-38 設計用地下水位（東西方向（タンク室））

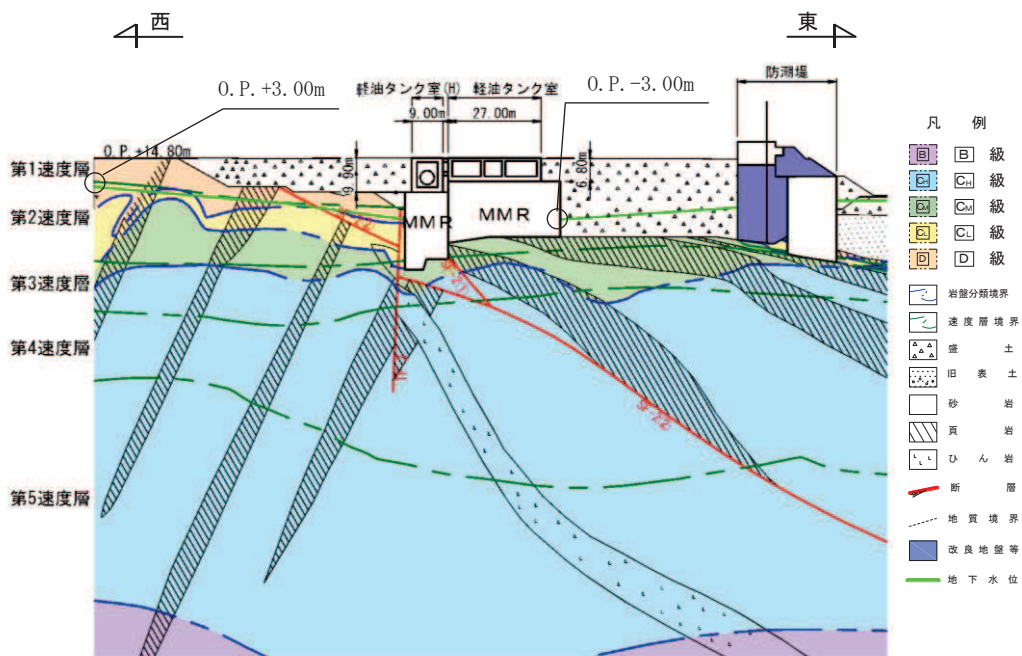


図 3-39 設計用地下水位（東西方向（ポンプ室））

4. 解析結果

4.1 南北方向の解析結果

耐震評価のために用いる応答加速度として、解析ケース①（基本ケース）について、すべての基準地震動 S_s に対する最大加速度分布図を図 4-1～図 4-14 に示す。また、解析ケース①において、照査項目ごとに照査値が 0.5 を超えるケースで照査値が最大となる地震動について、解析ケース②～④の最大加速度分布図を図 4-15～図 4-17 に示す。

これらに加え、機器・配管系に対する応答加速度抽出として、解析ケース②～④について、すべての基準地震動 S_s に対する最大加速度分布図を図 4-18～図 4-38 に示す。また、解析ケース①～④について、すべての弹性設計用地震動 S_d に対する最大加速度分布図を図 4-39～図 4-66 に示す。

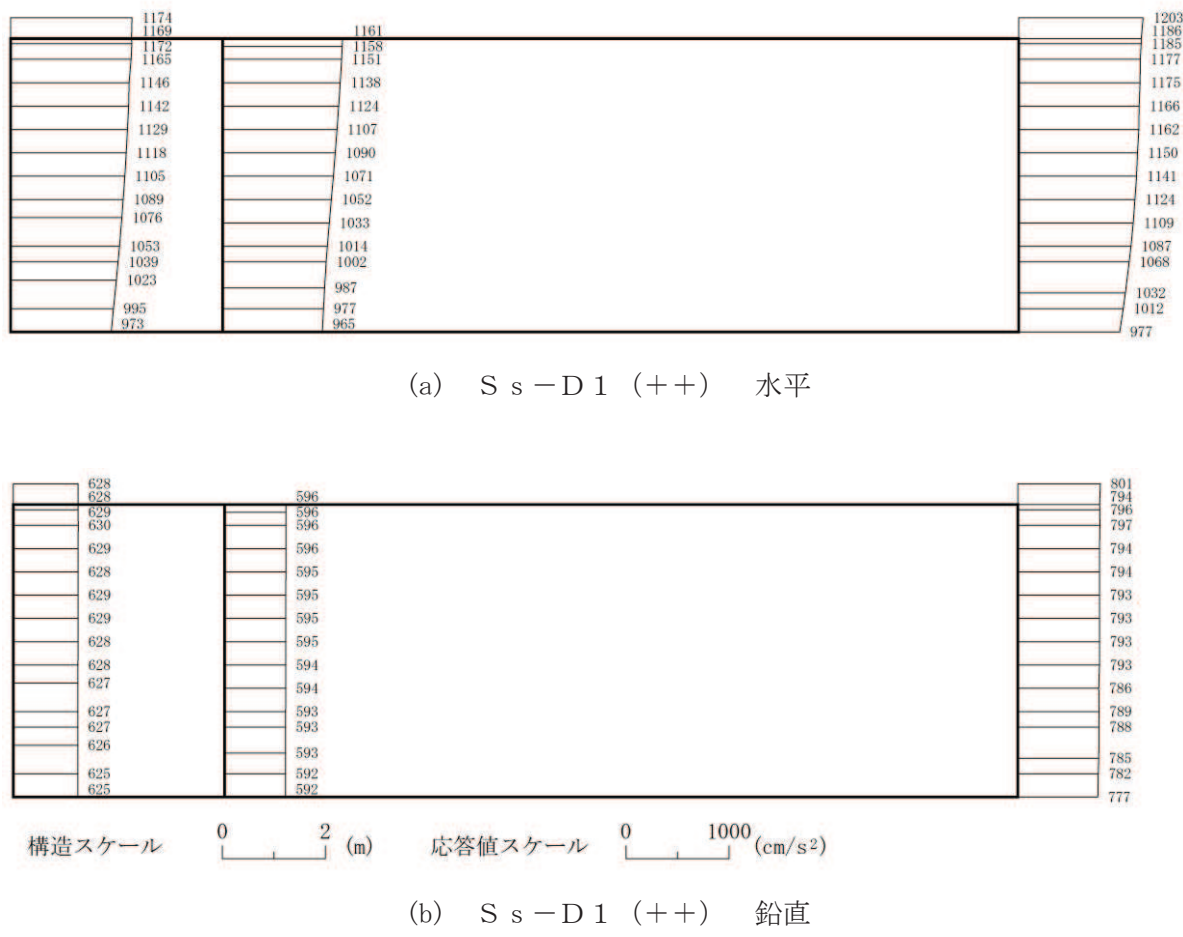


図 4-1 最大加速度分布図 (1/17) (解析ケース①)

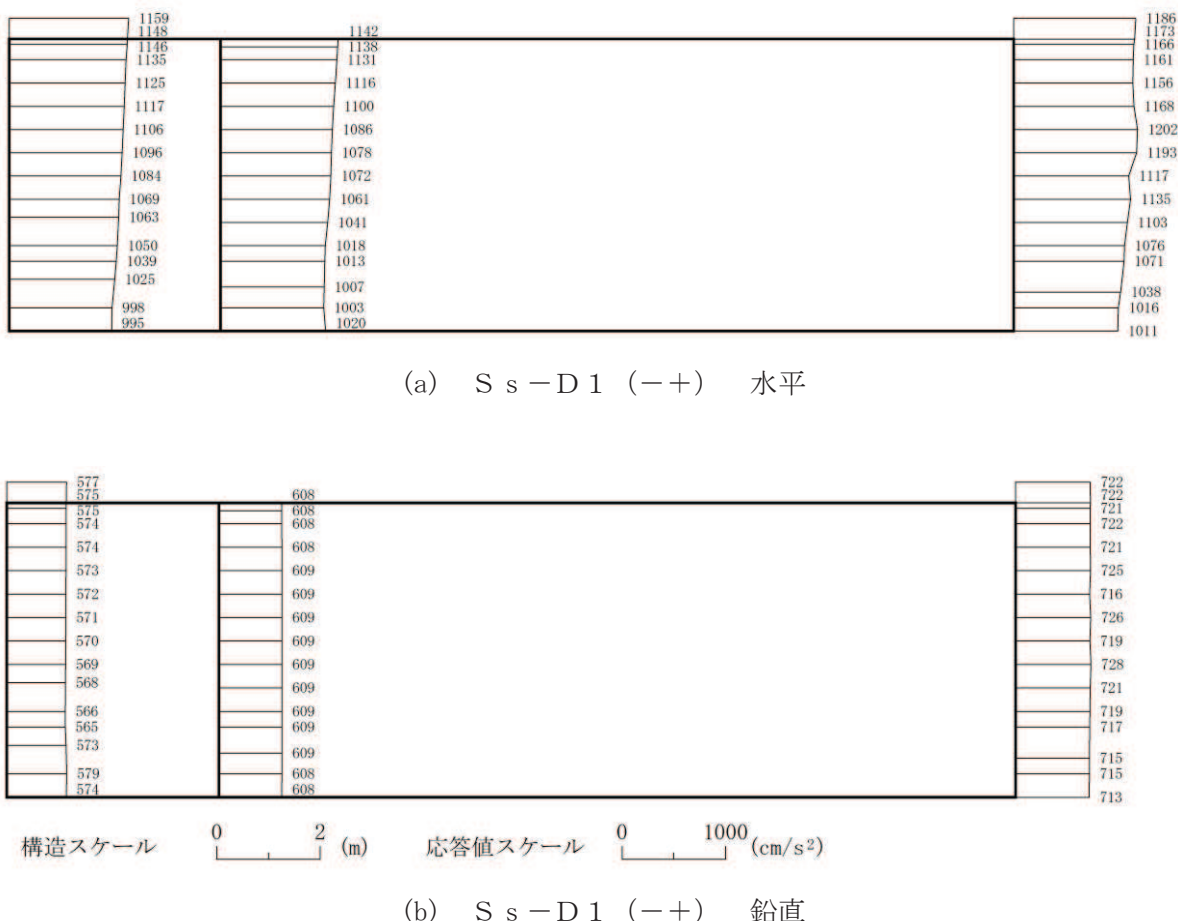


図 4-2 最大加速度分布図 (2/17) (解析ケース①)

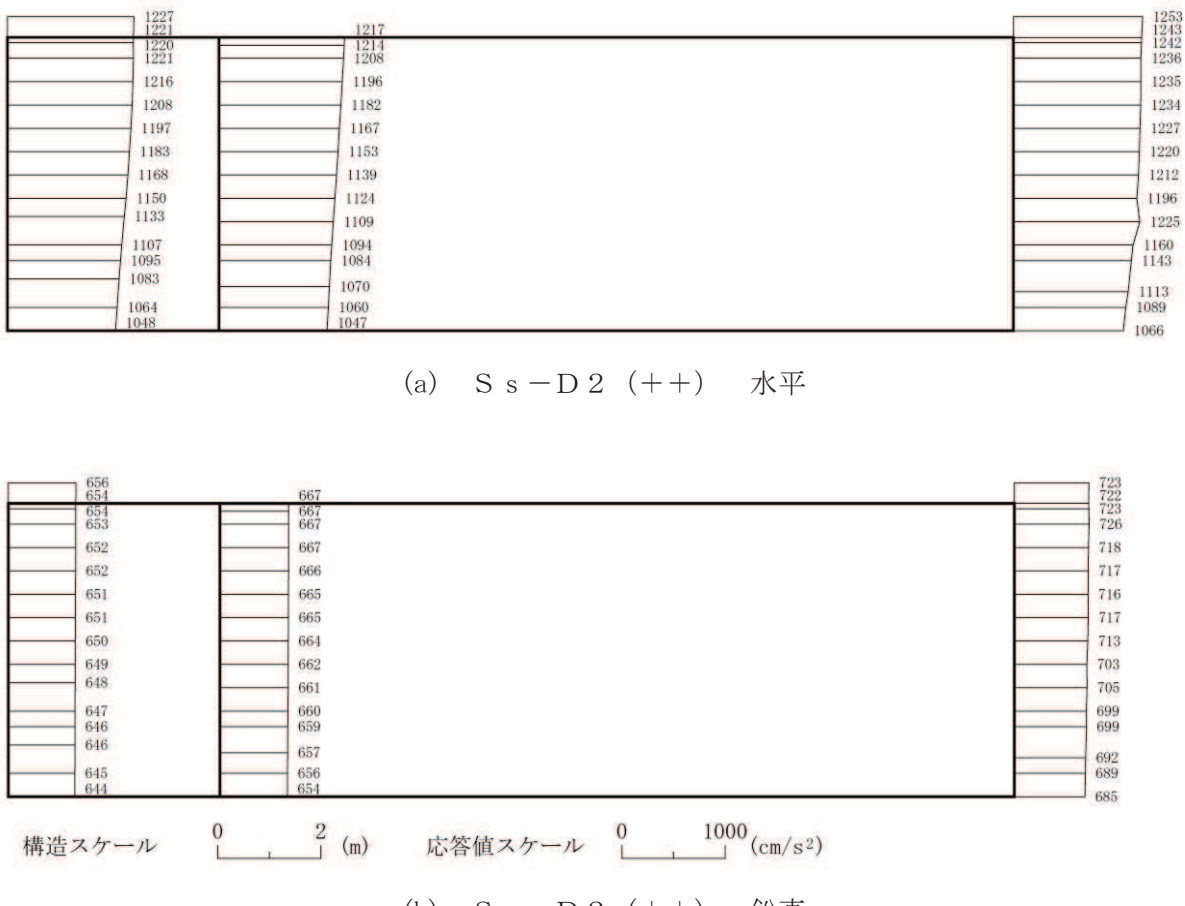


図 4-3 最大加速度分布図 (3/17) (解析ケース①)

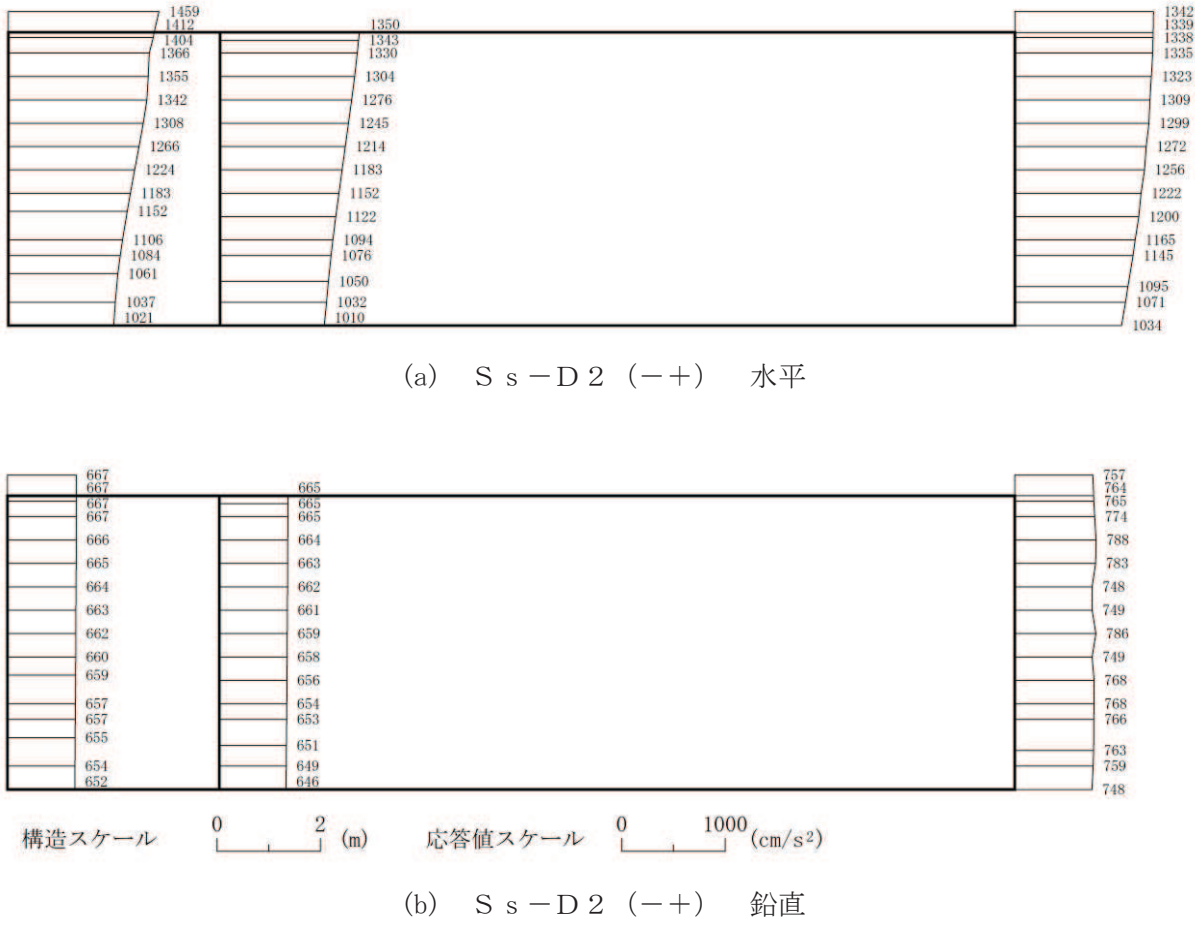


図 4-4 最大加速度分布図 (4/17) (解析ケース①)

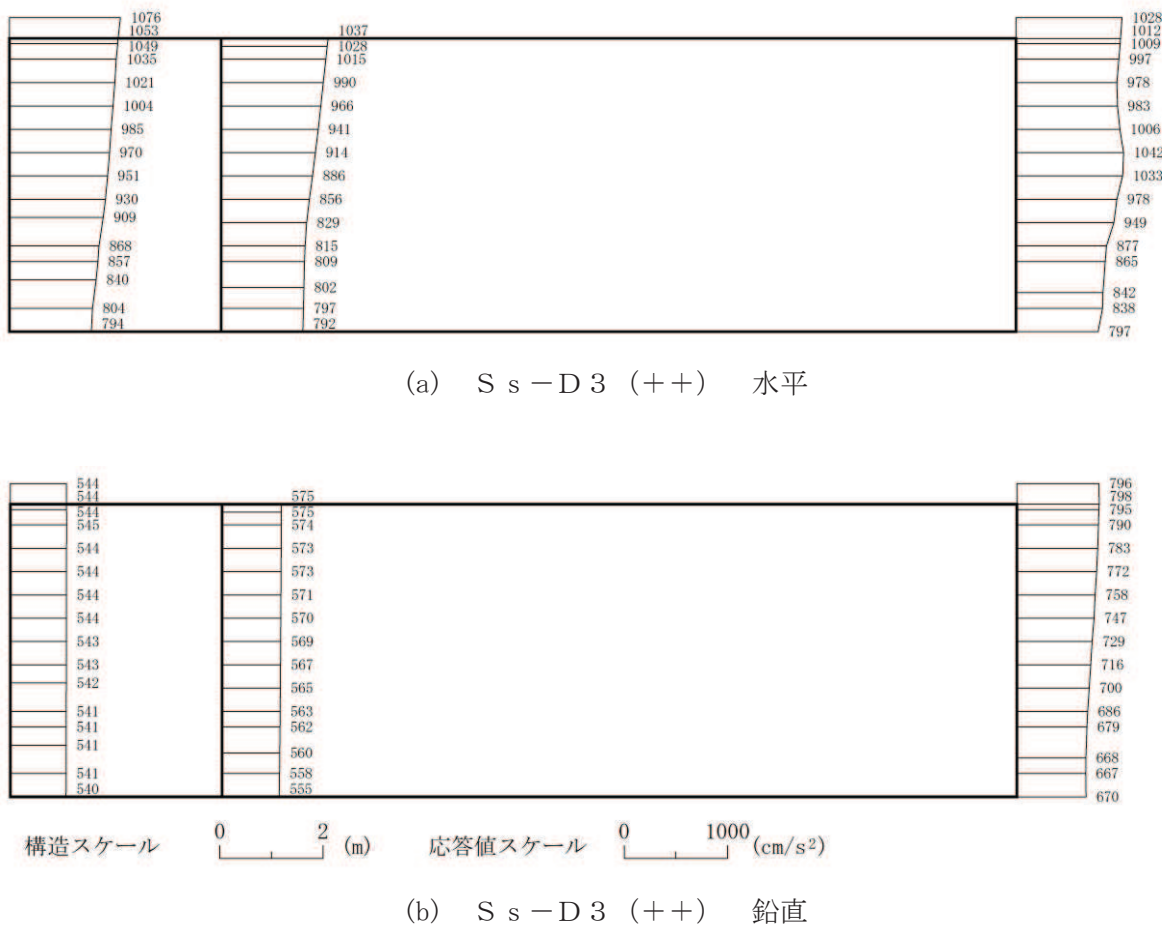


図 4-5 最大加速度分布図 (5/17) (解析ケース①)

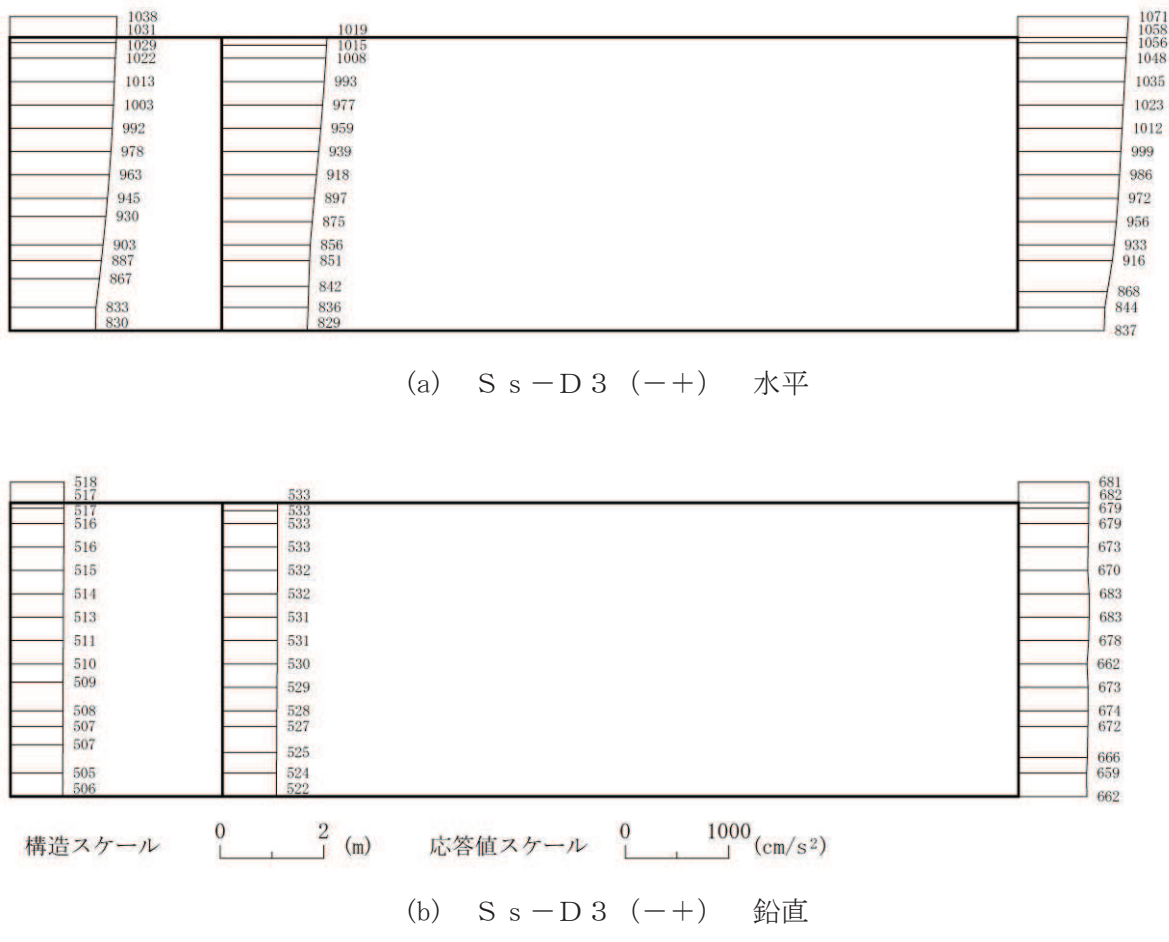


図 4-6 最大加速度分布図 (6/17) (解析ケース①)

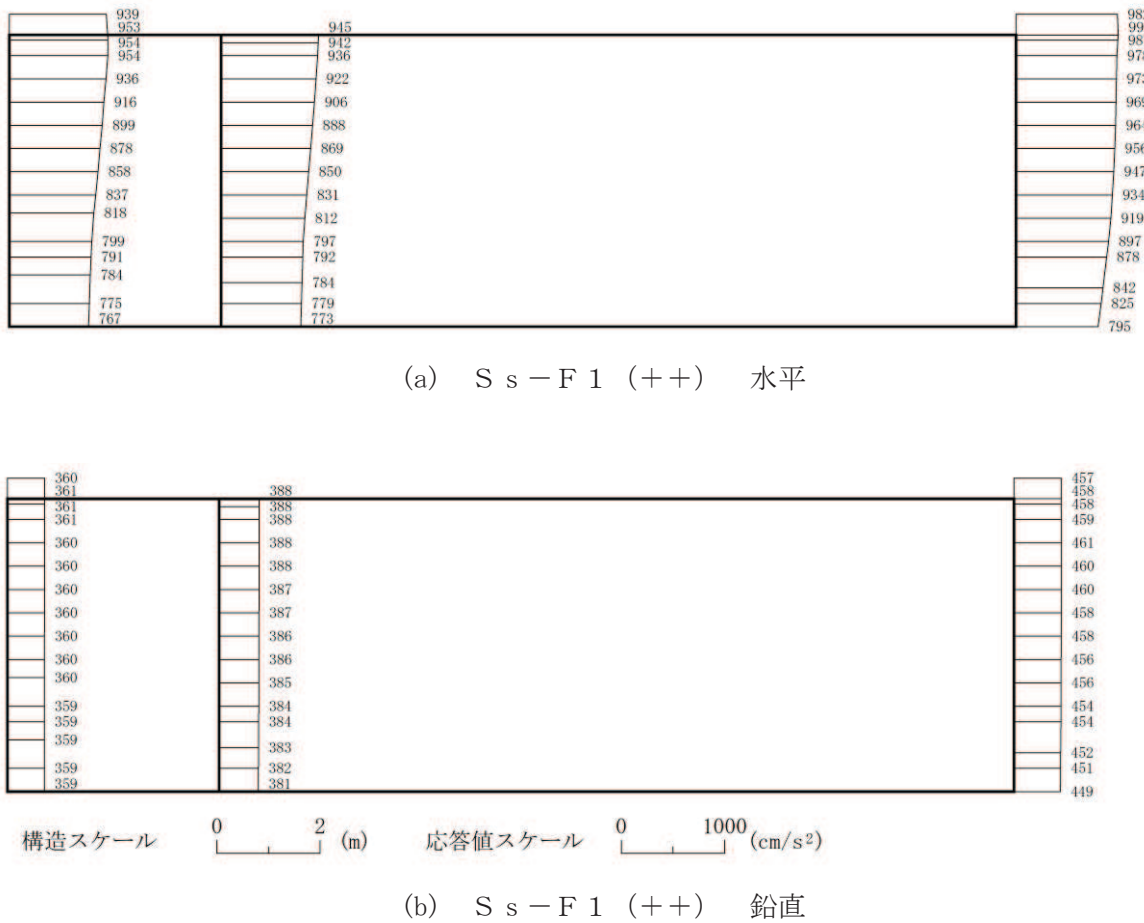
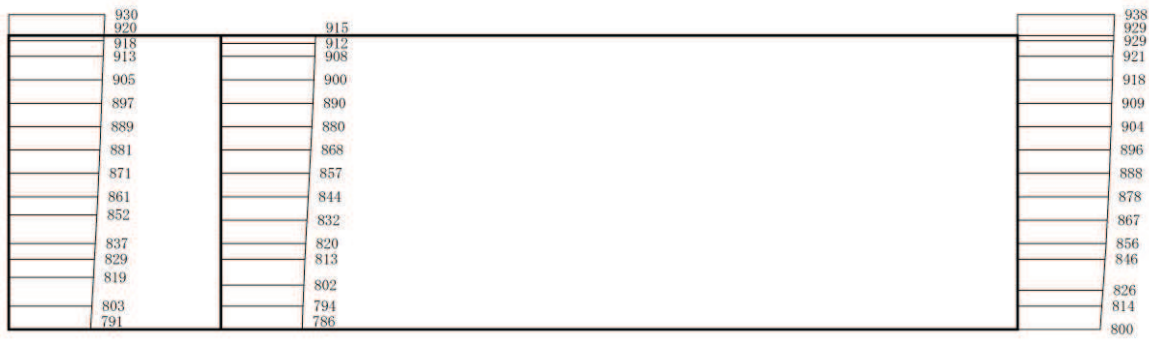
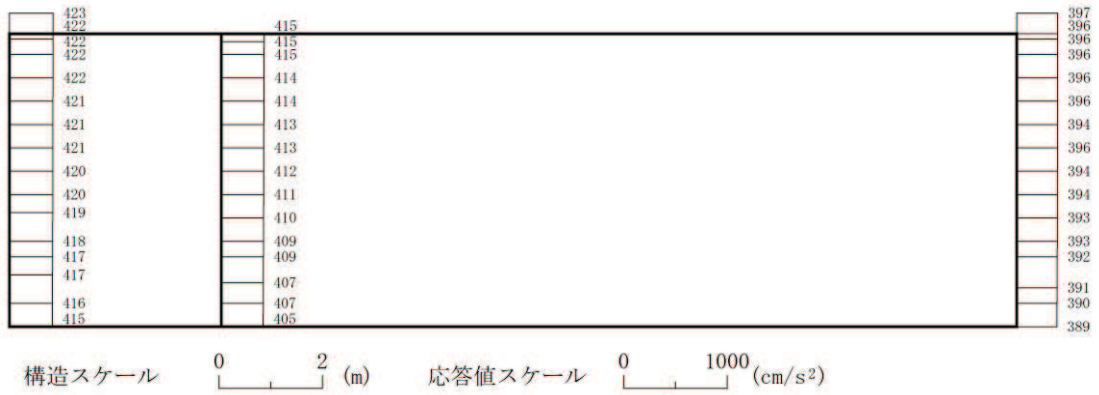


図 4-7 最大加速度分布図 (7/17) (解析ケース①)



(a) S s - F 1 (-+) 水平



(b) S s - F 1 (-+) 鉛直

図 4-8 最大加速度分布図 (8/17) (解析ケース①)

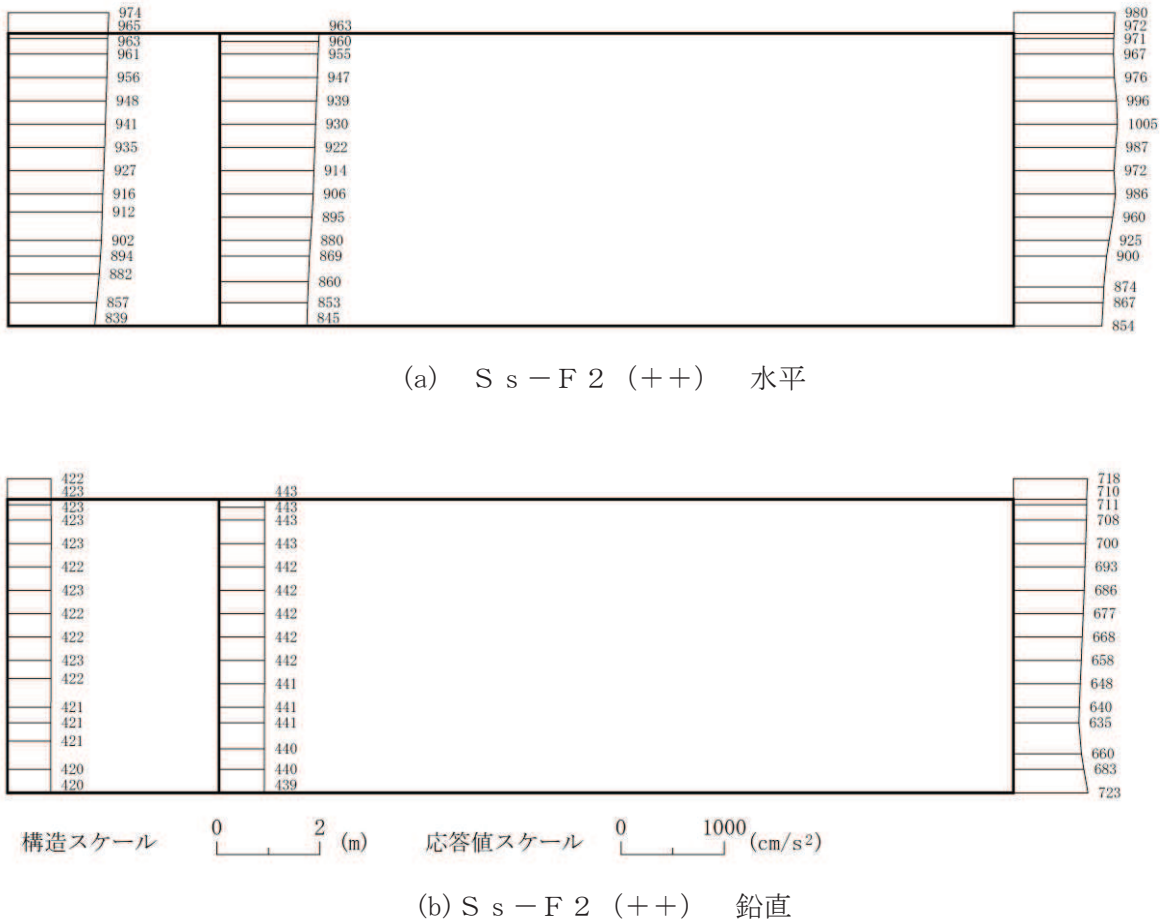


図 4-9 最大加速度分布図 (9/17) (解析ケース①)

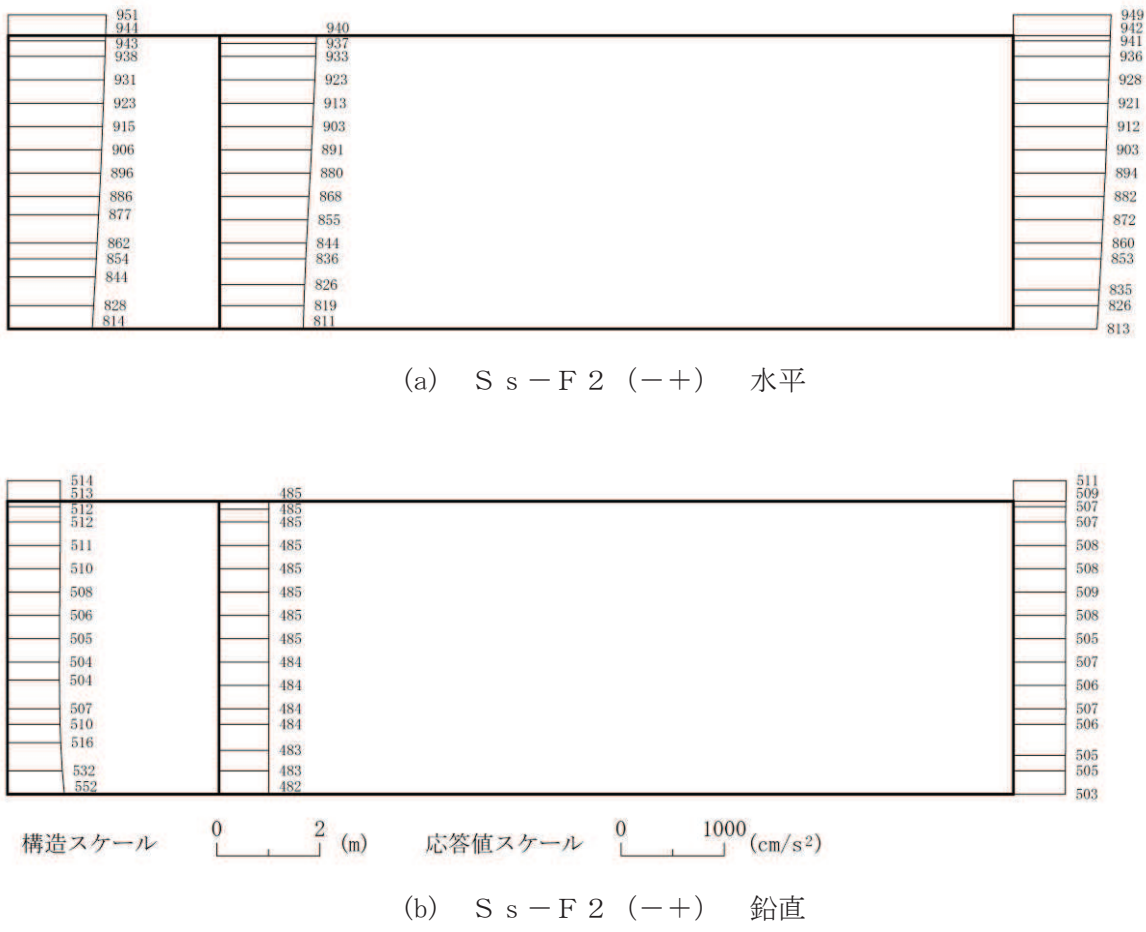


図 4-10 最大加速度分布図 (10/17) (解析ケース①)

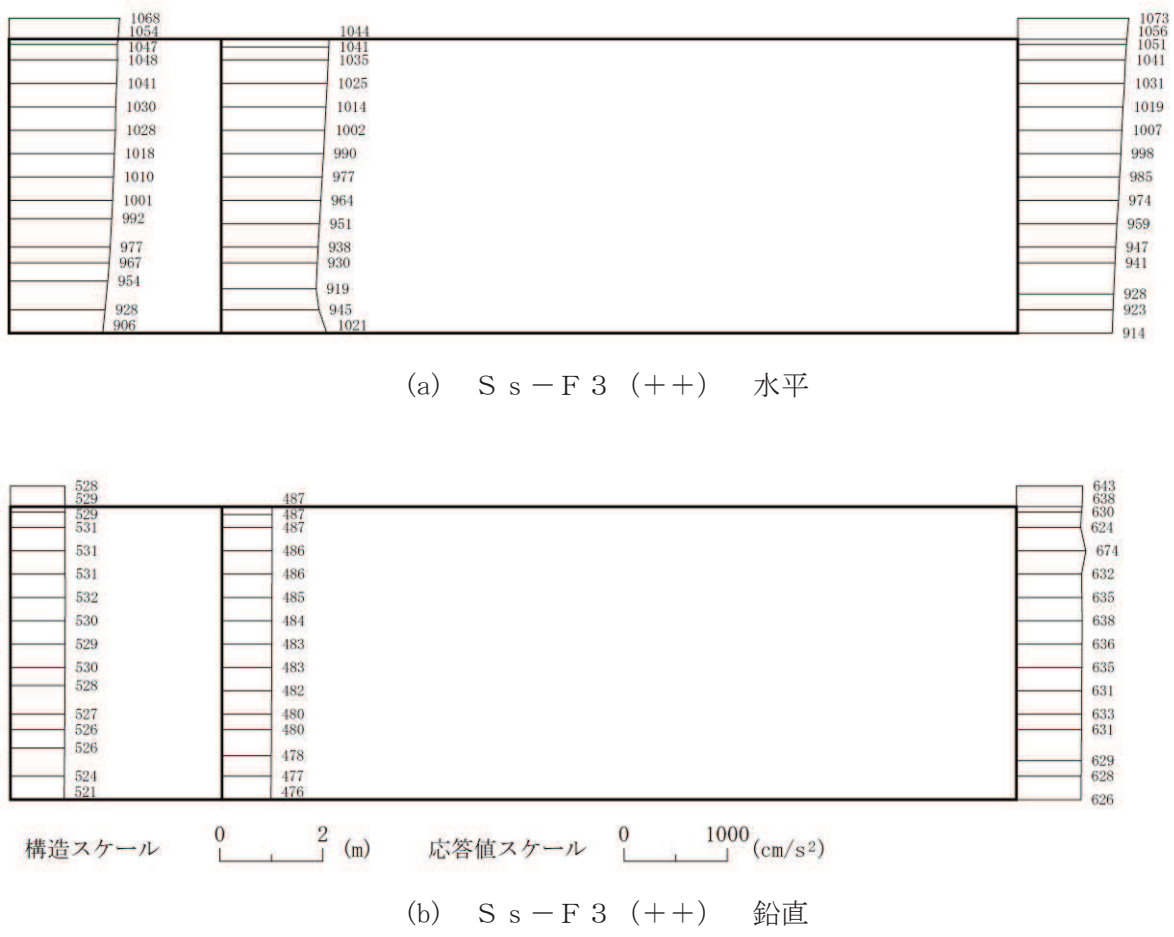
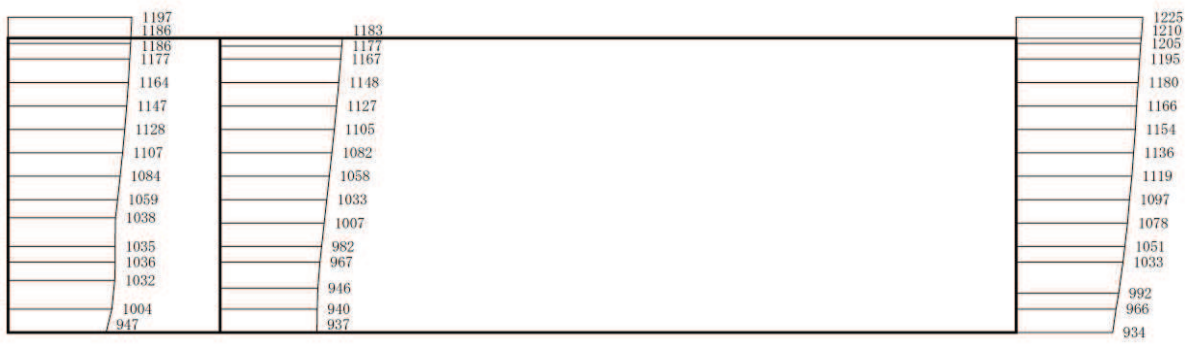
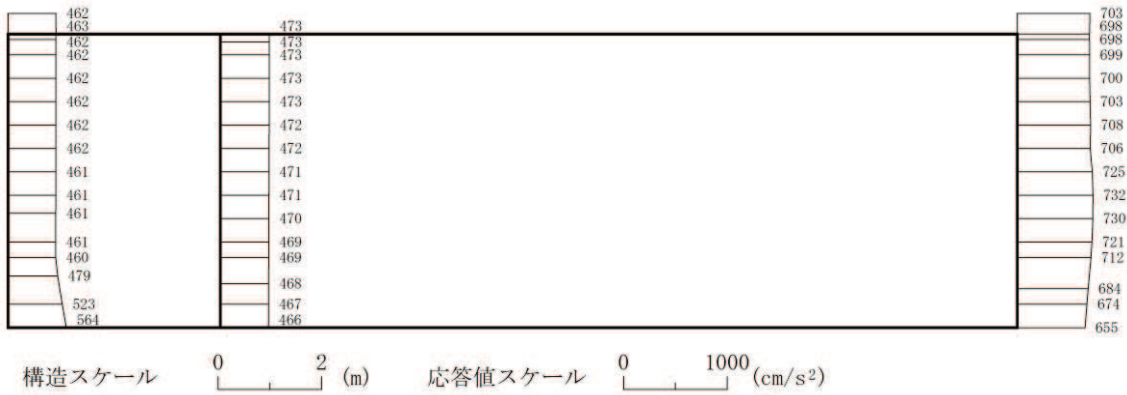


図 4-11 最大加速度分布図 (11/17) (解析ケース①)



(a) S s - F 3 (-+) 水平



構造スケール 0 2 (m)

応答値スケール 0 1000 (cm/s²)

(b) S s - F 3 (-+) 鉛直

図 4-12 最大加速度分布図 (12/17) (解析ケース①)

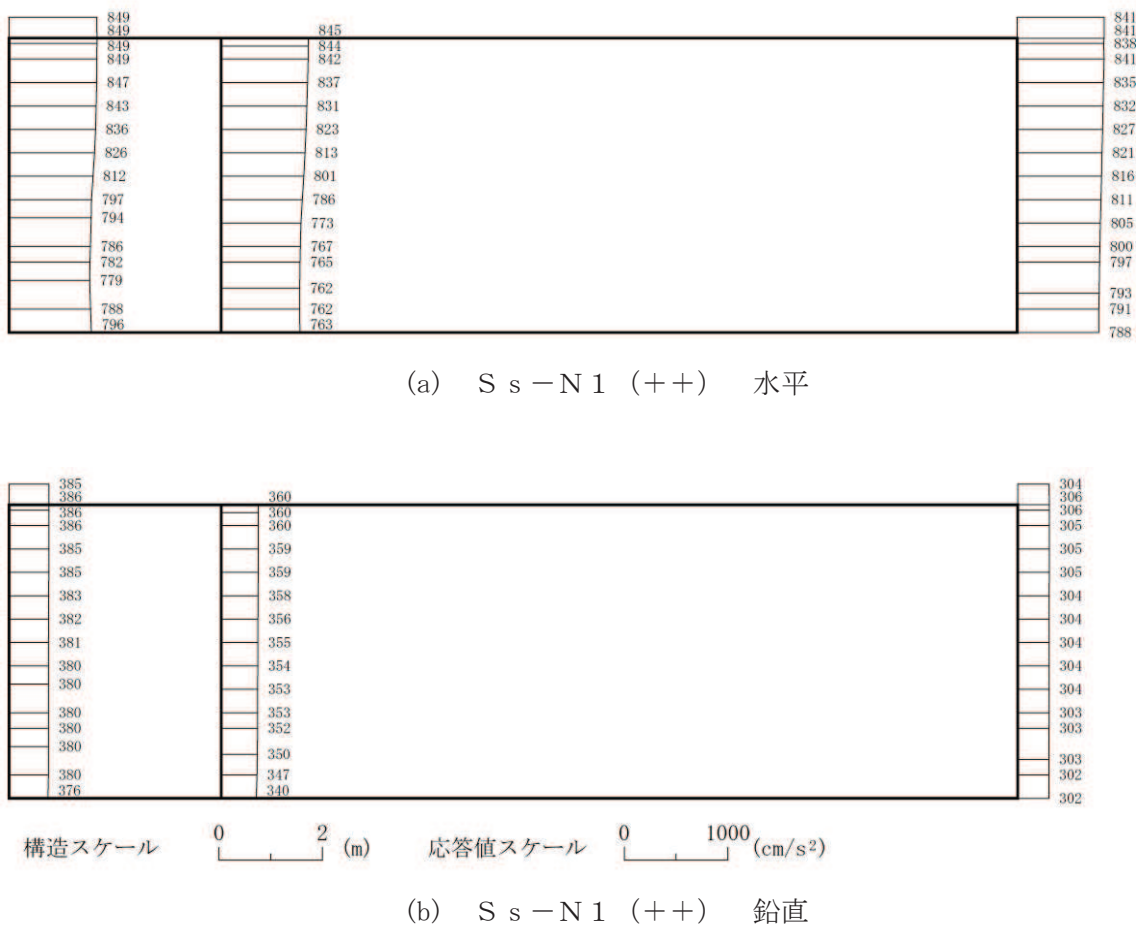


図 4-13 最大加速度分布図 (13/17) (解析ケース①)

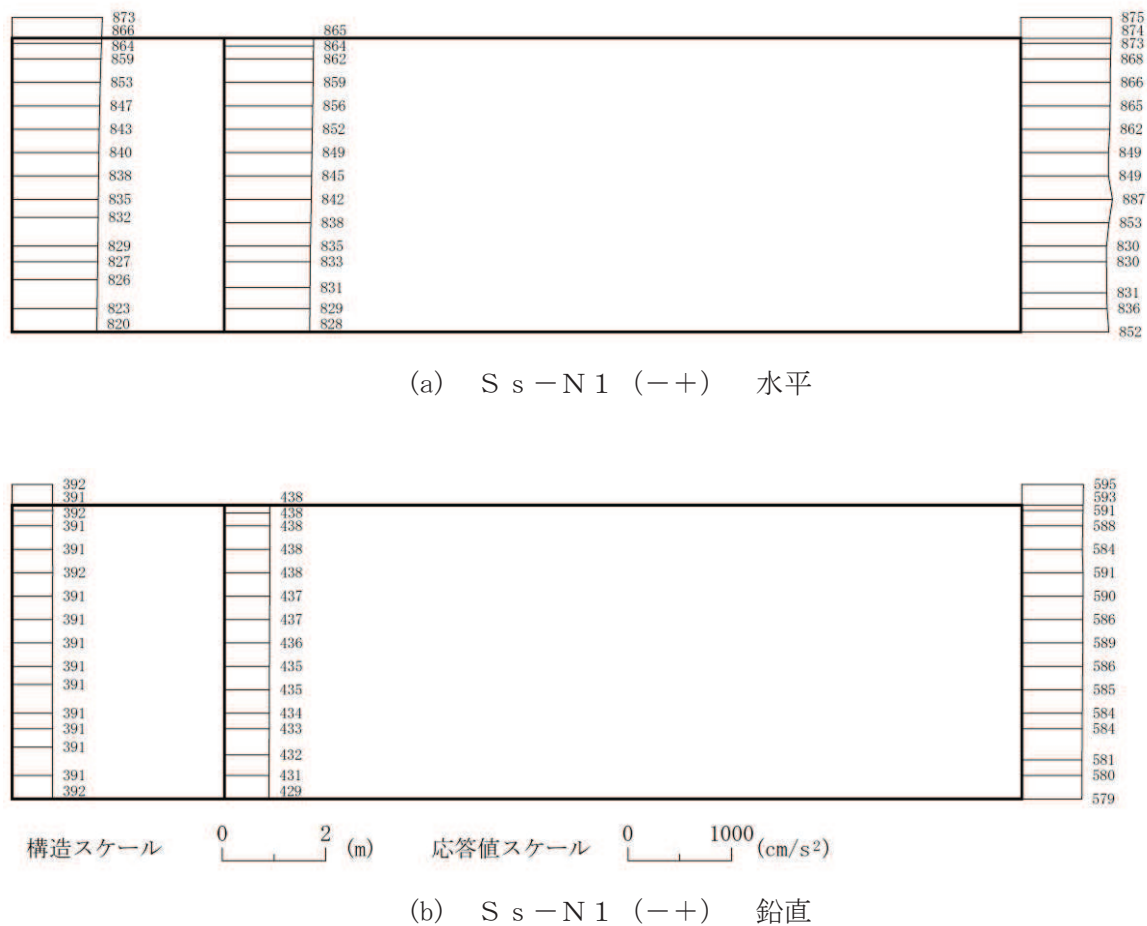
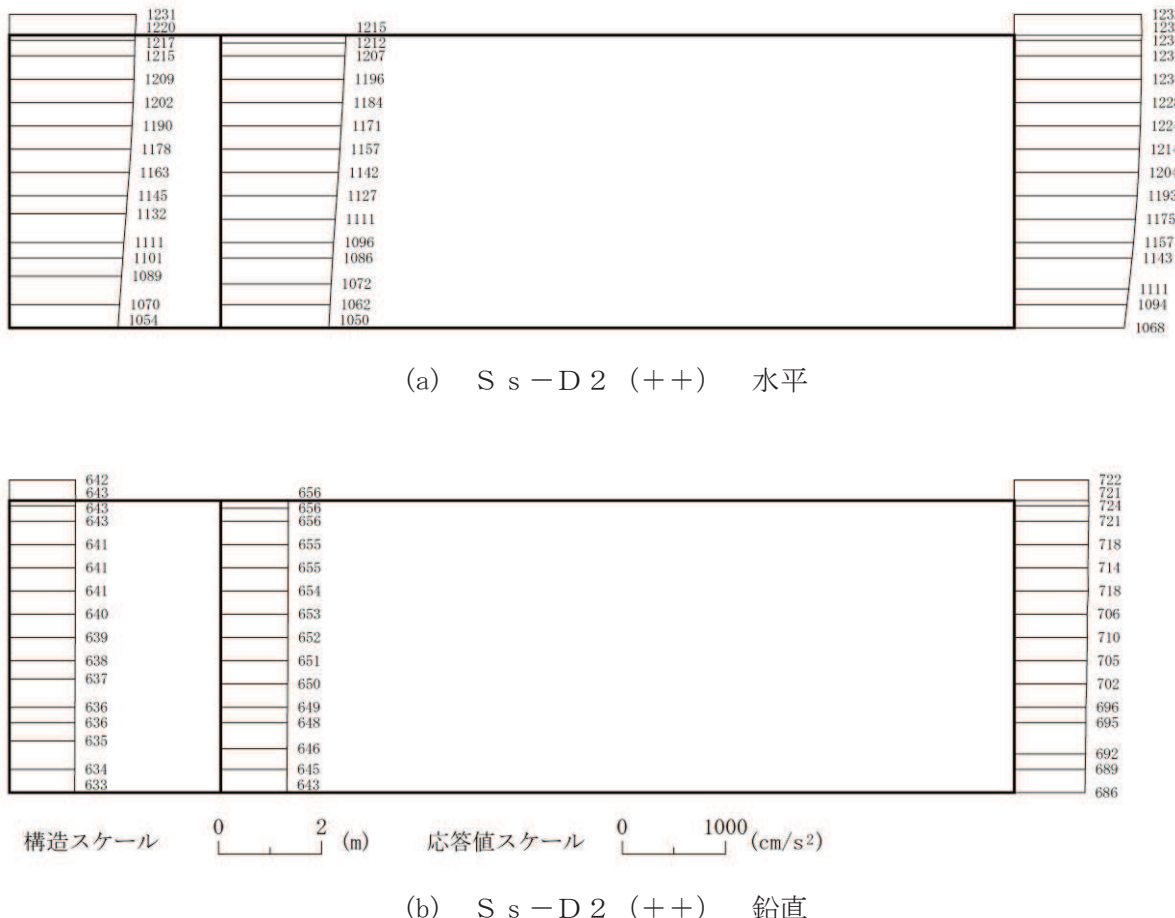
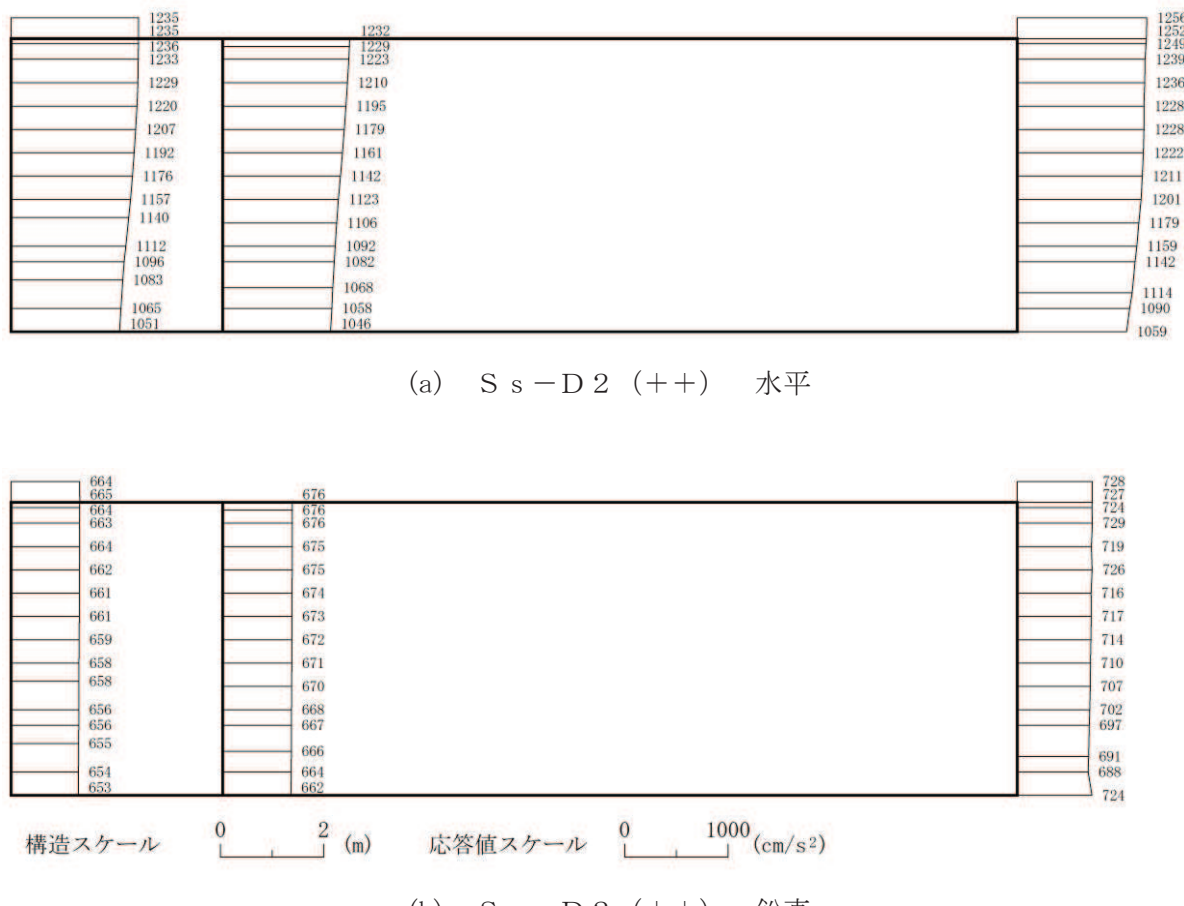


図 4-14 最大加速度分布図 (14/17) (解析ケース①)



(b) S s - D 2 (++) 鉛直

図 4-15 最大加速度分布図 (15/17)
(解析ケース②：せん断破壊に対する最大照査値ケース)



(b) S s - D 2 (++) 鉛直

図 4-16 最大加速度分布図 (16/17)

(解析ケース③：せん断破壊に対する最大照査値ケース)

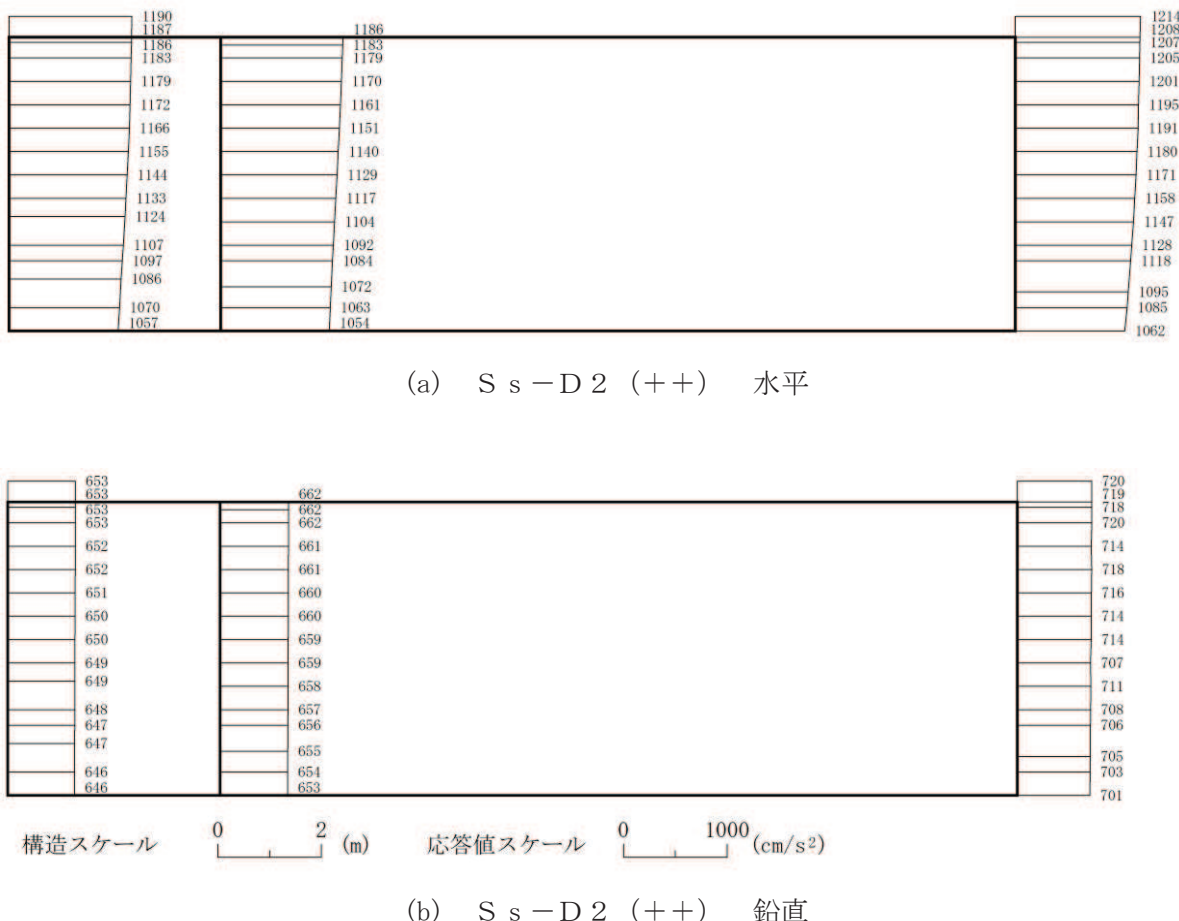


図 4-17 最大加速度分布図 (17/17)

(解析ケース④：せん断破壊に対する最大照査値ケース)

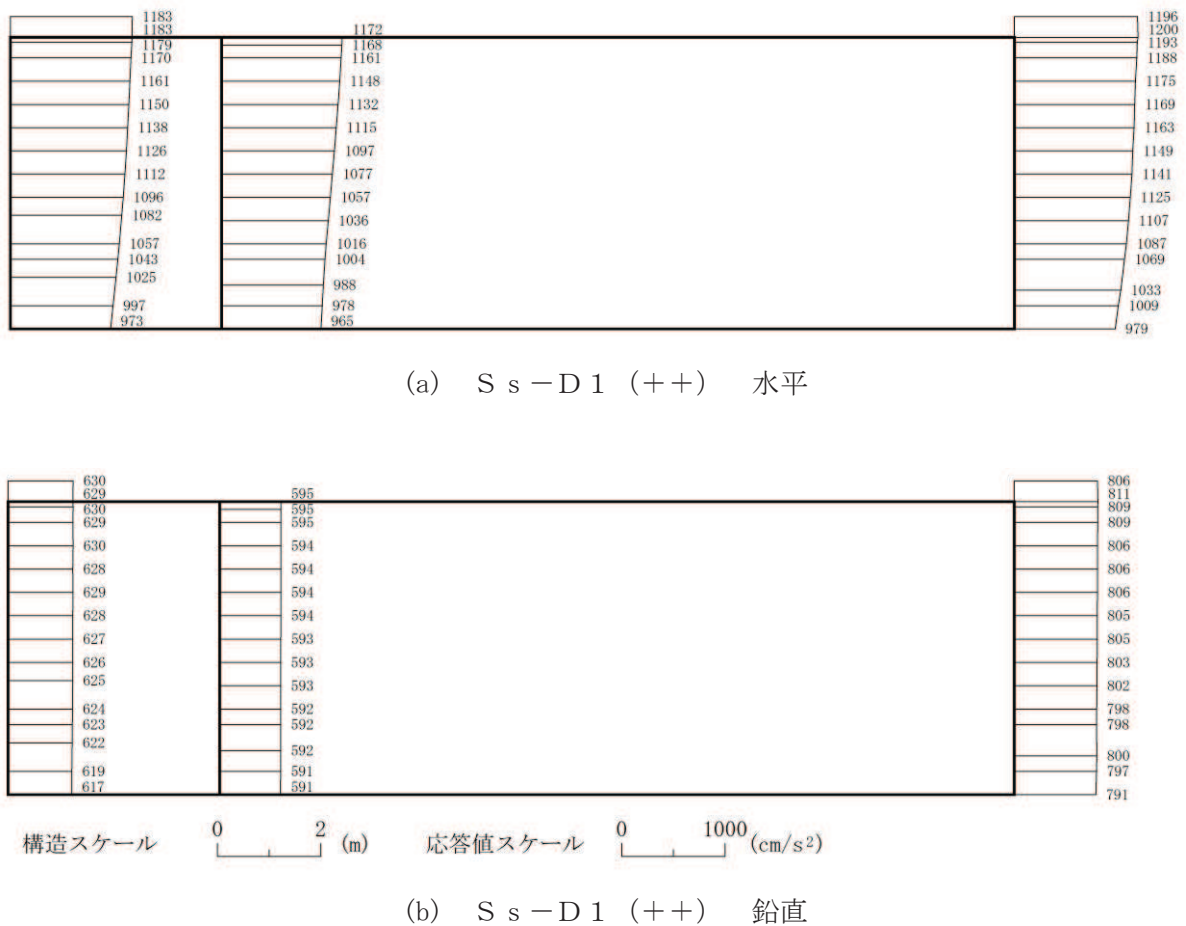
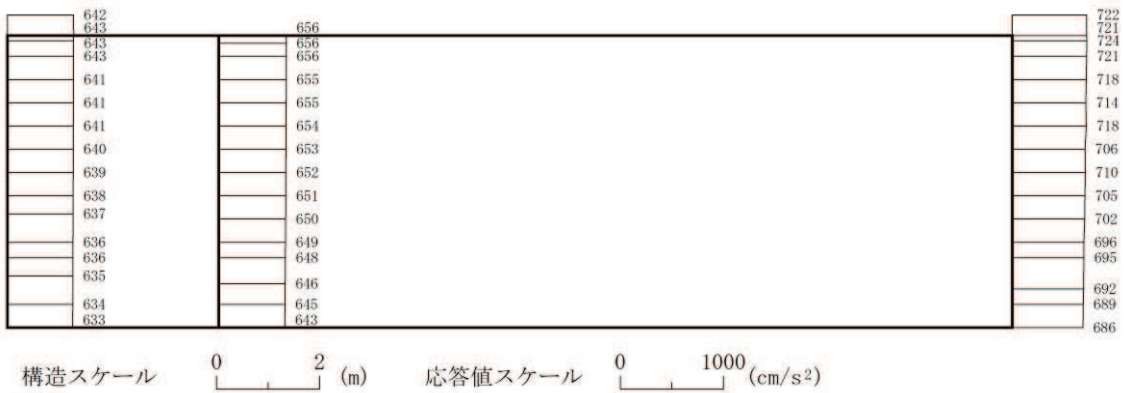


図 4-18 最大加速度分布図 (1/49) (解析ケース②)

1231				1233
1220				1238
1217		1215	1212	1234
1215		1207	1207	1234
1209			1196	1234
1202			1184	1228
1190			1171	1224
1178			1157	1214
1163			1142	1204
1145			1127	1193
1132			1111	1175
1111			1096	1157
1101			1086	1143
1089			1072	1111
1070			1062	1094
1054			1050	1068

(a) S s - D 2 (++) 水平



(b) S s - D 2 (++) 鉛直

図 4-19 最大加速度分布図 (2/49) (解析ケース②)

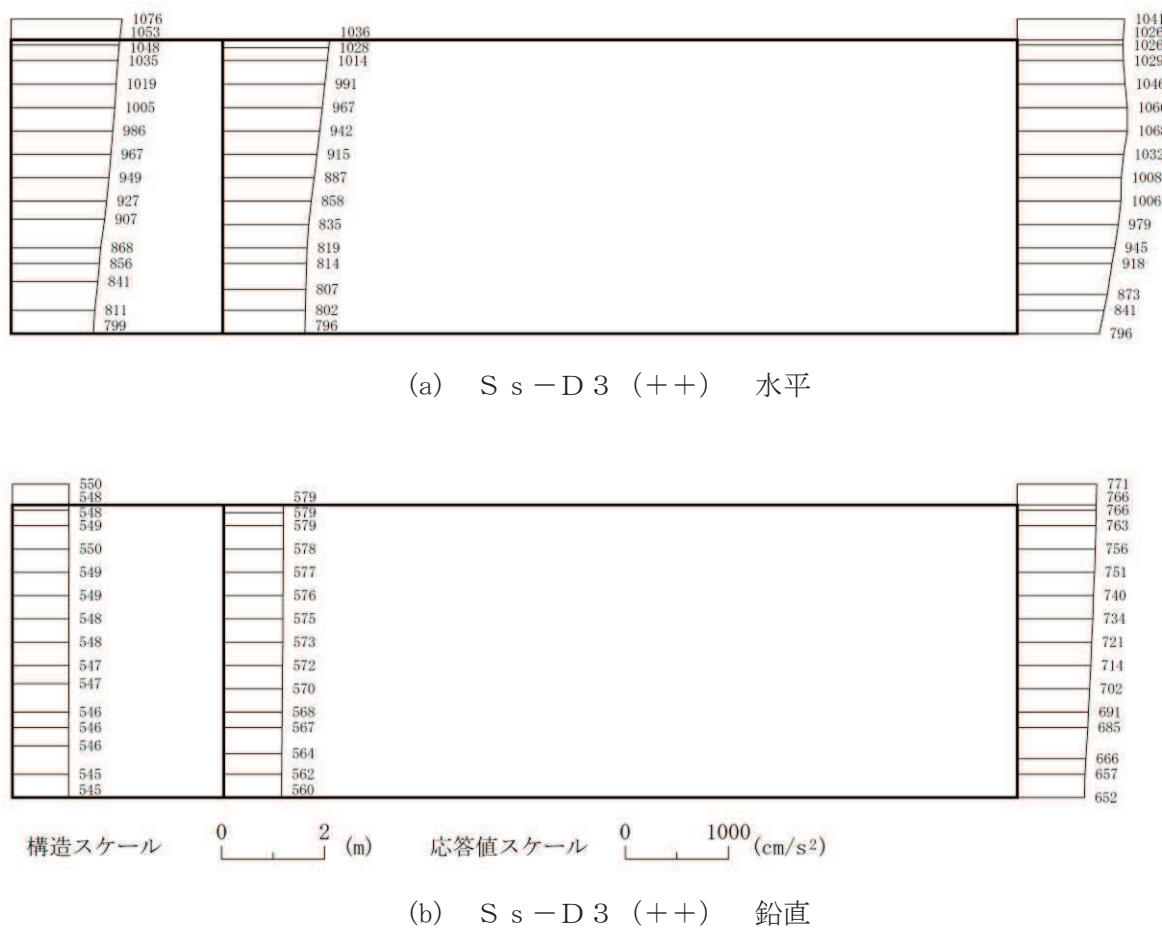


図 4-20 最大加速度分布図 (3/49) (解析ケース②)

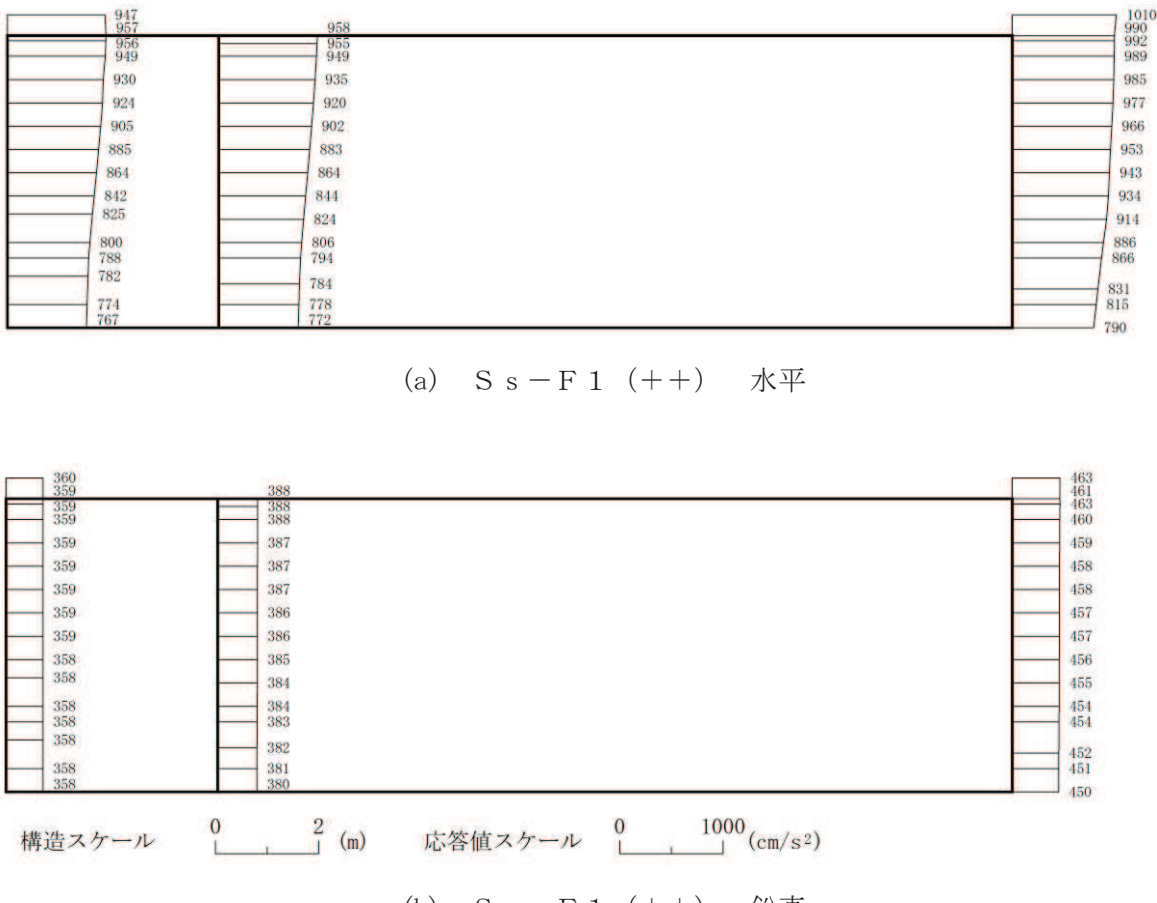


図 4-21 最大加速度分布図 (4/49) (解析ケース②)

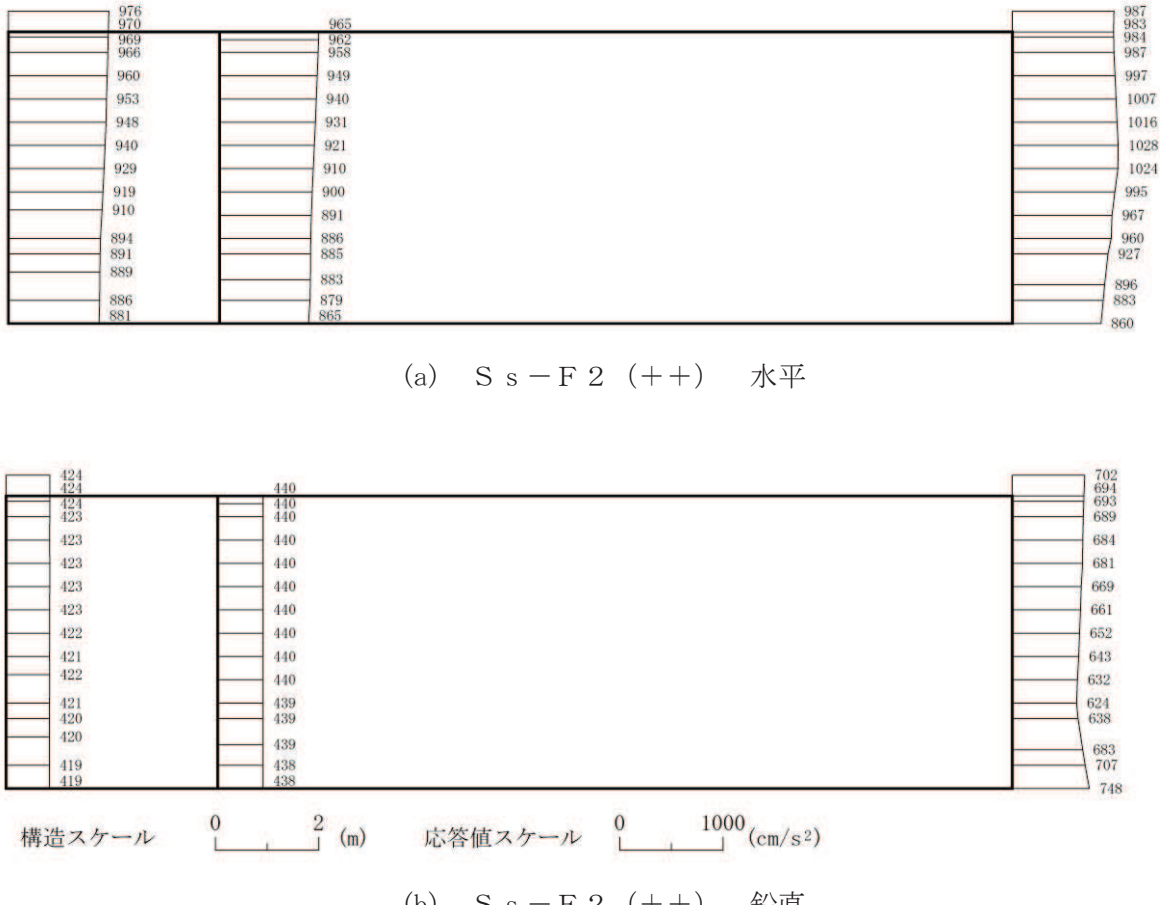
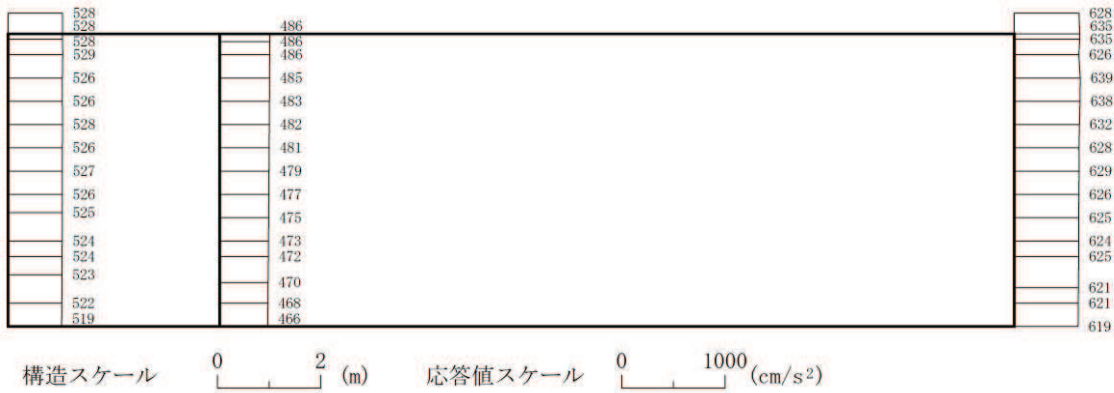


図 4-22 最大加速度分布図 (5/49) (解析ケース②)

1066	1055	1087
1062	1051	1072
1064	1046	1066
1062	1035	1054
1044	1024	1043
1042	1013	1032
1036	1000	1019
1024	987	1005
1017	974	992
1007	960	975
999	947	962
984	939	953
974	928	939
961	948	933
936	1024	925
914		

(a) S s - F 3 (++) 水平



(b) S s - F 3 (++) 鉛直

図 4-23 最大加速度分布図 (6/49) (解析ケース②)

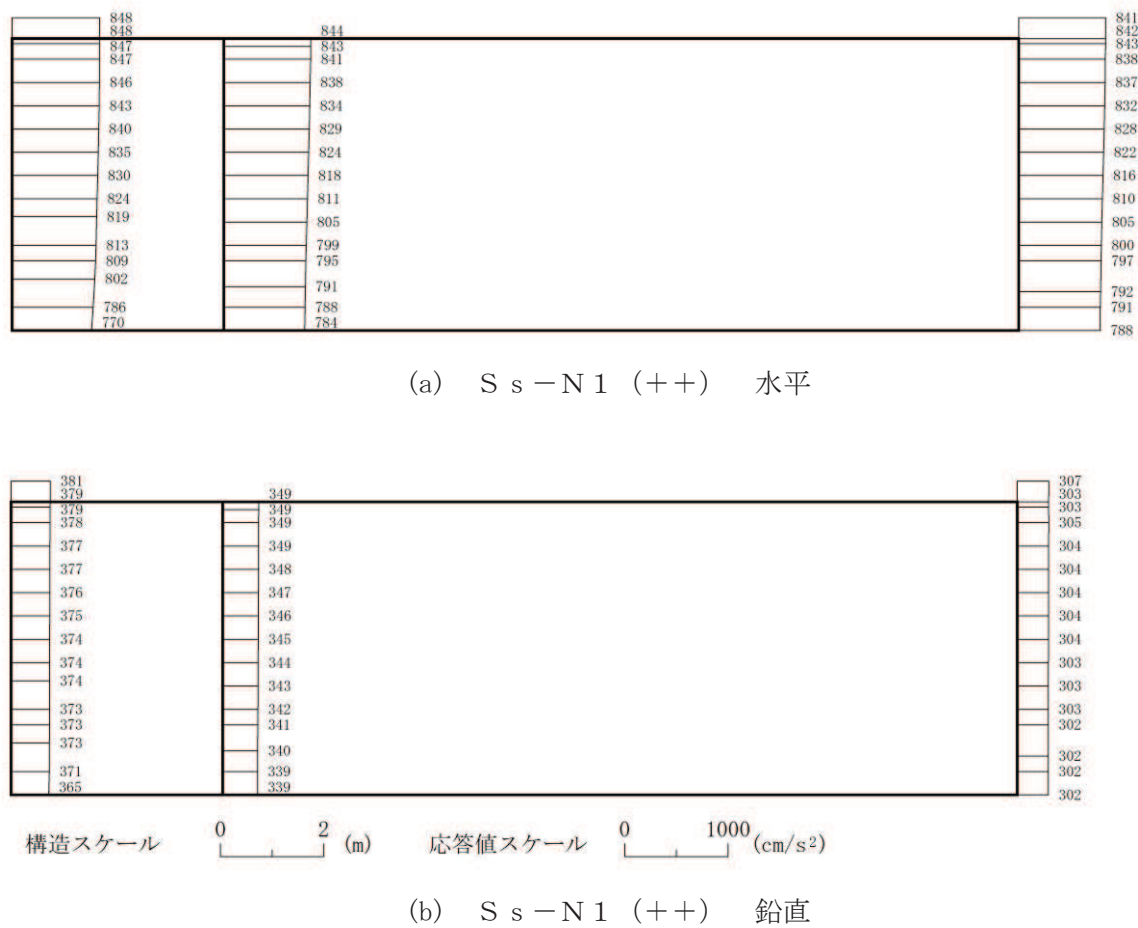
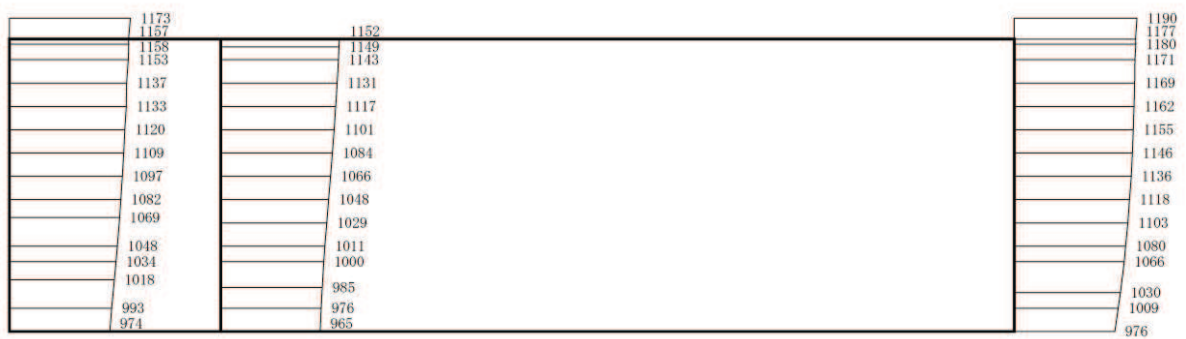
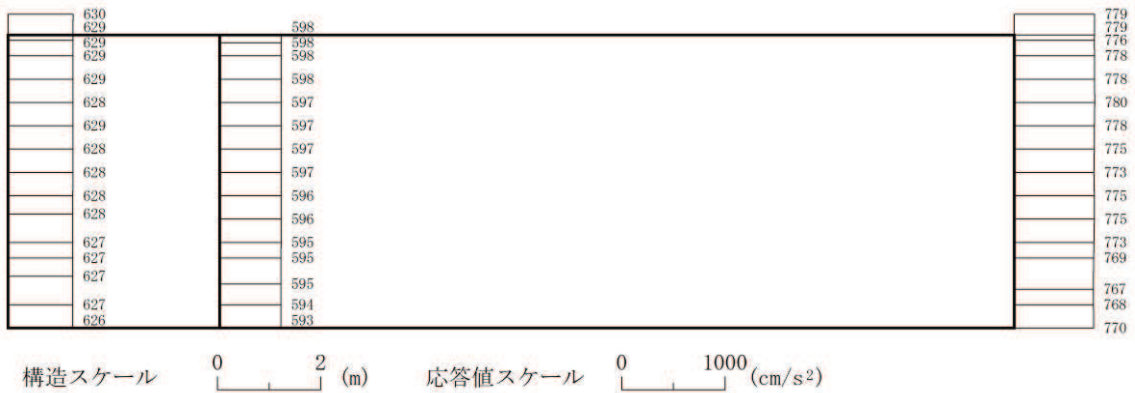


図 4-24 最大加速度分布図 (7/49) (解析ケース②)



(a) S s - D 1 (++) 水平



(b) S s - D 1 (++) 鉛直

図 4-25 最大加速度分布図 (8/49) (解析ケース③)

VI-2-2-13 R 0

3

2
○

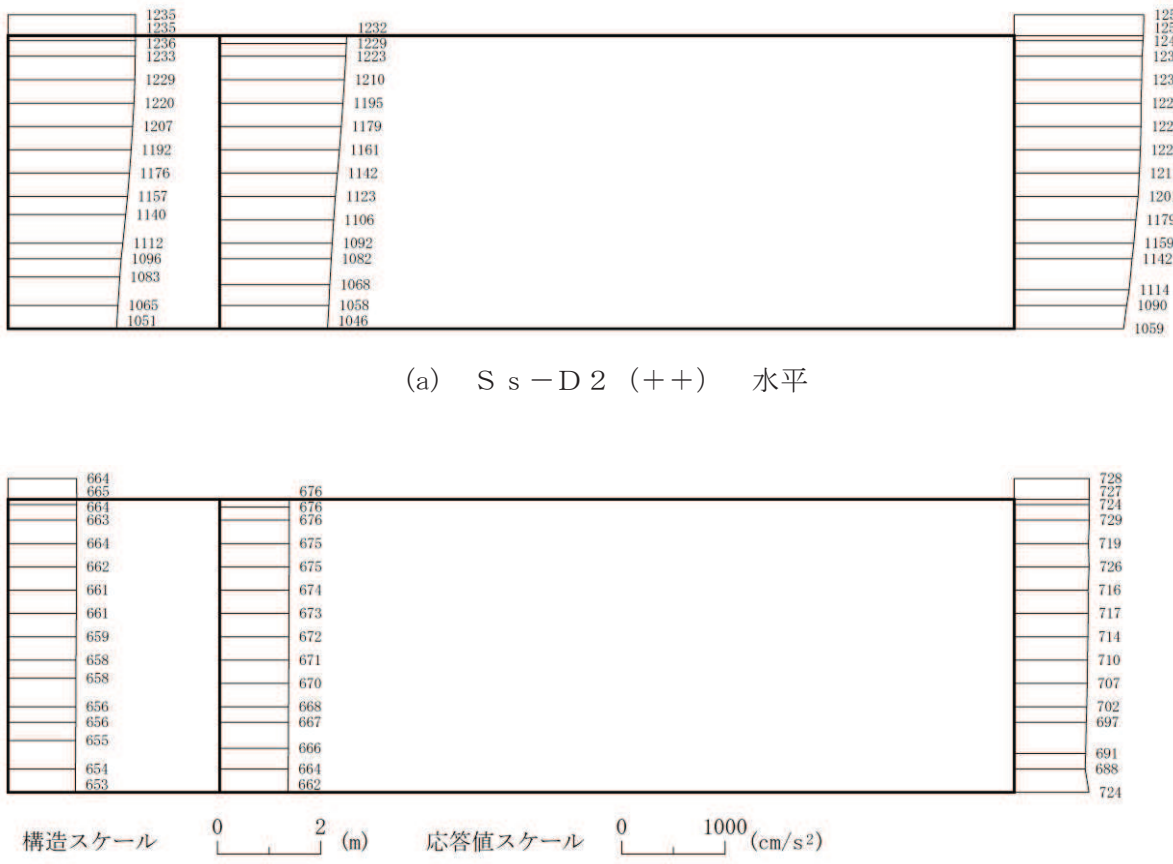


図 4-26 最大加速度分布図 (9/49) (解析ケース③)

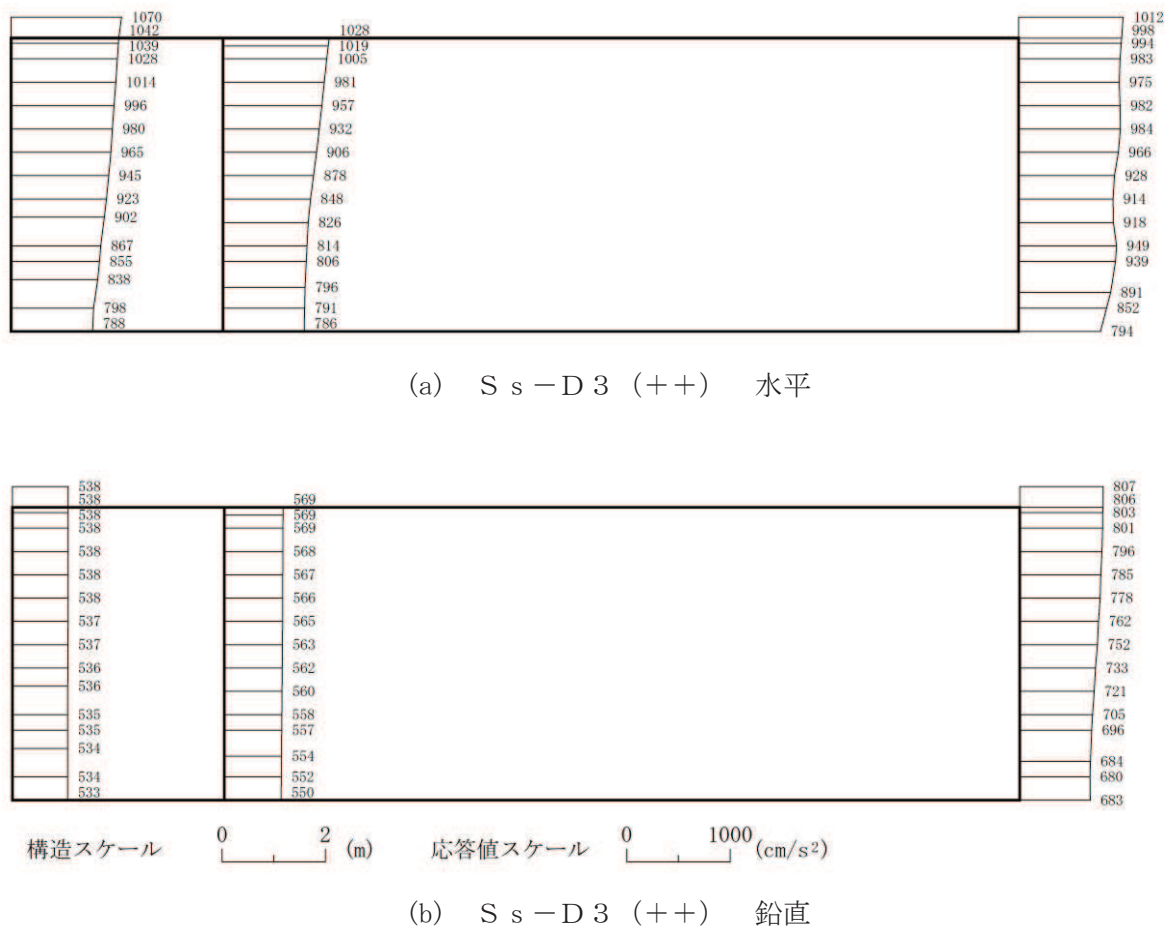


図 4-27 最大加速度分布図 (10/49) (解析ケース③)

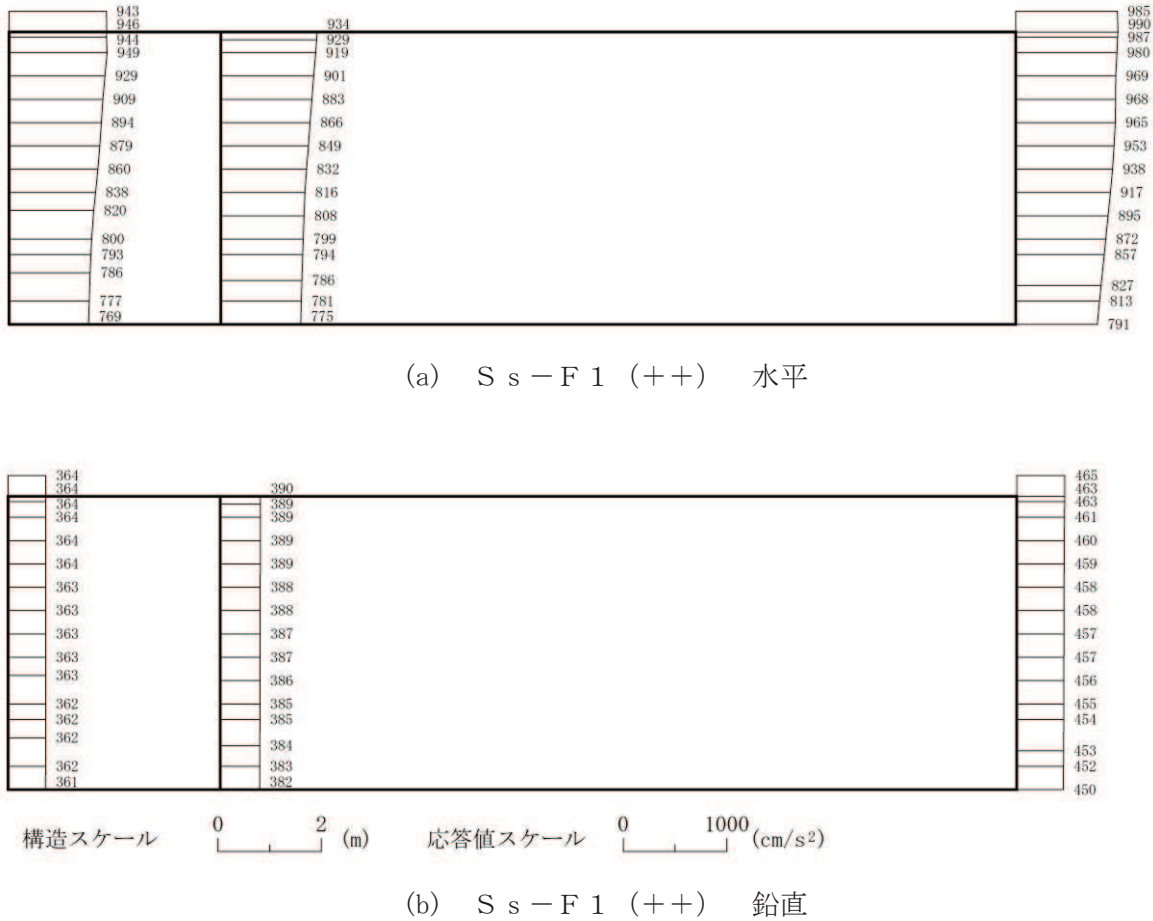


図 4-28 最大加速度分布図 (11/49) (解析ケース③)

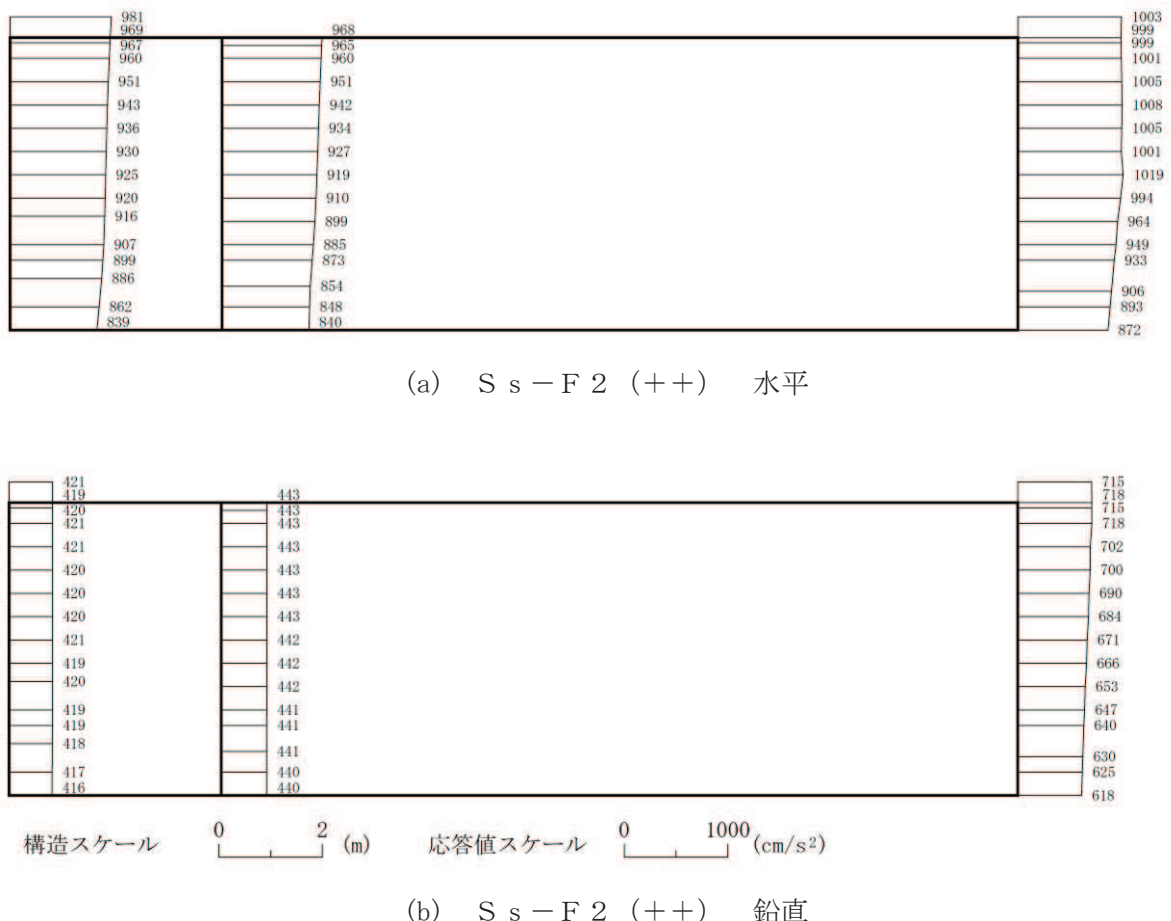
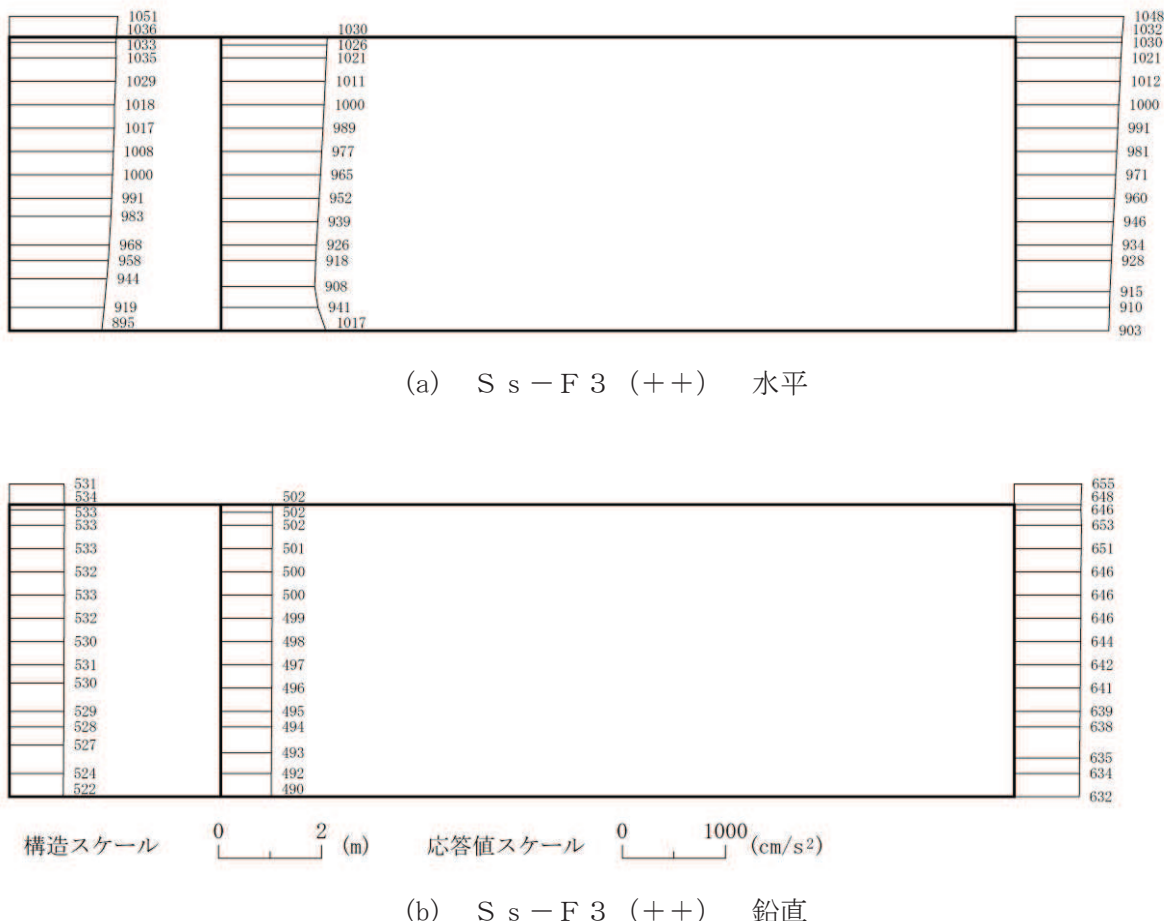


図 4-29 最大加速度分布図 (12/49) (解析ケース③)



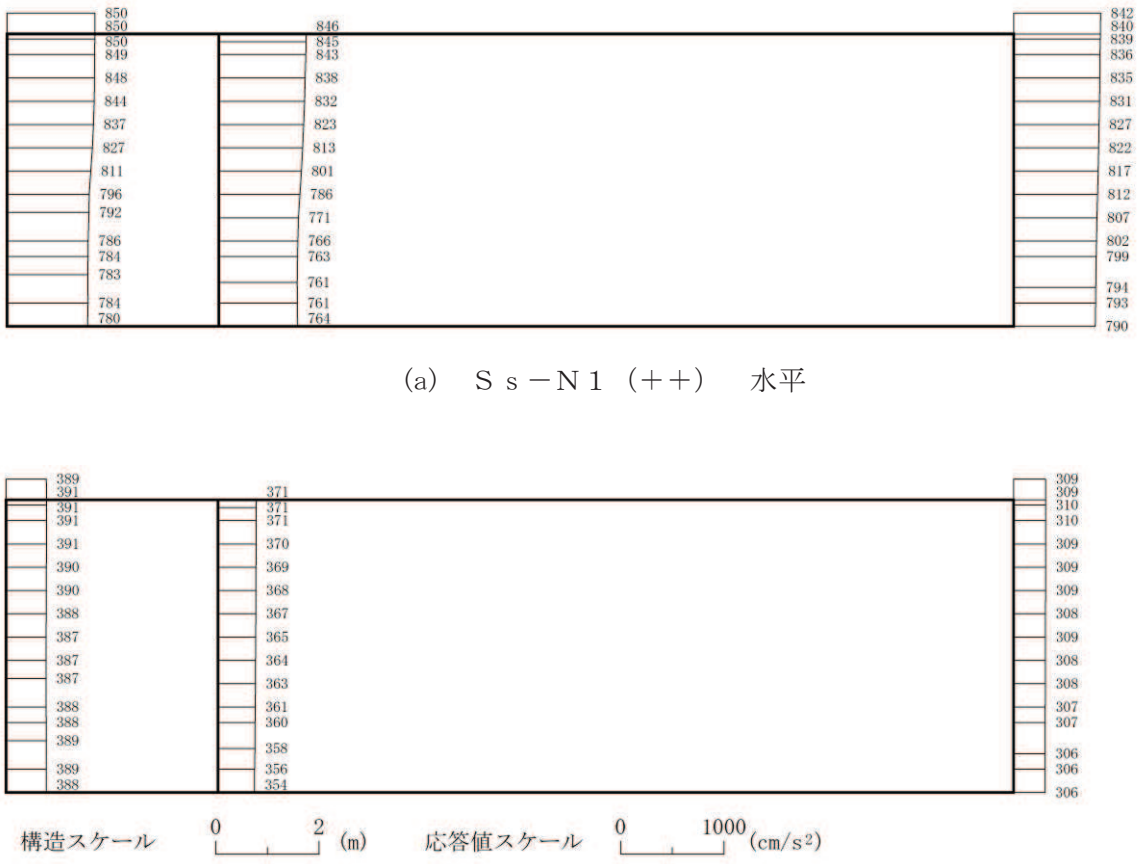


図 4-31 最大加速度分布図 (14/49) (解析ケース③)

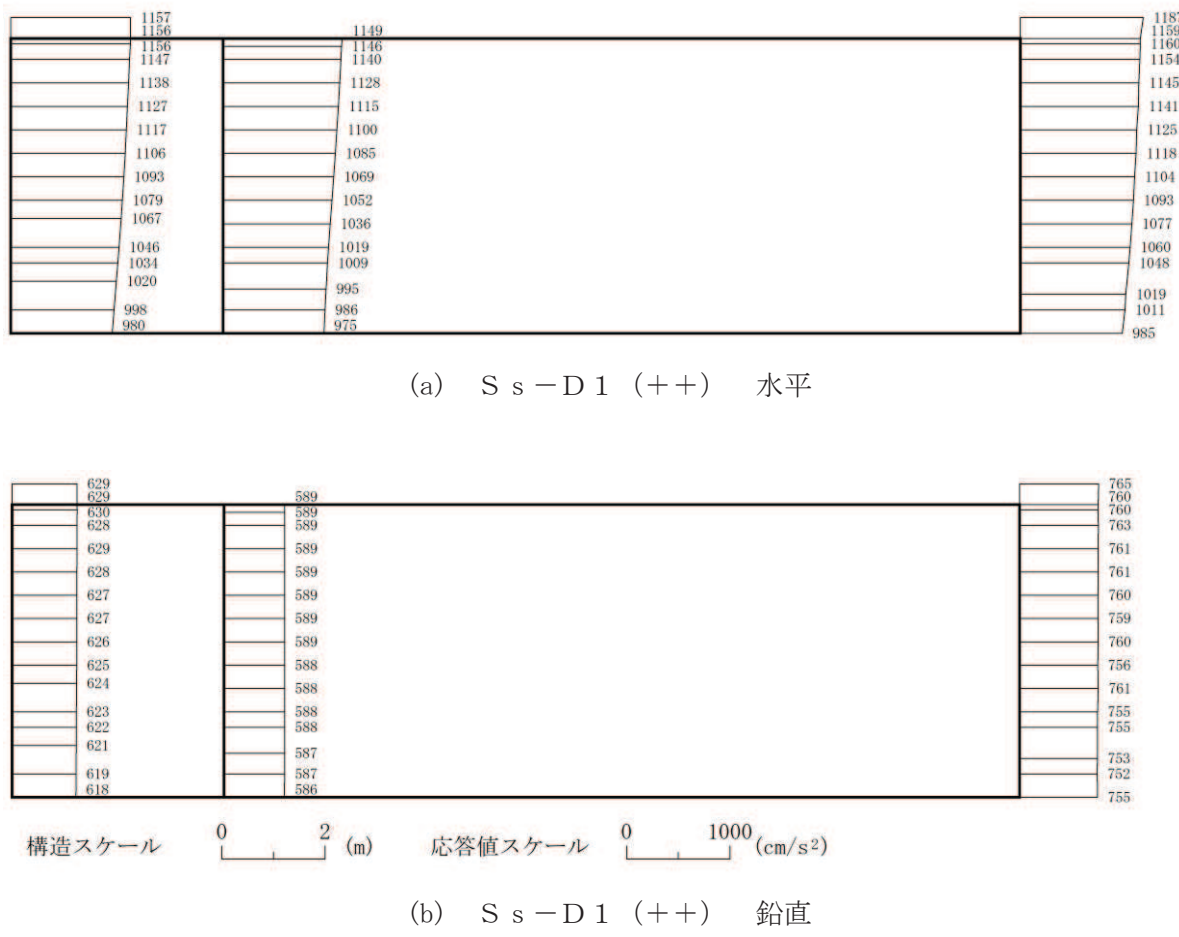


図 4-32 最大加速度分布図 (15/49) (解析ケース④)

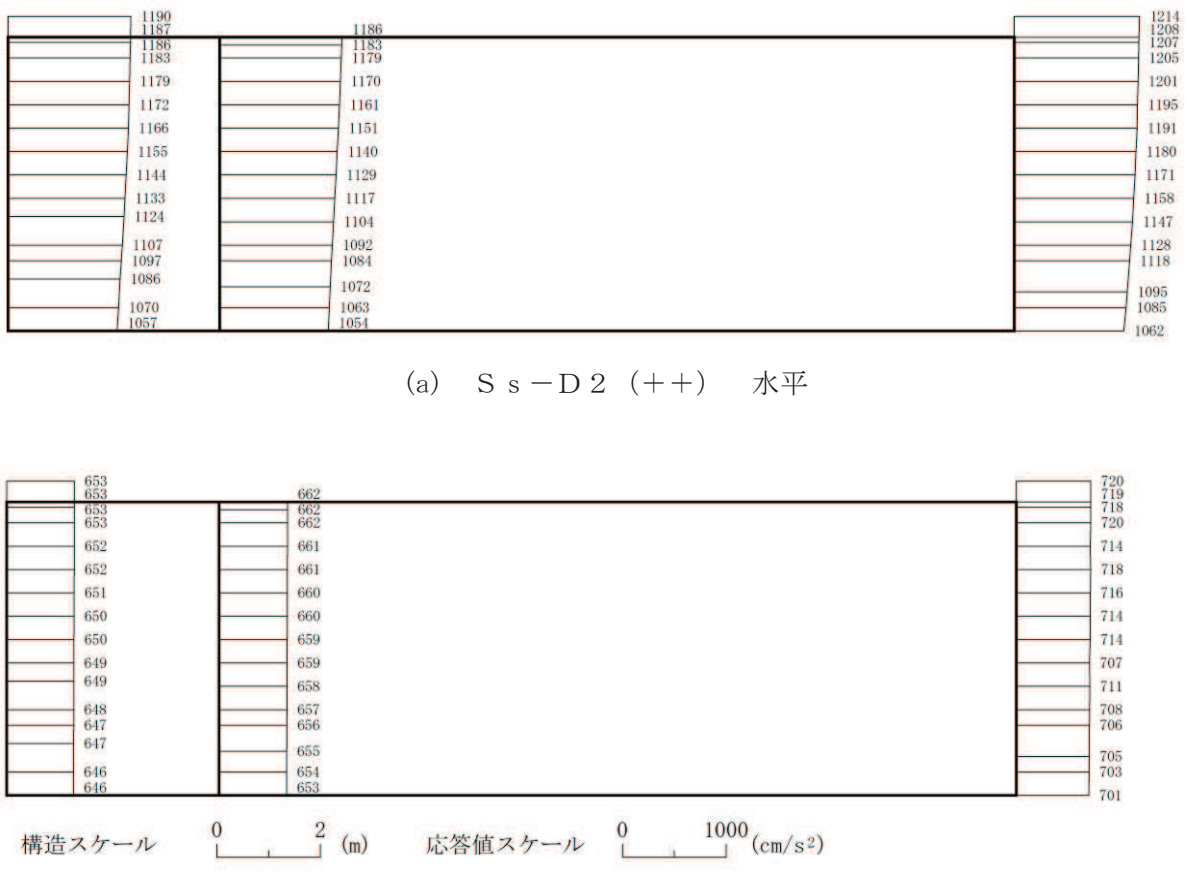


図 4-33 最大加速度分布図 (16/49) (解析ケース④)

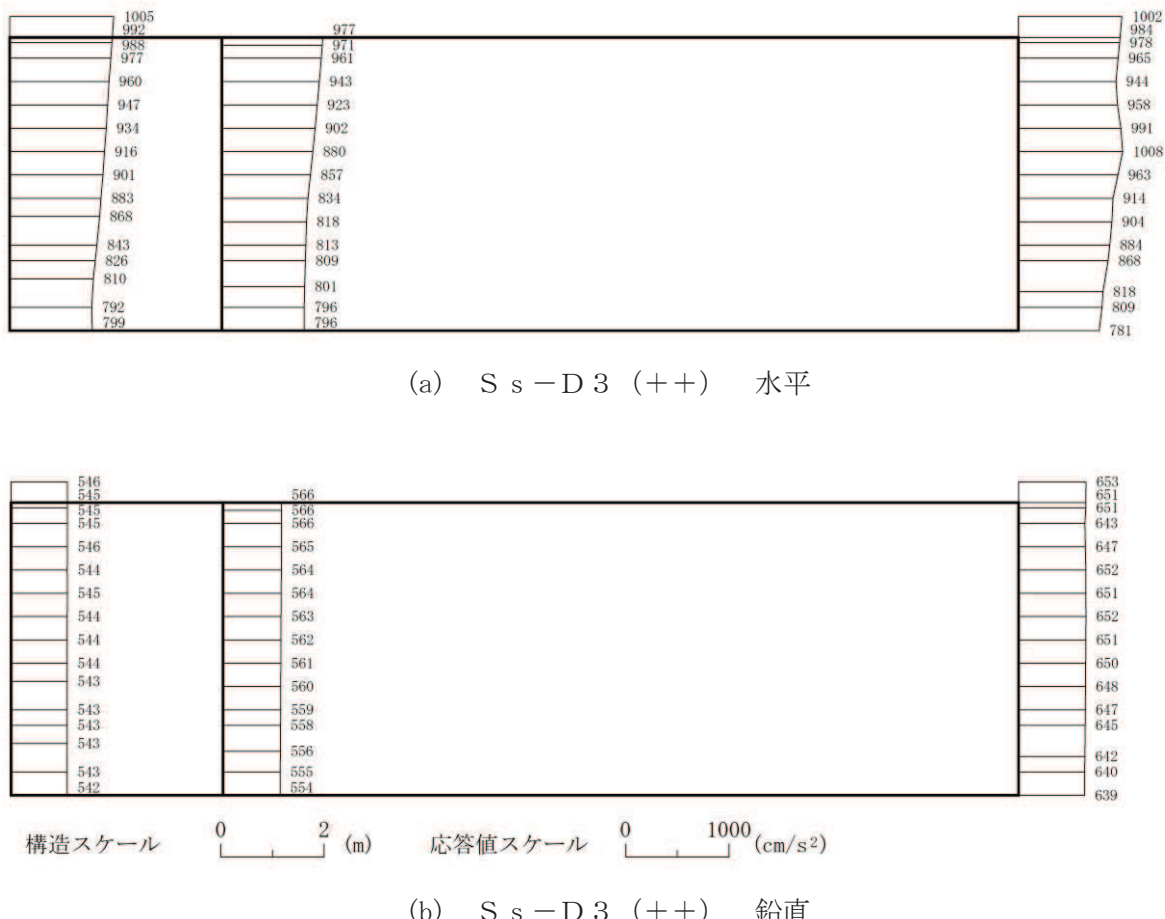


図 4-34 最大加速度分布図 (17/49) (解析ケース④)

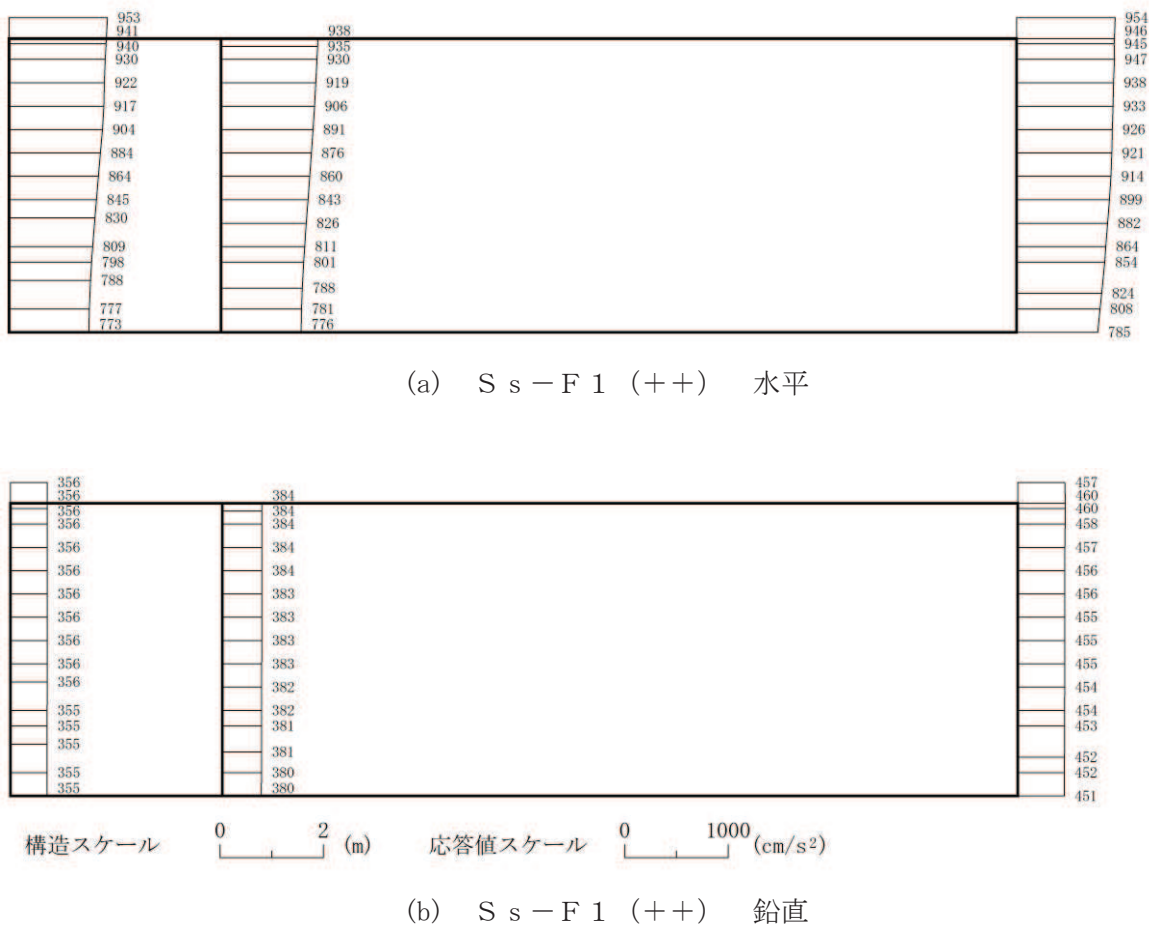


図 4-35 最大加速度分布図 (18/49) (解析ケース④)

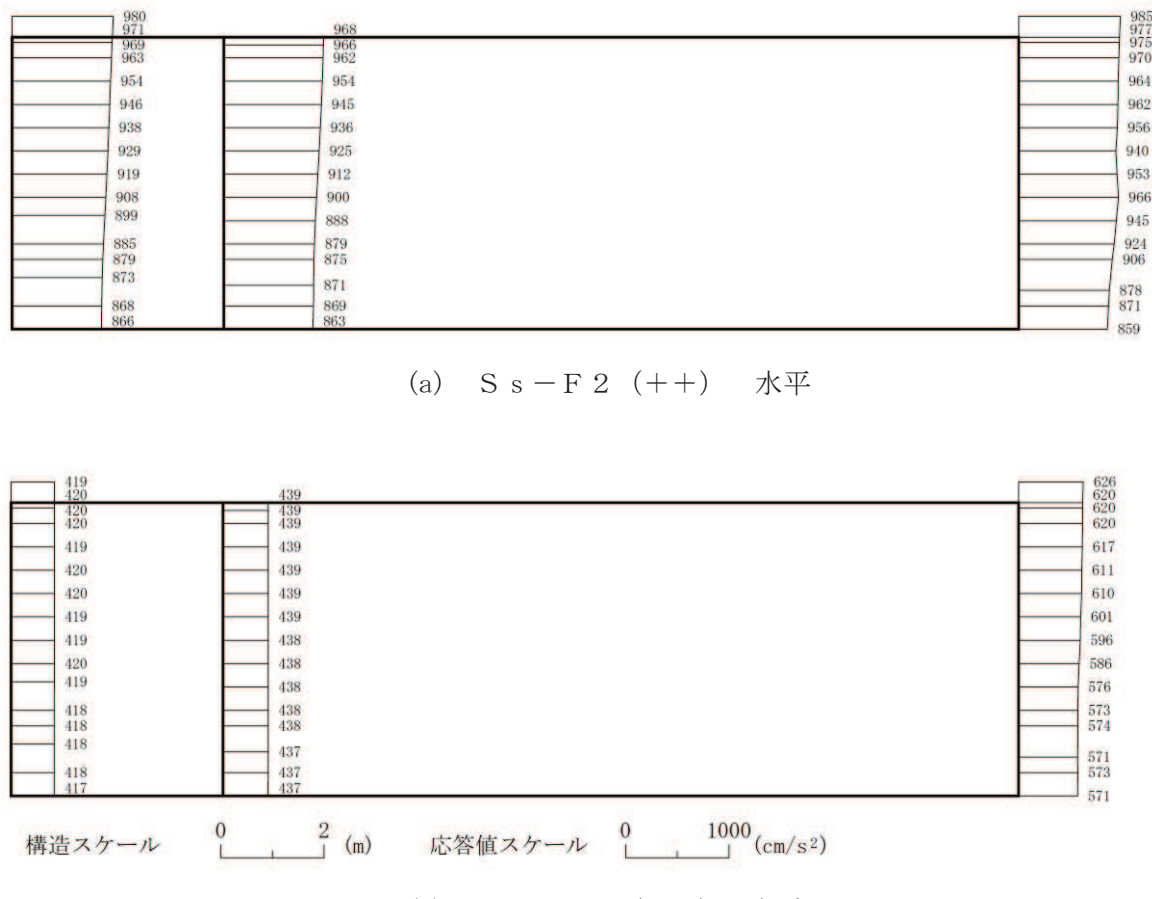


図 4-36 最大加速度分布図 (19/49) (解析ケース④)

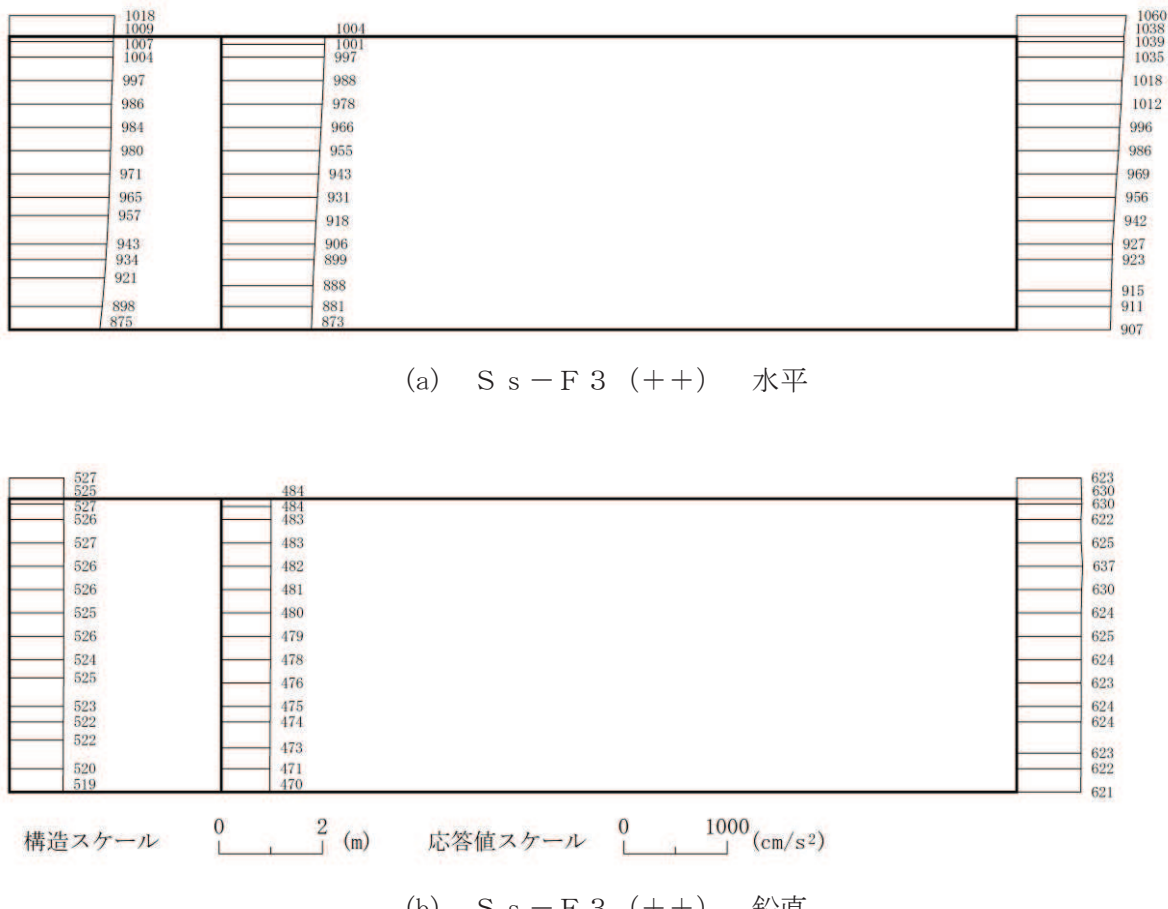
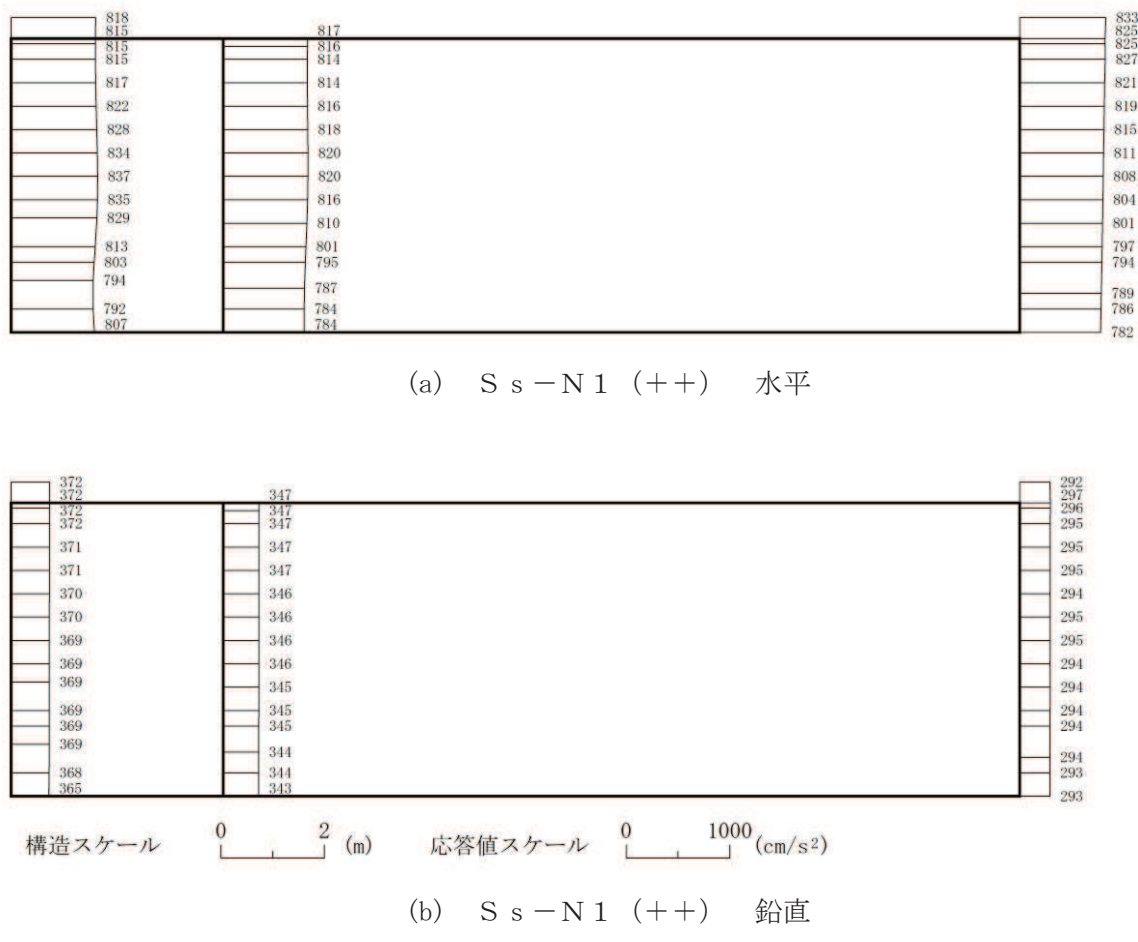


図 4-37 最大加速度分布図 (20/49) (解析ケース④)



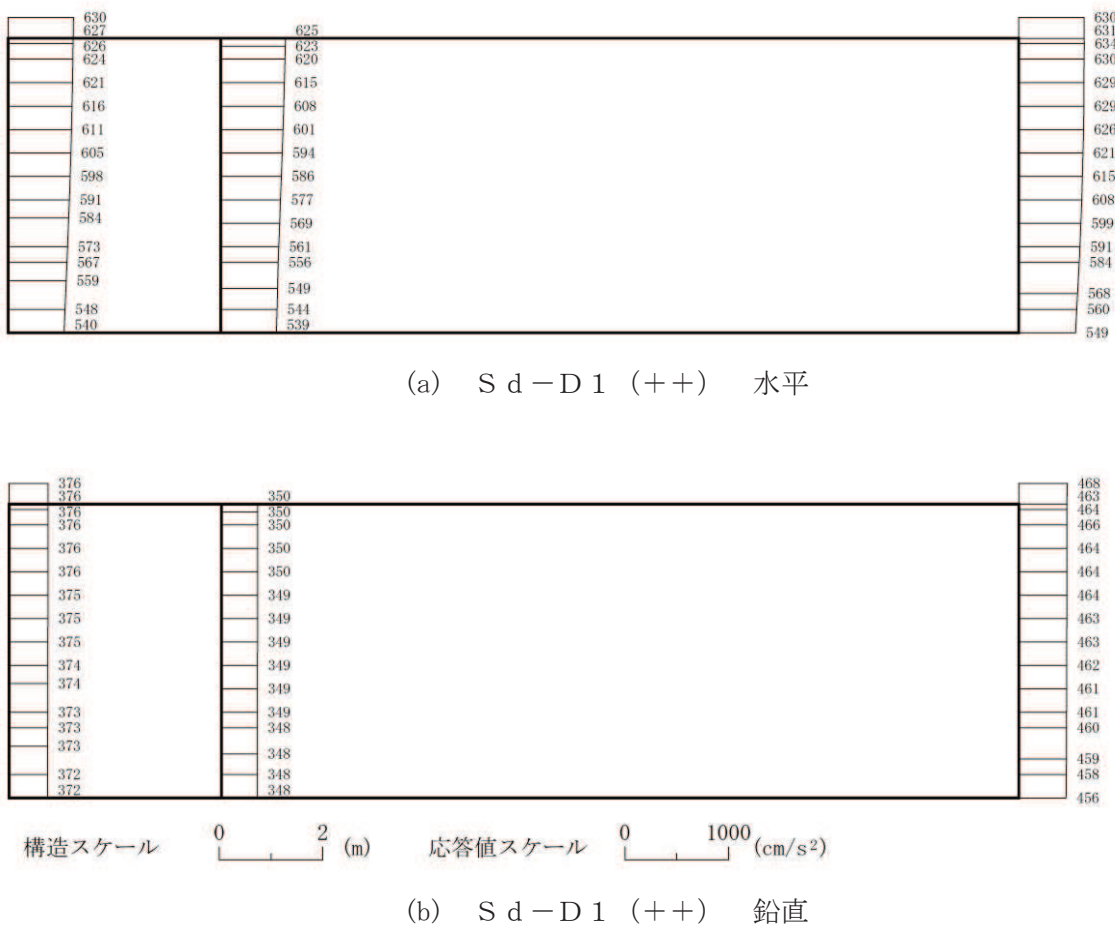


図 4-39 最大加速度分布図 (22/49) (解析ケース①)

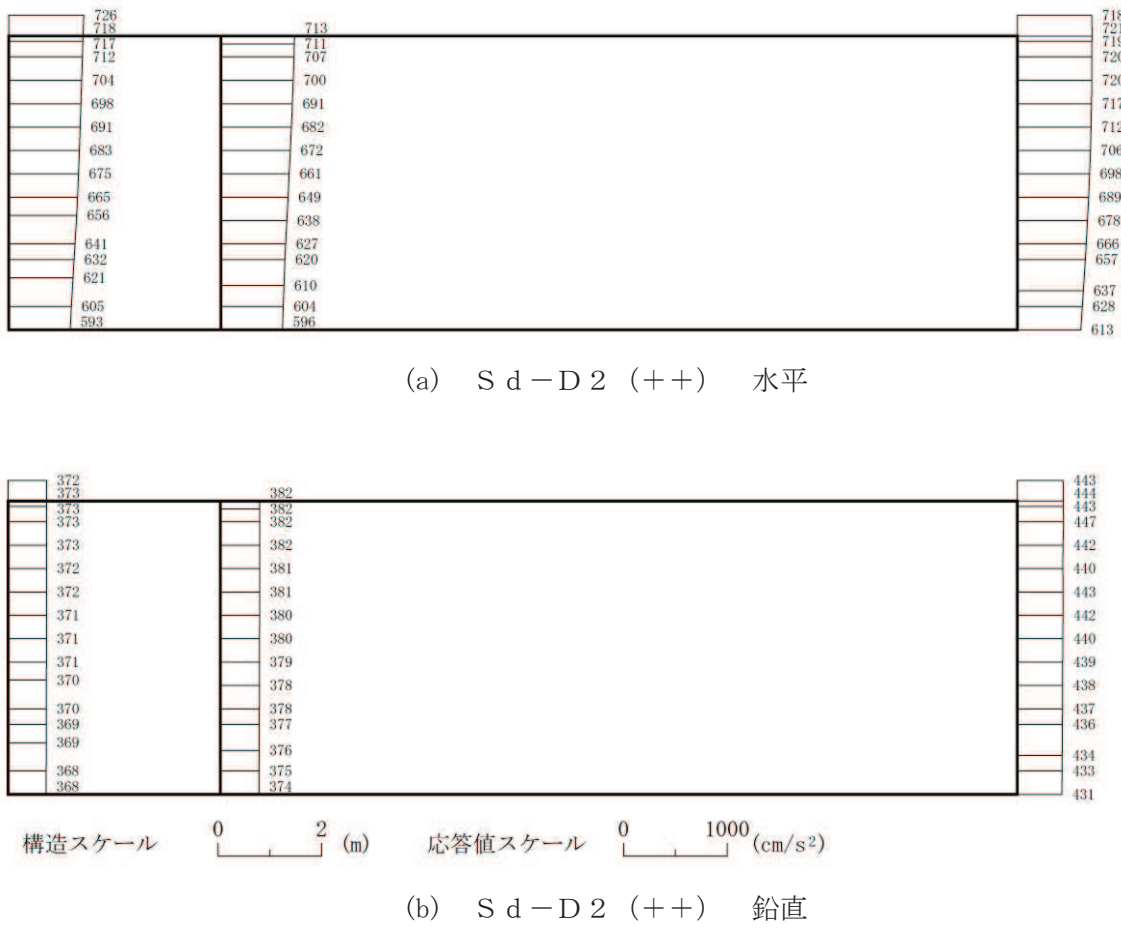


図 4-40 最大加速度分布図 (23/49) (解析ケース①)

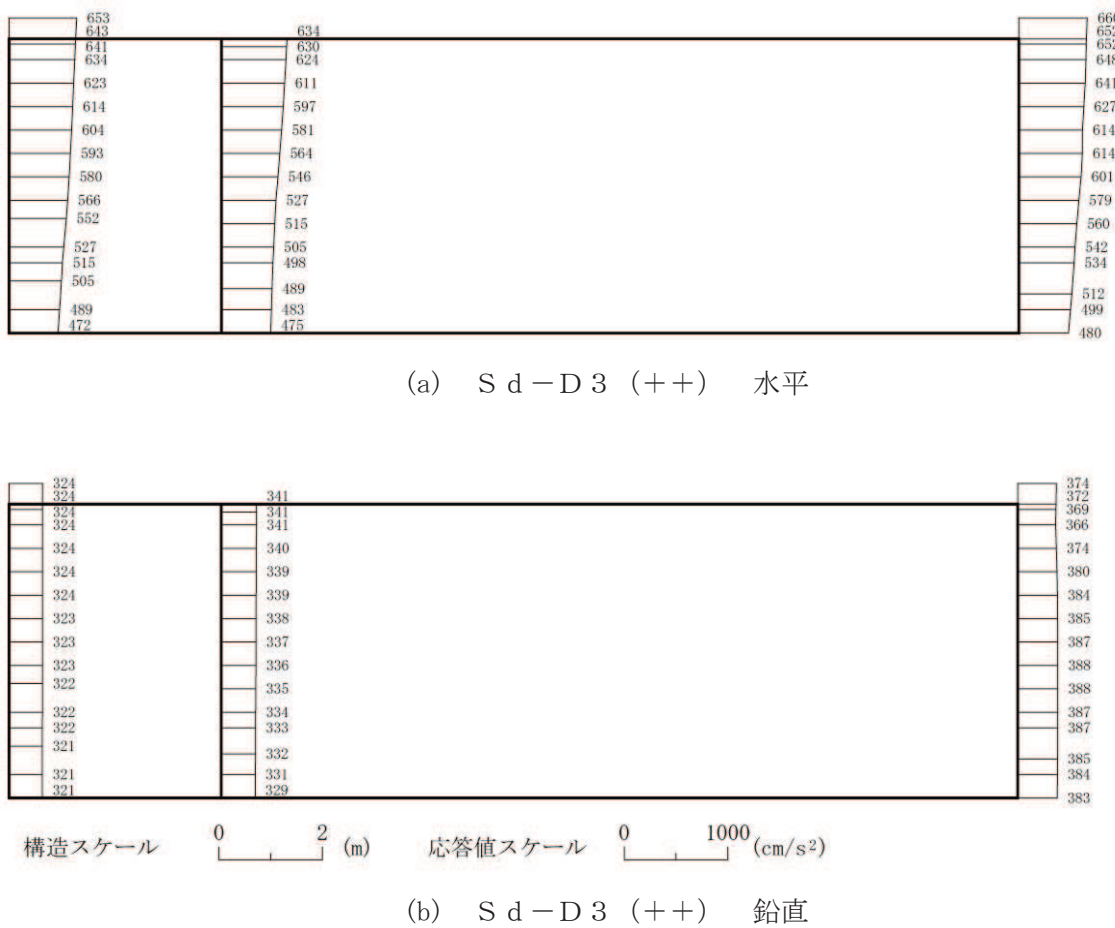
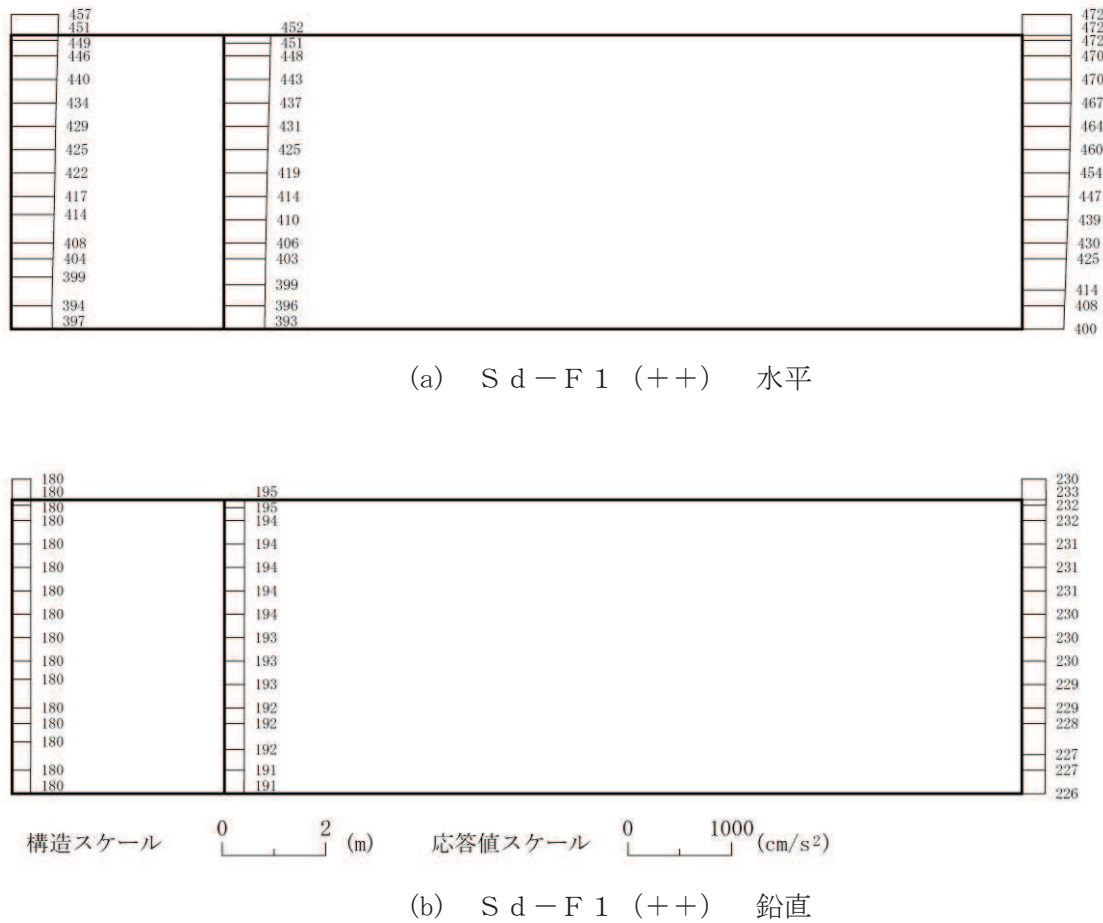
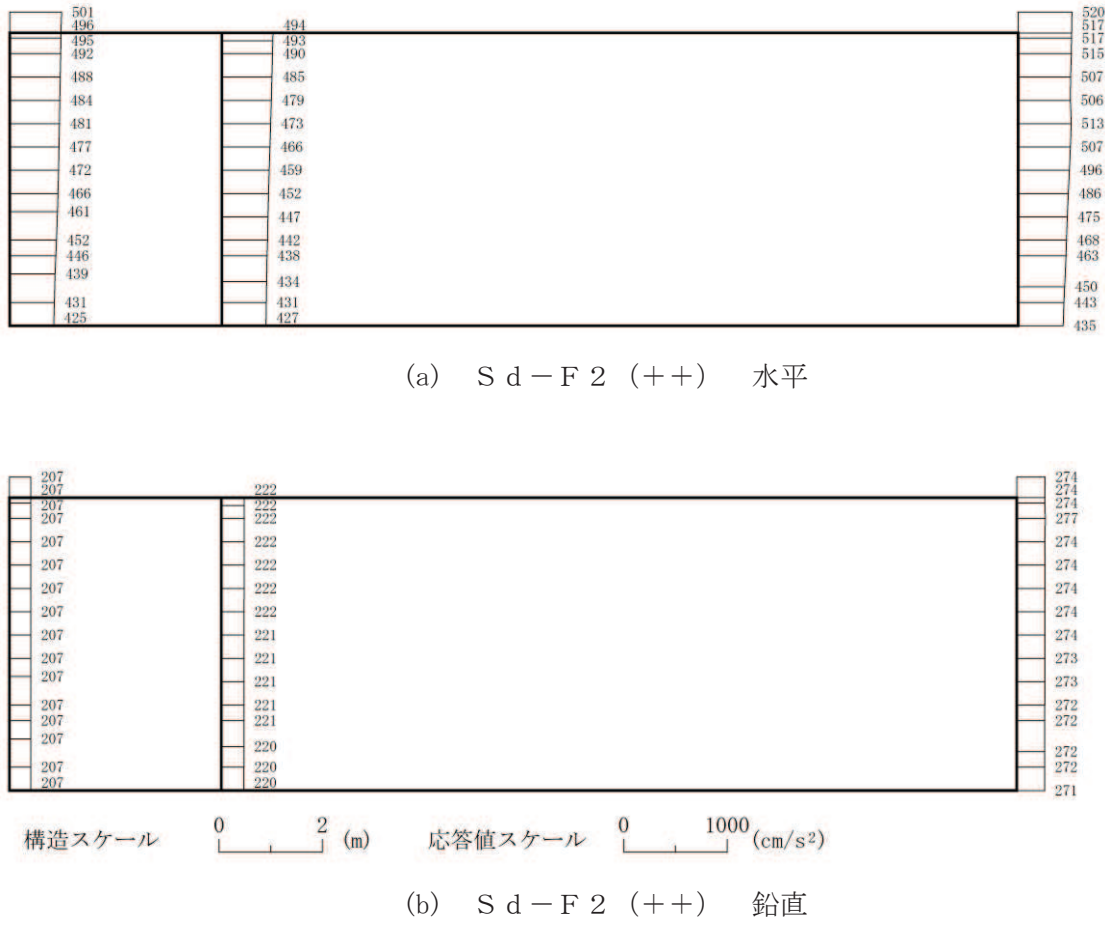


図 4-41 最大加速度分布図 (24/49) (解析ケース①)





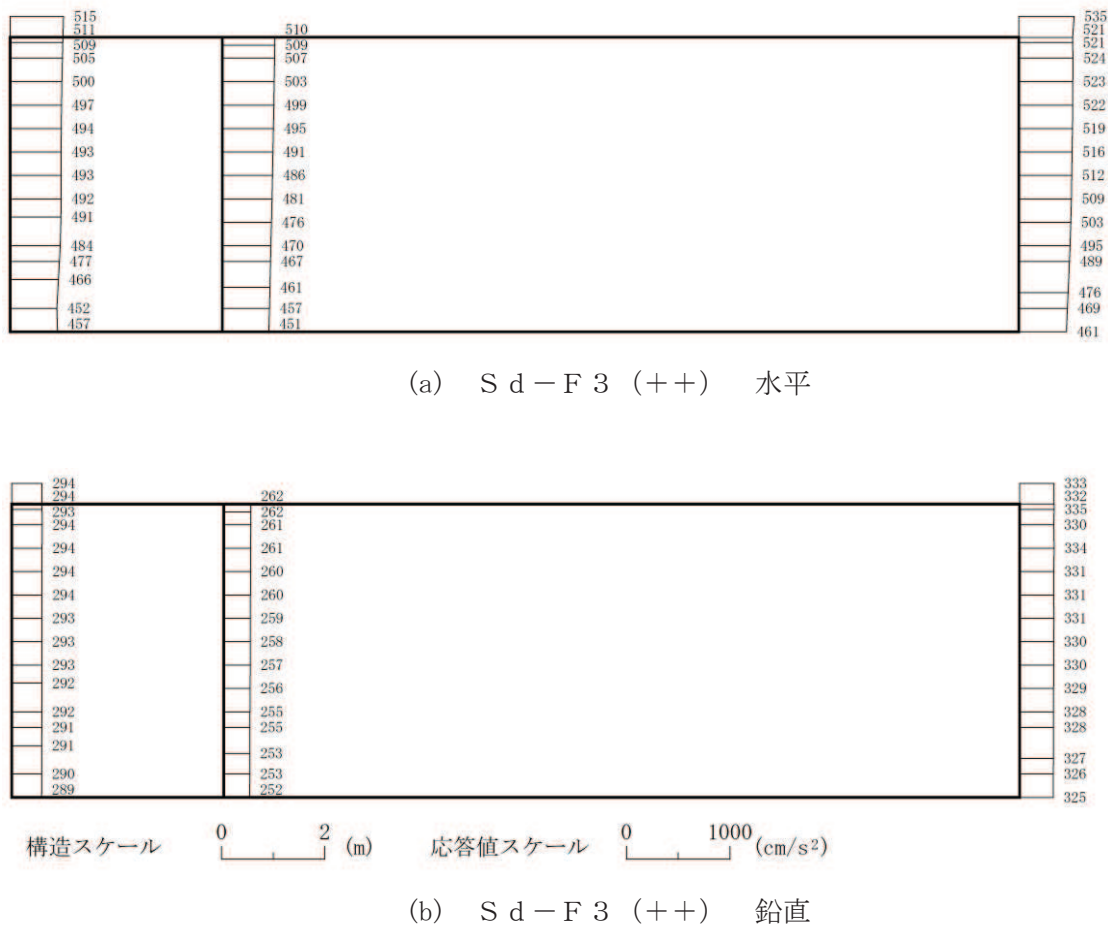
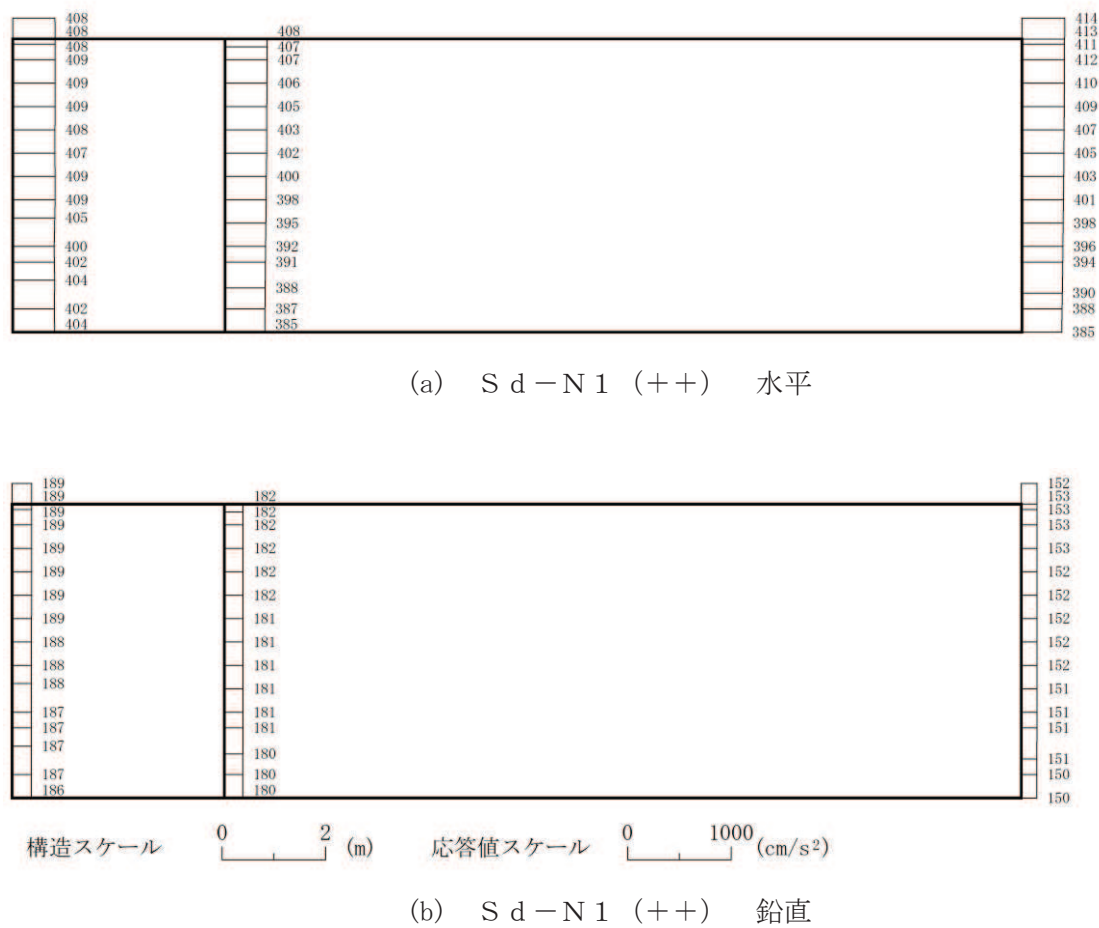


図 4-44 最大加速度分布図 (27/49) (解析ケース①)



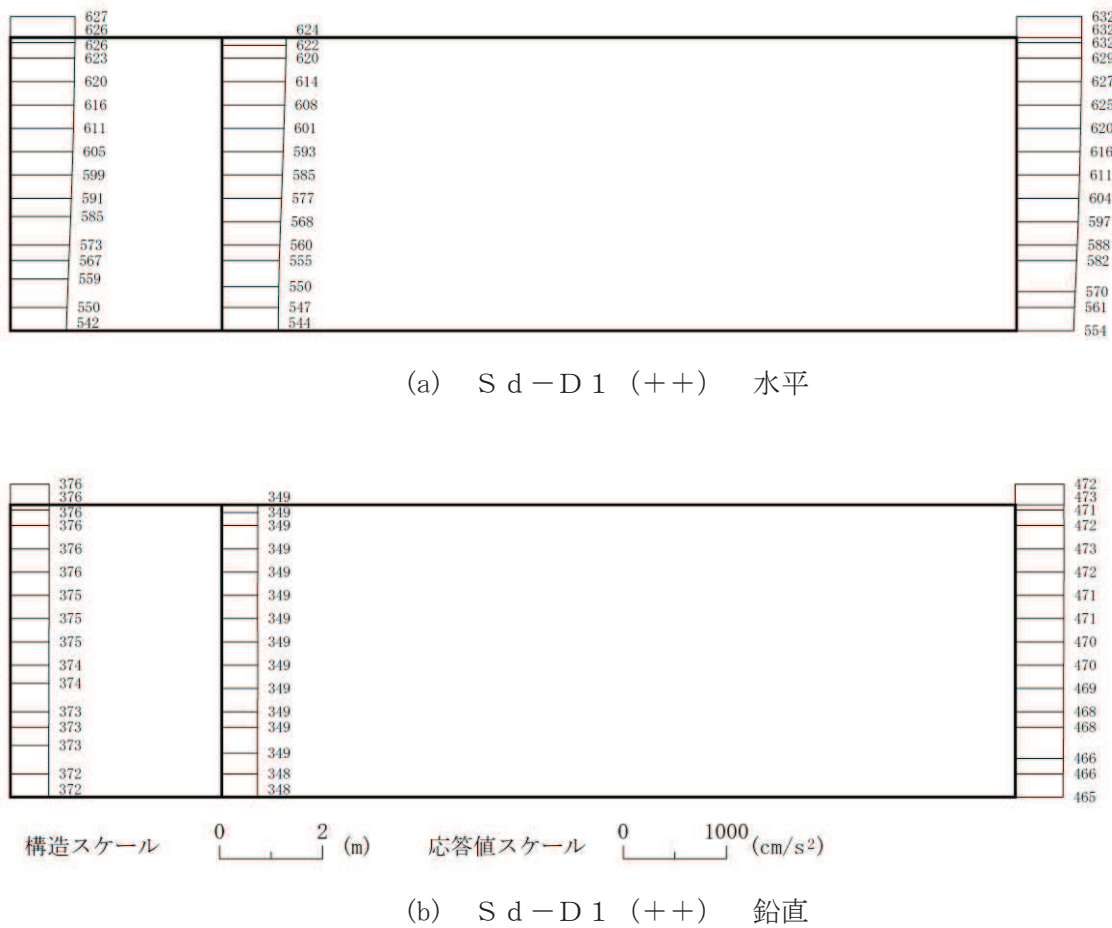


図 4-46 最大加速度分布図 (29/49) (解析ケース②)

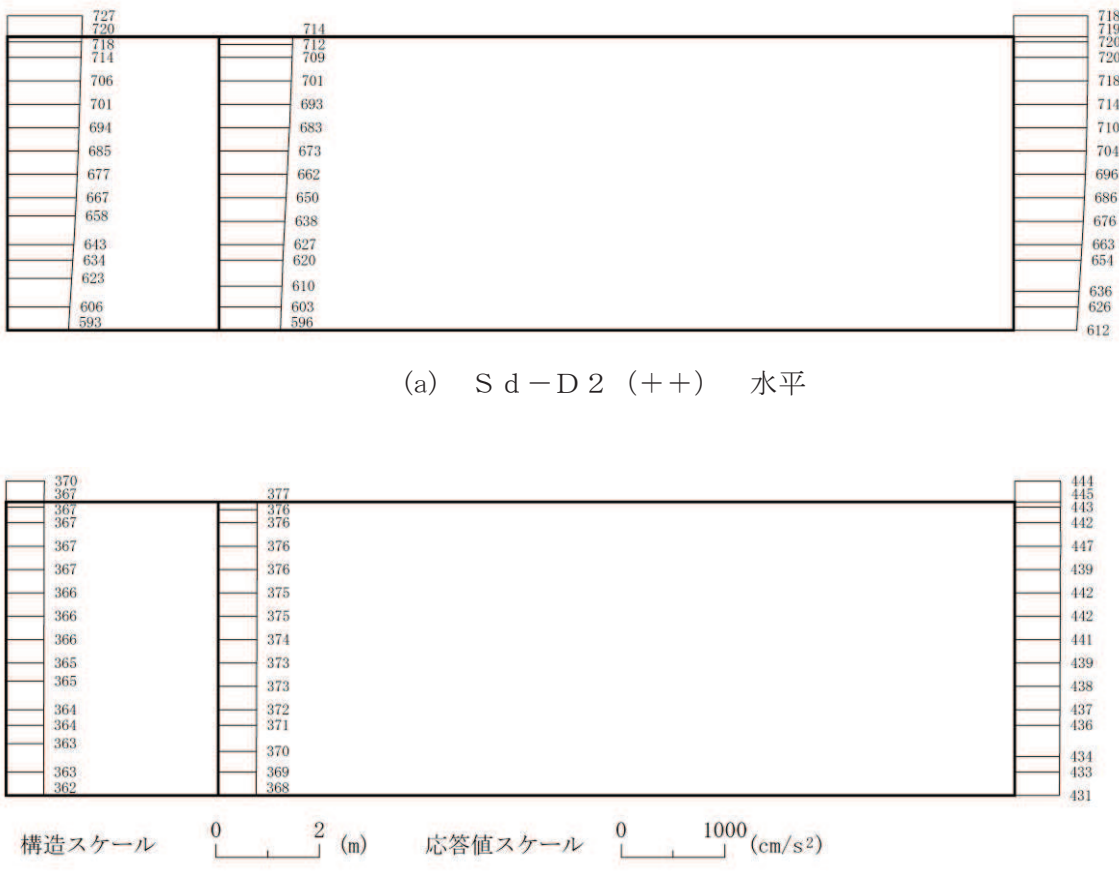


図 4-47 最大加速度分布図 (30/49) (解析ケース②)

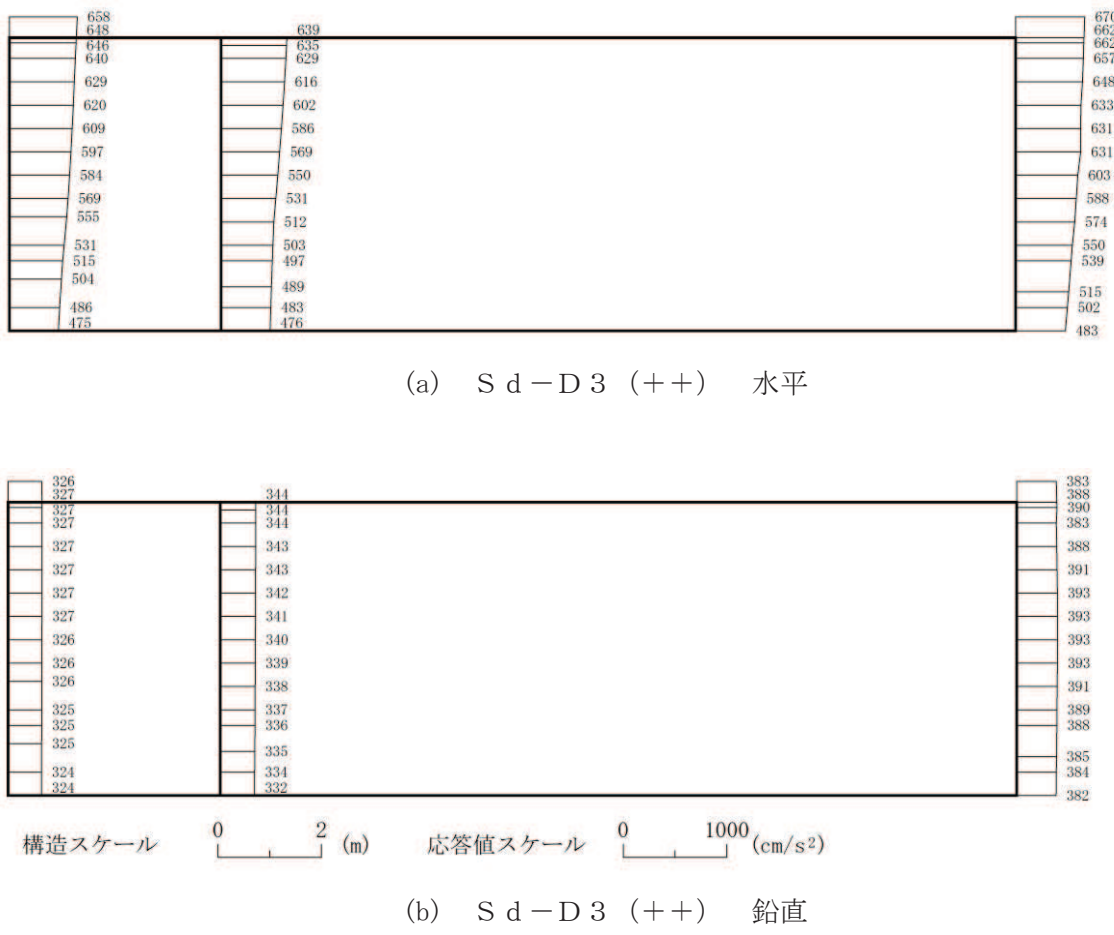
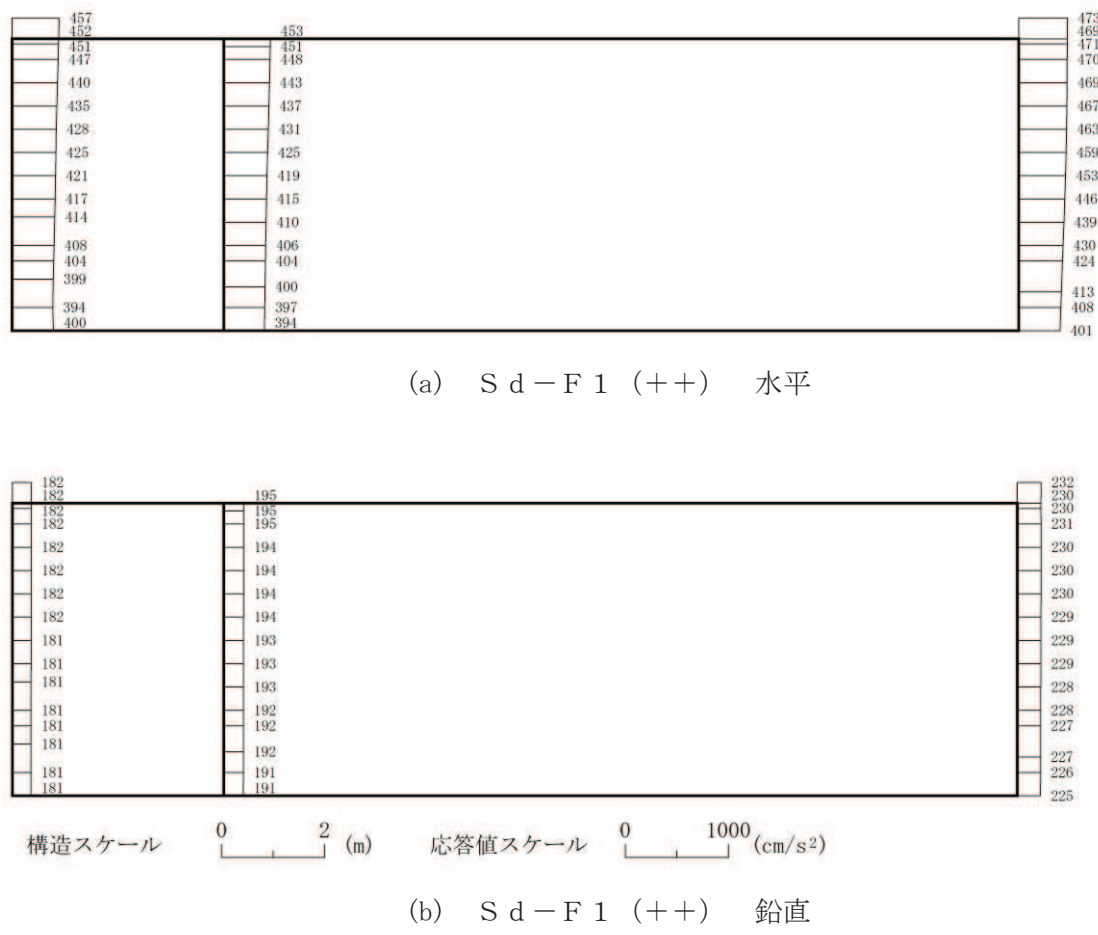


図 4-48 最大加速度分布図 (31/49) (解析ケース②)



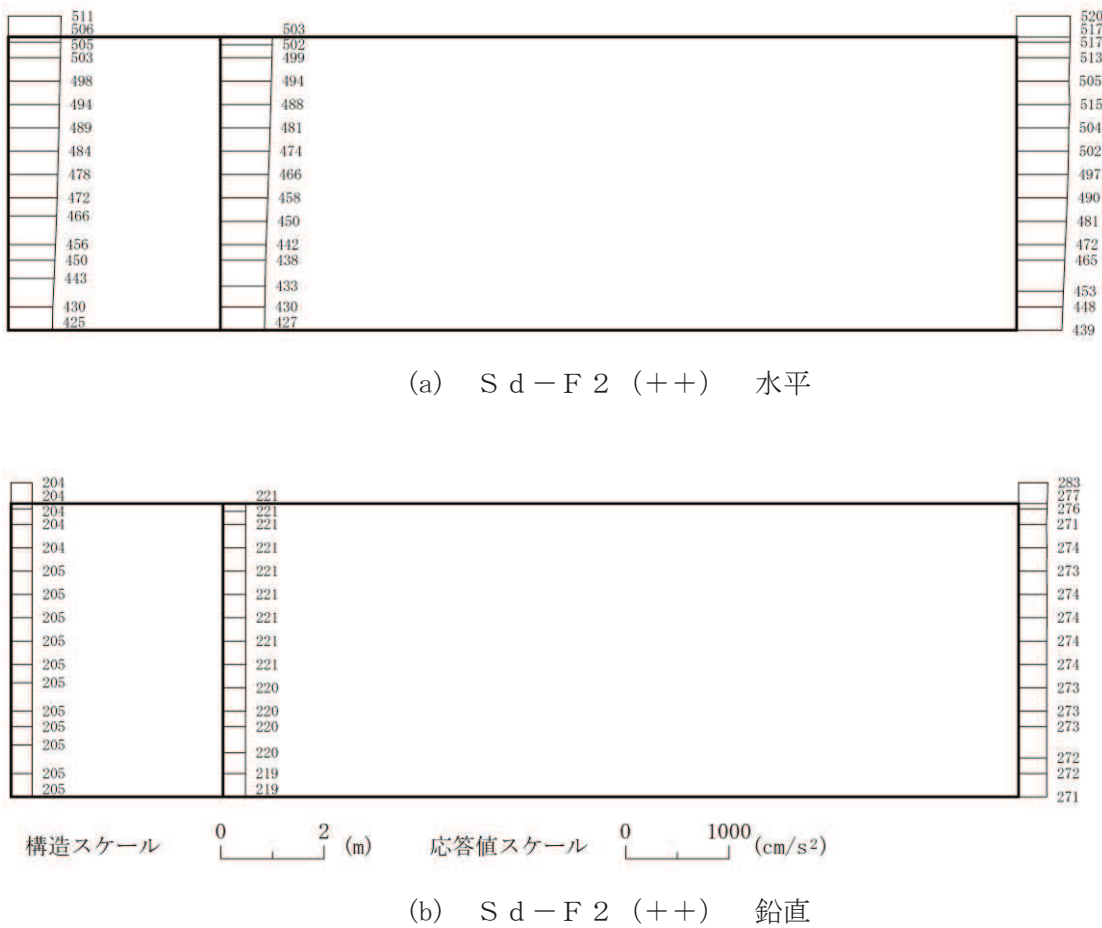


図 4-50 最大加速度分布図 (33/49) (解析ケース②)

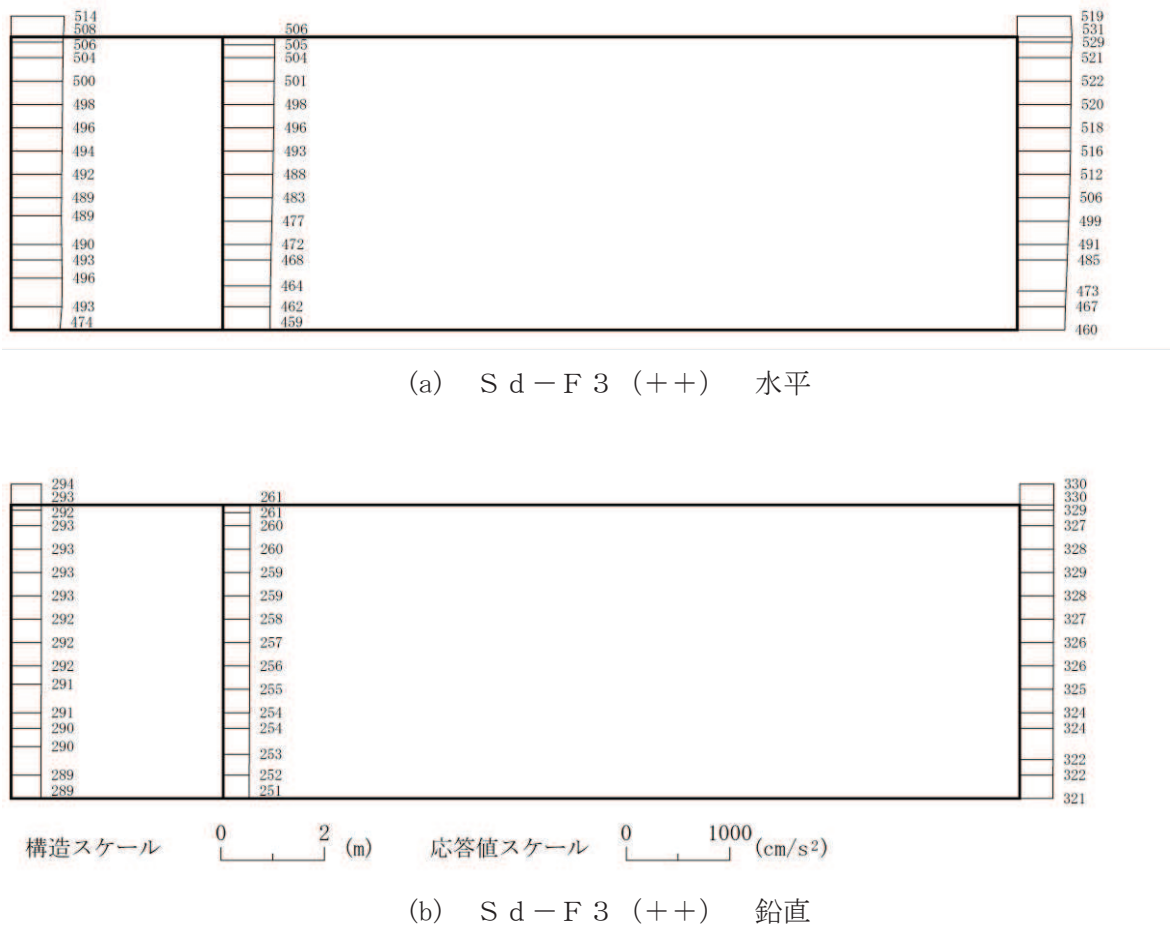


図 4-51 最大加速度分布図 (34/49) (解析ケース②)

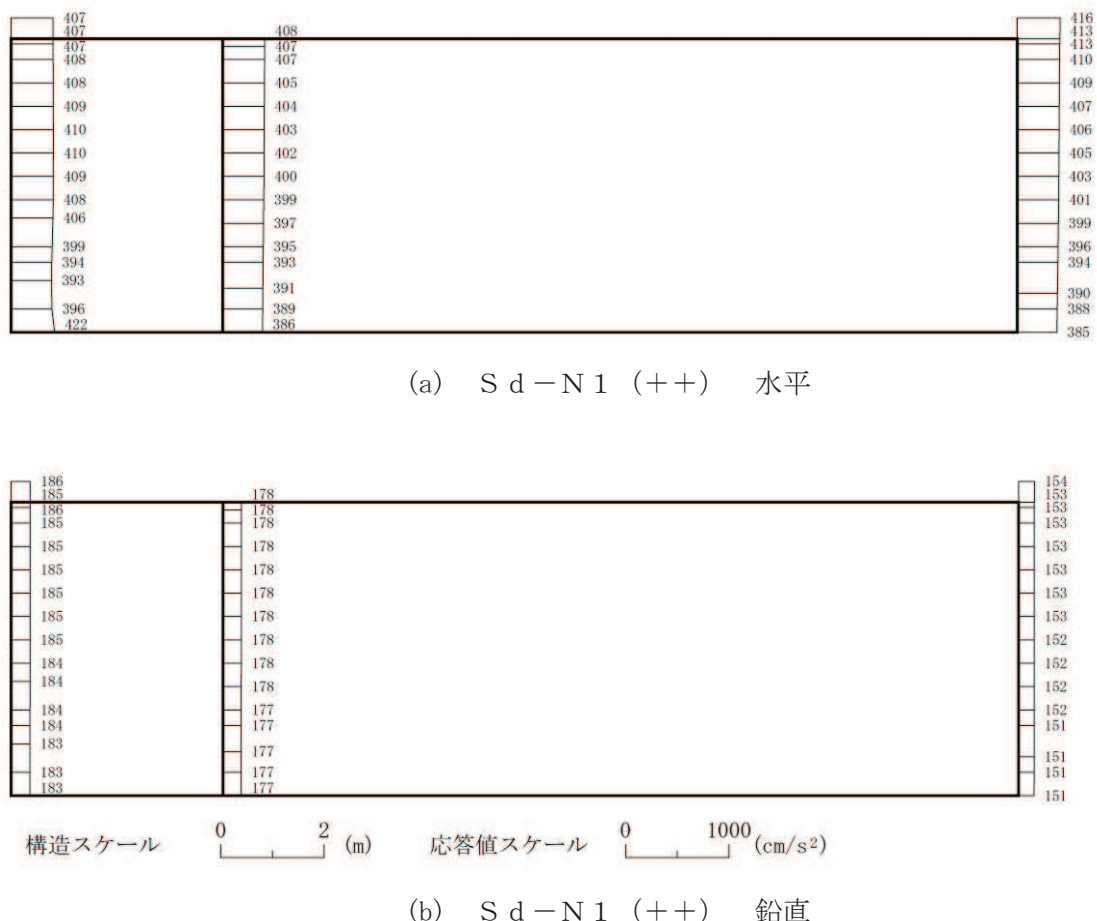


図 4-52 最大加速度分布図 (35/49) (解析ケース②)

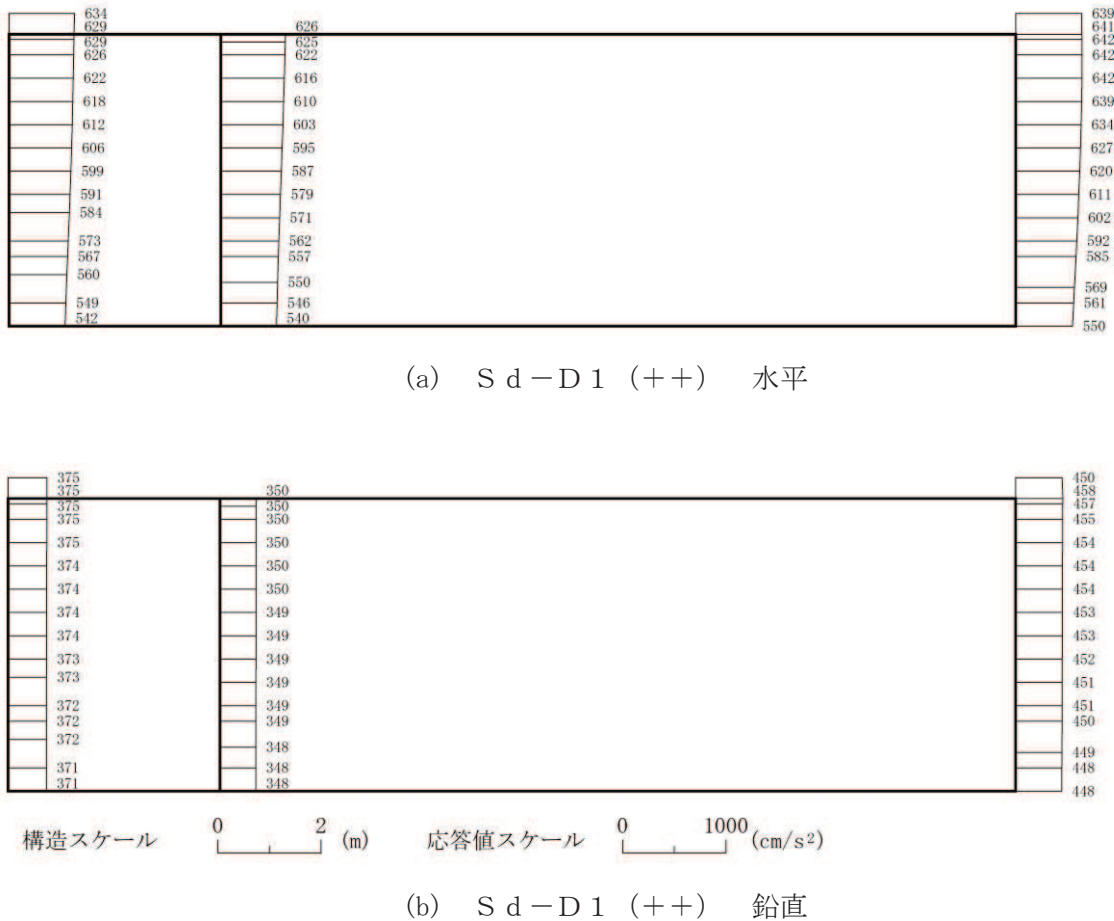


図 4-53 最大加速度分布図 (36/49) (解析ケース③)

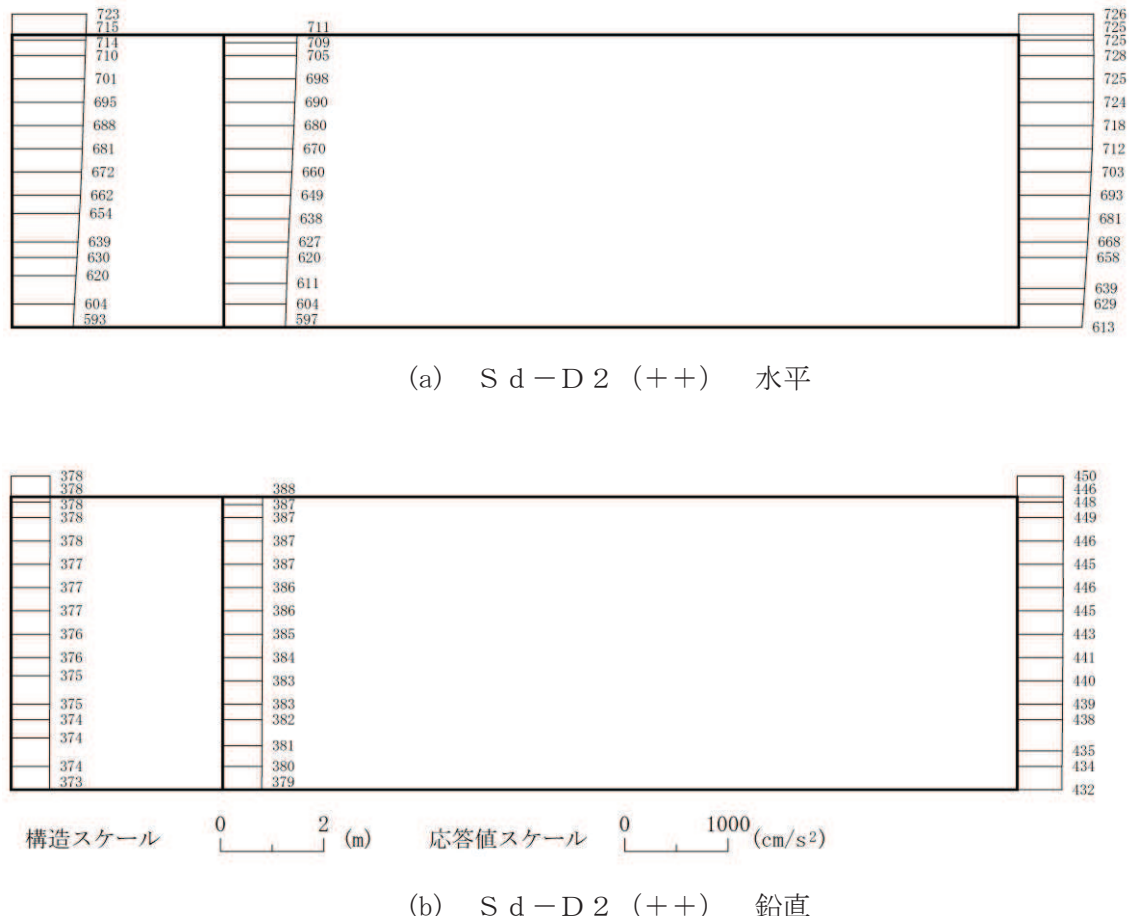


図 4-54 最大加速度分布図 (37/49) (解析ケース③)

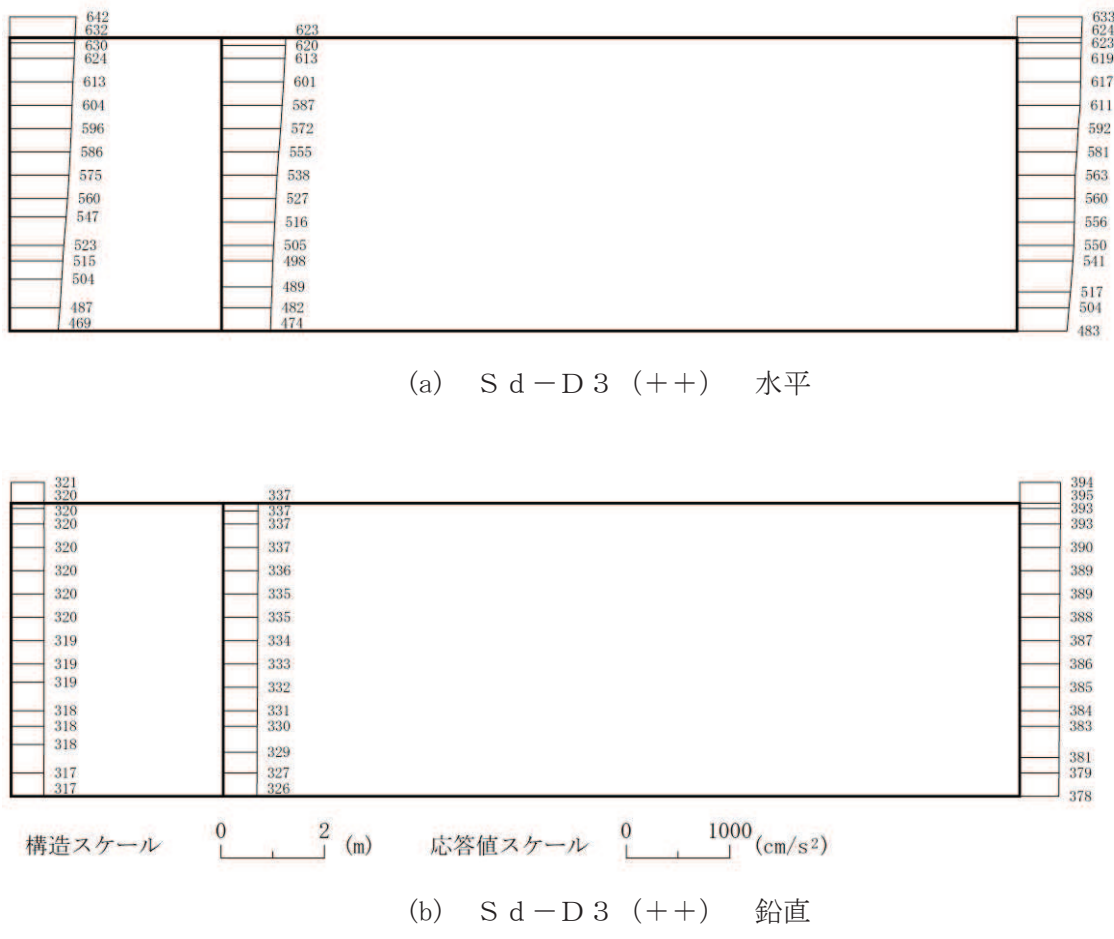
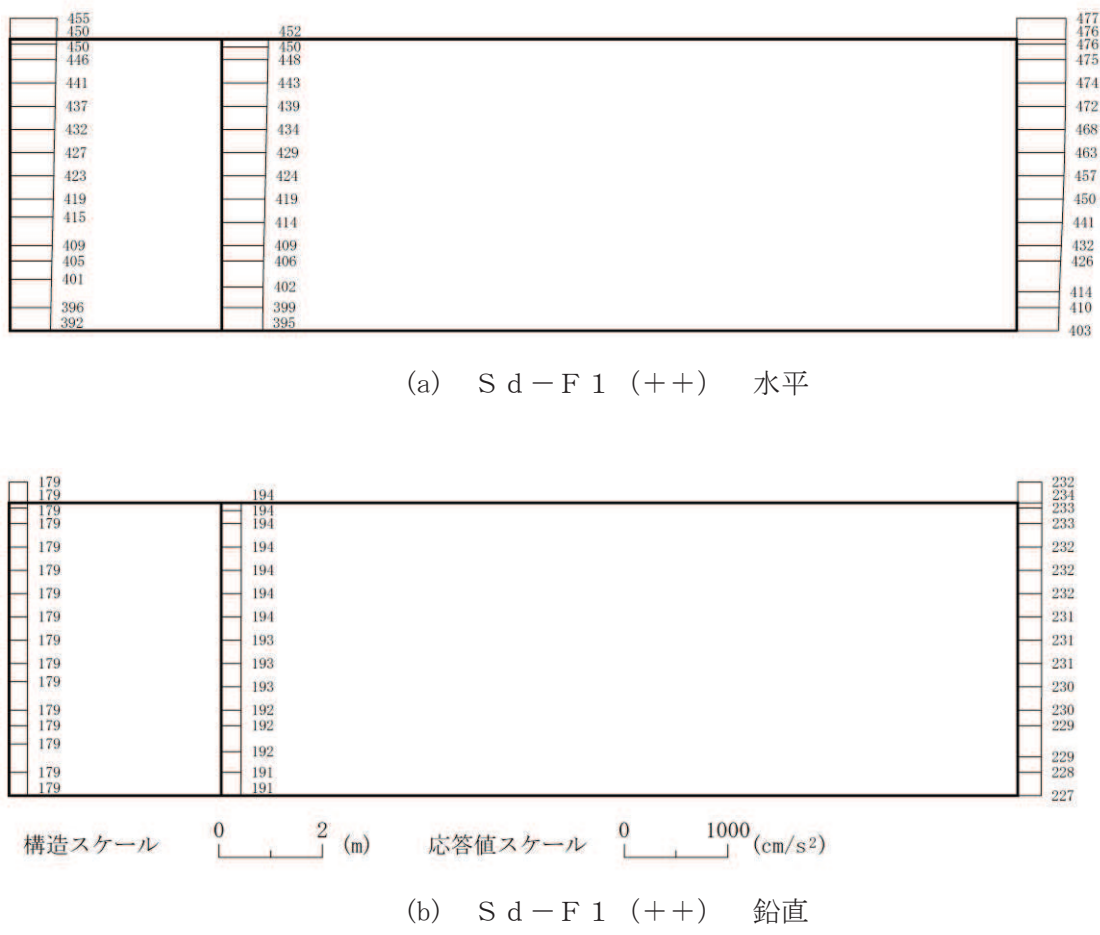


図 4-55 最大加速度分布図 (38/49) (解析ケース③)



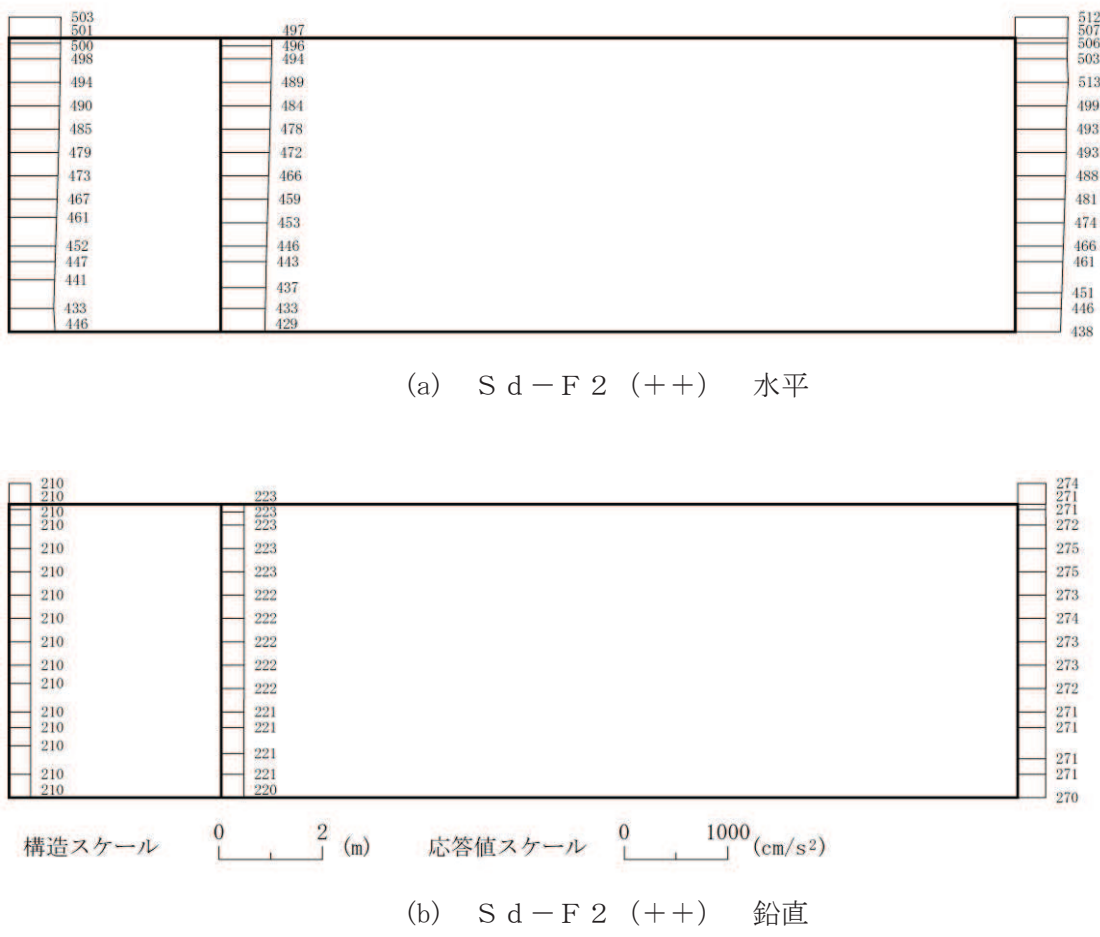


図 4-57 最大加速度分布図 (40/49) (解析ケース③)

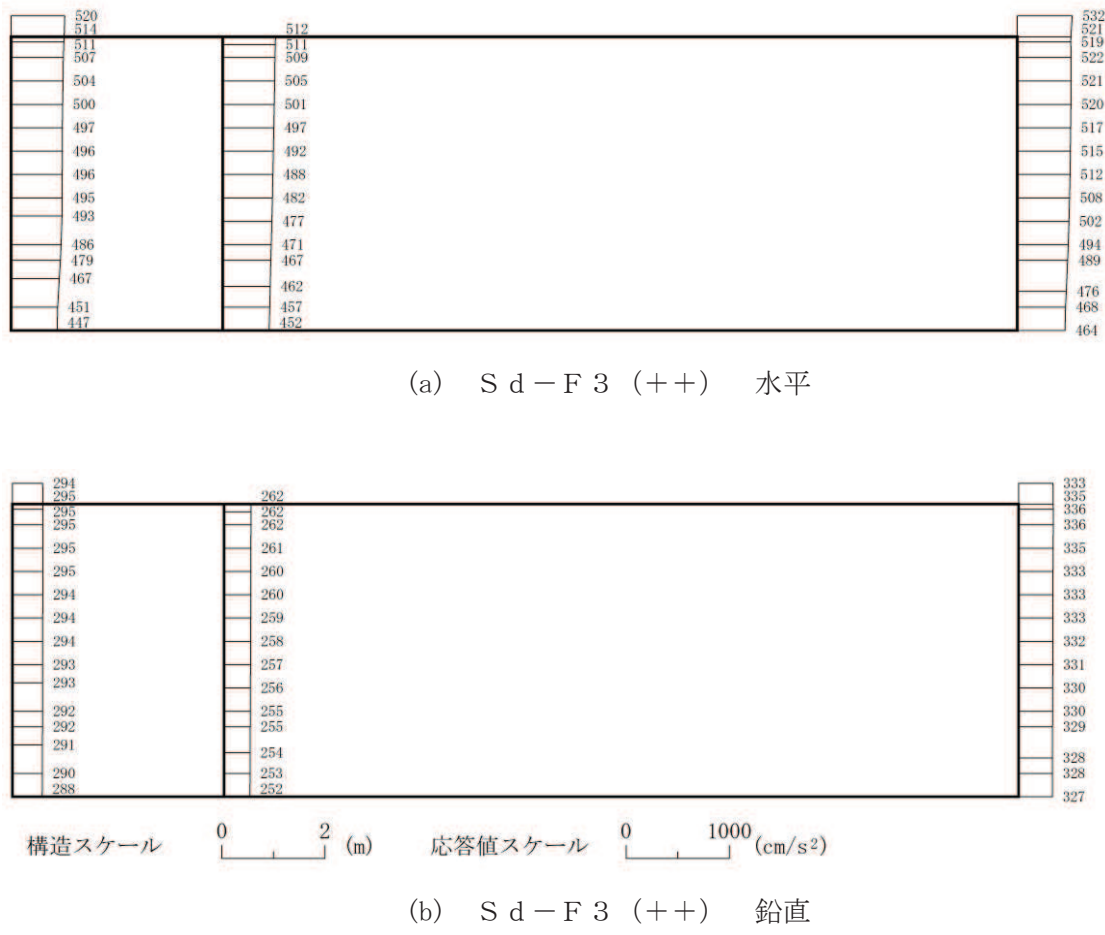


図 4-58 最大加速度分布図 (41/49) (解析ケース③)

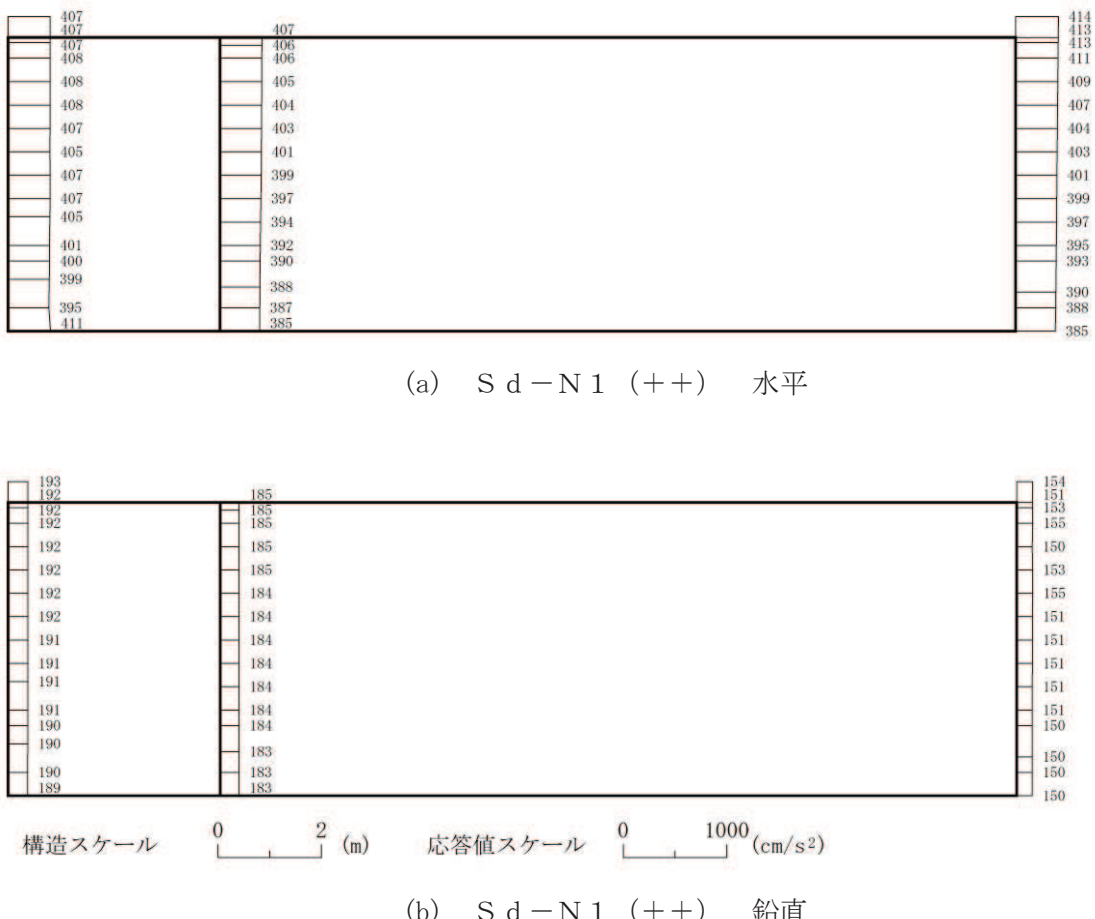


図 4-59 最大加速度分布図 (42/49) (解析ケース③)

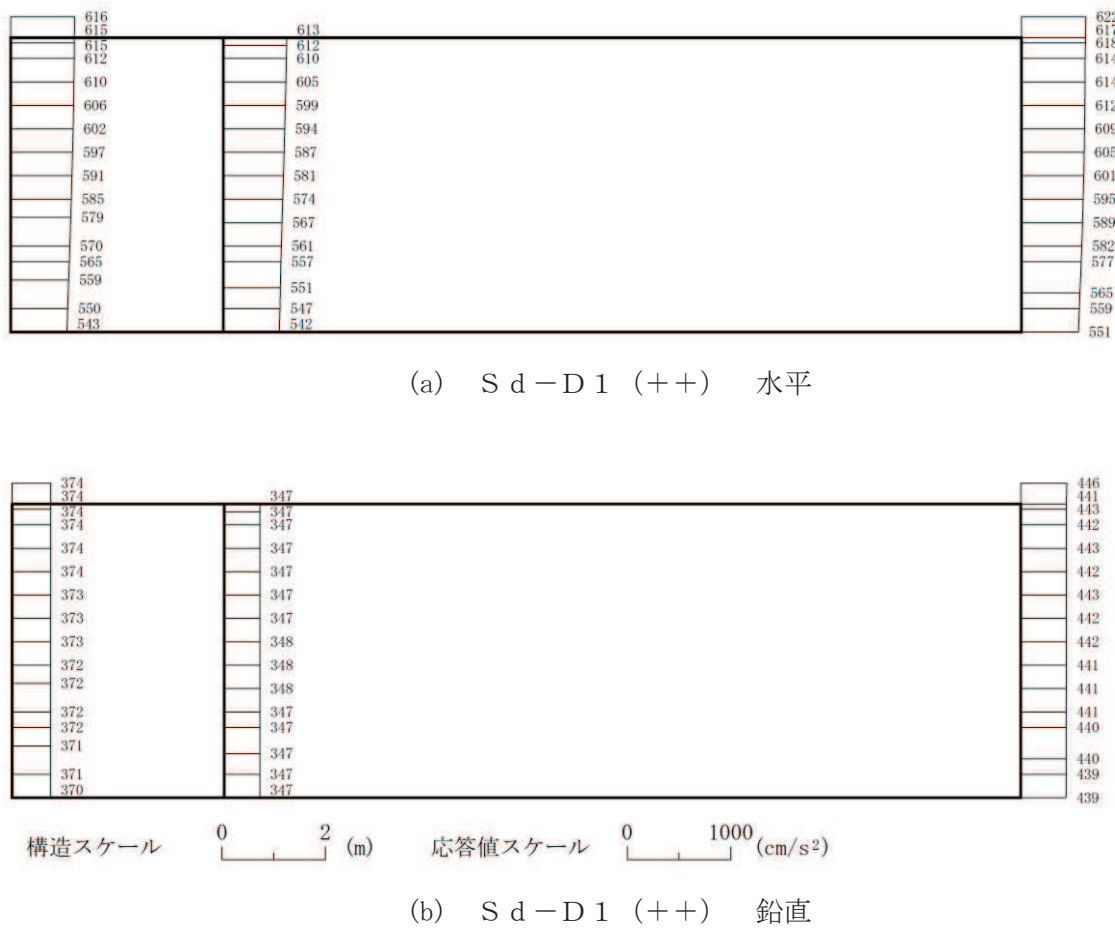


図 4-60 最大加速度分布図 (43/49) (解析ケース④)

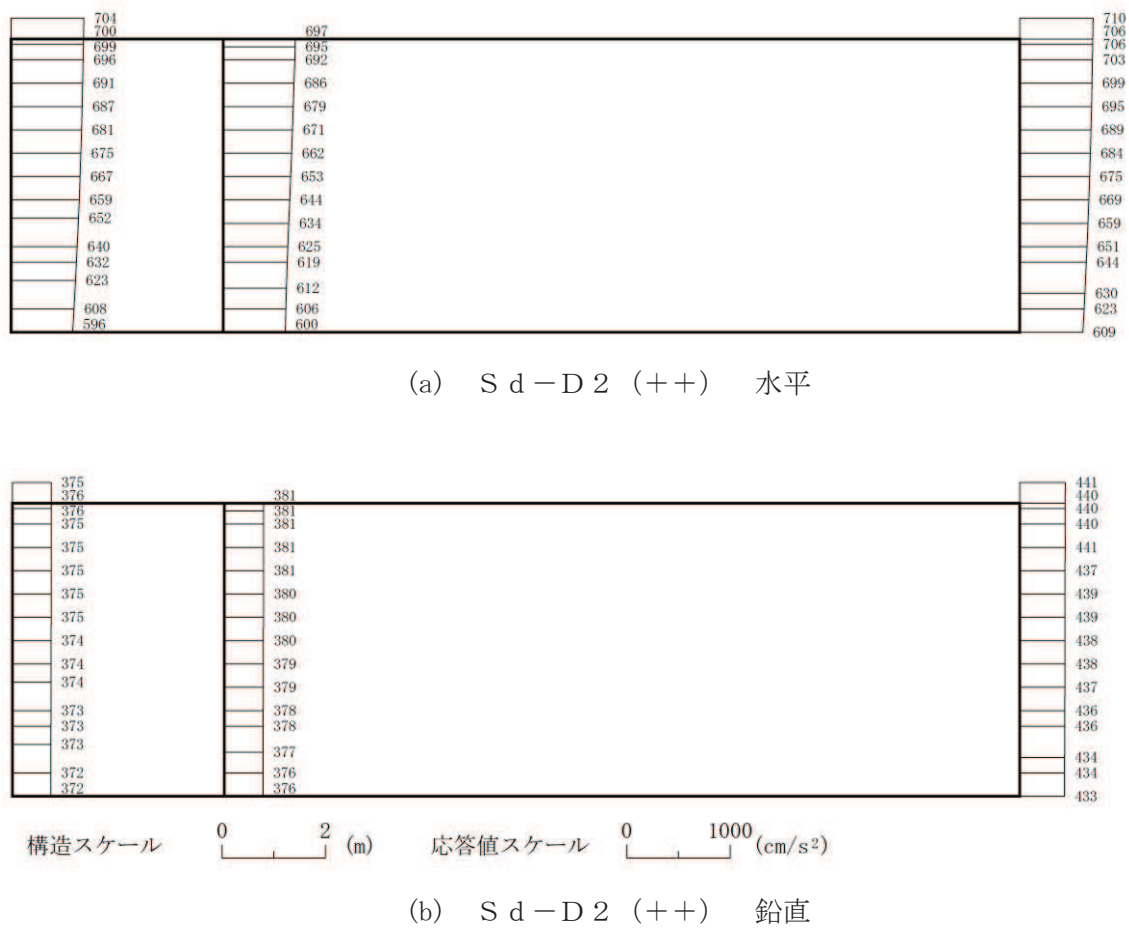


図 4-61 最大加速度分布図 (44/49) (解析ケース④)

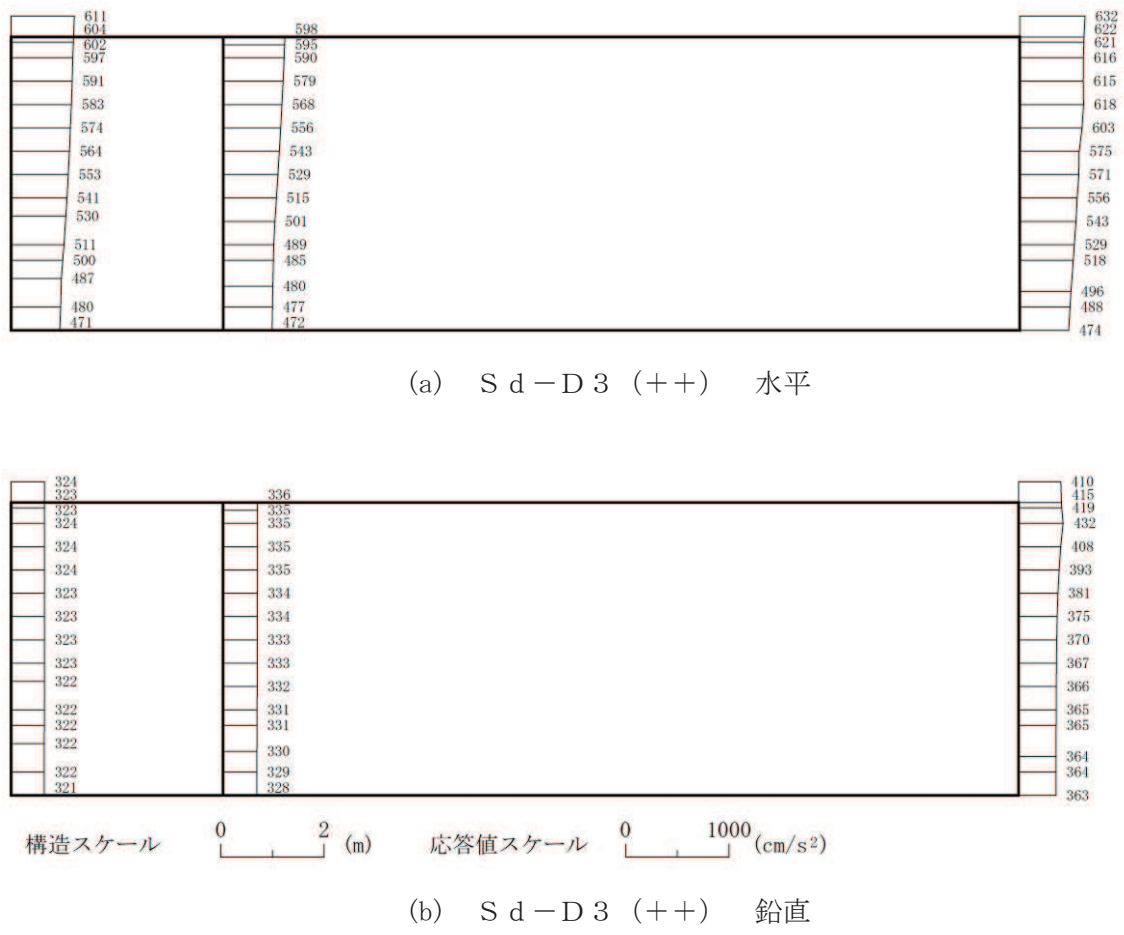
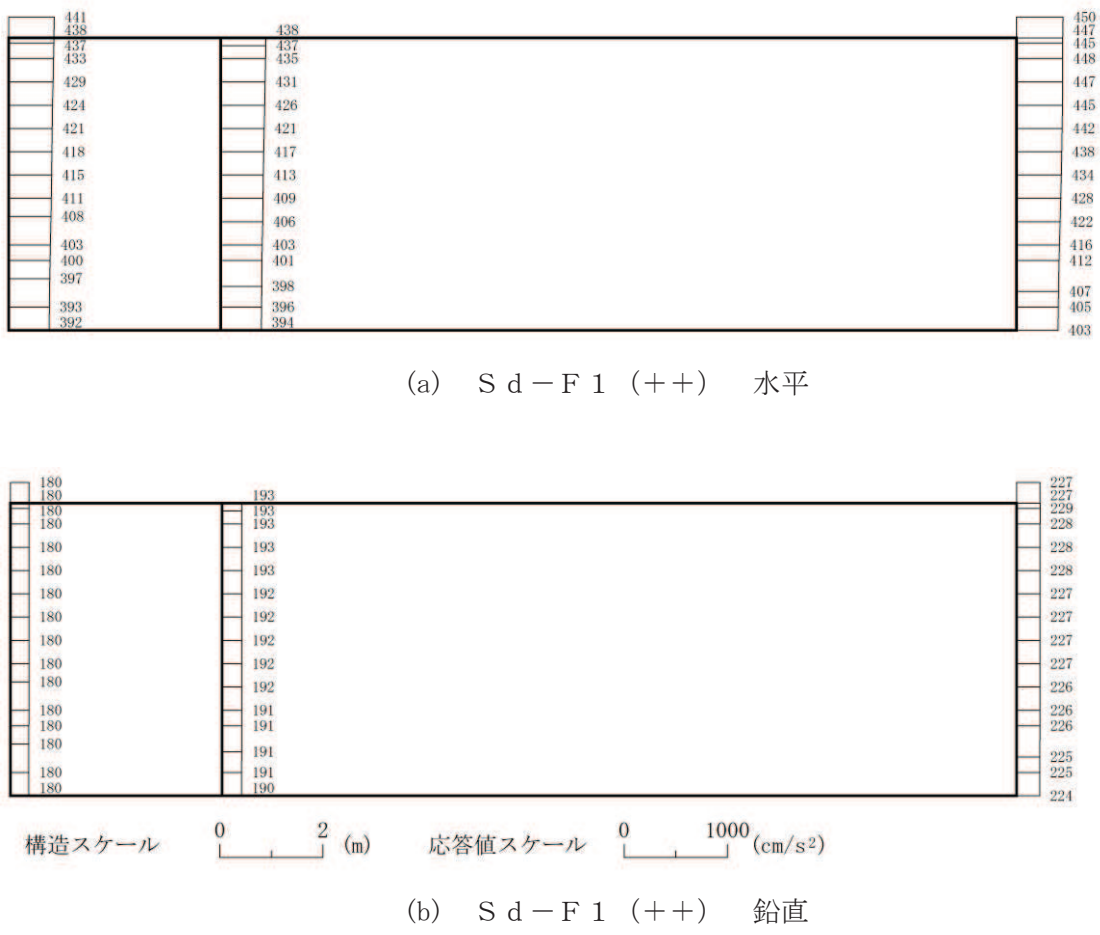


図 4-62 最大加速度分布図 (45/49) (解析ケース④)



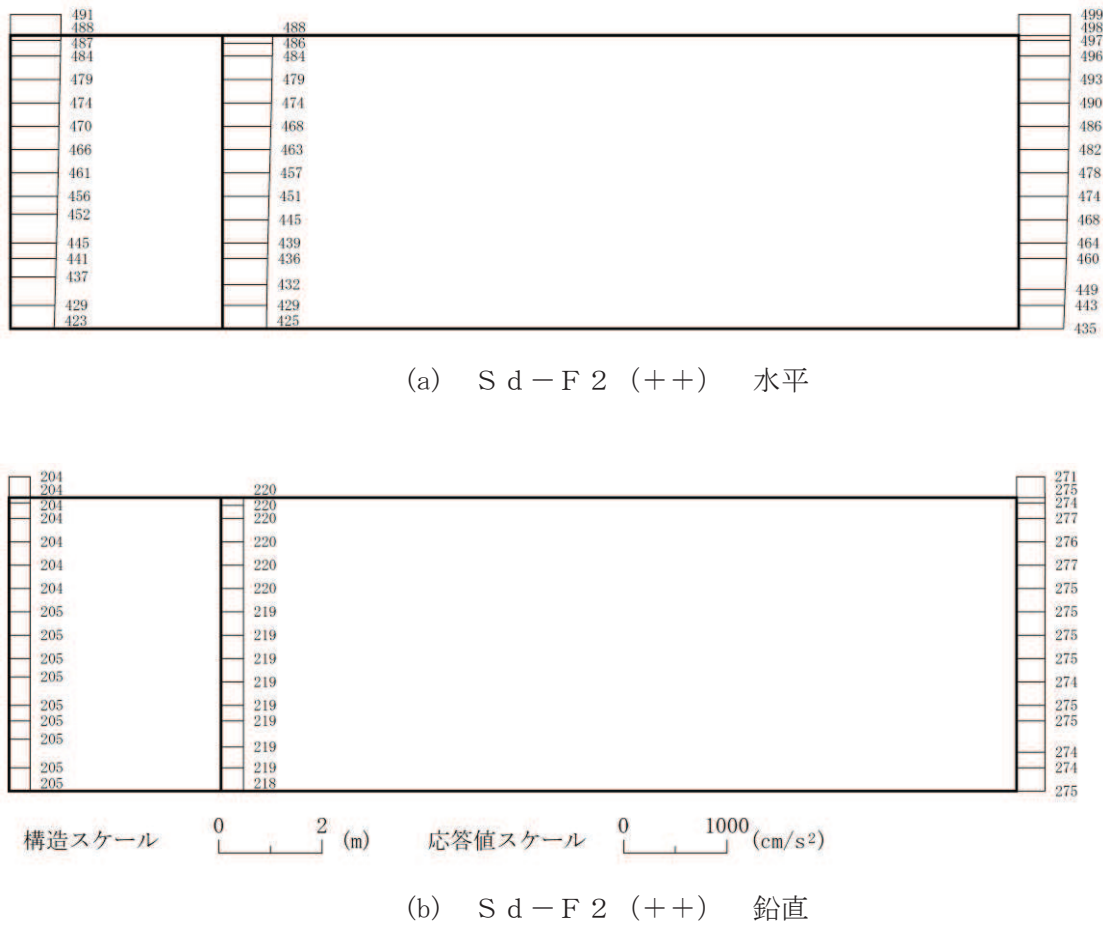


図 4-64 最大加速度分布図 (47/49) (解析ケース④)

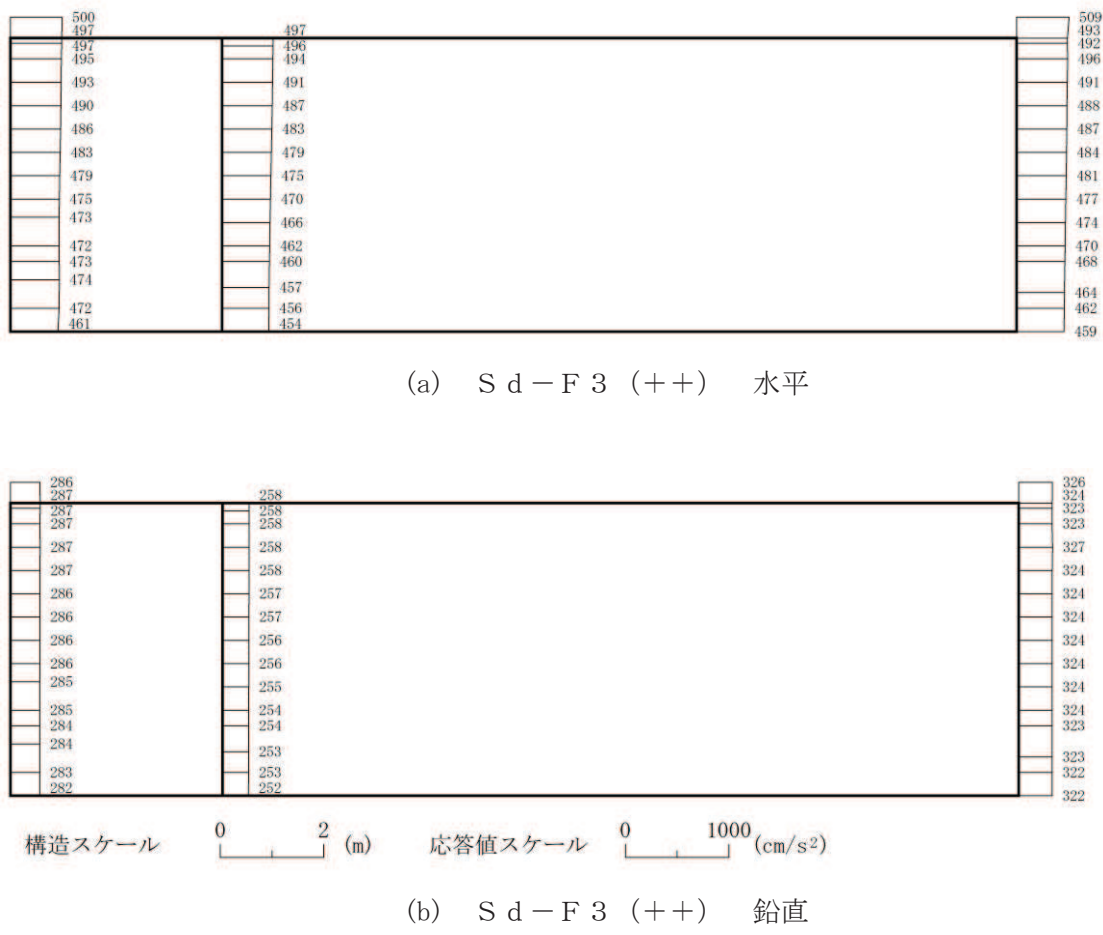


図 4-65 最大加速度分布図 (48/49) (解析ケース④)

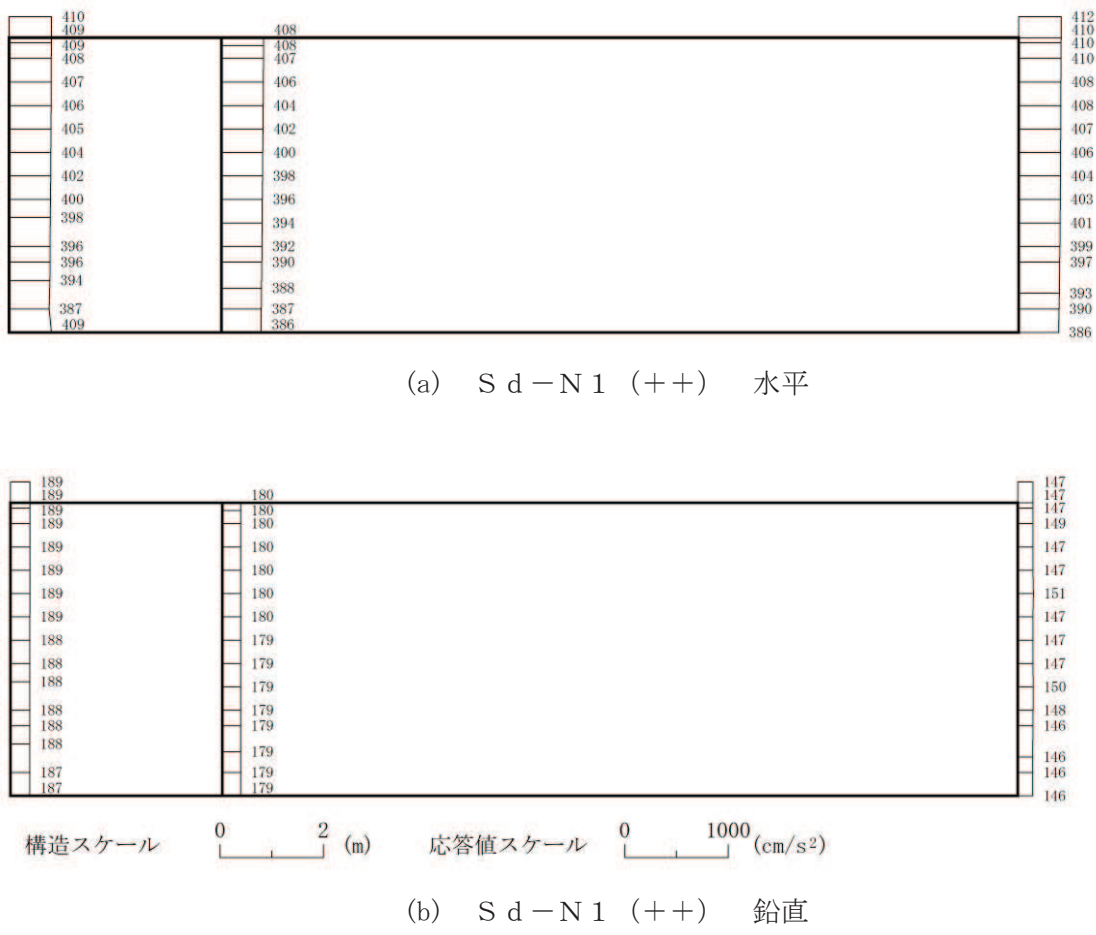
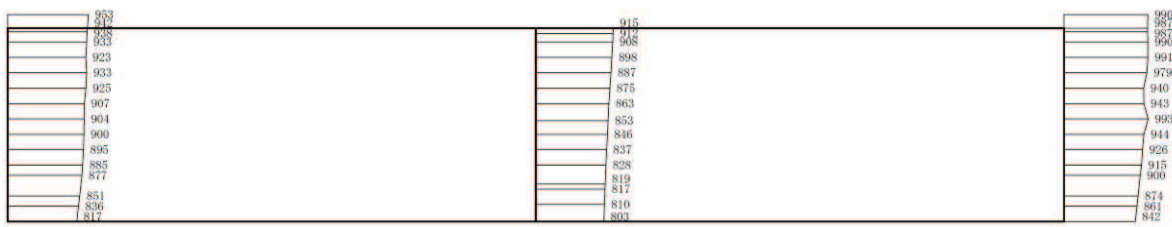


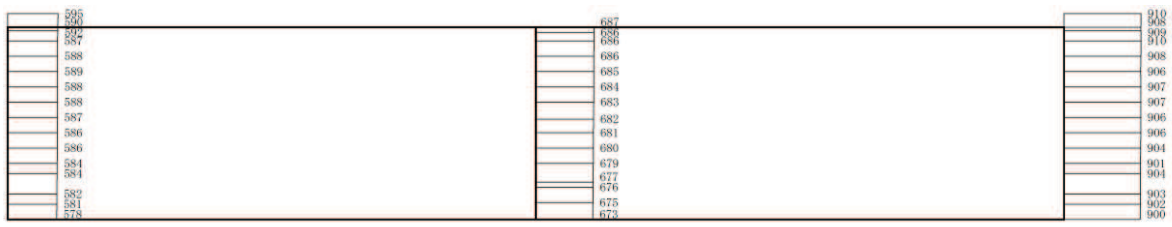
図 4-66 最大加速度分布図 (49/49) (解析ケース④)

4.2 東西方向（タンク室）の解析結果

機器・配管系に対する応答加速度抽出として、解析ケース①（基本ケース）～④について、すべての基準地震動 S_s に対する最大加速度分布図を図 4-67～図 4-94 に、弾性設計用地震動 S_d に対する最大加速度分布図を図 4-95～図 4-122 に示す。

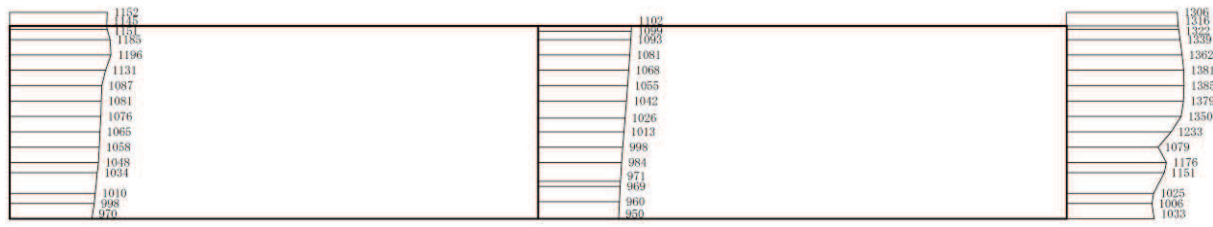


(a) S s - D 1 (++) 水平

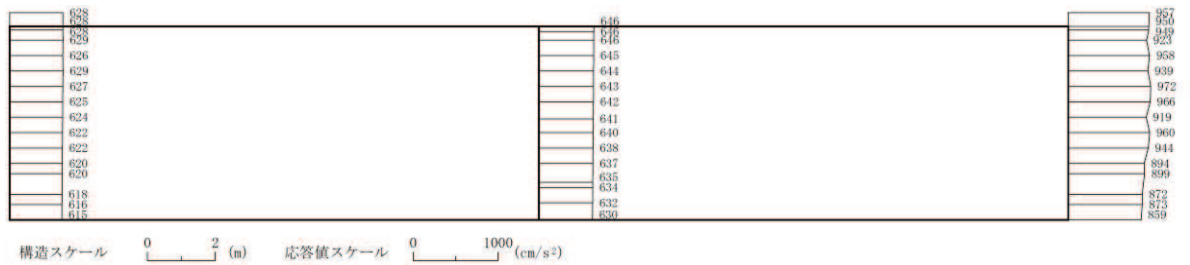


(b) S s - D 1 (++) 鉛直

図 4-67 最大加速度分布図 (1/56) (解析ケース①)

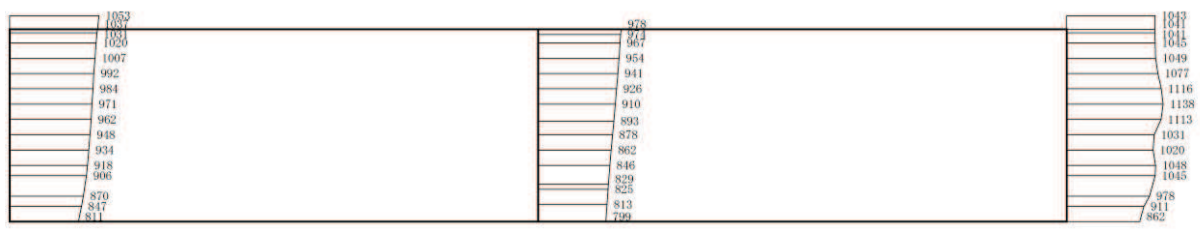


(a) S s - D 2 (++) 水平

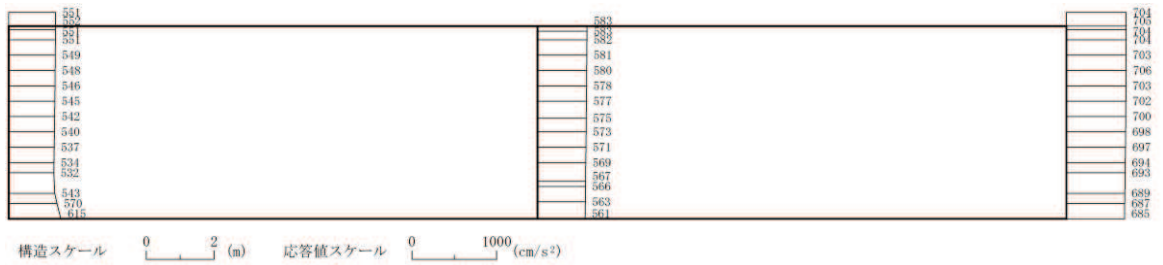


(b) S s - D 2 (++) 鉛直

図 4-68 最大加速度分布図 (2/56) (解析ケース①)

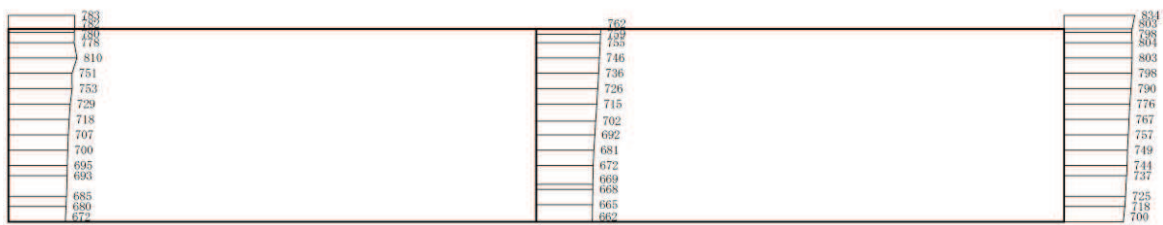


(a) S s - D 3 (++) 水平

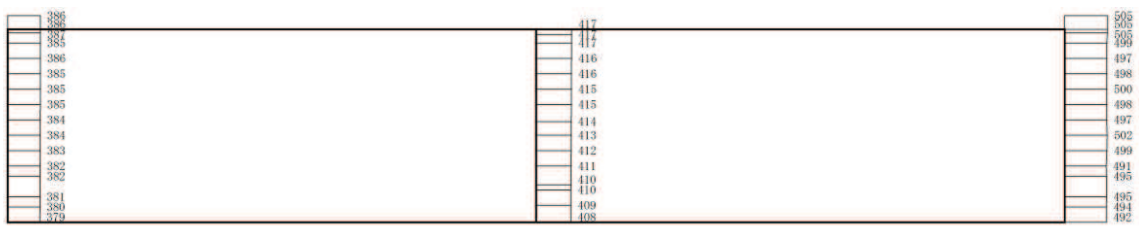


(b) S s - D 3 (++) 鉛直

図 4-69 最大加速度分布図 (3/56) (解析ケース①)

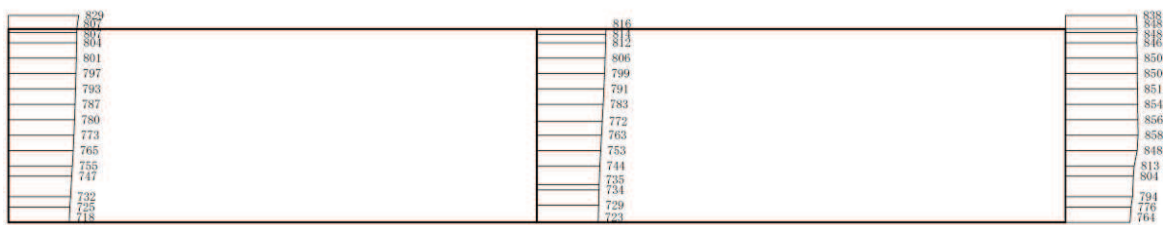


(a) S s - F 1 (++) 水平

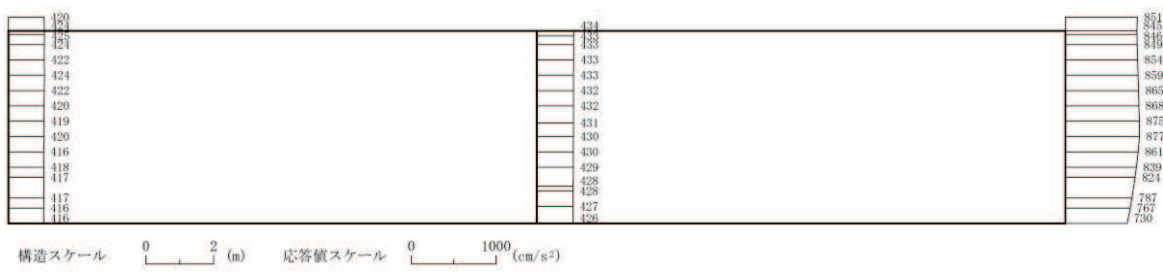


(b) S s - F 1 (++) 鉛直

図 4-70 最大加速度分布図 (4/56) (解析ケース①)

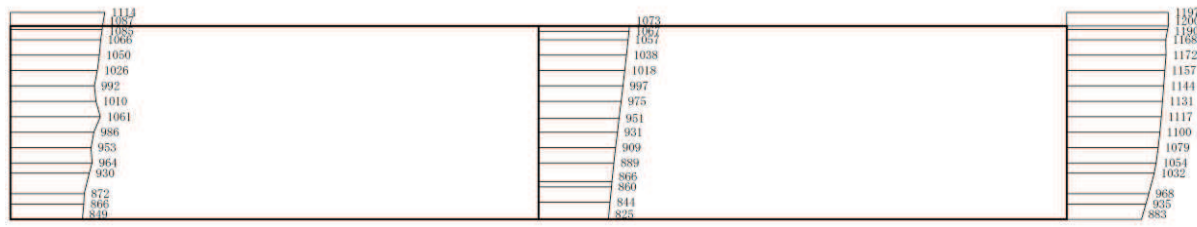


(a) S s - F 2 (++) 水平

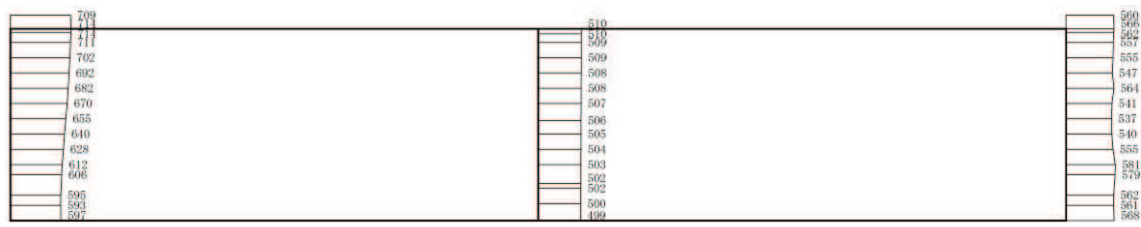


(b) S s - F 2 (++) 鉛直

図 4-71 最大加速度分布図 (5/56) (解析ケース①)



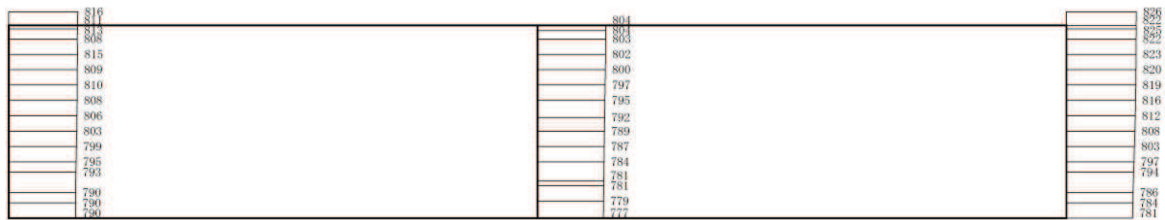
(a) S s - F 3 (++) 水平



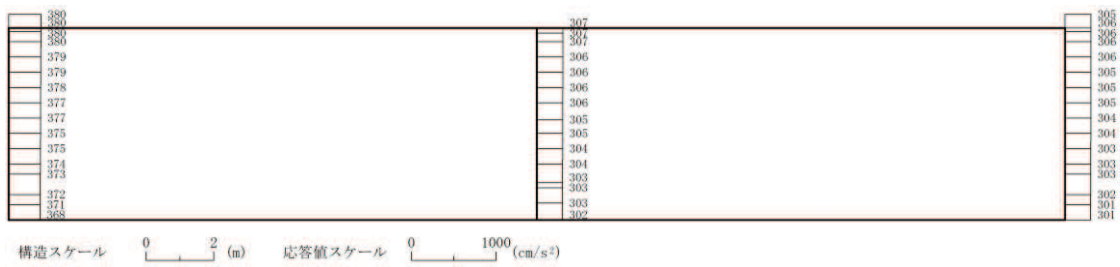
(b) S s - F 3 (++) 鉛直

図 4-72 最大加速度分布図 (6/56) (解析ケース①)

R O
VI-2-2-13
③
O 2

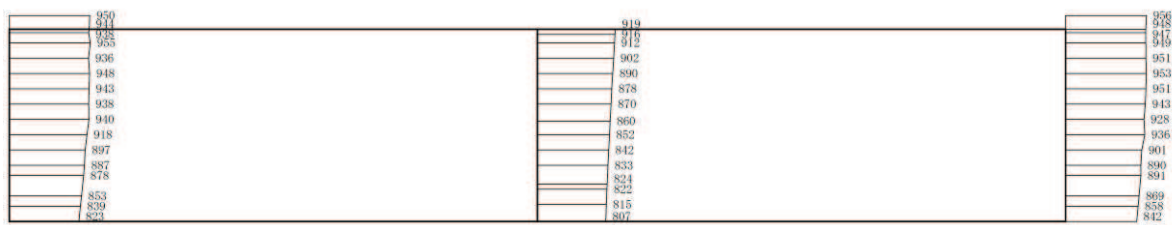


(a) S s - N 1 (++) 水平

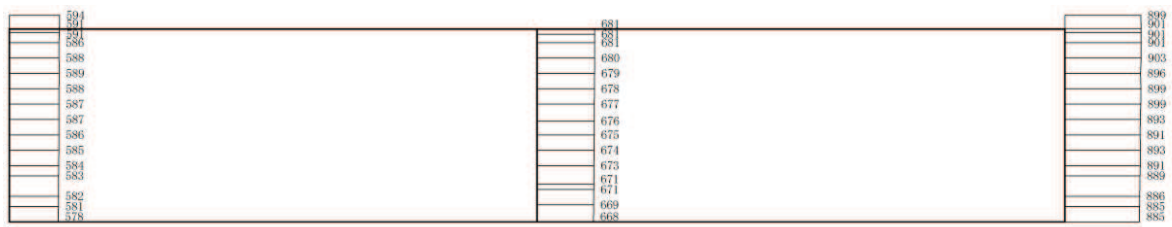


(b) S s - N 1 (++) 鉛直

図 4-73 最大加速度分布図 (7/56) (解析ケース①)

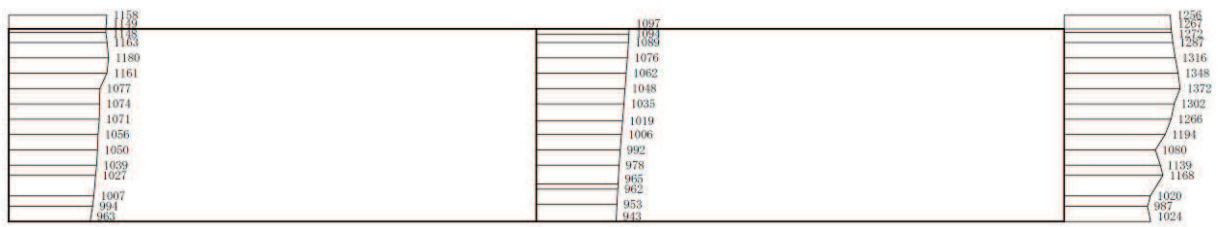


(a) S s - D 1 (++) 水平

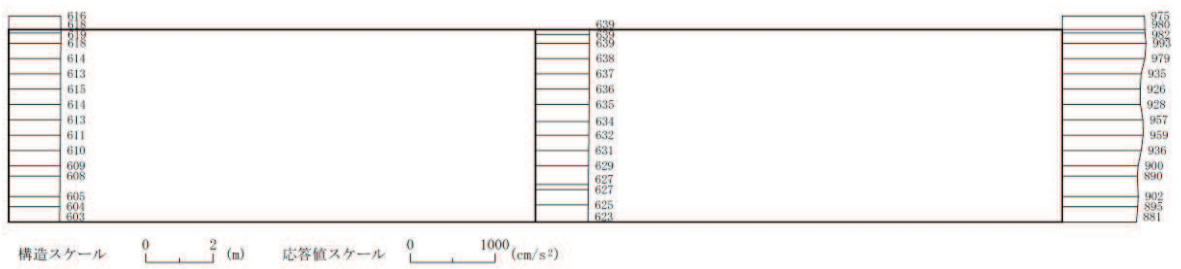


(b) S s - D 1 (++) 鉛直

図 4-74 最大加速度分布図 (8/56) (解析ケース②)

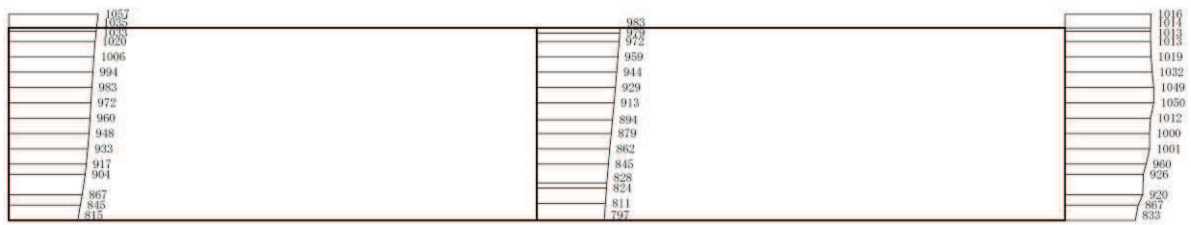


(a) S s - D 2 (++) 水平

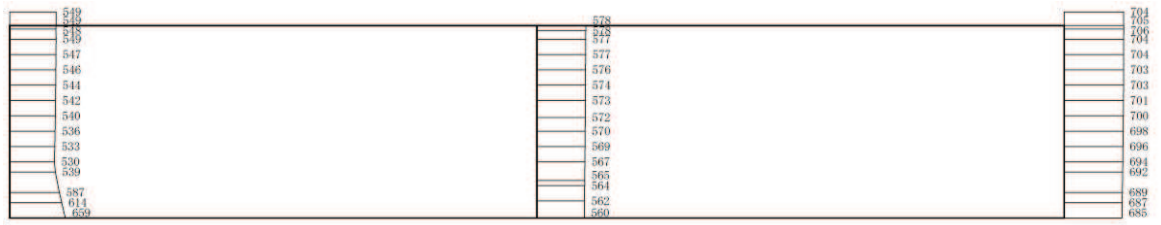


(b) S s - D 2 (++) 鉛直

図 4-75 最大加速度分布図 (9/56) (解析ケース②)

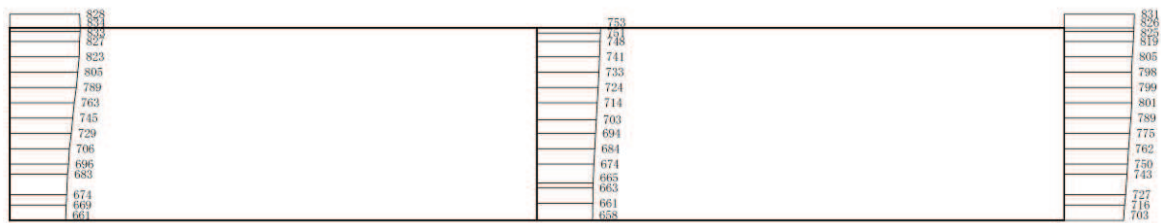


(a) S s - D 3 (++) 水平

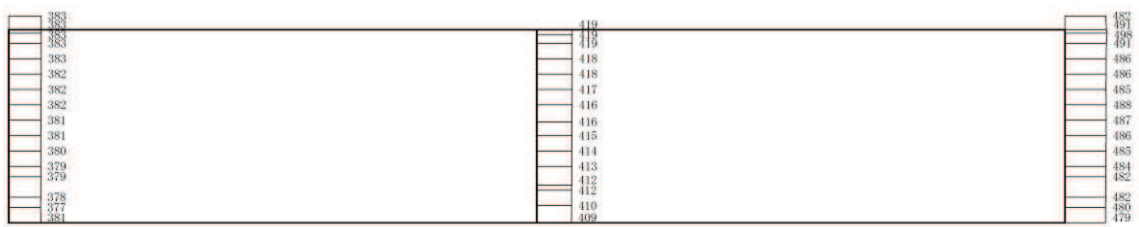


(b) S s - D 3 (++) 鉛直

図 4-76 最大加速度分布図 (10/56) (解析ケース②)

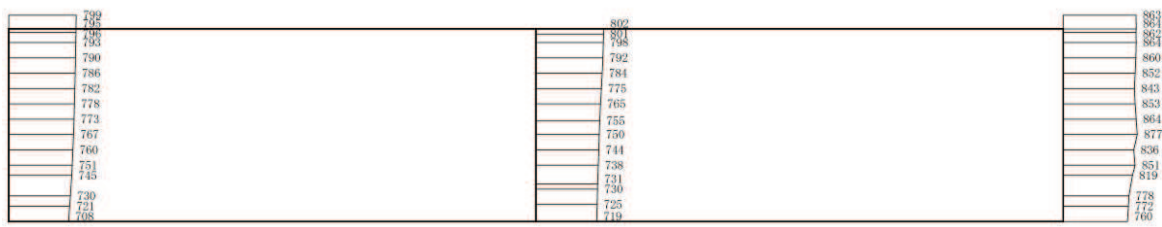


(a) S s - F 1 (++) 水平

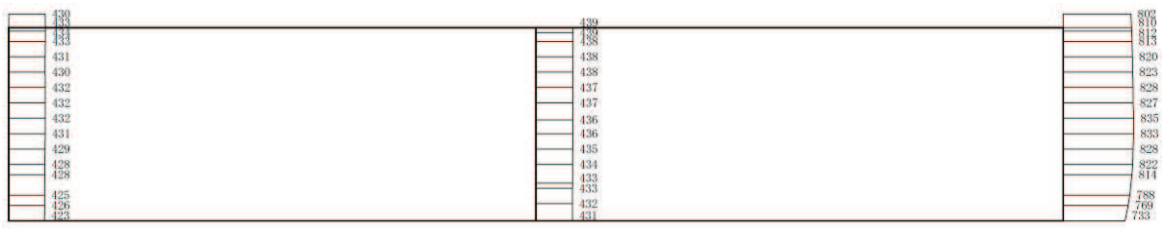


(b) S s - F 1 (++) 鉛直

図 4-77 最大加速度分布図 (11/56) (解析ケース②)

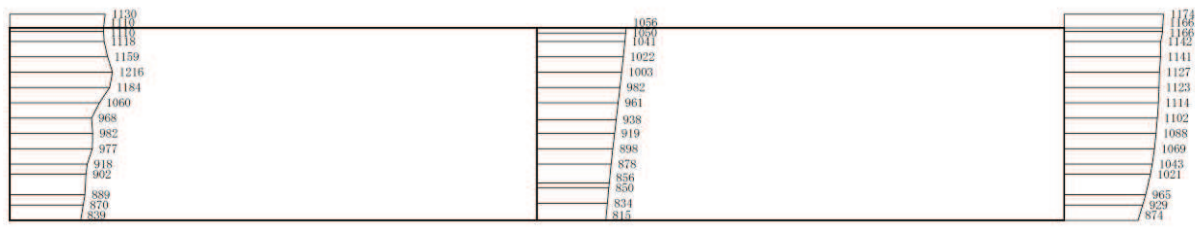


(a) S s - F 2 (++) 水平

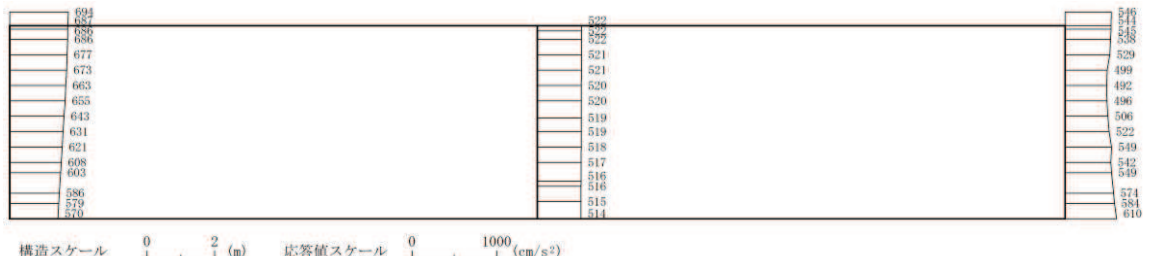


(b) S s - F 2 (++) 鉛直

図 4-78 最大加速度分布図 (12/56) (解析ケース②)

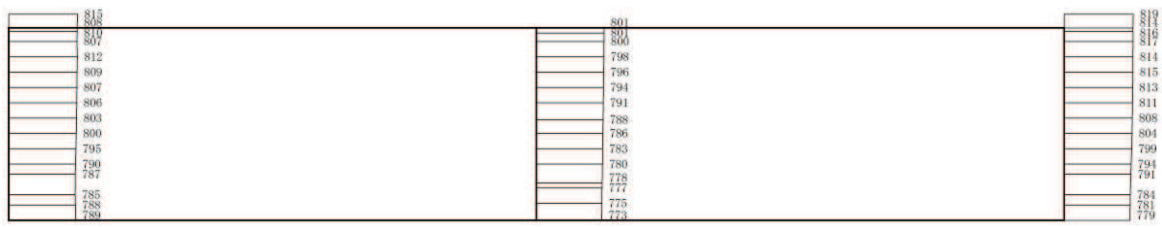


(a) S s - F 3 (++) 水平

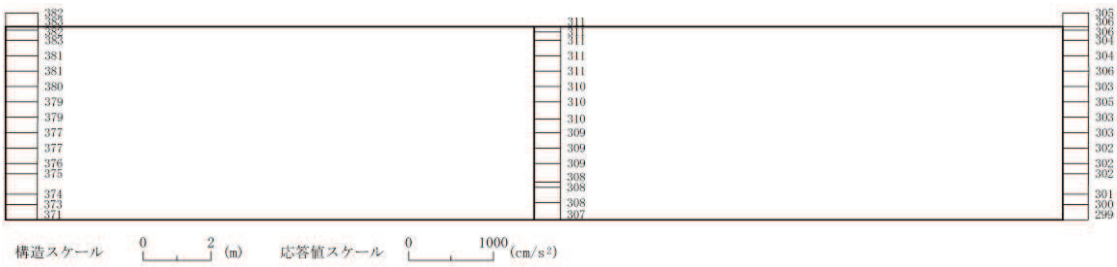


(b) S s - F 3 (++) 鉛直

図 4-79 最大加速度分布図 (13/56) (解析ケース②)

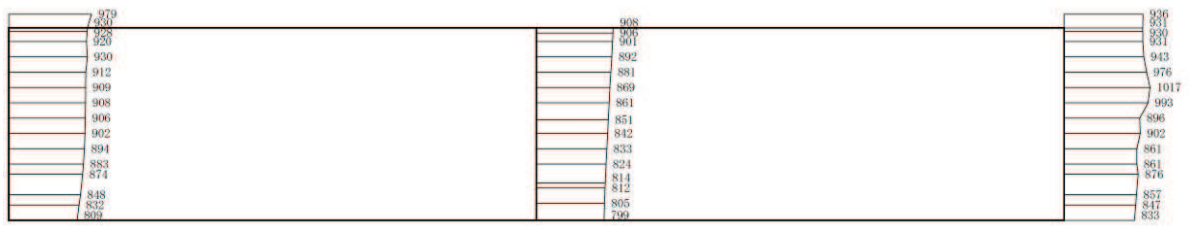


(a) S s - N 1 (++) 水平

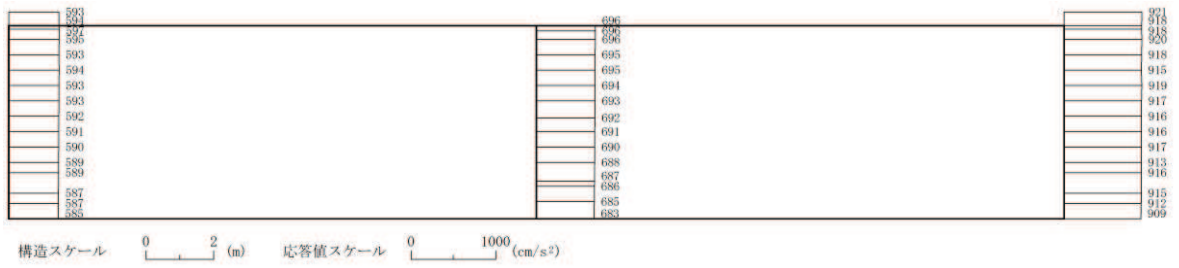


(b) S s - N 1 (++) 鉛直

図 4-80 最大加速度分布図 (14/56) (解析ケース②)

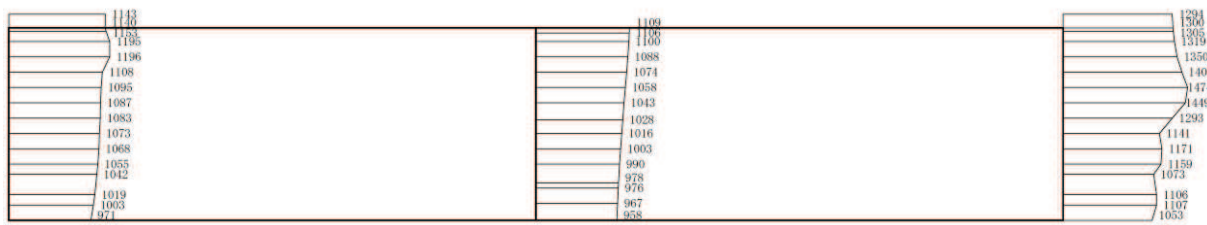


(a) S s - D 1 (++) 水平

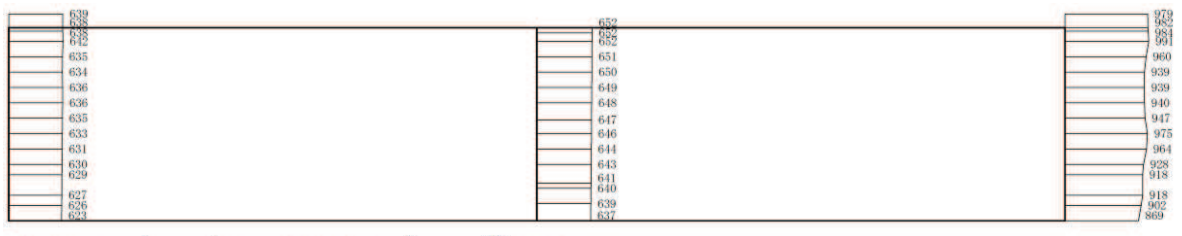


(b) S s - D 1 (++) 鉛直

図 4-81 最大加速度分布図 (15/56) (解析ケース③)

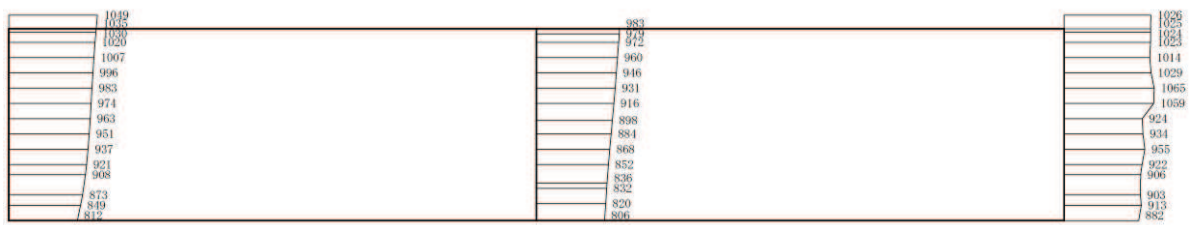


(a) S s - D 2 (++) 水平

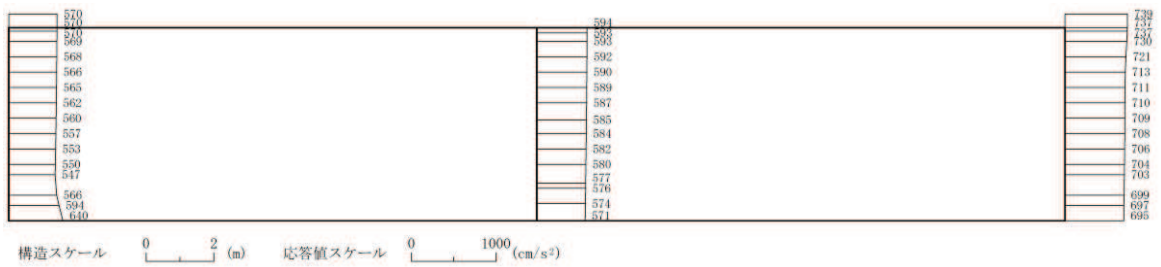


(b) S s - D 2 (++) 鉛直

図 4-82 最大加速度分布図 (16/56) (解析ケース③)

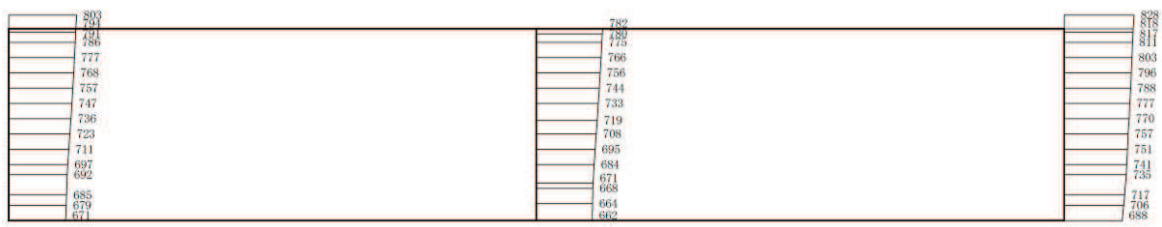


(a) S s - D 3 (++) 水平

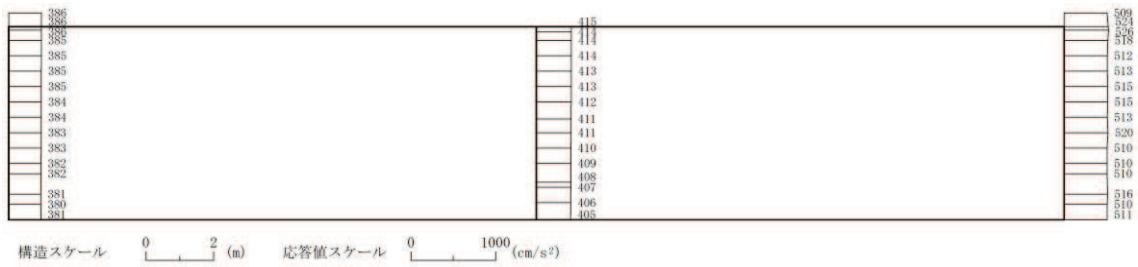


(b) S s - D 3 (++) 鉛直

図 4-83 最大加速度分布図 (17/56) (解析ケース③)



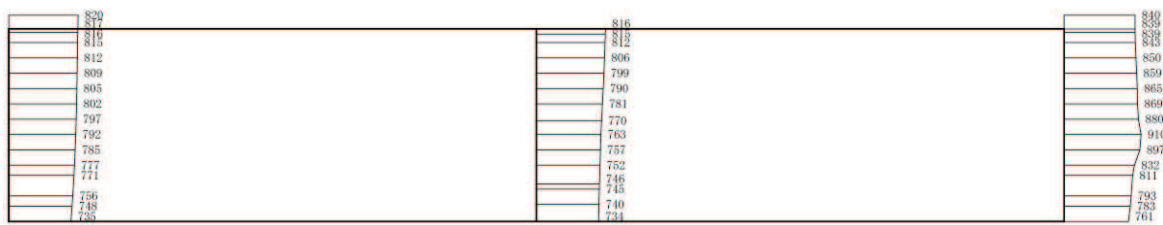
(a) S s - F 1 (++) 水平



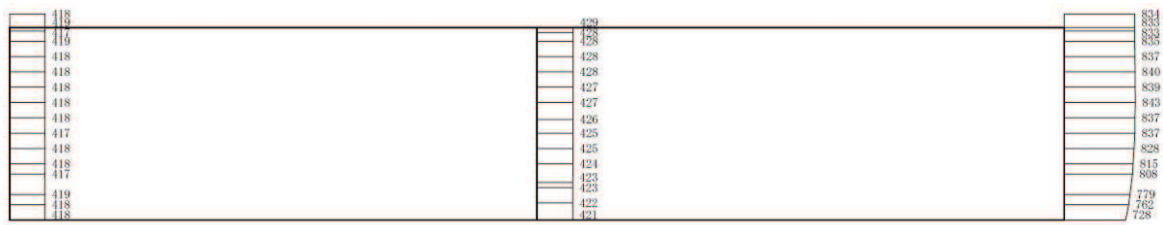
(b) S s - F 1 (++) 鉛直

図 4-84 最大加速度分布図 (18/56) (解析ケース③)

VI-2-2-13 R O
③ O 2

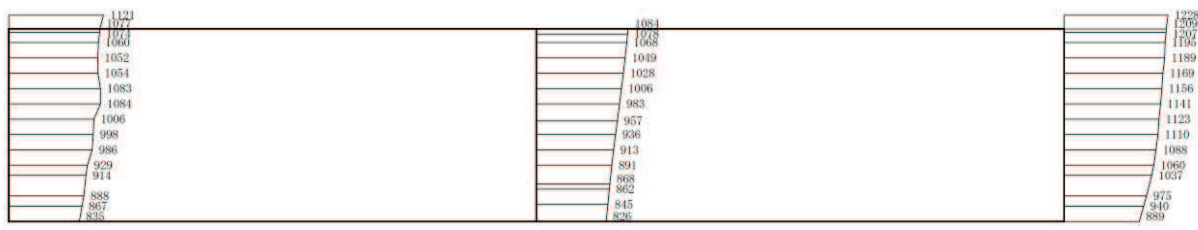


(a) S s - F 2 (++) 水平

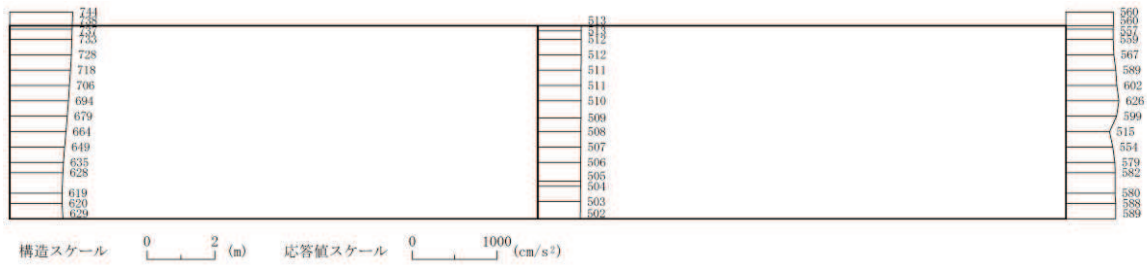


(b) S s - F 2 (++) 鉛直

図 4-85 最大加速度分布図 (19/56) (解析ケース③)

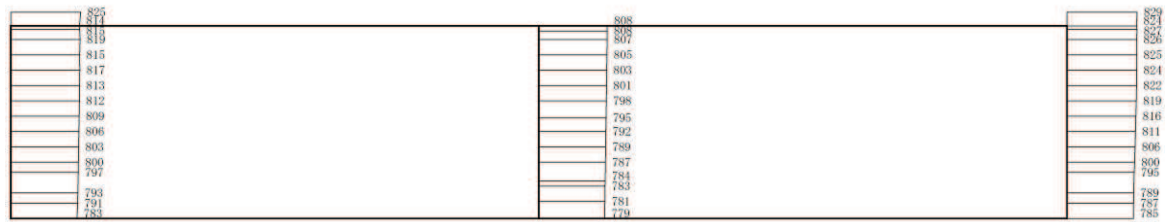


(a) S s - F 3 (++) 水平

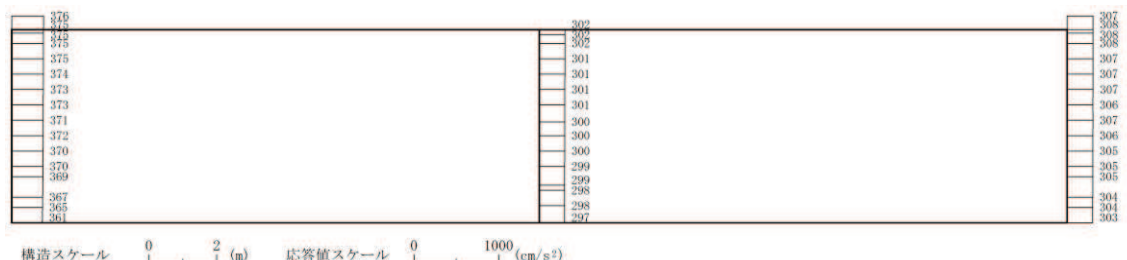


(b) S s - F 3 (++) 鉛直

図 4-86 最大加速度分布図 (20/56) (解析ケース③)

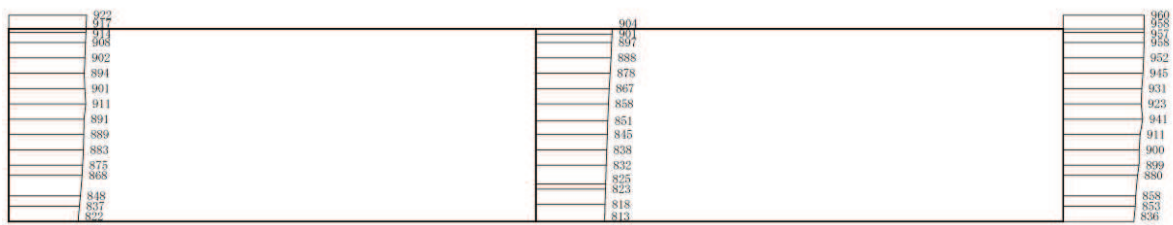


(a) S s - N 1 (++) 水平

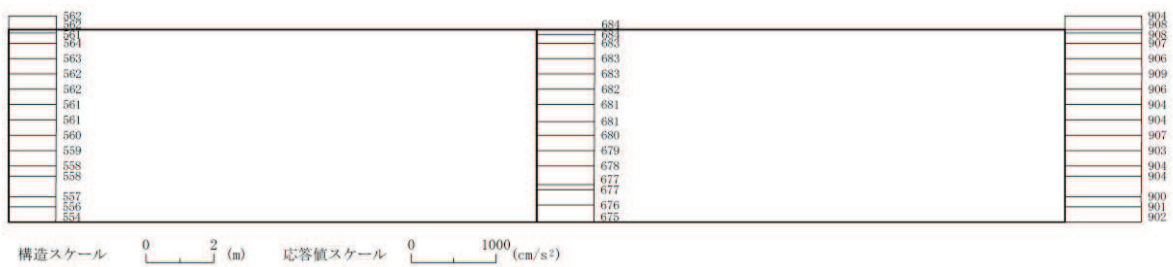


(b) S s - N 1 (++) 鉛直

図 4-87 最大加速度分布図 (21/56) (解析ケース③)



(a) S s - D 1 (++) 水平



(b) S s - D 1 (++) 鉛直

図 4-88 最大加速度分布図 (22/56) (解析ケース④)

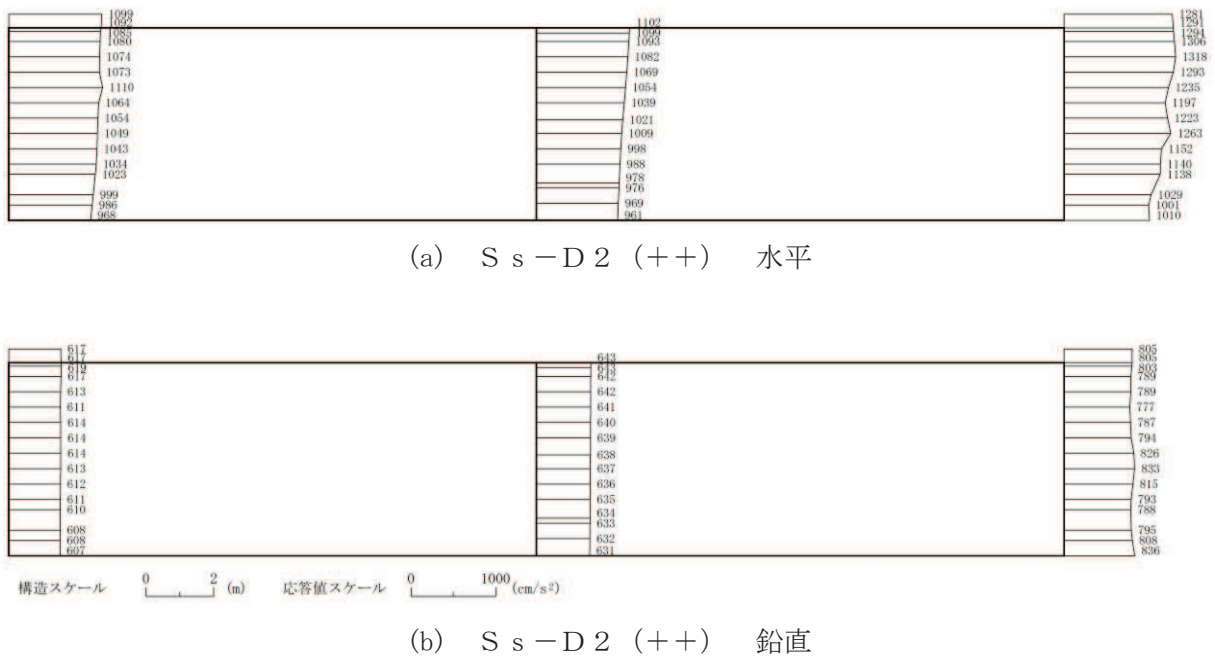
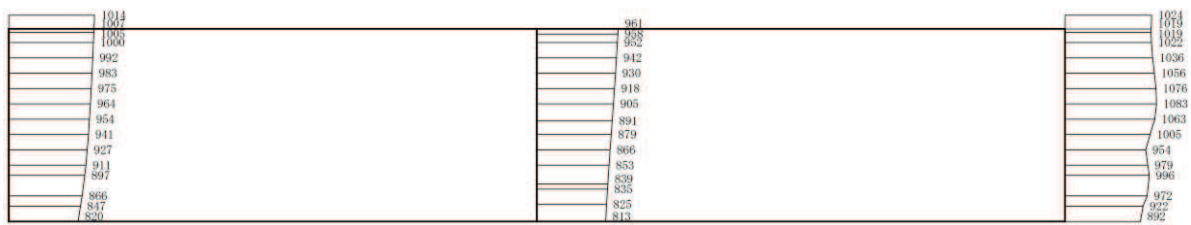
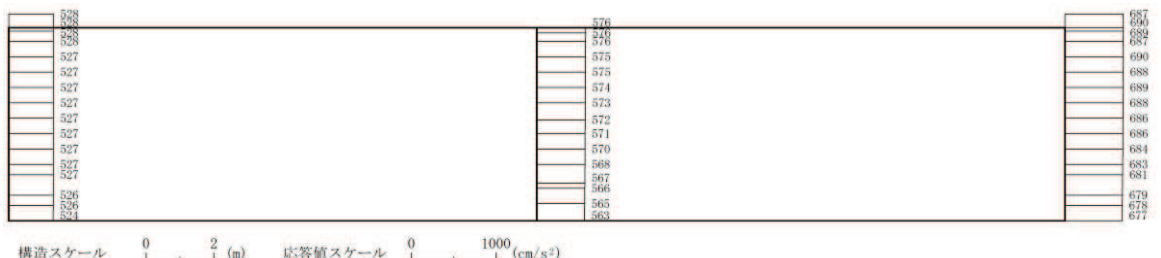


図 4-89 最大加速度分布図 (23/56) (解析ケース④)

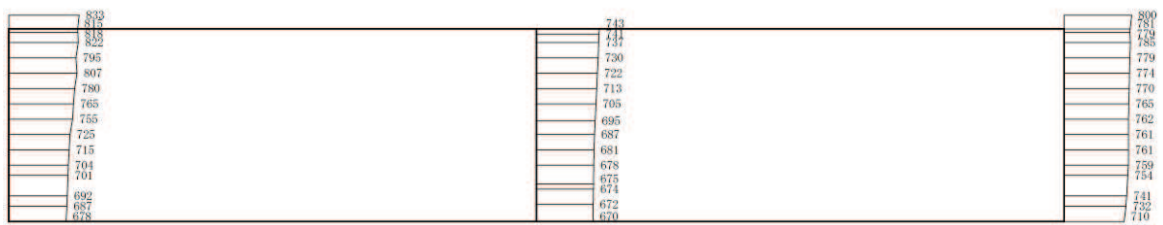


(a) S s - D 3 (++) 水平

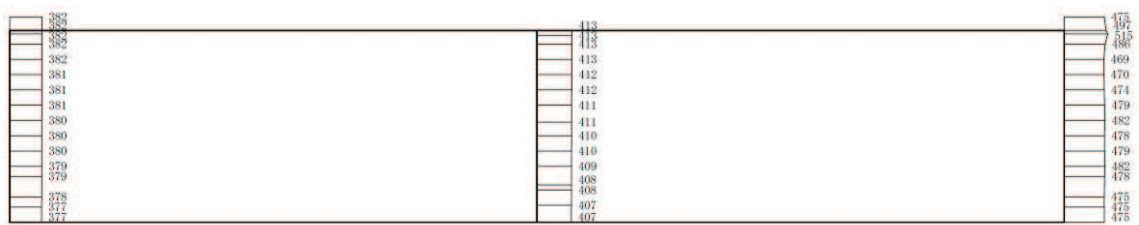


(b) S s - D 3 (++) 鉛直

図 4-90 最大加速度分布図 (24/56) (解析ケース④)

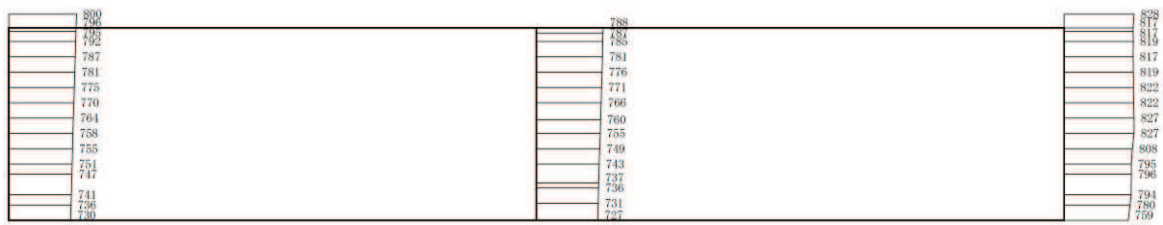


(a) S s - F 1 (++) 水平

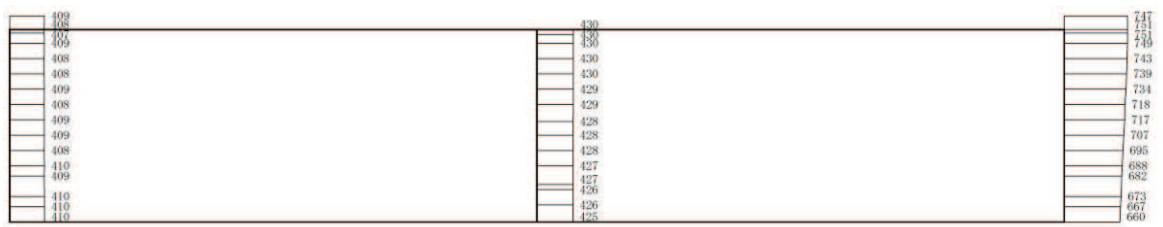


(b) S s - F 1 (++) 鉛直

図 4-91 最大加速度分布図 (25/56) (解析ケース④)

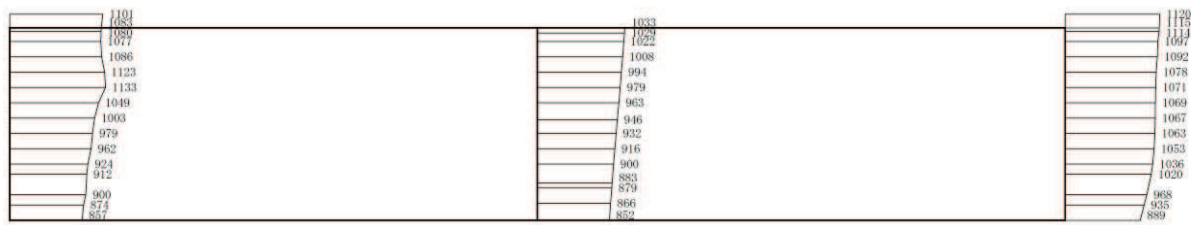


(a) S s - F 2 (++) 水平

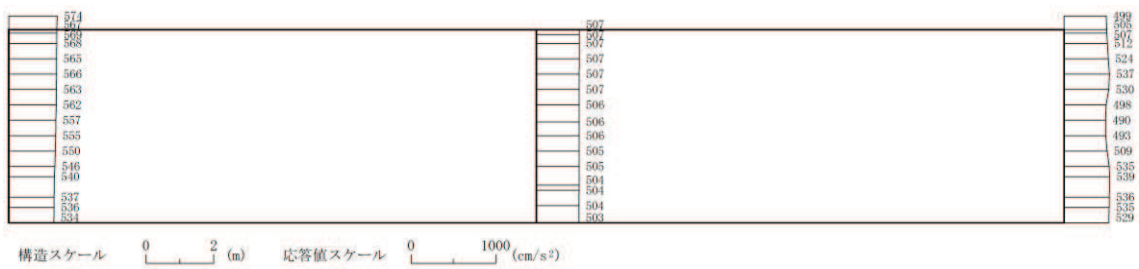


(b) S s - F 2 (++) 鉛直

図 4-92 最大加速度分布図 (26/56) (解析ケース④)

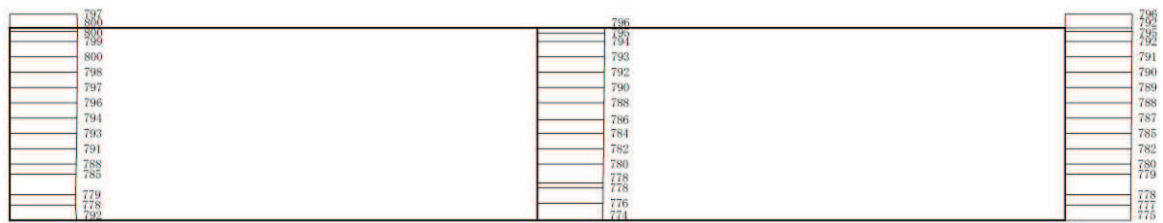


(a) S s - F 3 (++) 水平

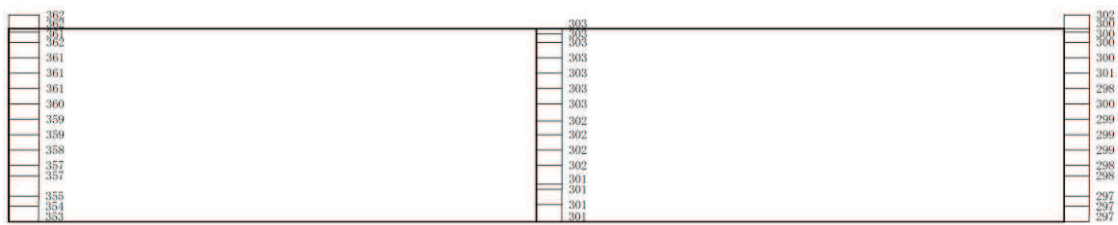


(b) S s - F 3 (++) 鉛直

図 4-93 最大加速度分布図 (27/56) (解析ケース④)

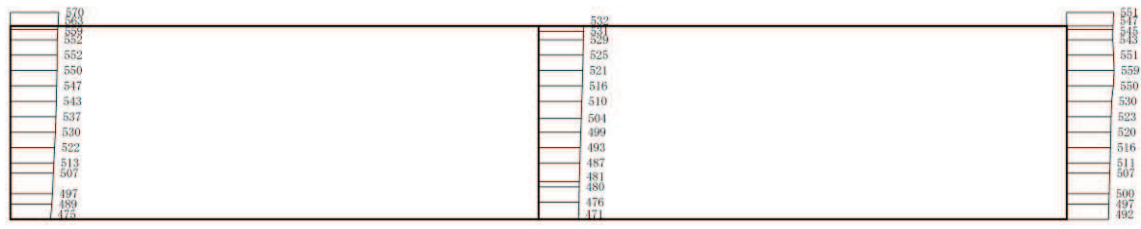


(a) S s - N 1 (++) 水平

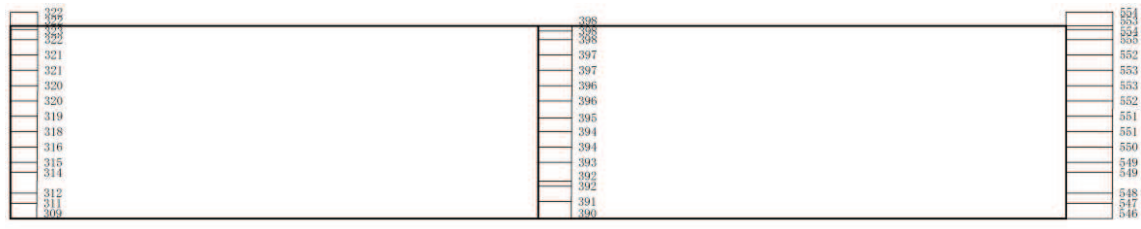


(b) S s - N 1 (++) 鉛直

図 4-94 最大加速度分布図 (28/56) (解析ケース④)

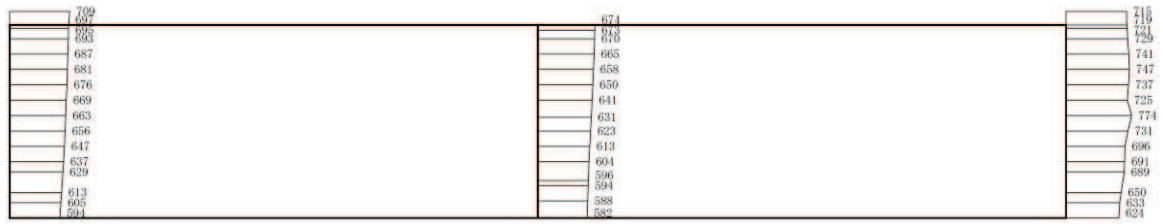


(a) S d - D 1 (++) 水平

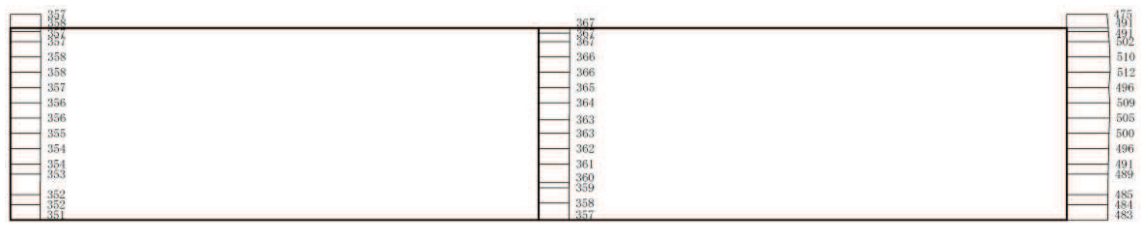


(b) S d - D 1 (++) 鉛直

図 4-95 最大加速度分布図 (29/56) (解析ケース①)

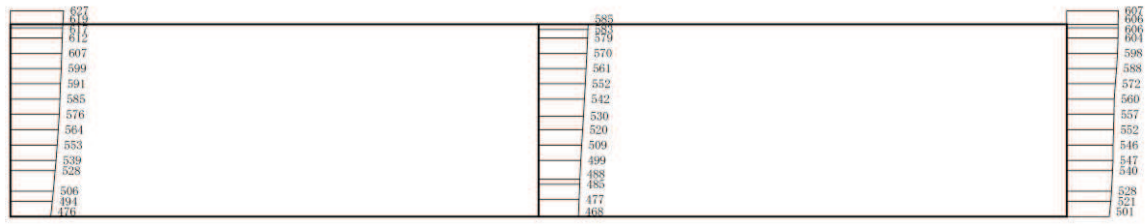


(a) S d - D 2 (++) 水平

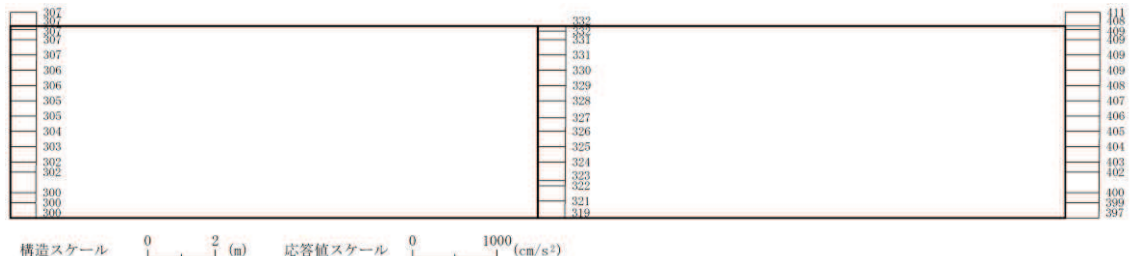


(b) S d - D 2 (++) 鉛直

図 4-96 最大加速度分布図 (30/56) (解析ケース①)

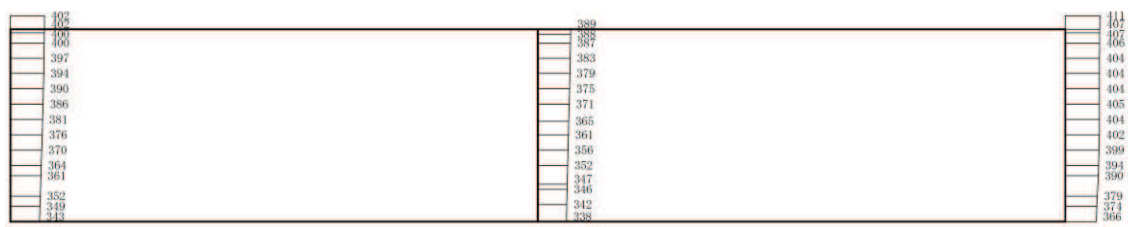


(a) S d - D 3 (++) 水平

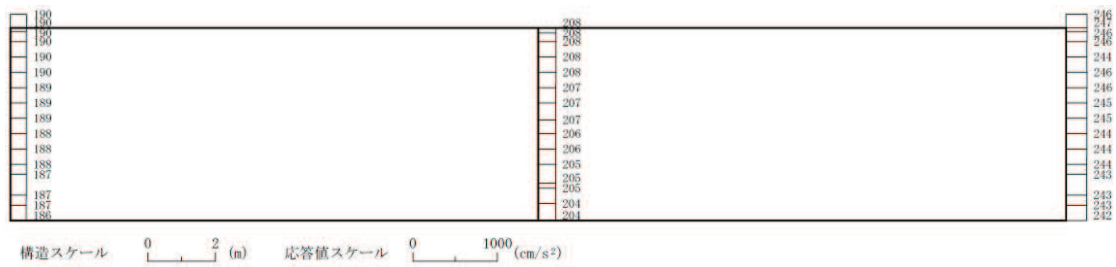


(b) S d - D 3 (++) 鉛直

図 4-97 最大加速度分布図 (31/56) (解析ケース①)

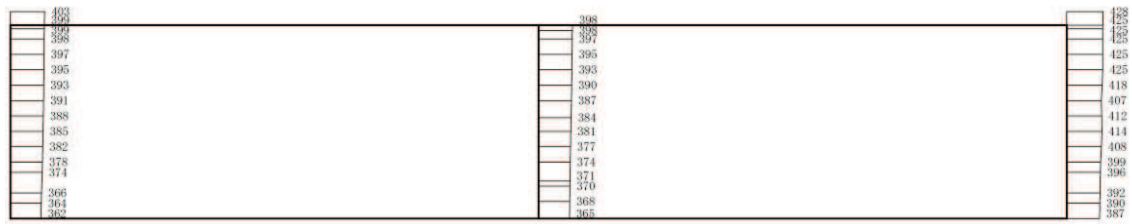


(a) S d - F 1 (++) 水平

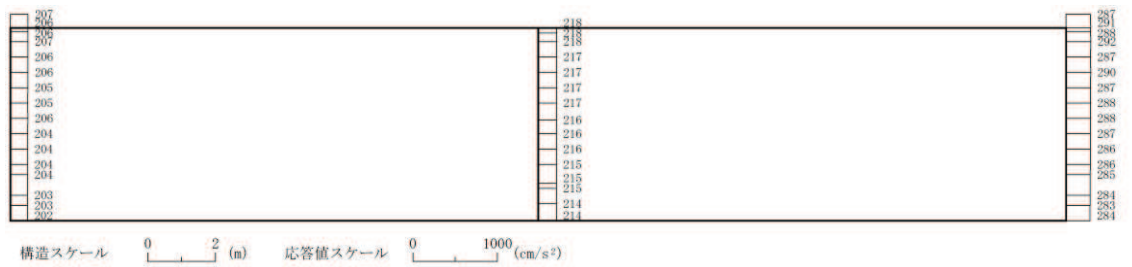


(b) S d - F 1 (++) 鉛直

図 4-98 最大加速度分布図 (32/56) (解析ケース①)

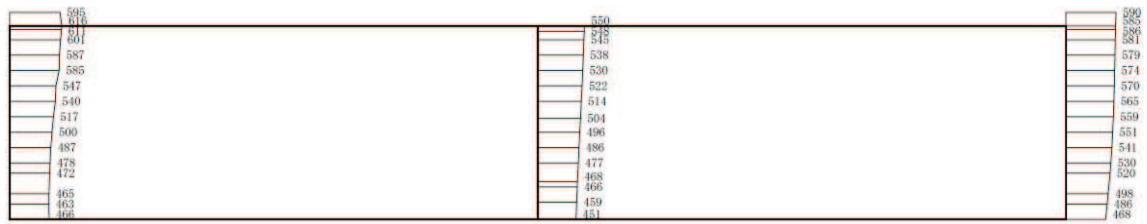


(a) S d - F 2 (++) 水平

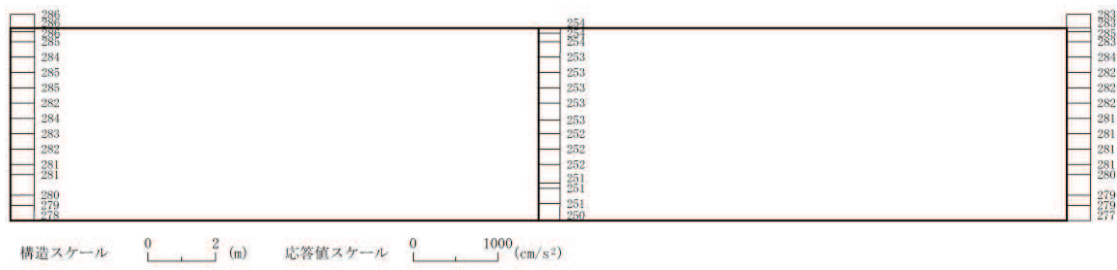


(b) S d - F 2 (++) 鉛直

図 4-99 最大加速度分布図 (33/56) (解析ケース①)

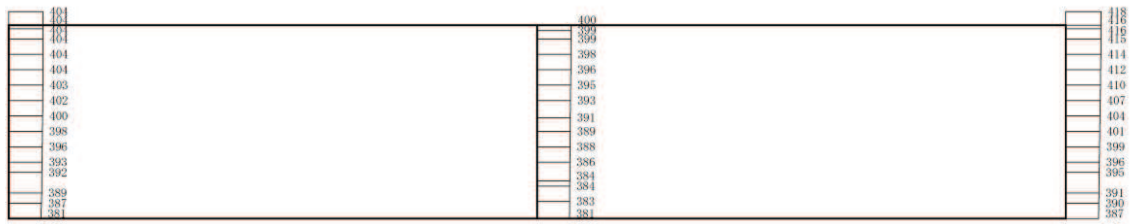


(a) S d - F 3 (++) 水平

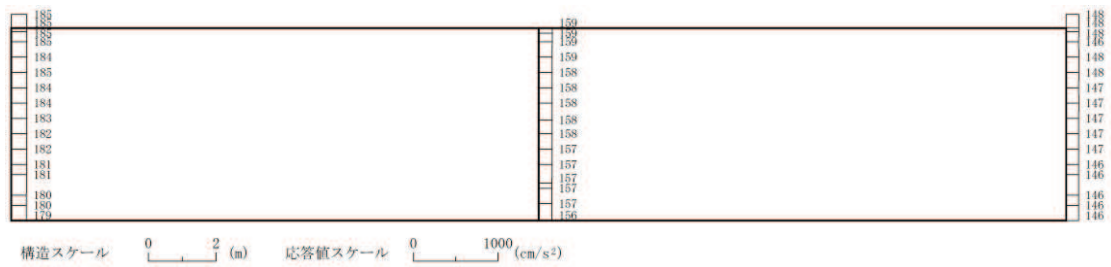


(b) S d - F 3 (++) 鉛直

図 4-100 最大加速度分布図 (34/56) (解析ケース①)



(a) S d - N 1 (++) 水平



(b) S d - N 1 (++) 鉛直

図 4-101 最大加速度分布図 (35/56) (解析ケース①)

R O
VI-2-2-13
③
O 2

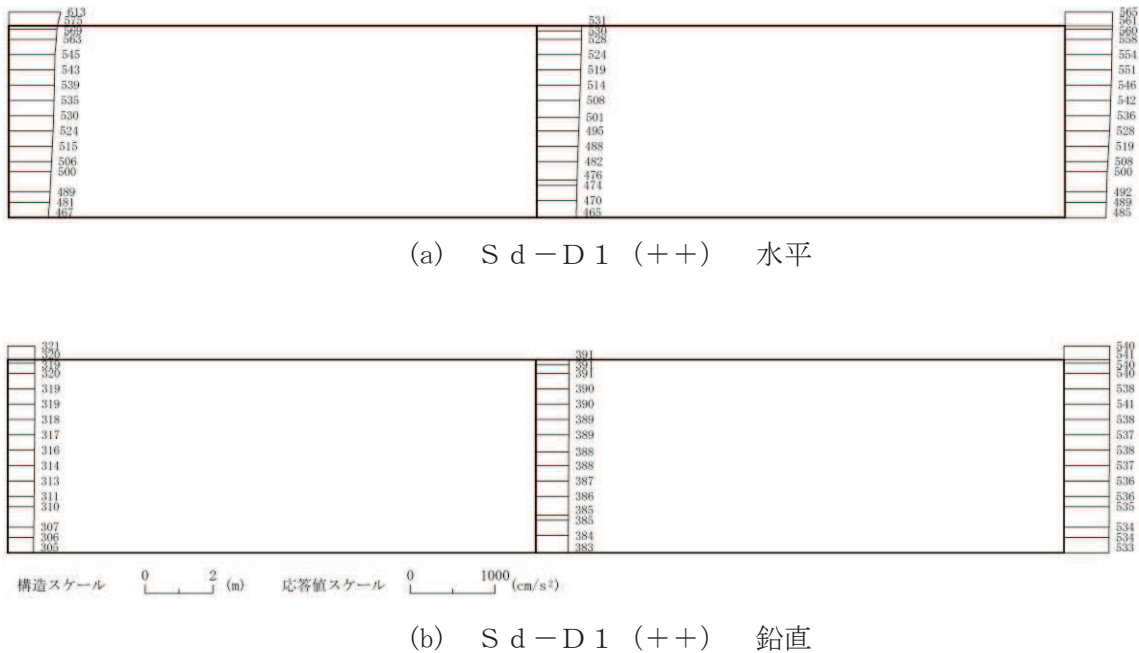
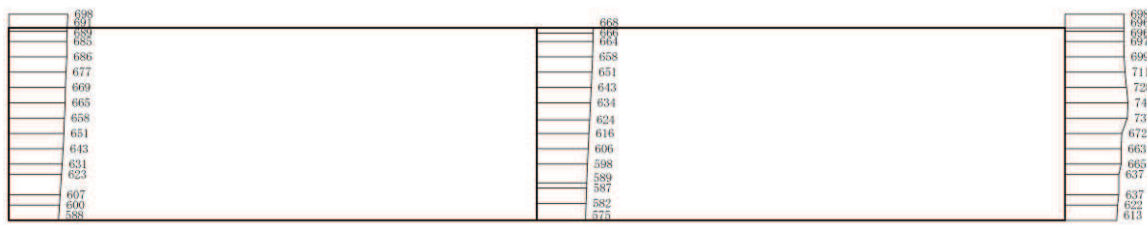
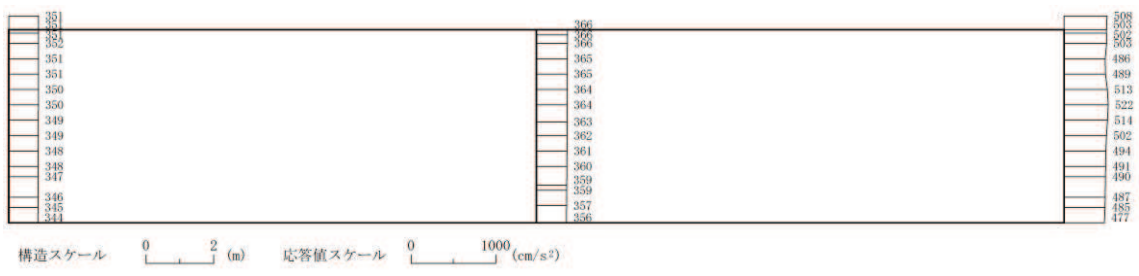


図 4-102 最大加速度分布図 (36/56) (解析ケース②)

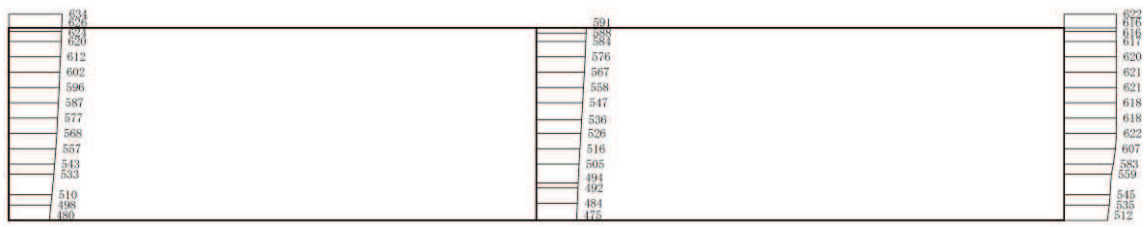


(a) S d - D 2 (++) 水平

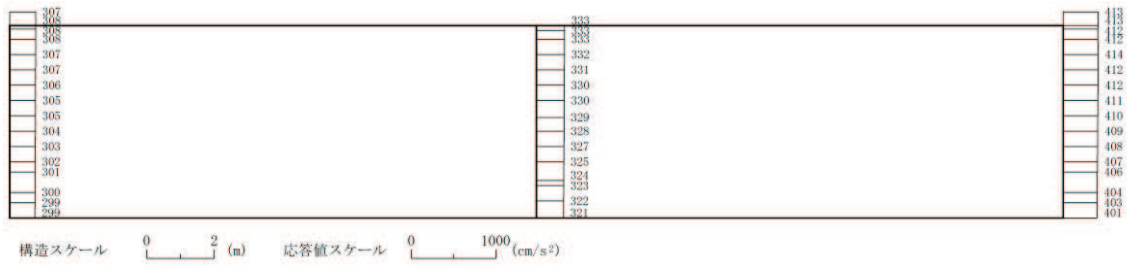


(b) S d - D 2 (++) 鉛直

図 4-103 最大加速度分布図 (37/56) (解析ケース②)

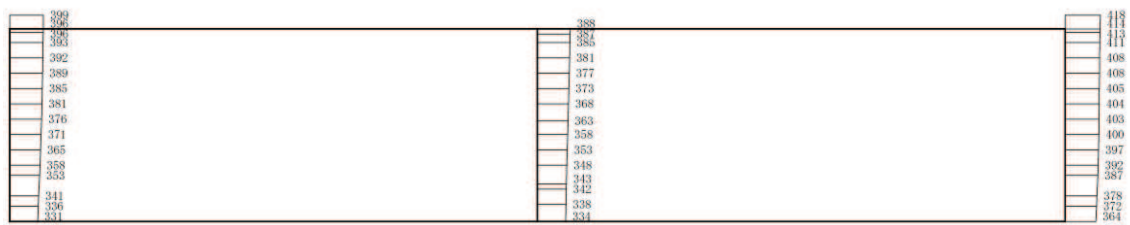


(a) S d - D 3 (++) 水平

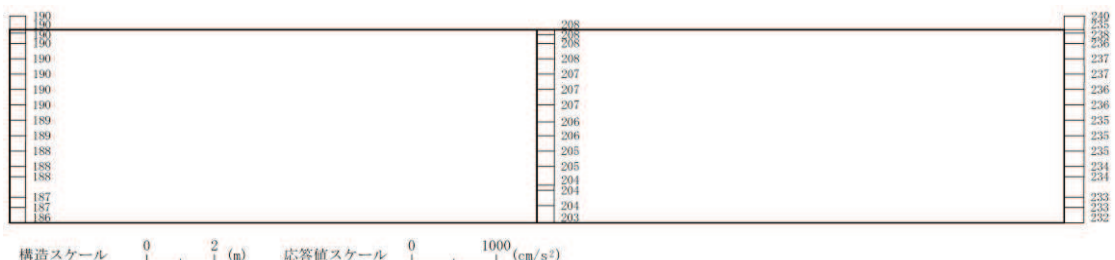


(b) S d - D 3 (++) 鉛直

図 4-104 最大加速度分布図 (38/56) (解析ケース②)



(a) S d - F 1 (++) 水平



(b) S d - F 1 (++) 鉛直

図 4-105 最大加速度分布図 (39/56) (解析ケース②)

O 2
③
VI-2-2-13 R O

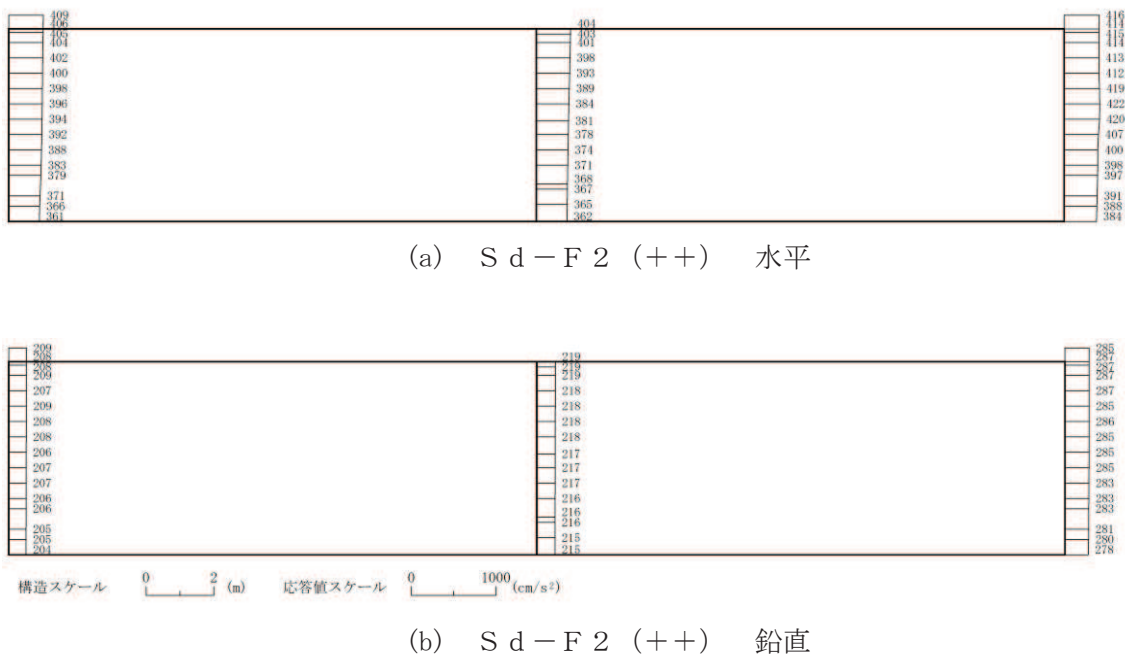
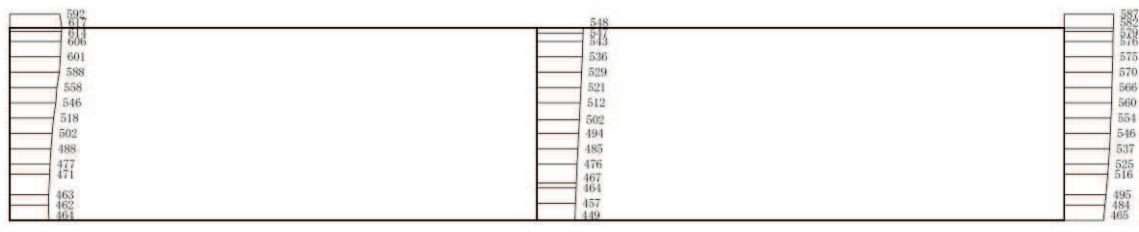
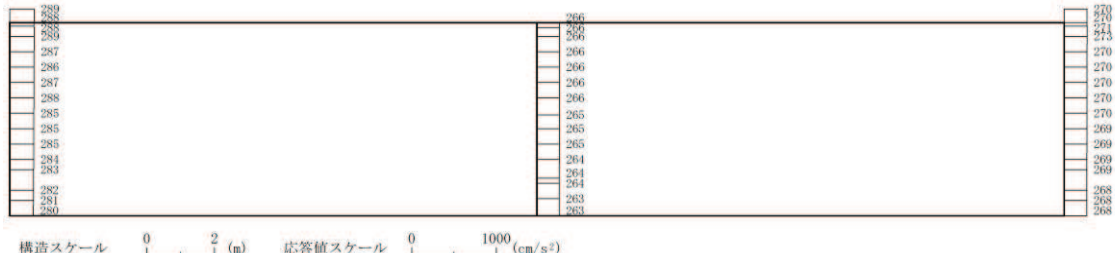


図 4-106 最大加速度分布図 (40/56) (解析ケース②)

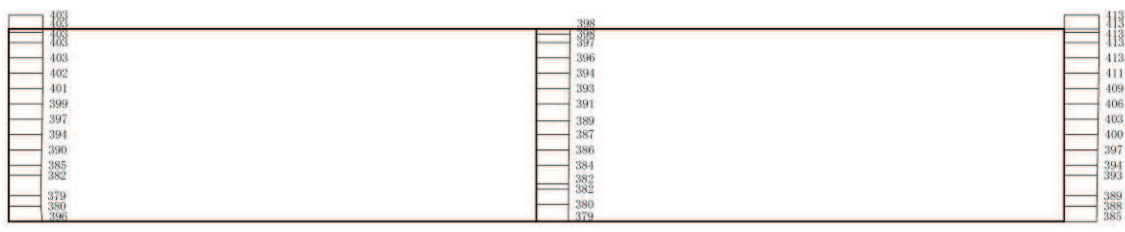


(a) S d - F 3 (++) 水平

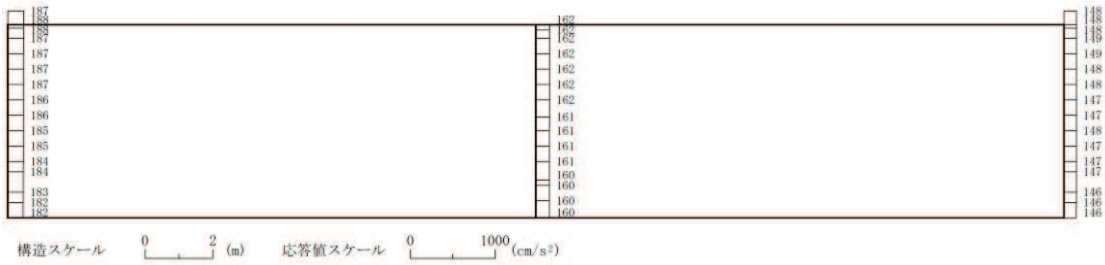


(b) S d - F 3 (++) 鉛直

図 4-107 最大加速度分布図 (41/56) (解析ケース②)



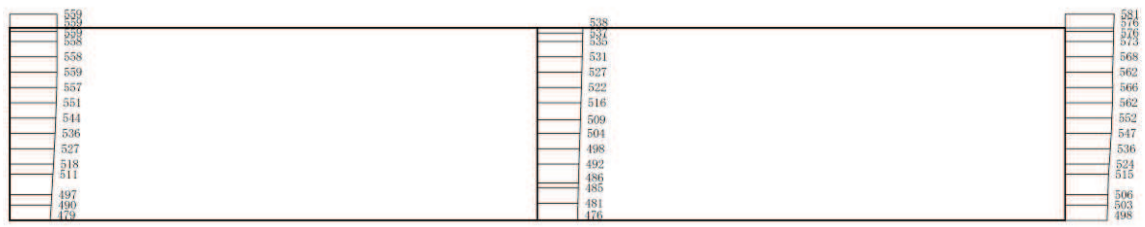
(a) S d - N 1 (++) 水平



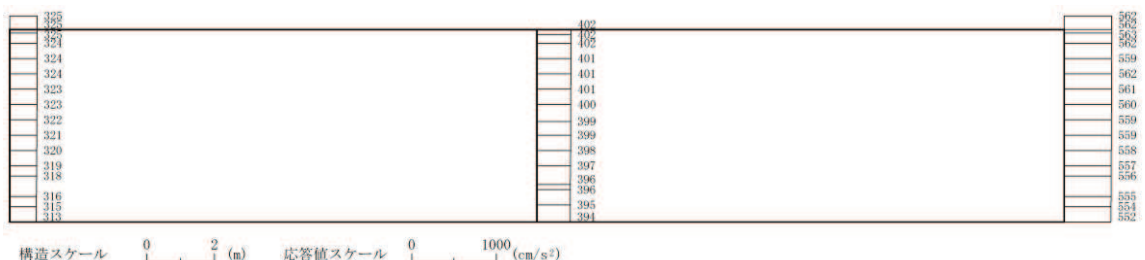
(b) S d - N 1 (++) 鉛直

図 4-108 最大加速度分布図 (42/56) (解析ケース②)

R O
VI-2-2-13
O 2
③

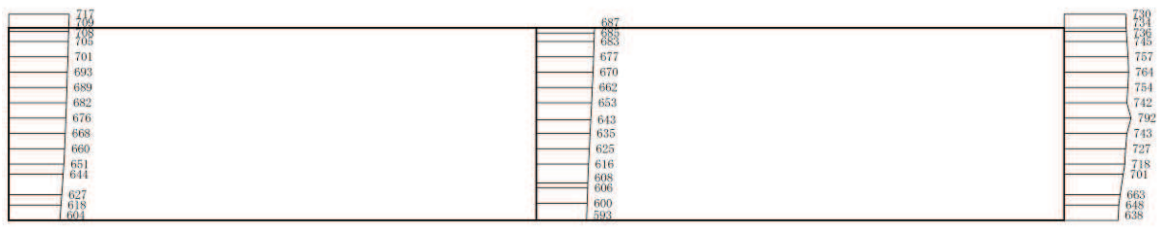


(a) S d - D 1 (++) 水平

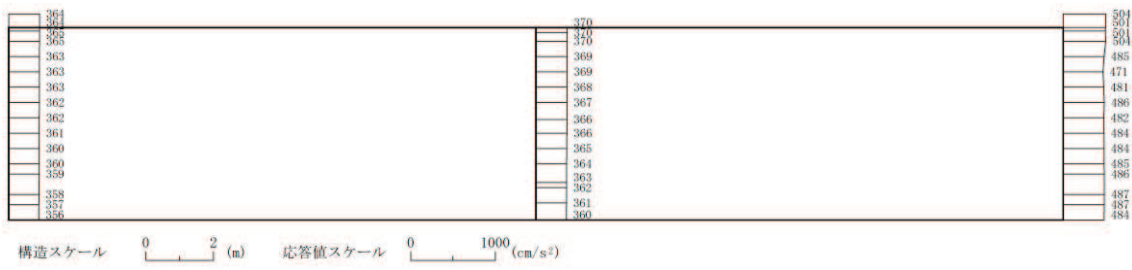


(b) S d - D 1 (++) 鉛直

図 4-109 最大加速度分布図 (43/56) (解析ケース③)

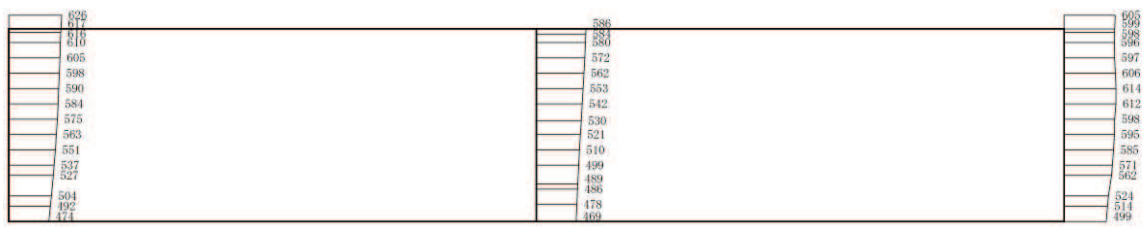


(a) S d - D 2 (++) 水平

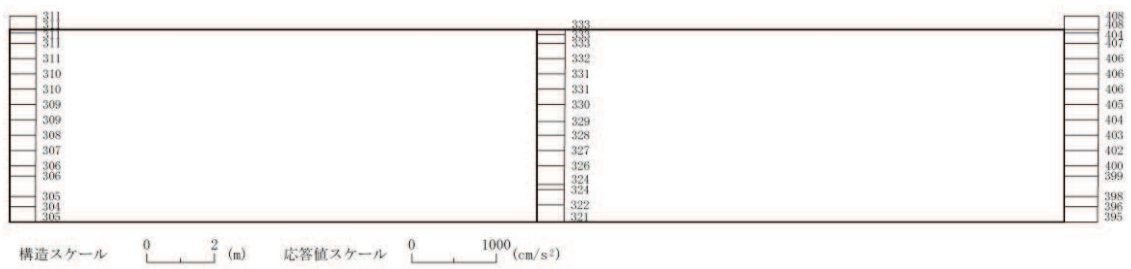


(b) S d - D 2 (++) 鉛直

図 4-110 最大加速度分布図 (44/56) (解析ケース③)

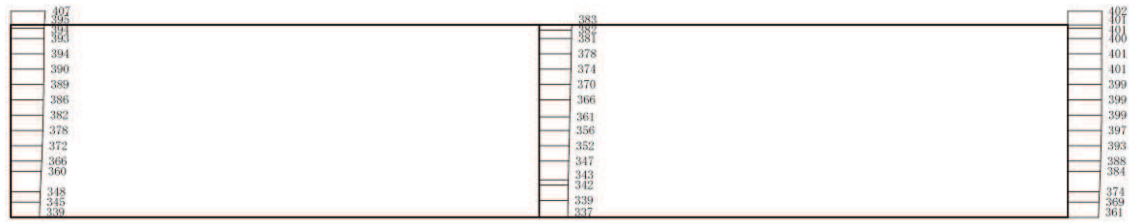


(a) S d - D 3 (++) 水平

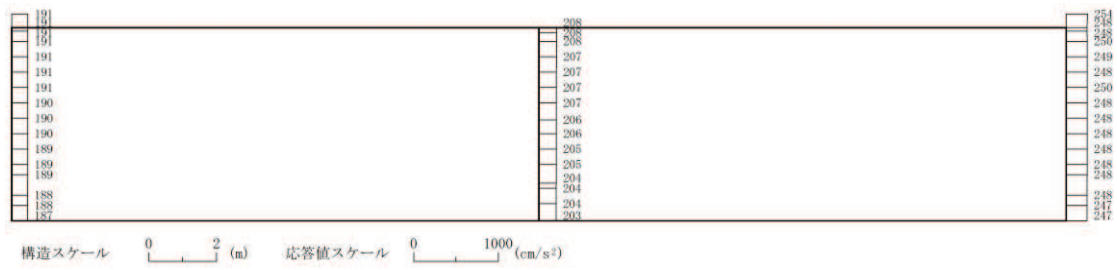


(b) S d - D 3 (++) 鉛直

図 4-111 最大加速度分布図 (45/56) (解析ケース③)



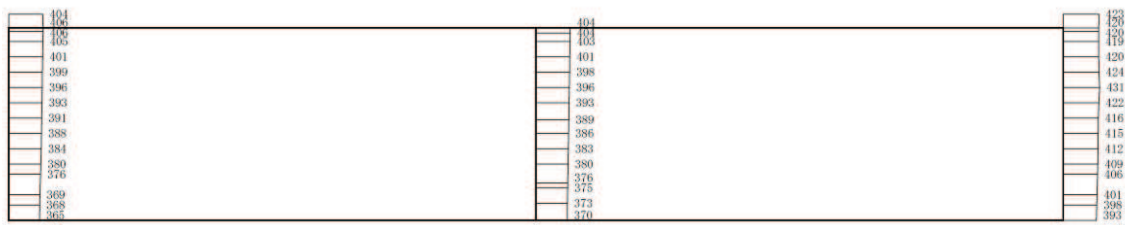
(a) S d - F 1 (++) 水平



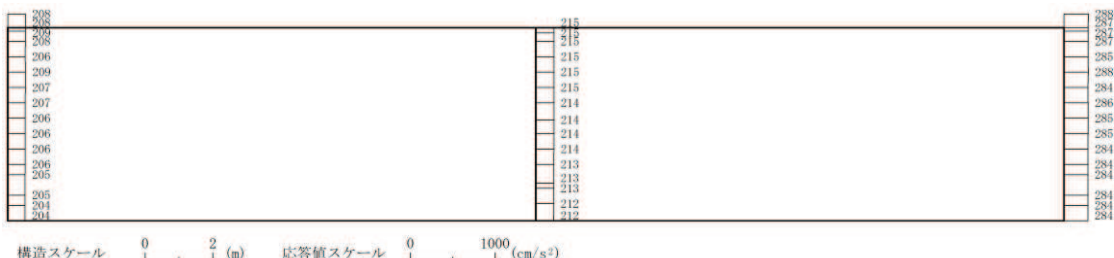
(b) S d - F 1 (++) 鉛直

図 4-112 最大加速度分布図 (46/56) (解析ケース③)

R O
VI-2-2-13
③
O 2



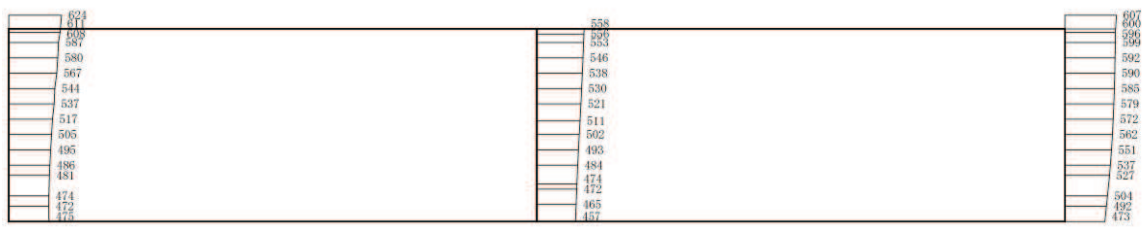
(a) S d - F 2 (++) 水平



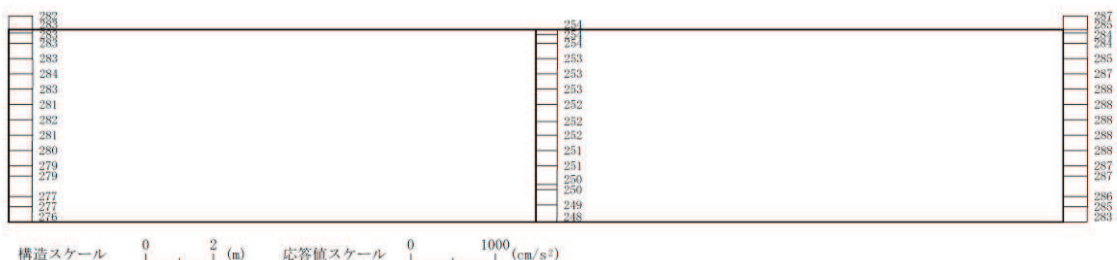
(b) S d - F 2 (++) 鉛直

図 4-113 最大加速度分布図 (47/56) (解析ケース③)

O 2
③
VI-2-2-13 R 0

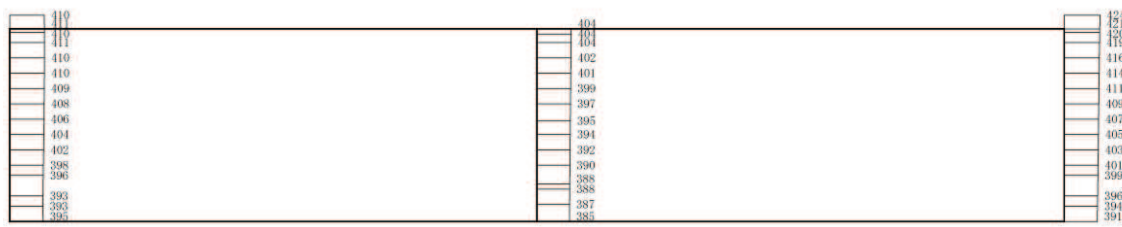


(a) S d - F 3 (++) 水平

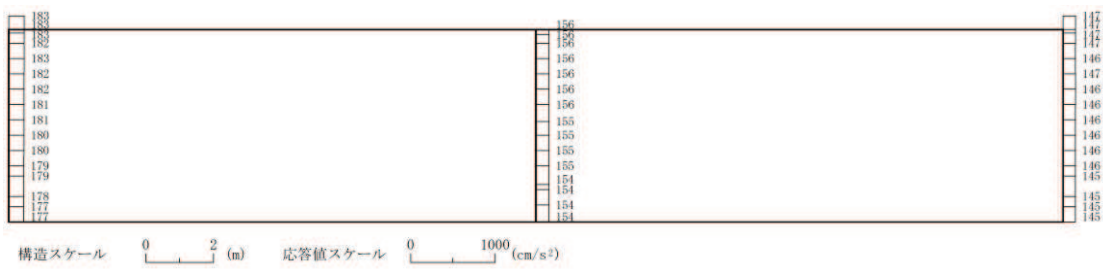


(b) S d - F 3 (++) 鉛直

図 4-114 最大加速度分布図 (48/56) (解析ケース③)



(a) S d - N 1 (++) 水平



(b) S d - N 1 (++) 鉛直

図 4-115 最大加速度分布図 (49/56) (解析ケース③)

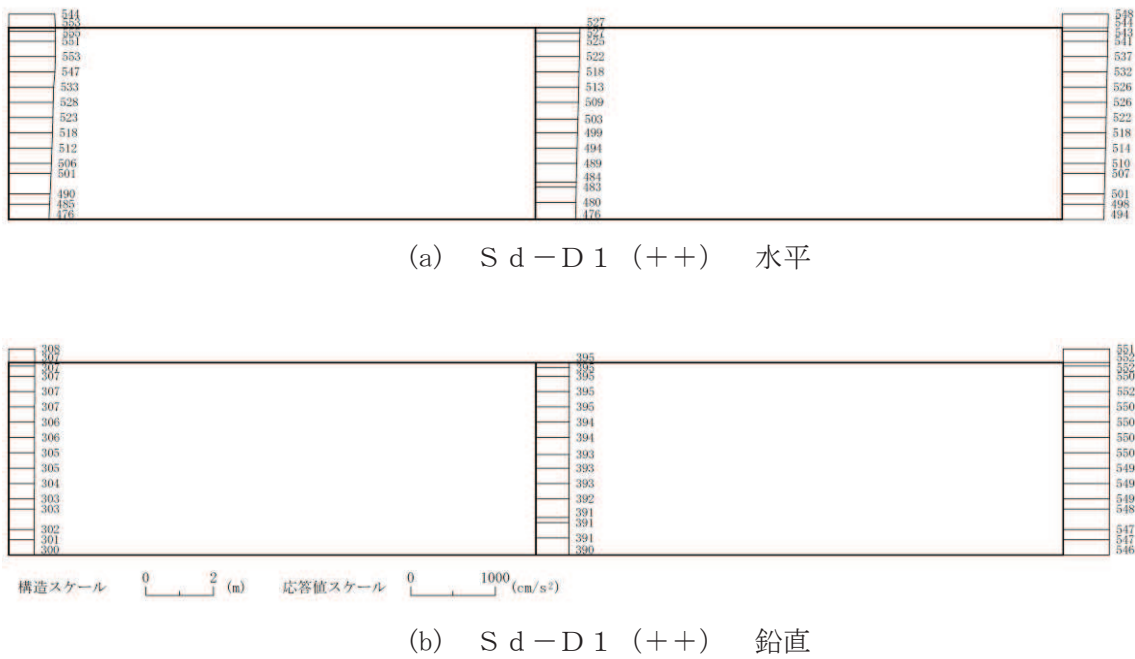
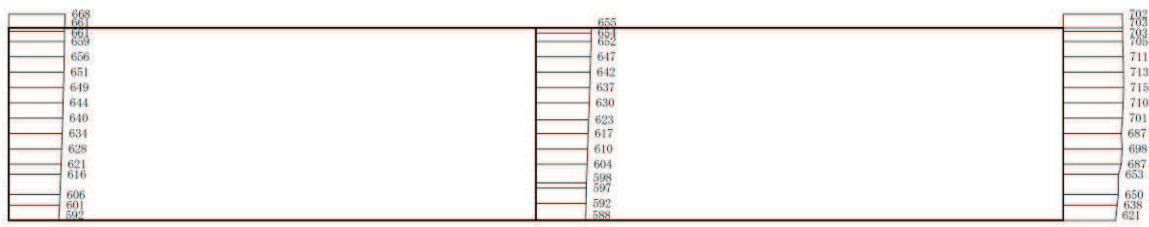
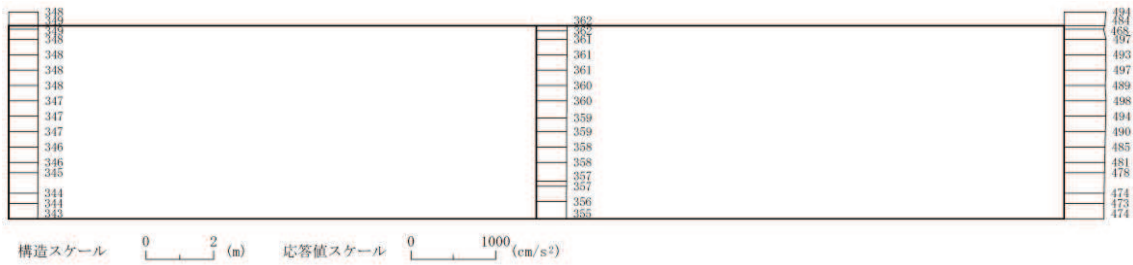


図 4-116 最大加速度分布図 (50/56) (解析ケース④)

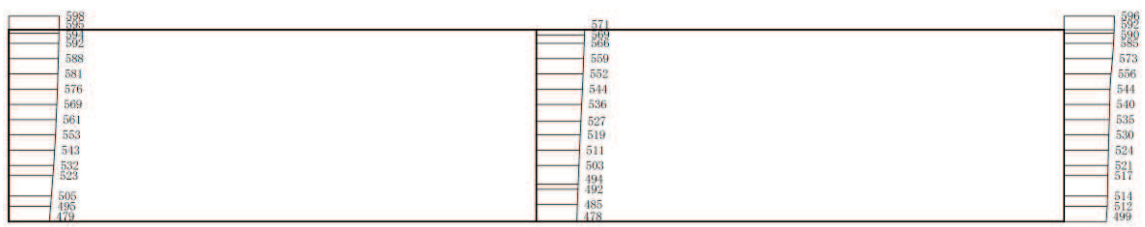


(a) S d - D 2 (++) 水平

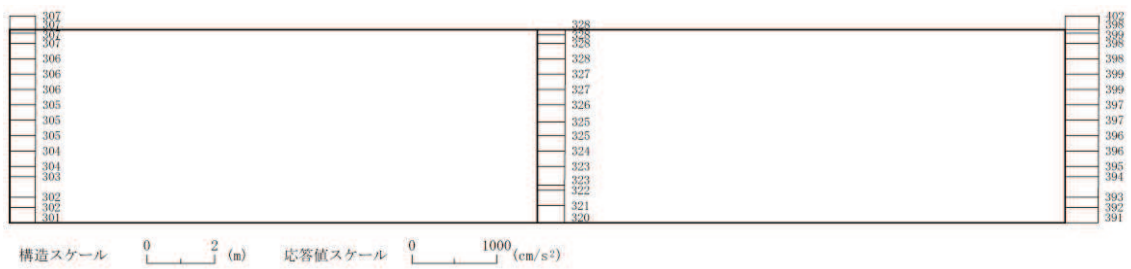


(b) S d - D 2 (++) 鉛直

図 4-117 最大加速度分布図 (51/56) (解析ケース④)

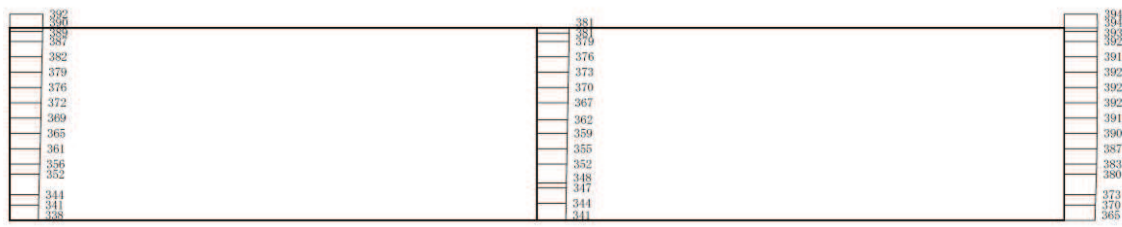


(a) S d - D 3 (++) 水平

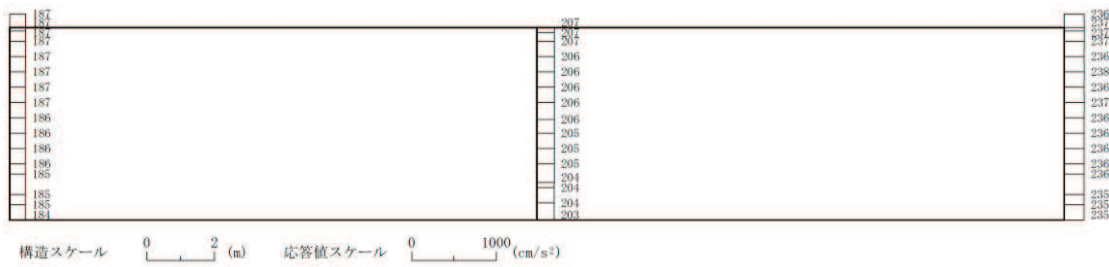


(b) S d - D 3 (++) 鉛直

図 4-118 最大加速度分布図 (52/56) (解析ケース④)



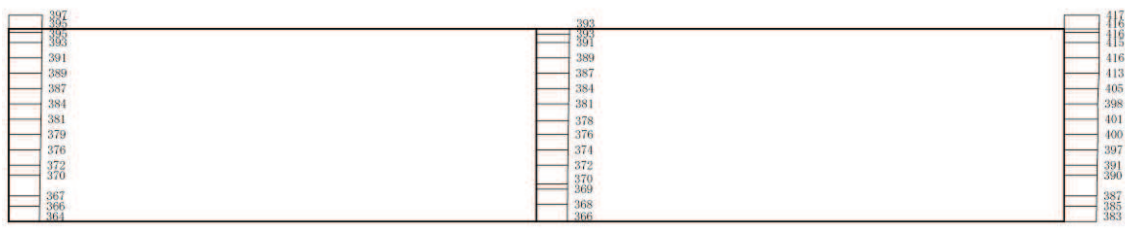
(a) S d - F 1 (++) 水平



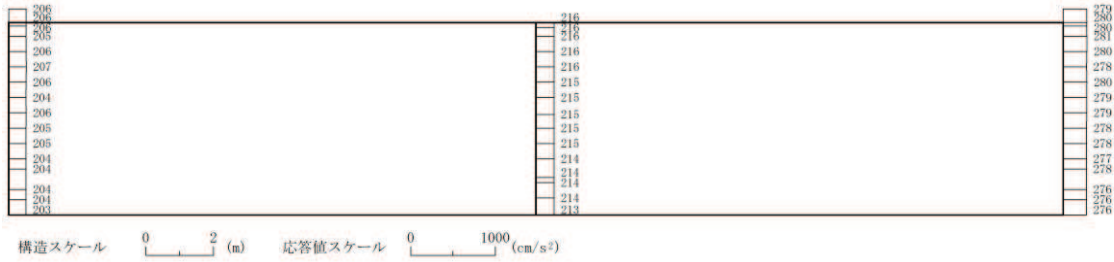
(b) S d - F 1 (++) 鉛直

図 4-119 最大加速度分布図 (53/56) (解析ケース④)

VI-2-2-13
③
O 2
R 0

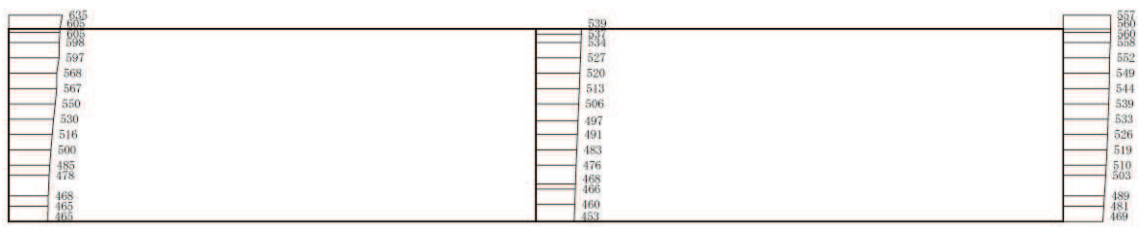


(a) S d - F 2 (++) 水平

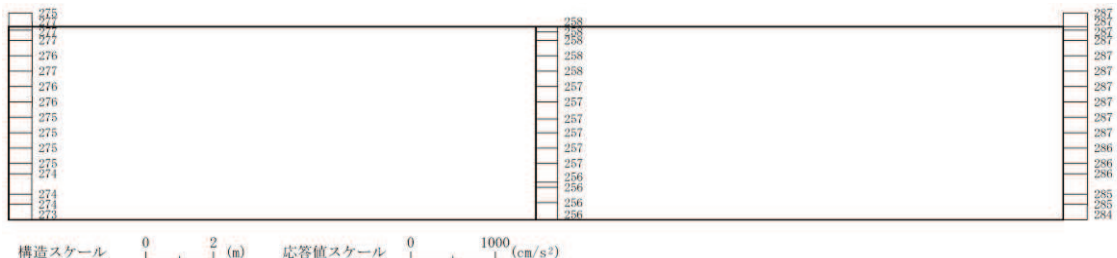


(b) S d - F 2 (++) 鉛直

図 4-120 最大加速度分布図 (54/56) (解析ケース④)

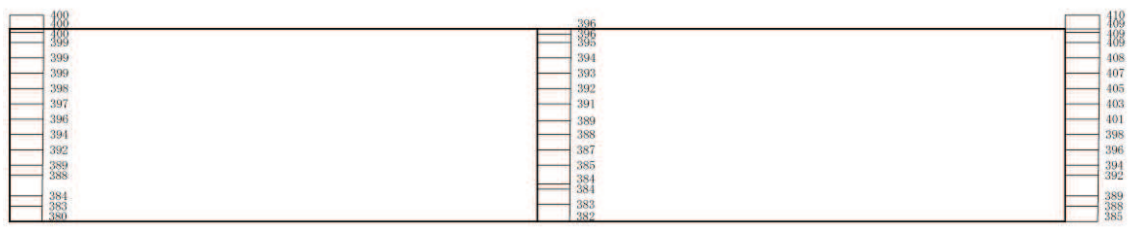


(a) S d - F 3 (++) 水平

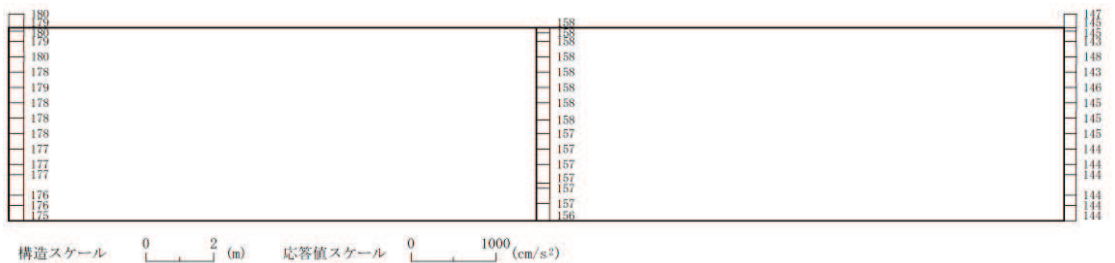


(b) S d - F 3 (++) 鉛直

図 4-121 最大加速度分布図 (55/56) (解析ケース④)



(a) S d - N 1 (++) 水平



(b) S d - N 1 (++) 鉛直

図 4-122 最大加速度分布図 (56/56) (解析ケース④)

R O
VI-2-2-13
③
O 2

4.3 東西方向（ポンプ室）の解析結果

機器・配管系に対する応答加速度抽出として、解析ケース①（基本ケース）～④について、すべての基準地震動 S_s に対する最大加速度分布図を図 4-123～図 4-150 に、弾性設計用地震動 S_d に対する最大加速度分布図を図 4-151～図 4-178 に示す。

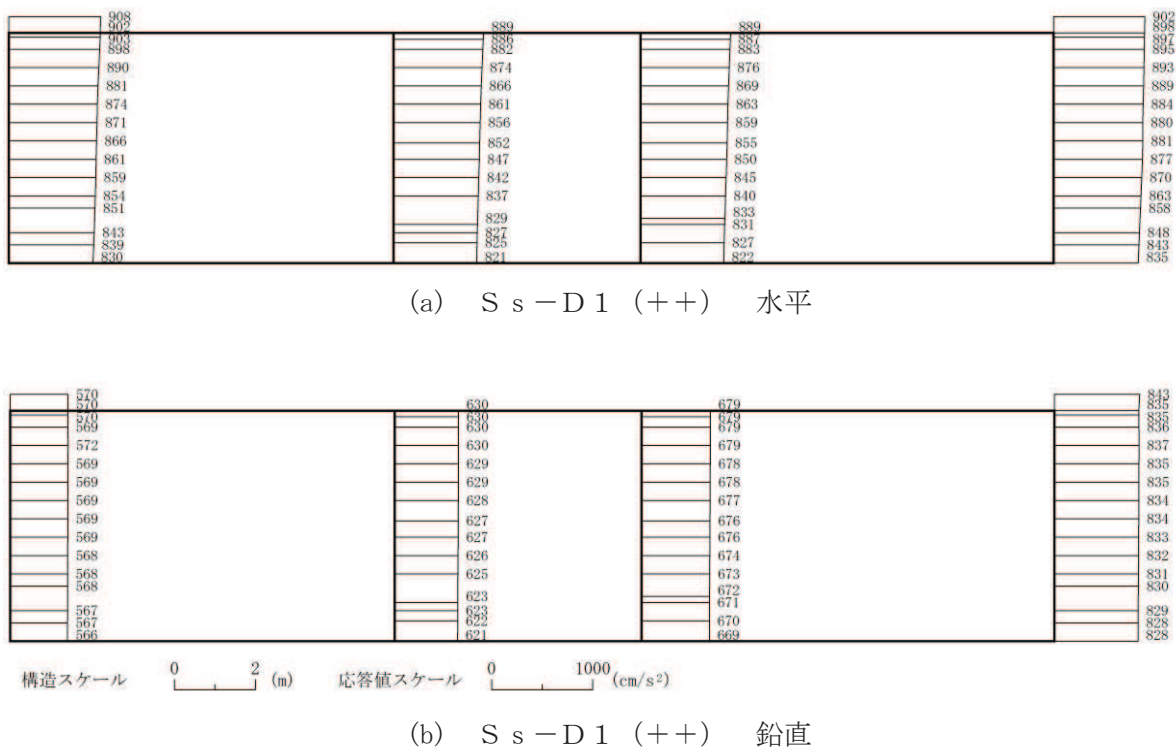
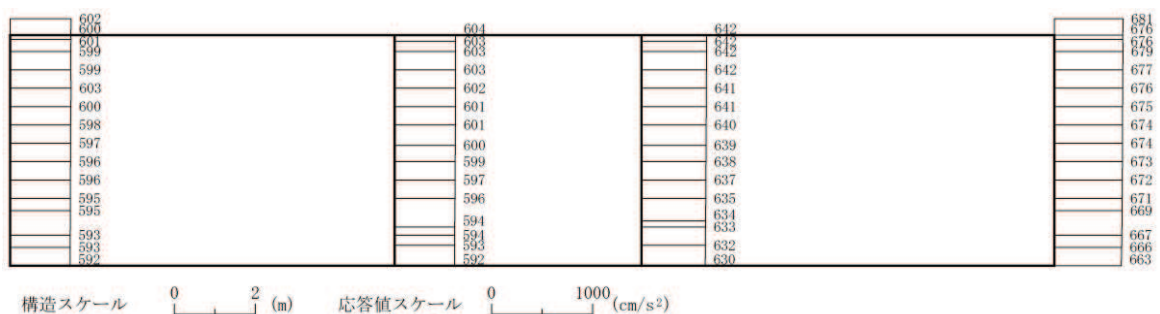


図 4-123 最大加速度分布図 (1/56) (解析ケース①)

1148	1133	1107	1091	1123
1133	1120	1103	1097	1124
1120	1113	1098	1092	1130
1113	1109	1091	1085	1130
1109	1089	1084	1078	1124
1089	1083	1076	1070	1110
1083	1069	1066	1061	1115
1069	1060	1058	1053	1099
1060	1057	1048	1043	1087
1057	1040	1038	1032	1072
1040	1034	1022	1019	1067
1034	1028	1018	1016	1050
1028		1005	1007	1038
			999	1014

(a) S s - D 2 (++) 水平



(b) S s - D 2 (++) 鉛直

図 4-124 最大加速度分布図 (2/56) (解析ケース①)

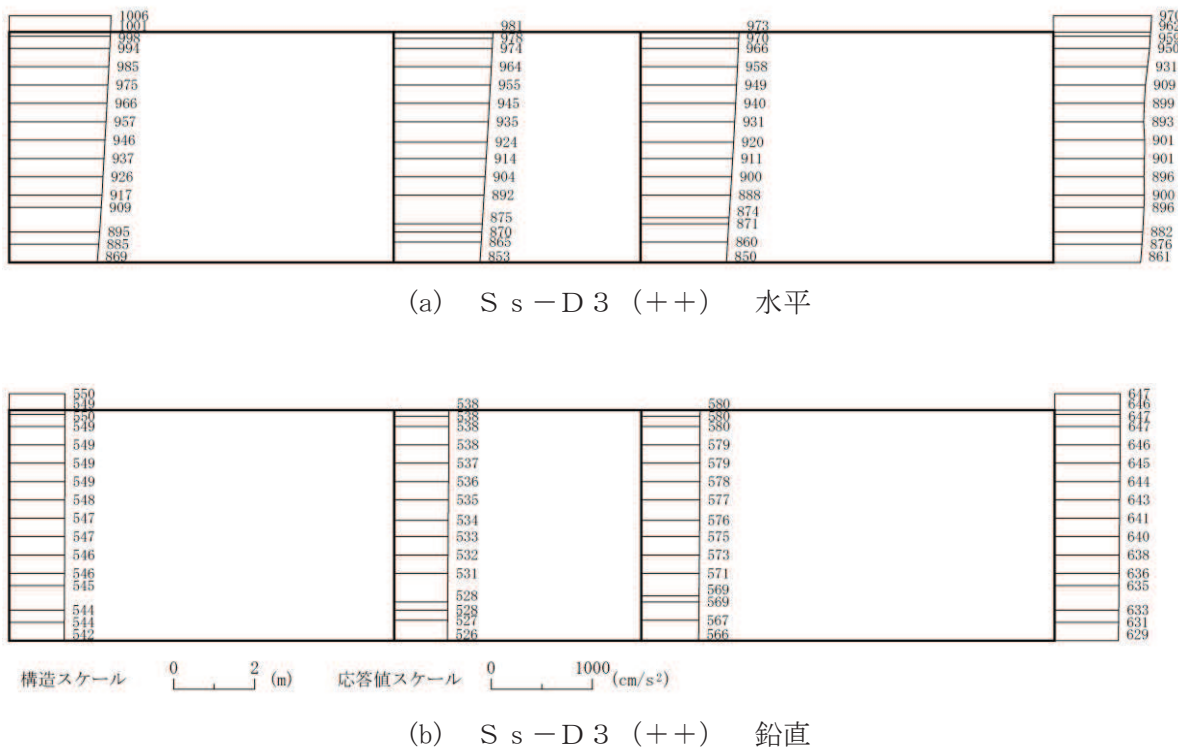
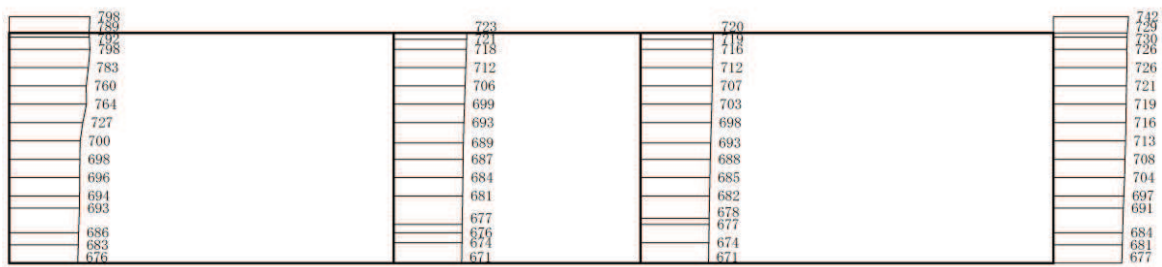
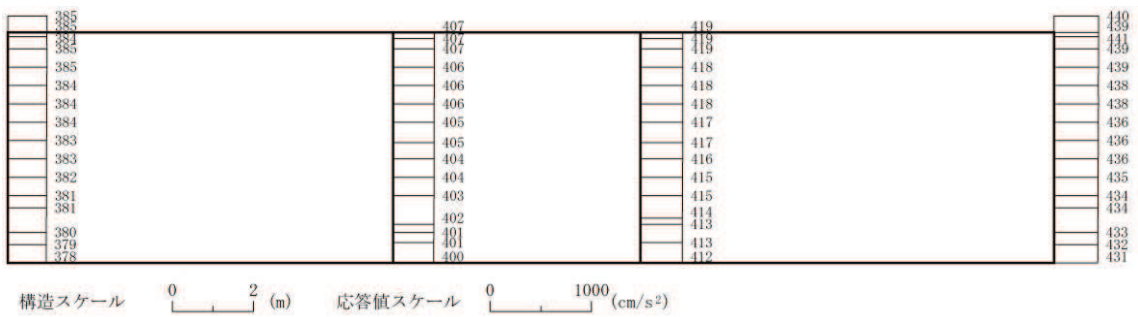


図 4-125 最大加速度分布図 (3/56) (解析ケース①)



(a) Ss-F1(++) 水平

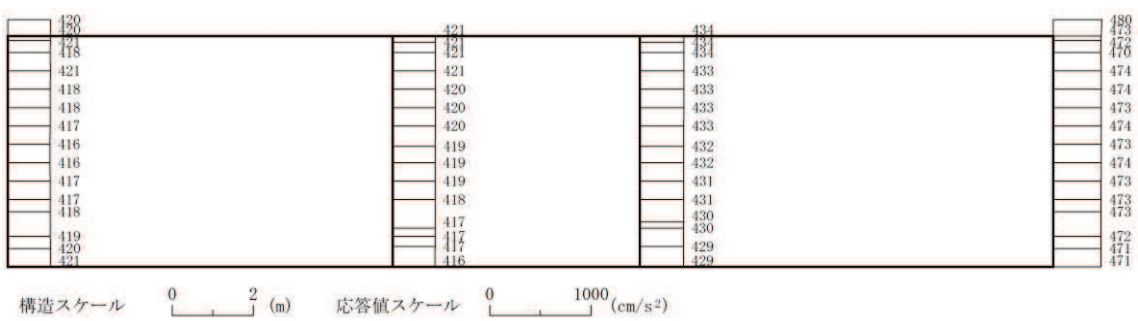


(b) Ss-F1(++) 鉛直

図 4-126 最大加速度分布図 (4/56) (解析ケース①)

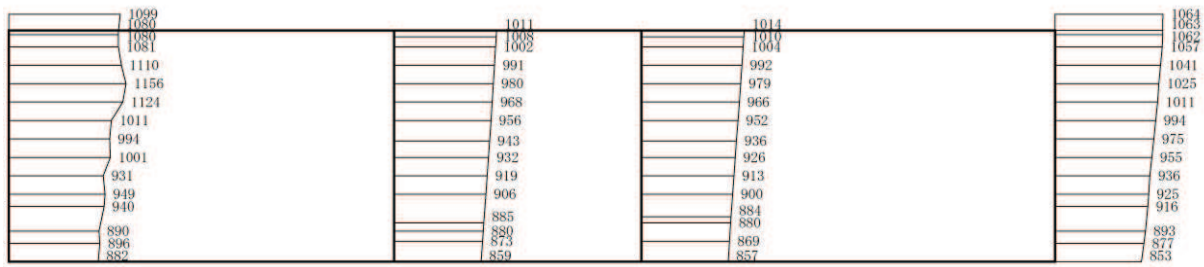
813	801	800	806
806	799	798	802
802	797	793	799
797	792	788	784
792	787	784	778
787	782	780	772
782	778	775	765
778	773	771	757
773	767	766	753
767	762	761	751
762	758	754	760
758	750	752	755
750	745	750	738
745	738	745	736
738			732

(a) S s - F 2 (++) 水平

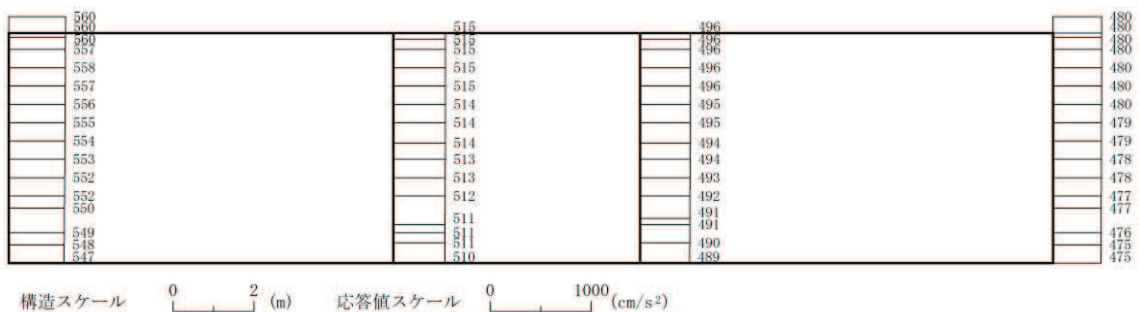


(b) S s - F 2 (++) 鉛直

図 4-127 最大加速度分布図 (5/56) (解析ケース①)

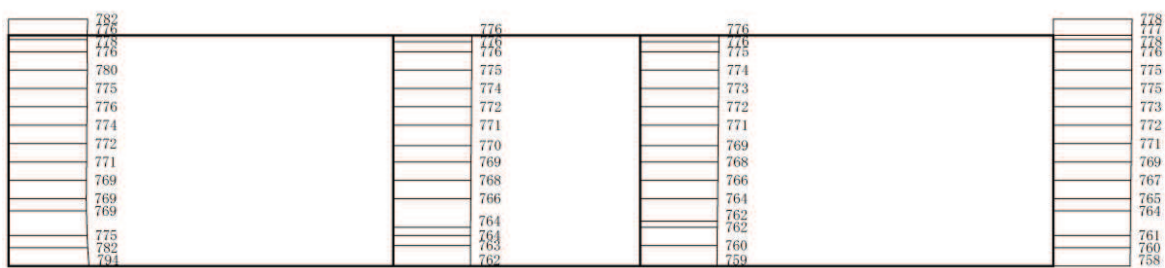


(a) Ss-F3 (++) 水平

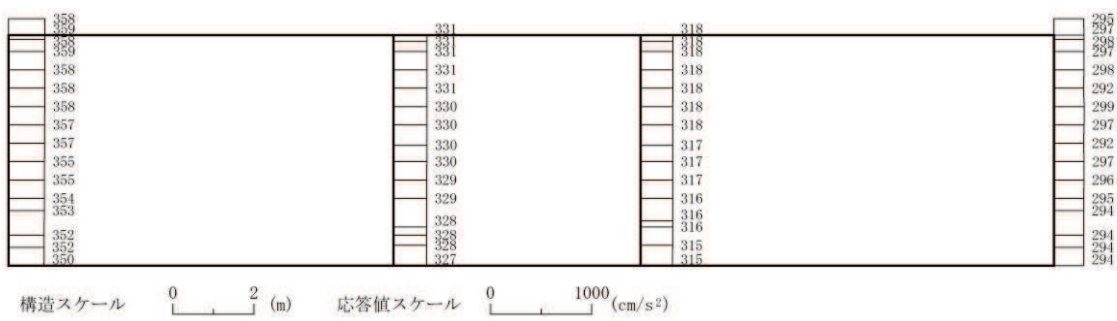


(b) Ss-F3 (++) 鉛直

図 4-128 最大加速度分布図 (6/56) (解析ケース①)



(a) S s - N 1 (++) 水平



(b) S s - N 1 (++) 鉛直

図 4-129 最大加速度分布図 (7/56) (解析ケース①)

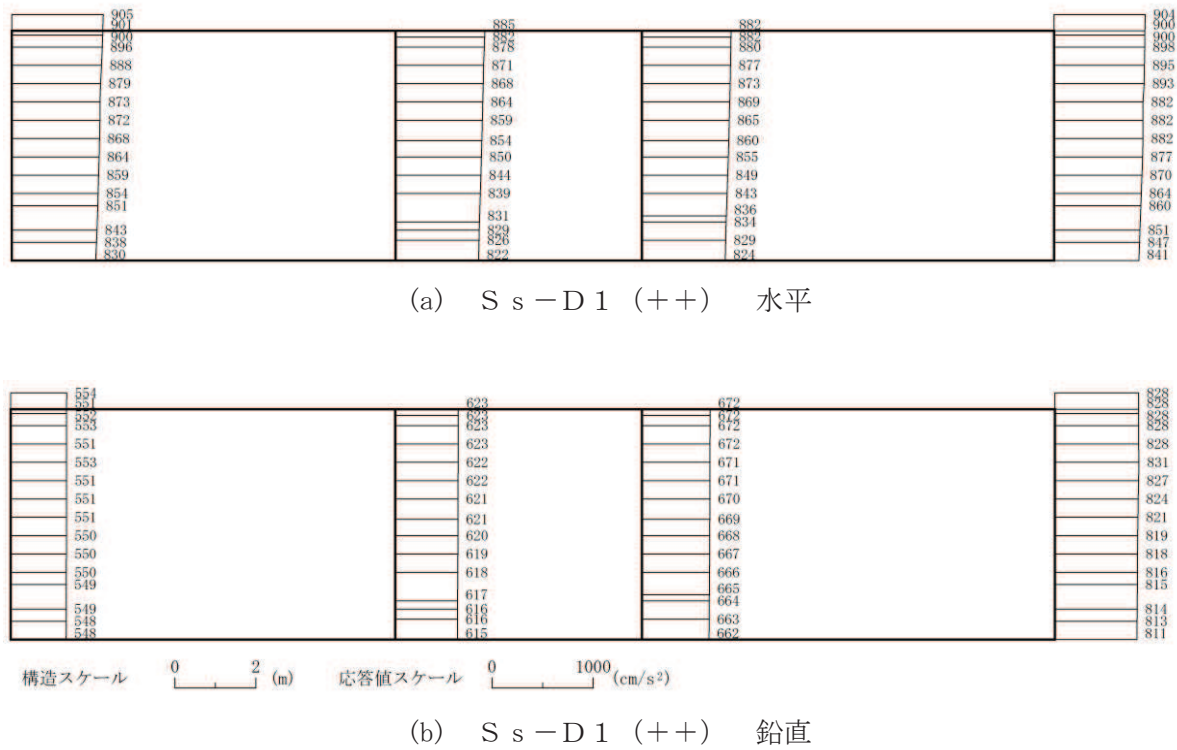


図 4-130 最大加速度分布図 (8/56) (解析ケース②)

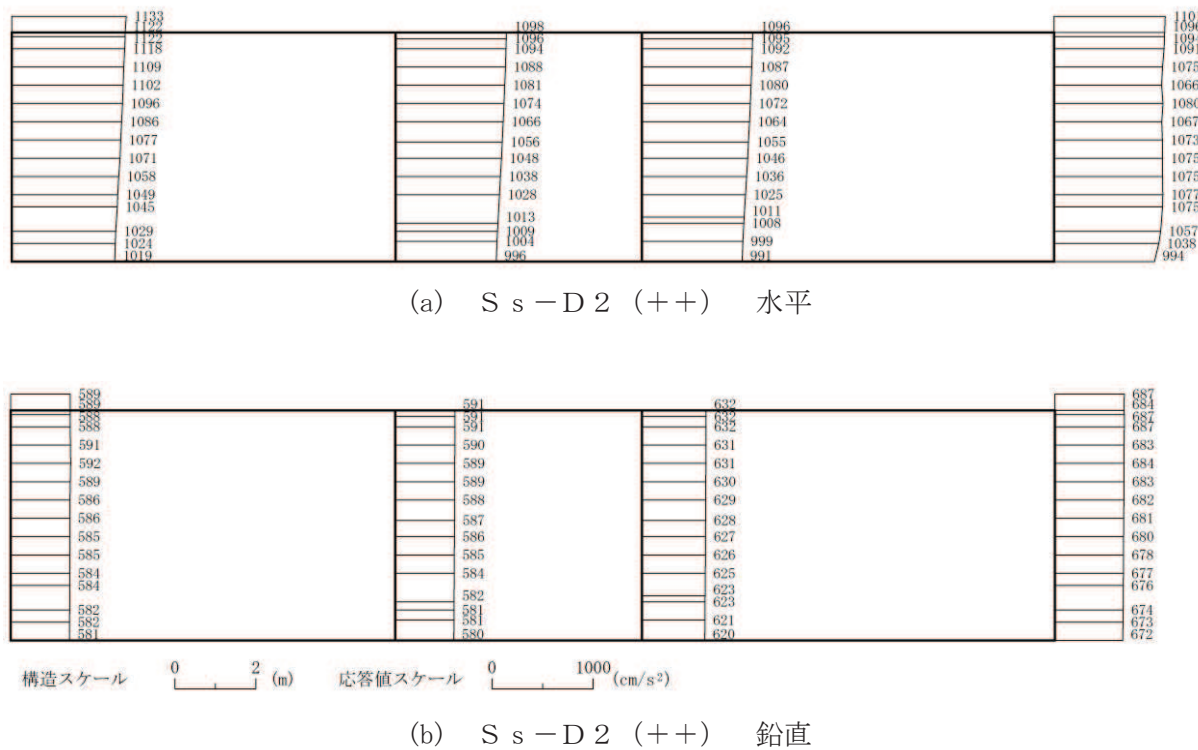
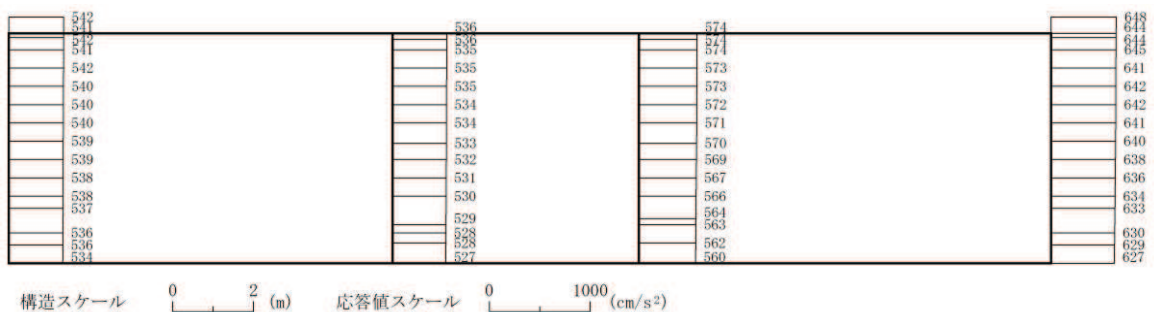


図 4-131 最大加速度分布図 (9/56) (解析ケース②)

999	976	969	981
997	969	962	973
986	960	953	975
988	950	945	966
981	941	936	957
970	931	927	947
963	919	916	941
952	910	907	943
943	899	896	934
933	888	885	917
924	871	870	906
913	866	867	905
907	860	857	896
892	849	846	881
882			872
866			860

(a) S s - D 3 (++) 水平



(b) S s - D 3 (++) 鉛直

図 4-132 最大加速度分布図 (10/56) (解析ケース②)

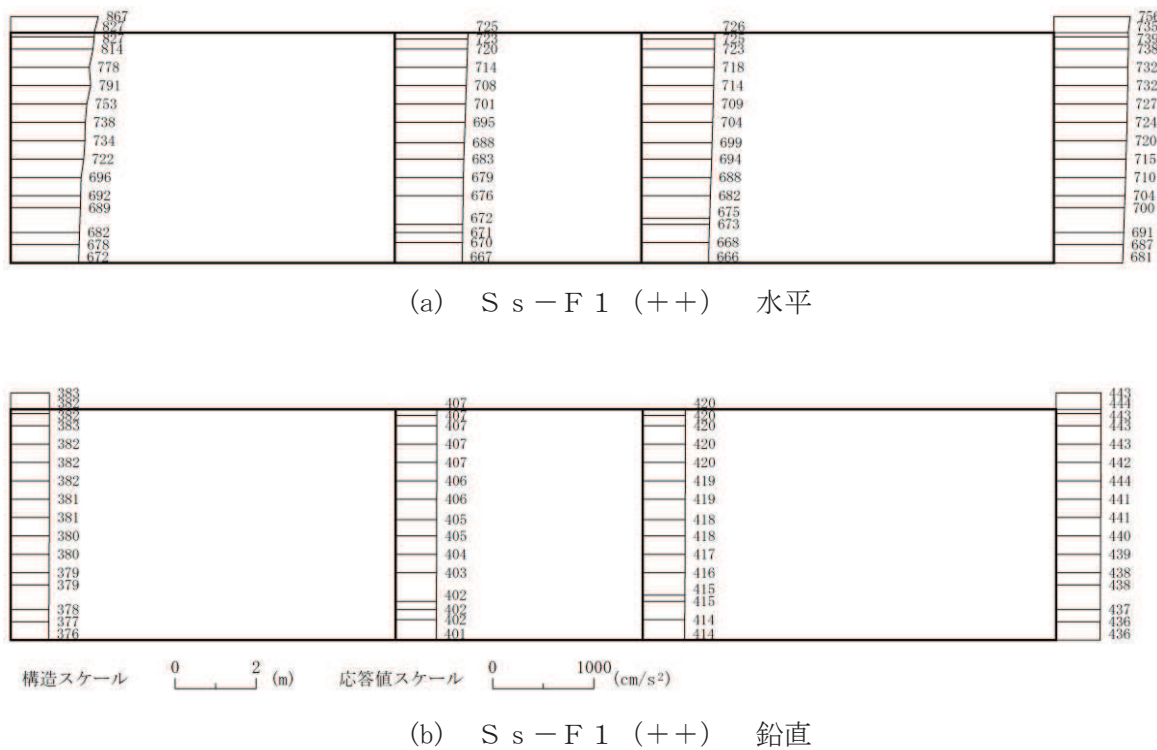
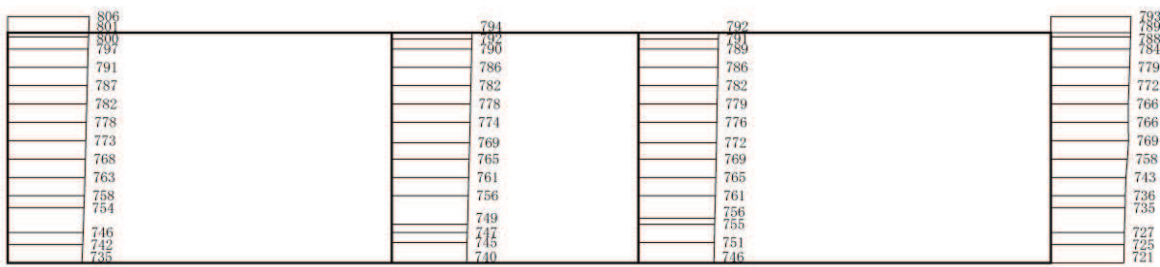
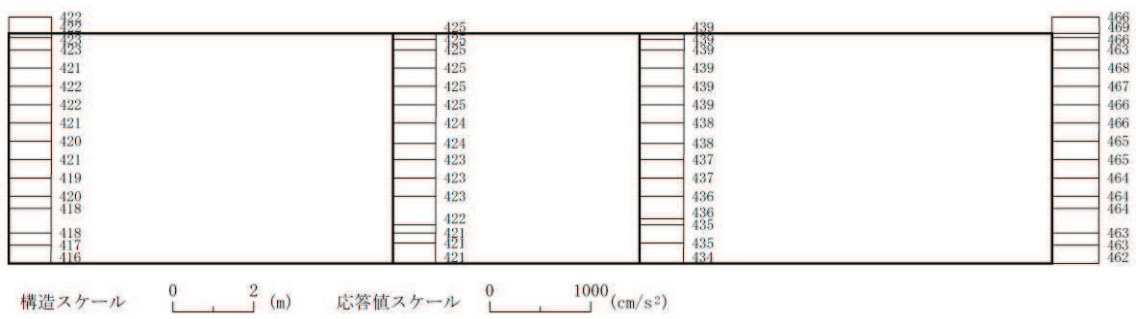


図 4-133 最大加速度分布図 (11/56) (解析ケース②)

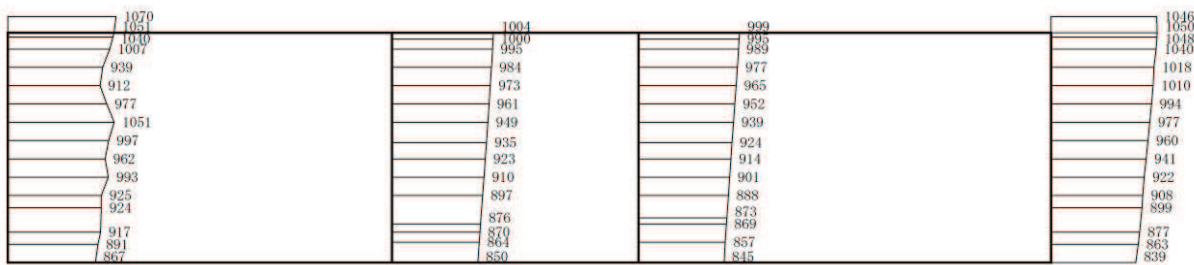


(a) S s - F 2 (++) 水平

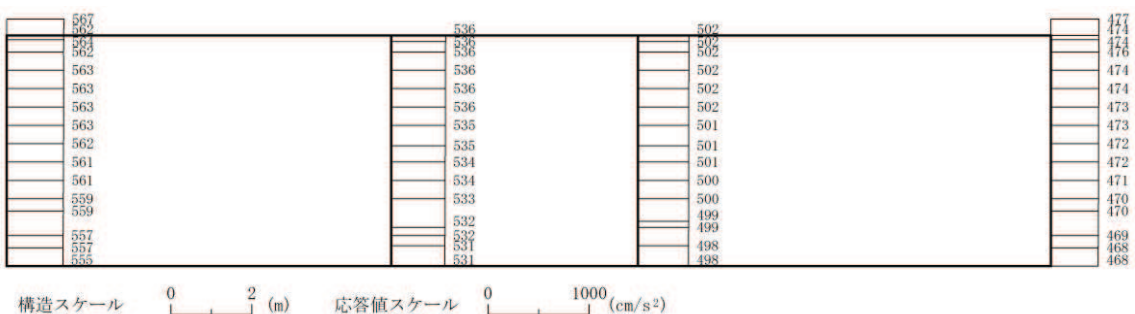


(b) S s - F 2 (++) 鉛直

図 4-134 最大加速度分布図 (12/56) (解析ケース②)

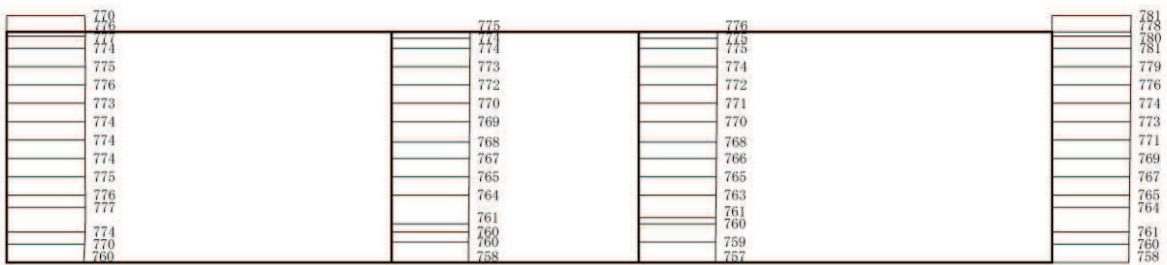


(a) Ss-F3 (++) 水平

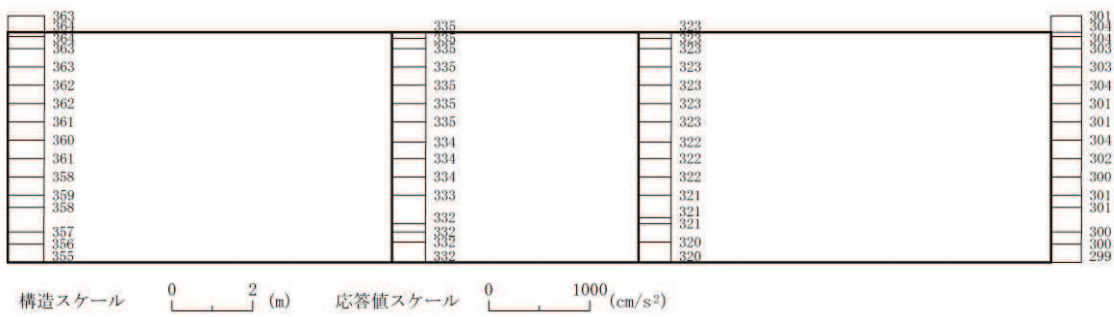


(b) Ss-F3 (++) 鉛直

図 4-135 最大加速度分布図 (13/56) (解析ケース②)



(a) Ss-N1 (++) 水平



(b) Ss-N1 (++) 鉛直

図 4-136 最大加速度分布図 (14/56) (解析ケース②)

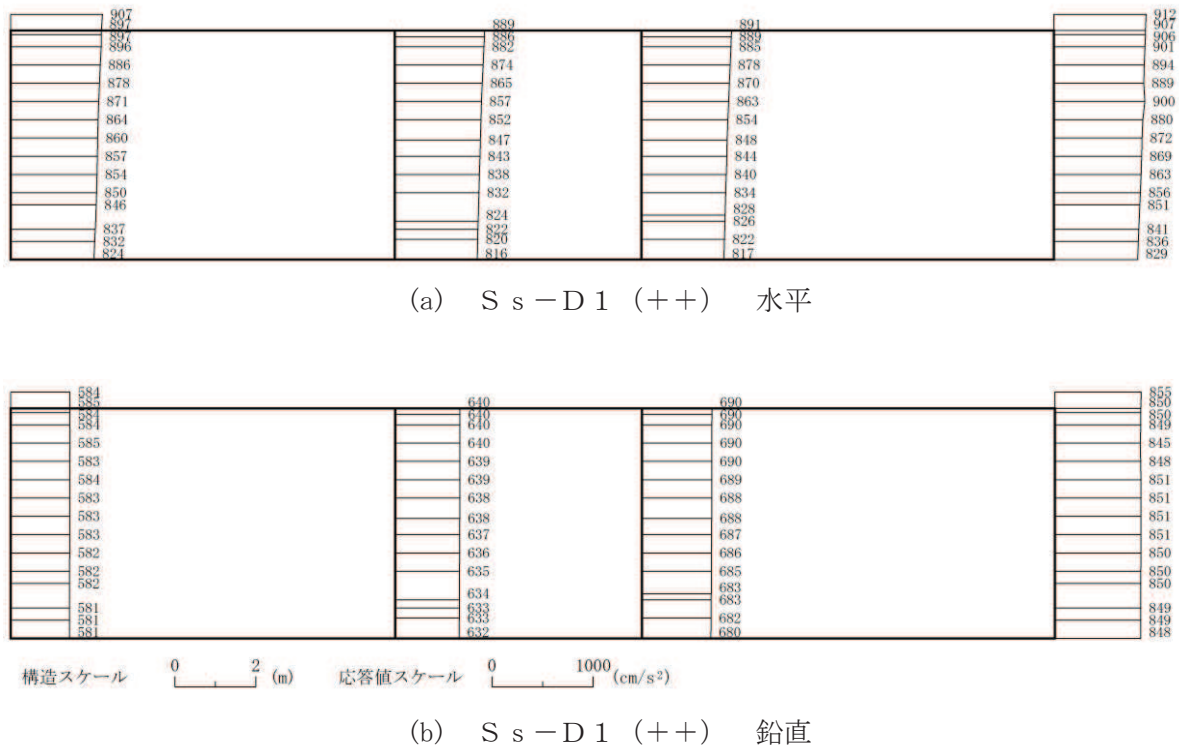


図 4-137 最大加速度分布図 (15/56) (解析ケース③)

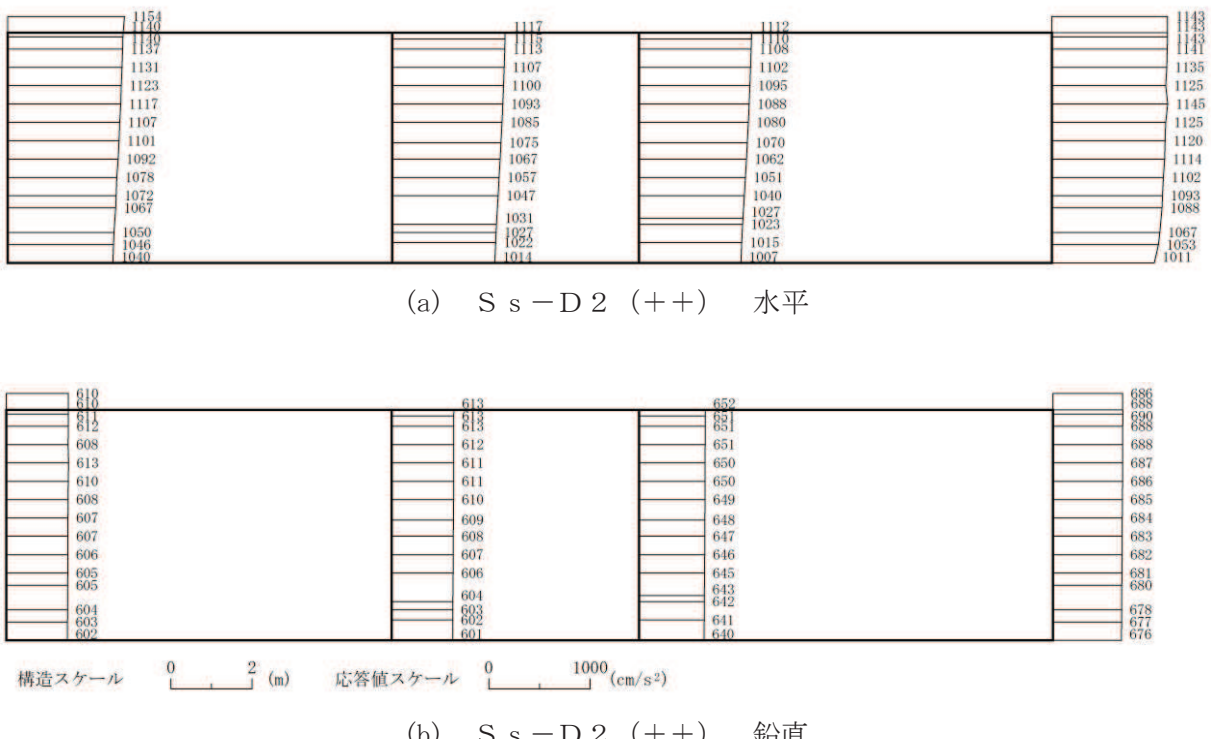


図 4-138 最大加速度分布図 (16/56) (解析ケース③)

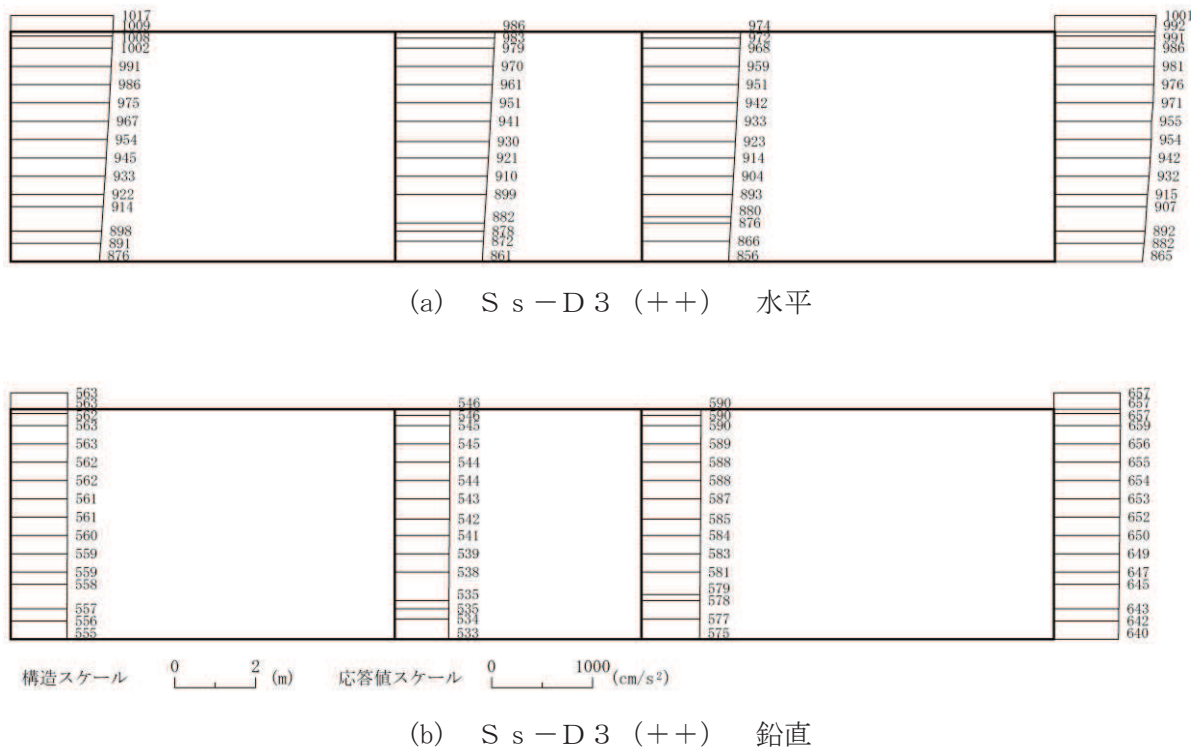
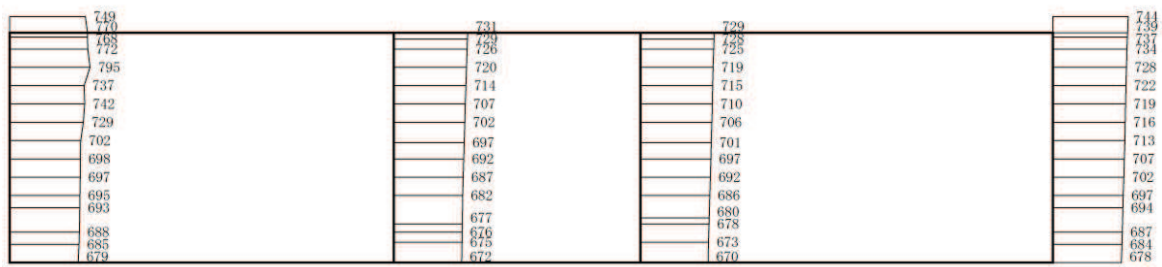
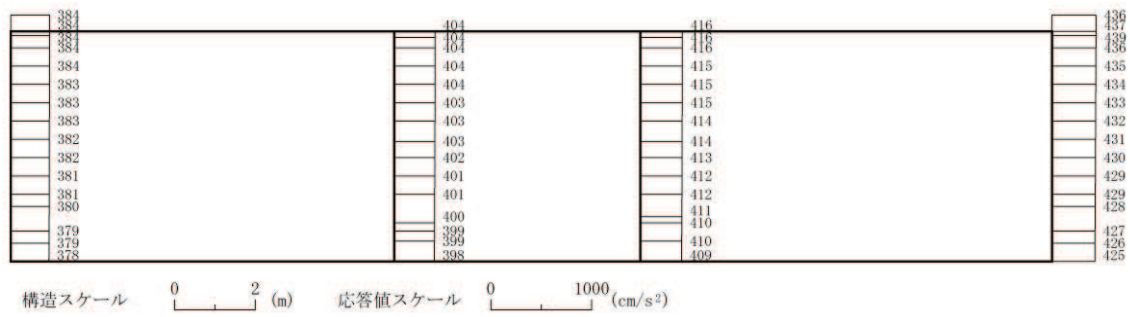


図 4-139 最大加速度分布図 (17/56) (解析ケース③)

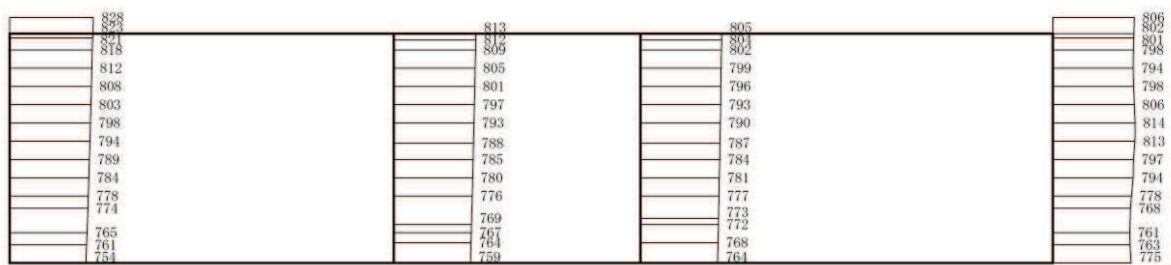


(a) Ss-F1 (++) 水平

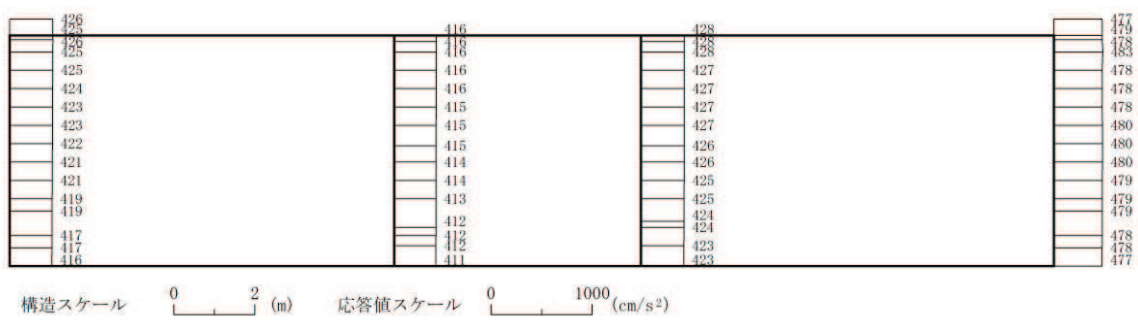


(b) Ss-F1 (++) 鉛直

図 4-140 最大加速度分布図 (18/56) (解析ケース③)

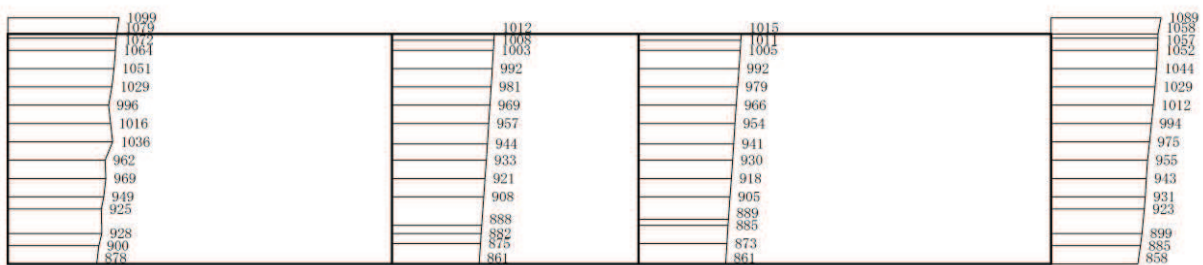


(a) Ss-F2 (++) 水平

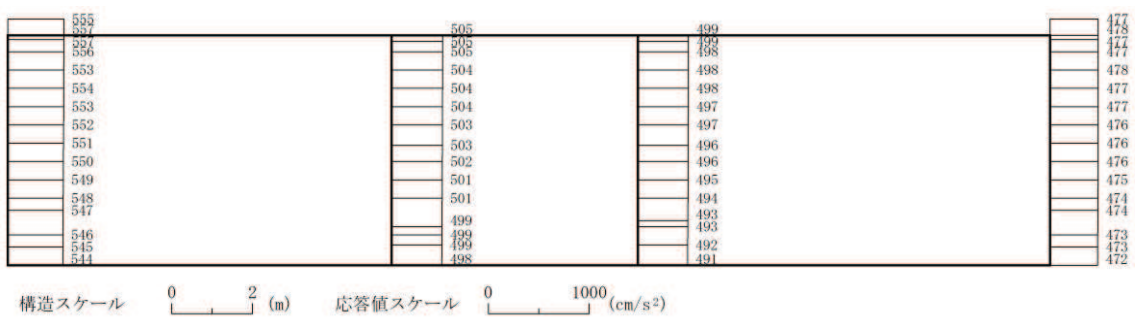


(b) Ss-F2 (++) 鉛直

図 4-141 最大加速度分布図 (19/56) (解析ケース③)

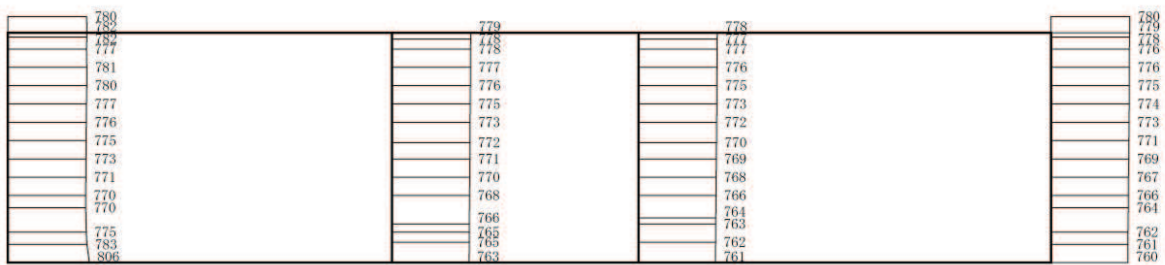


(a) Ss-F3 (++) 水平

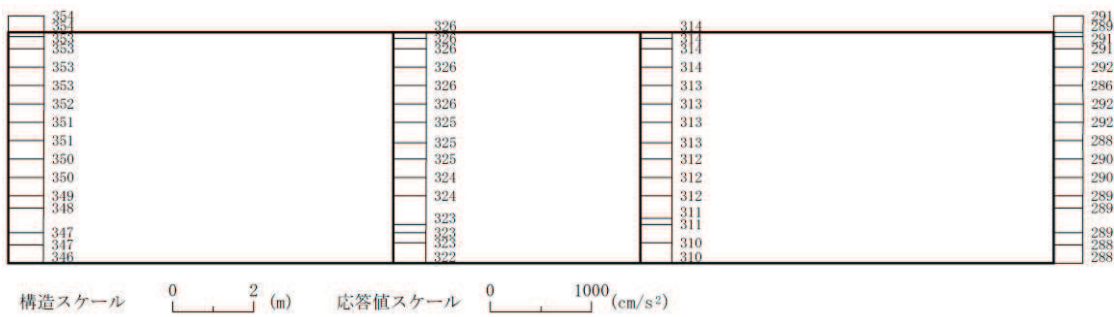


(b) Ss-F3 (++) 鉛直

図 4-142 最大加速度分布図 (20/56) (解析ケース③)



(a) Ss-N1 (++) 水平



(b) Ss-N1 (++) 鉛直

図 4-143 最大加速度分布図 (21/56) (解析ケース③)

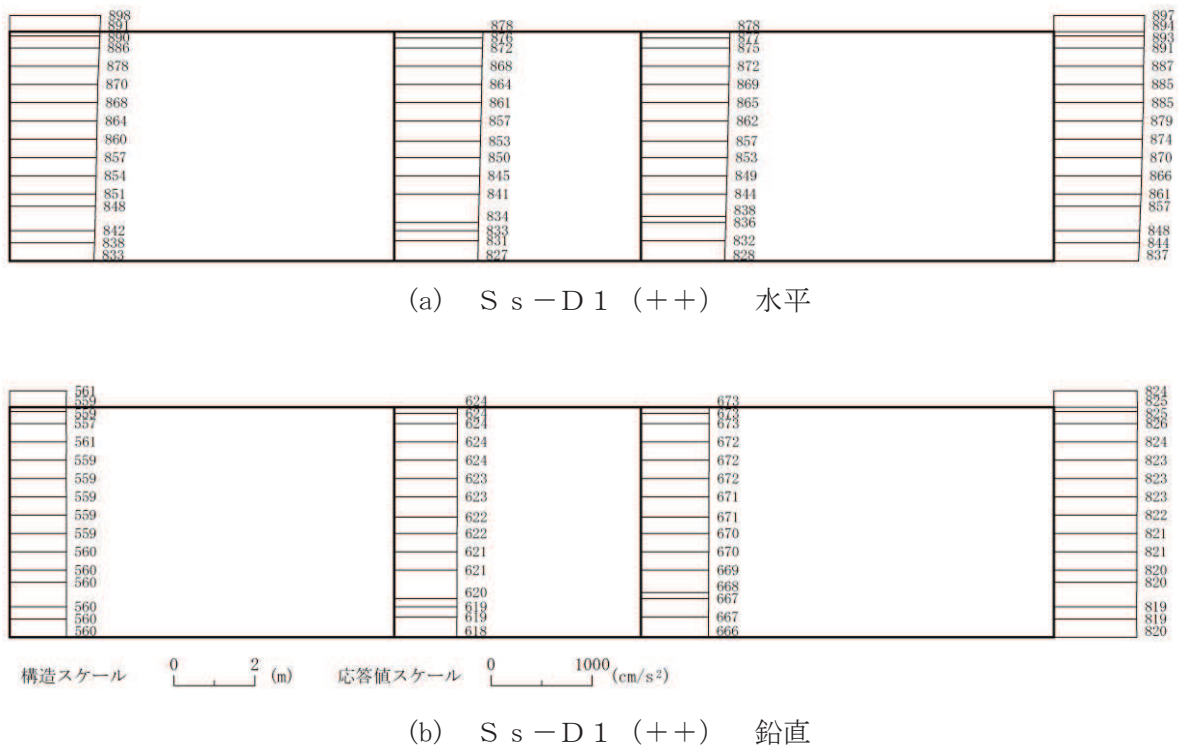
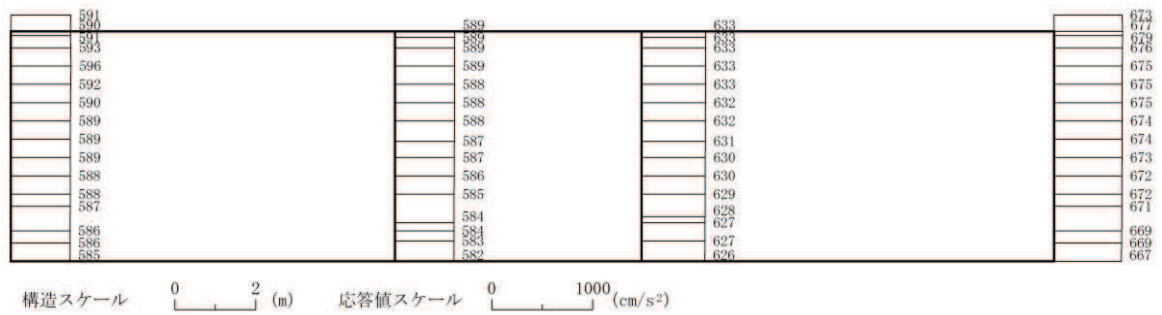


図 4-144 最大加速度分布図 (22/56) (解析ケース④)

1105	1085	1079	1064
1096	1082	1078	1053
1099	1077	1076	1053
1091	1072	1071	1098
1089	1066	1066	1089
1083	1061	1055	1083
1078	1054	1048	1089
1070	1048	1043	1090
1066	1041	1036	1086
1058	1034	1029	1075
1051	1023	1020	1061
1049	1029	1017	1057
1037	1016	1011	1044
1032	1010	1005	1034
1027			1019

(a) S s - D 2 (++) 水平

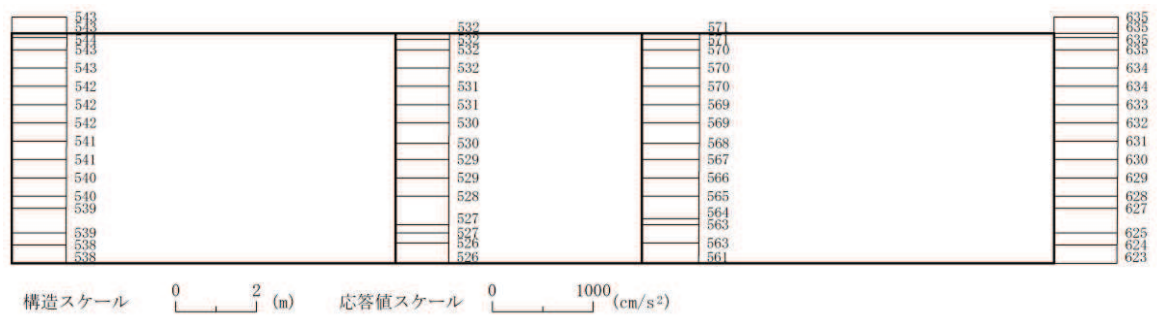


(a) S s - D 2 (++) 水平

図 4-145 最大加速度分布図 (23/56) (解析ケース④)

989	971	964	957
978	968	958	949
971	964	950	942
963	955	947	942
955	947	938	935
947	930	930	926
937	920	917	917
929	911	909	905
918	902	900	896
909	892	890	892
901	877	878	892
888	873	875	884
881	868	866	877
867	857	857	870

(a) S s - D 3 (++) 水平



(b) S s - D 3 (++) 鉛直

図 4-146 最大加速度分布図 (24/56) (解析ケース④)

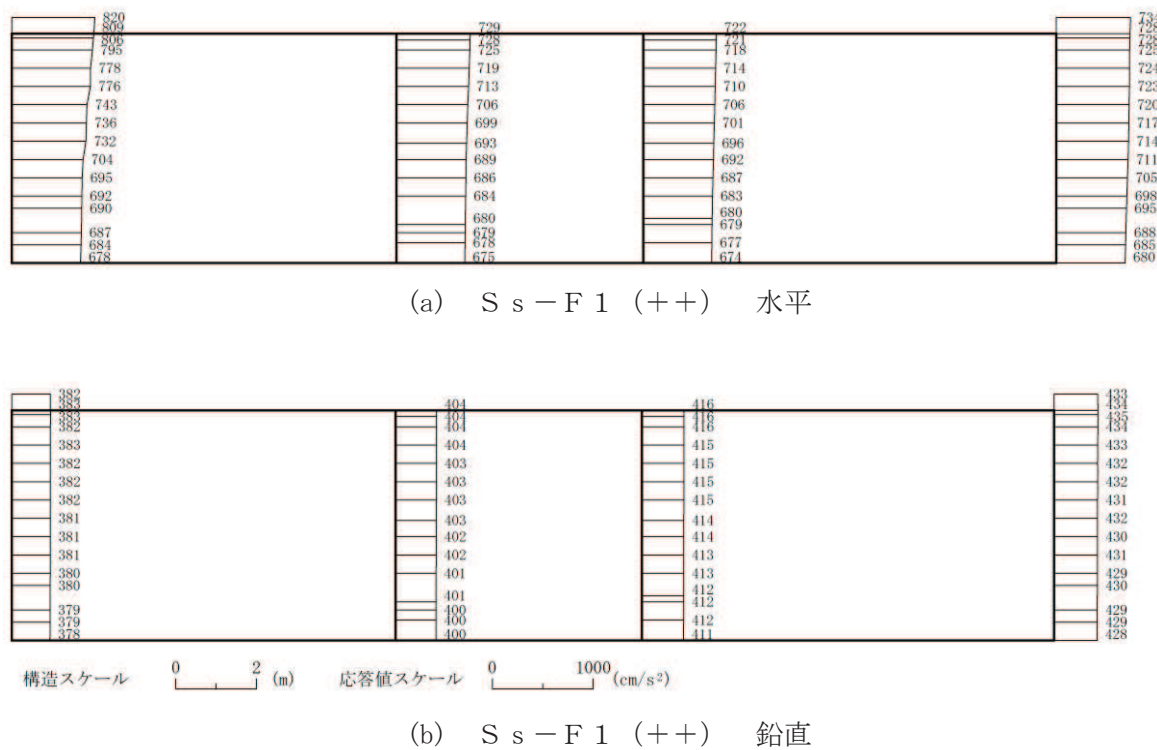
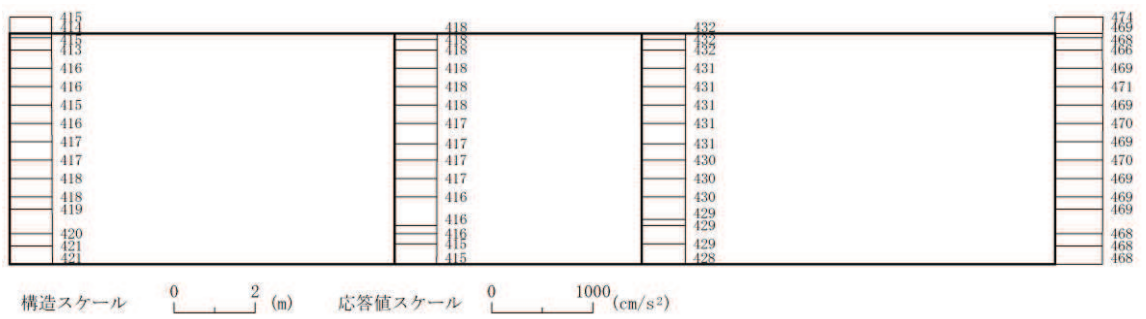


図 4-147 最大加速度分布図 (25/56) (解析ケース④)

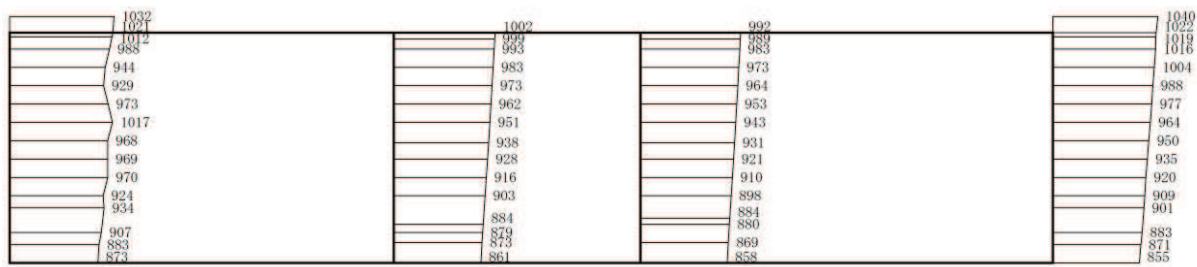
807	796	783	791
806	795	782	787
794	788	780	780
792	784	784	781
787	777	778	771
783	772	774	765
778	769	771	762
774	765	768	754
769	760	764	745
765	754	760	737
760	750	759	747
757	745	755	746
749		751	759
746			755
740			761

(a) S s - F 2 (++) 水平

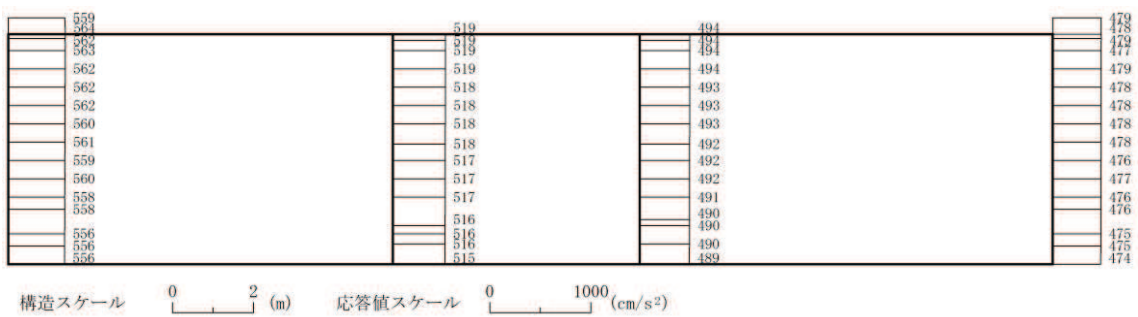


(b) S s - F 2 (++) 鉛直

図 4-148 最大加速度分布図 (26/56) (解析ケース④)

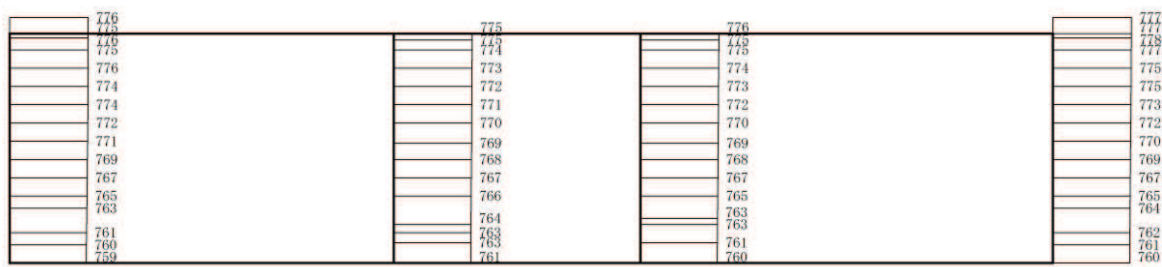


(a) Ss-F3 (++) 水平

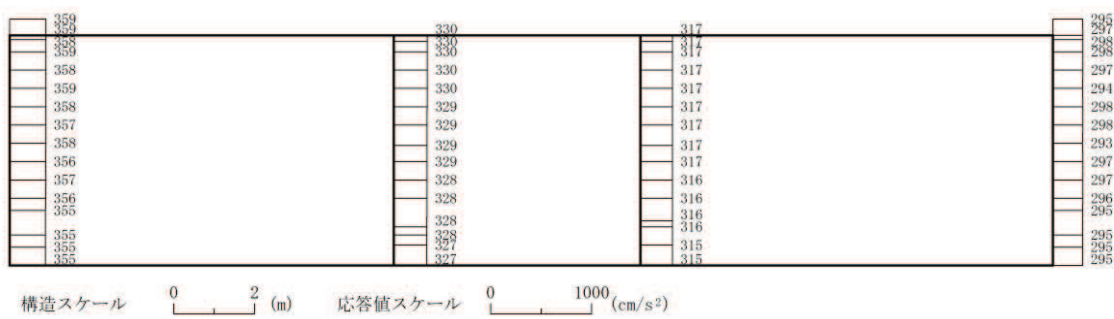


(b) Ss-F3 (++) 鉛直

図 4-149 最大加速度分布図 (27/56) (解析ケース④)



(a) Ss-N1 (++) 水平



(b) Ss-N1 (++) 鉛直

図 4-150 最大加速度分布図 (28/56) (解析ケース④)

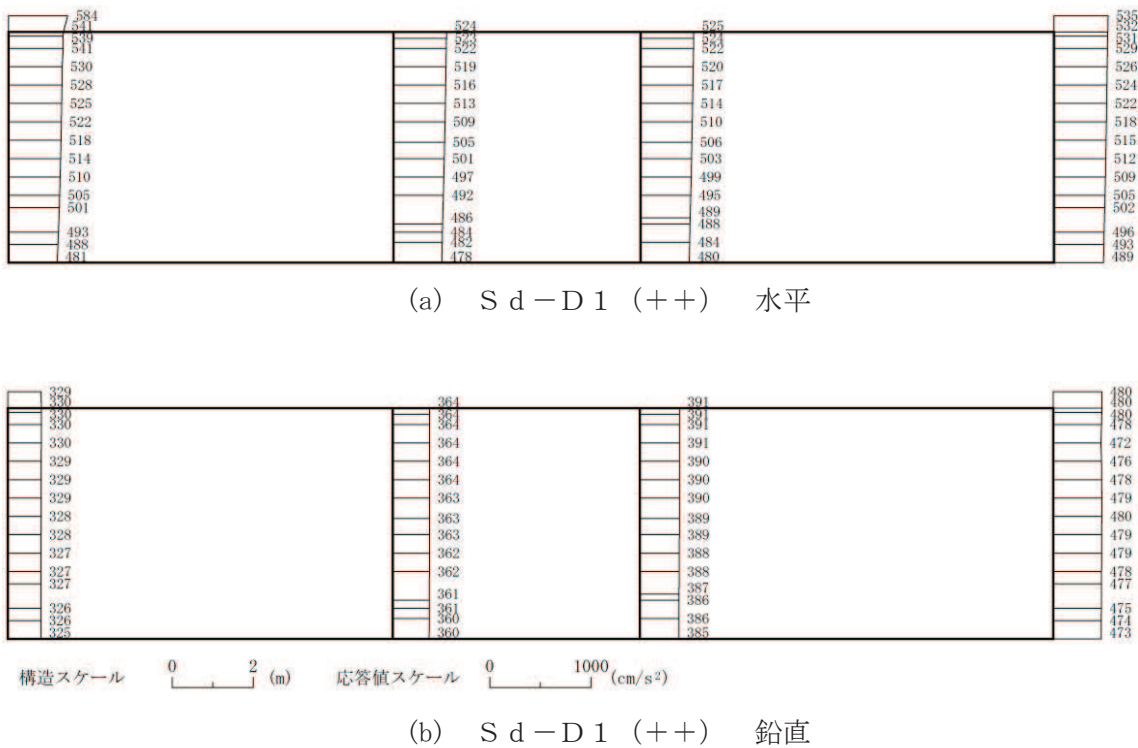
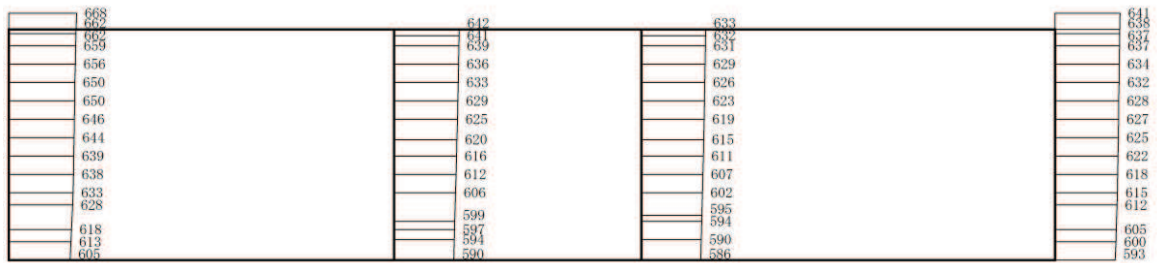
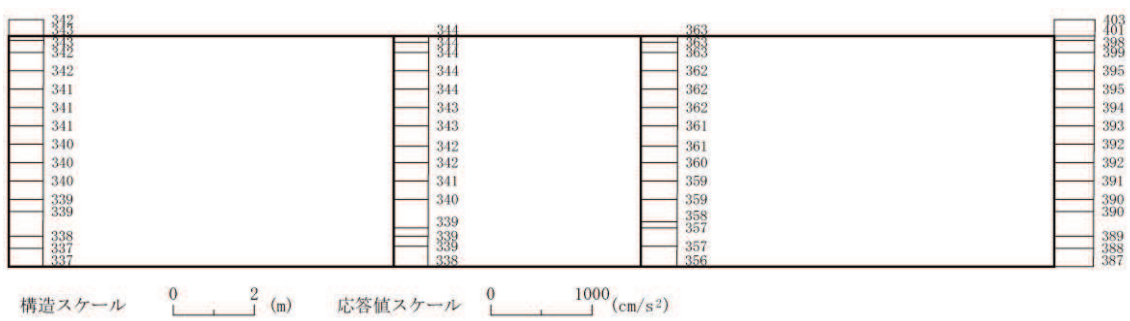


図 4-151 最大加速度分布図 (29/56) (解析ケース①)



(a) S d-D 2 (++) 水平



(b) S d-D 2 (++) 鉛直

図 4-152 最大加速度分布図 (30/56) (解析ケース①)

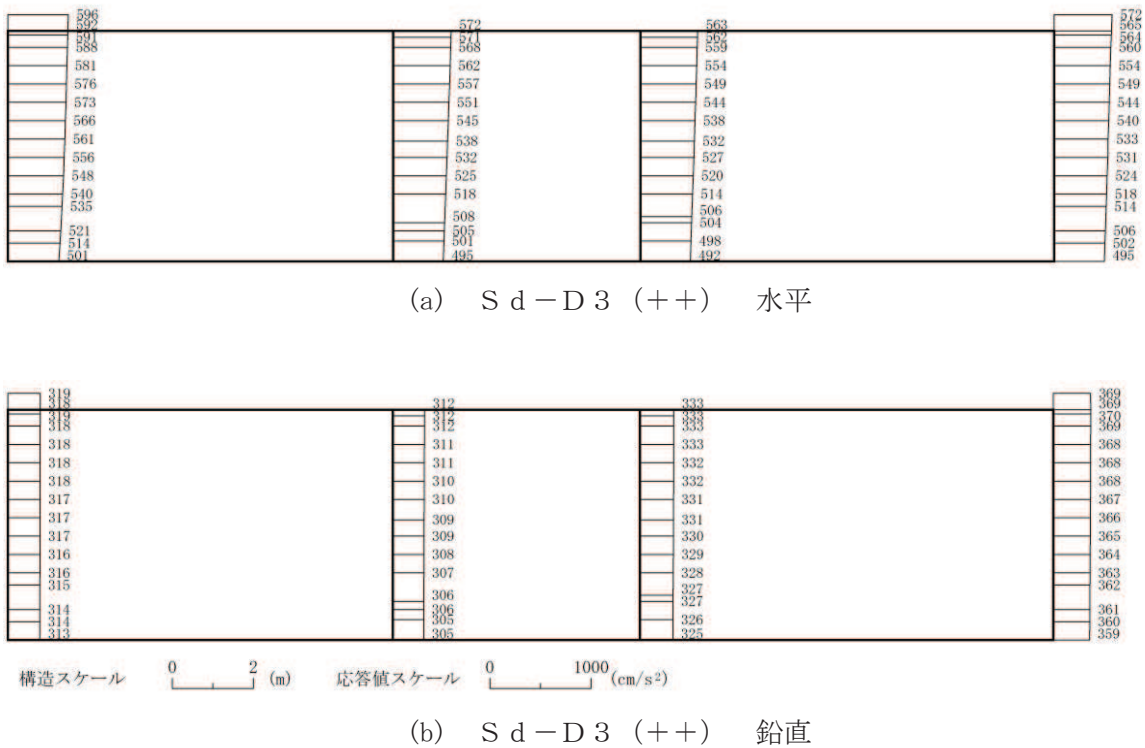
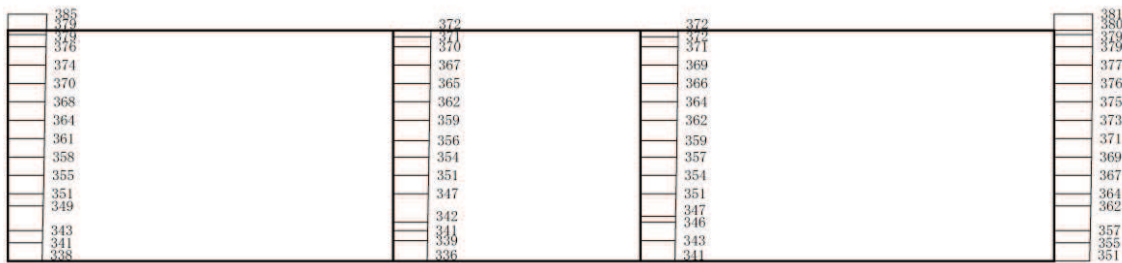
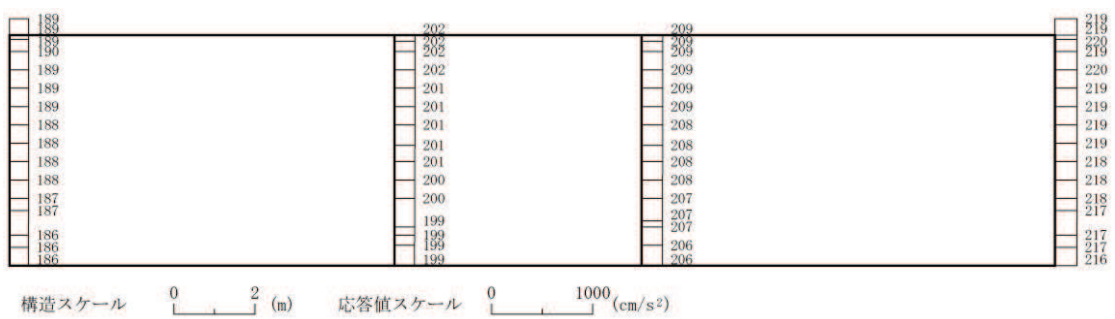


図 4-153 最大加速度分布図 (31/56) (解析ケース①)

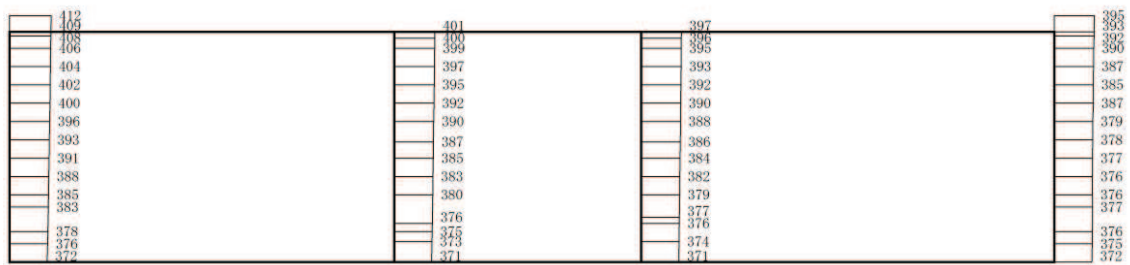


(a) S d-F 1 (++) 水平

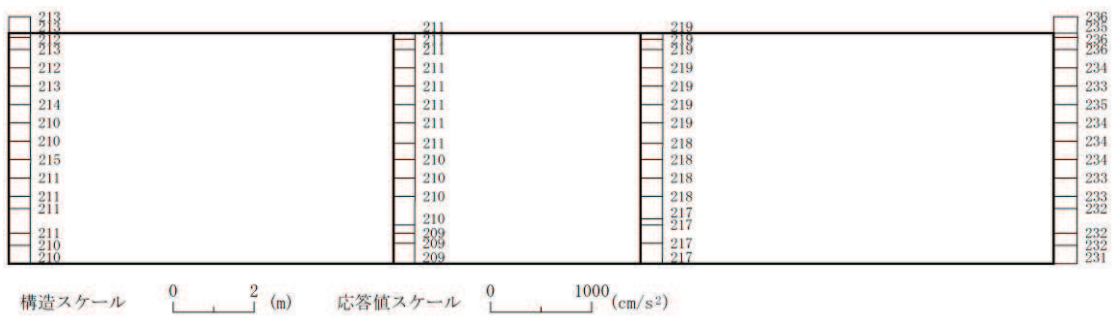


(b) S d-F 1 (++) 鉛直

図 4-154 最大加速度分布図 (32/56) (解析ケース①)

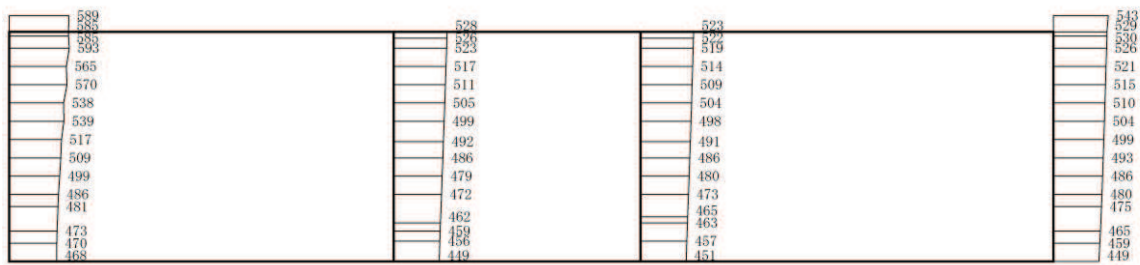


(a) S d - F 2 (++) 水平

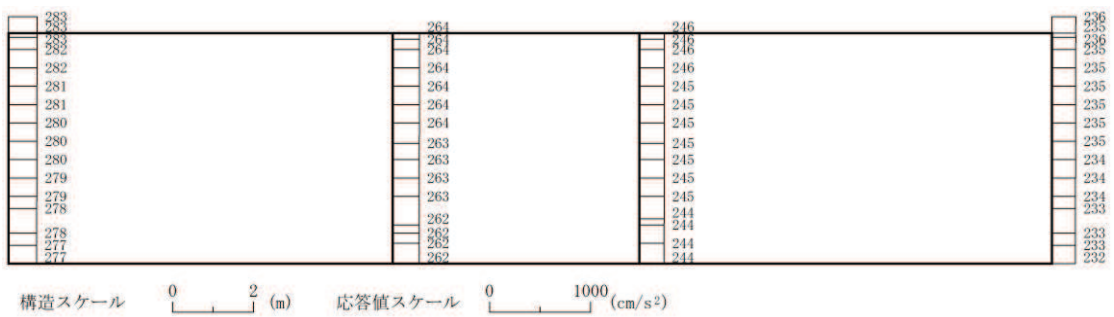


(b) S d - F 2 (++) 鉛直

図 4-155 最大加速度分布図 (33/56) (解析ケース①)



(a) S d - F 3 (++) 水平



(b) S d - F 3 (++) 鉛直

図 4-156 最大加速度分布図 (34/56) (解析ケース①)

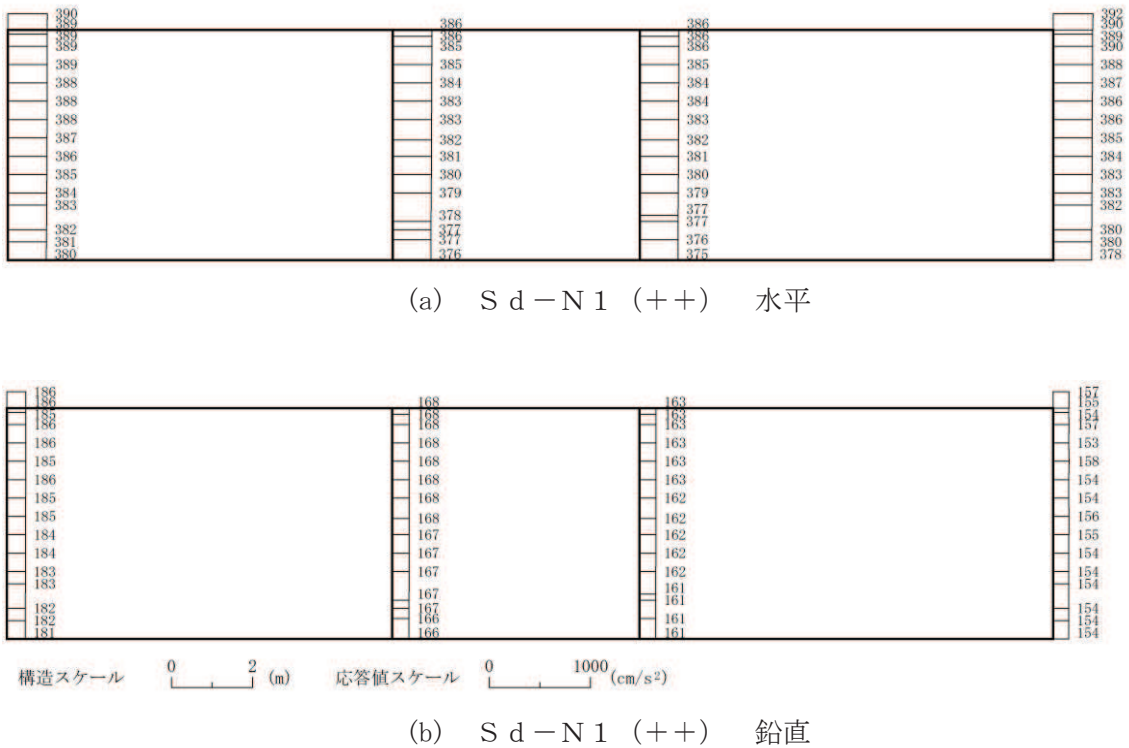


図 4-157 最大加速度分布図 (35/56) (解析ケース①)

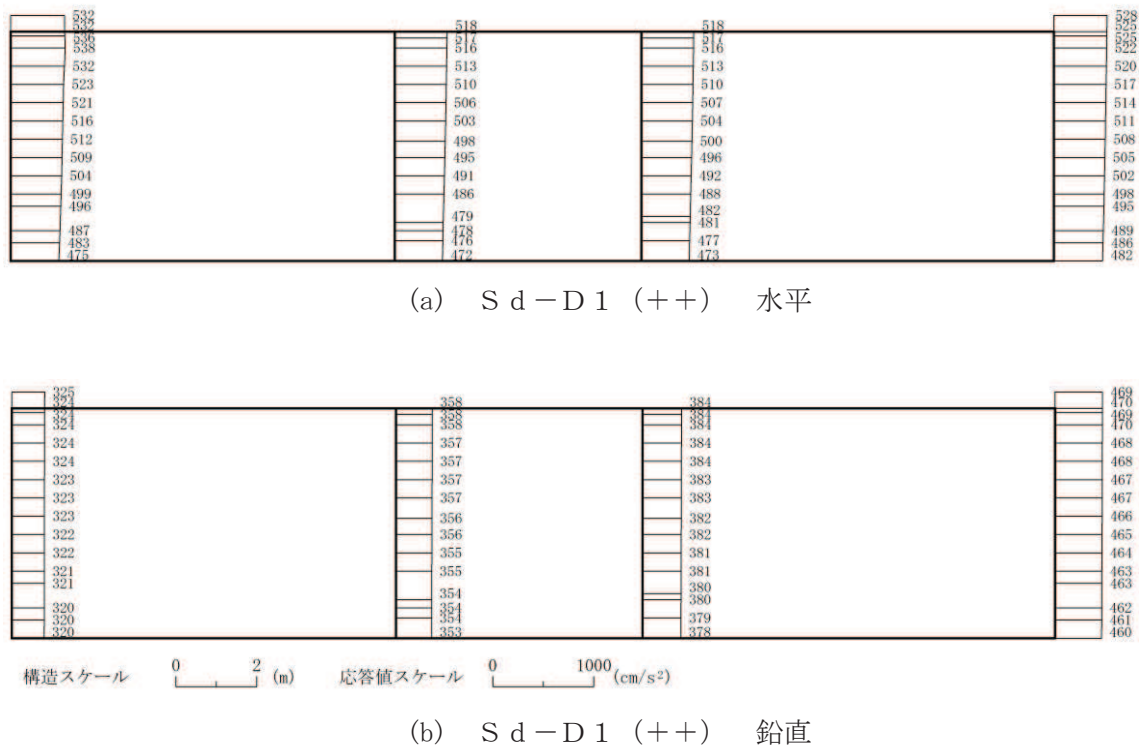


図 4-158 最大加速度分布図 (36/56) (解析ケース②)

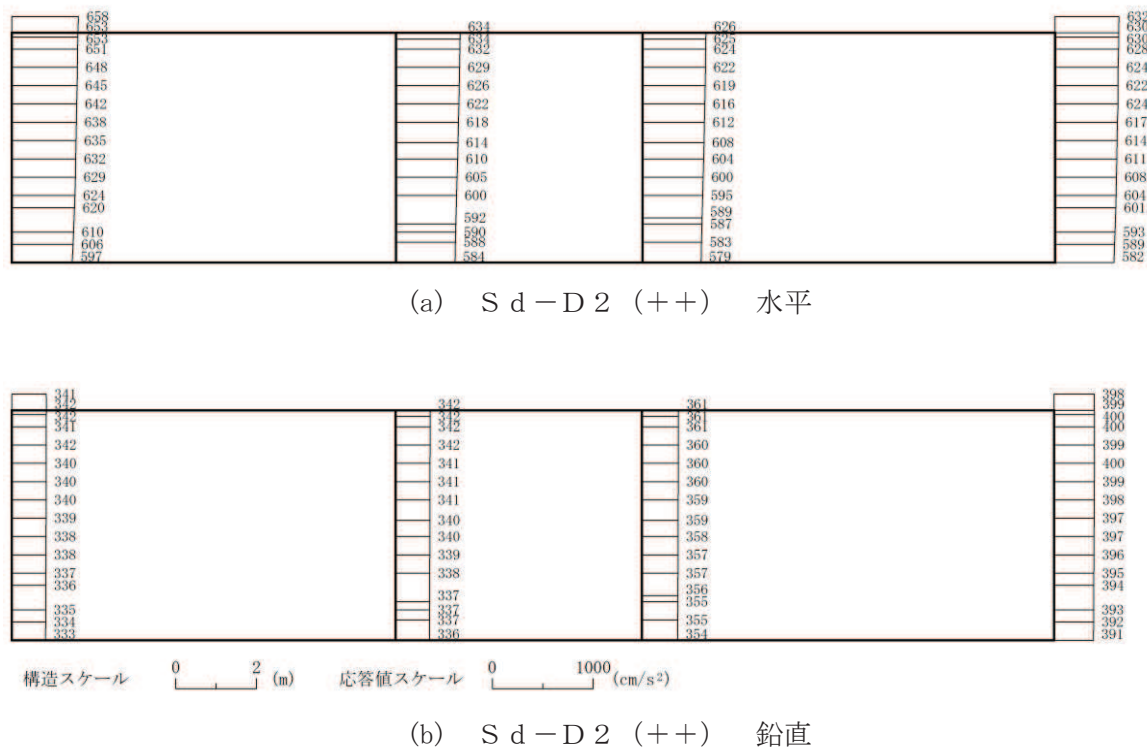
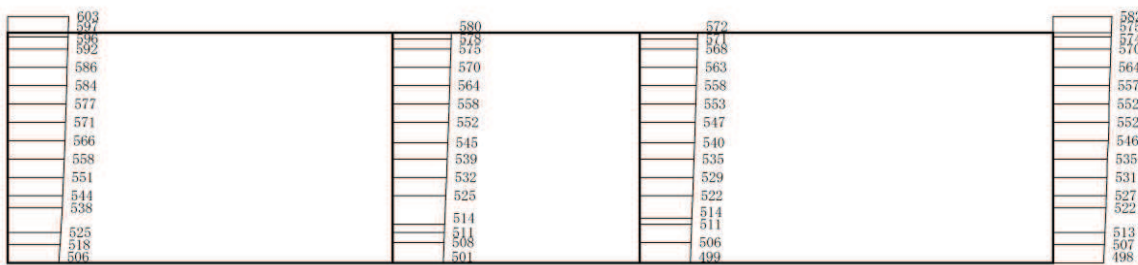
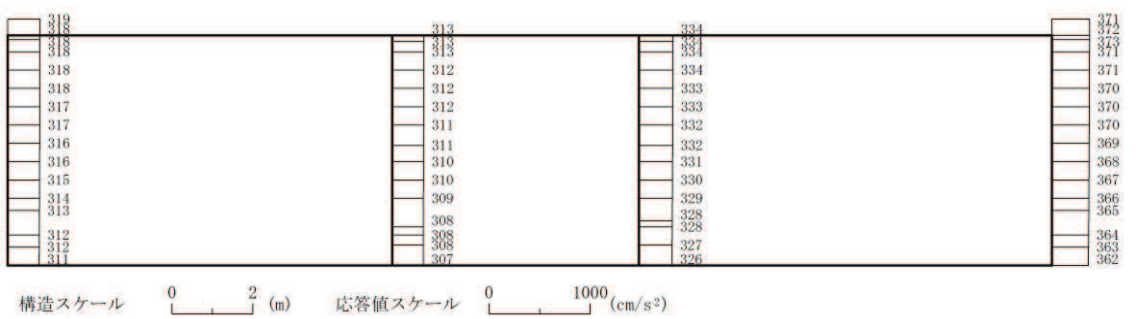


図 4-159 最大加速度分布図 (37/56) (解析ケース②)

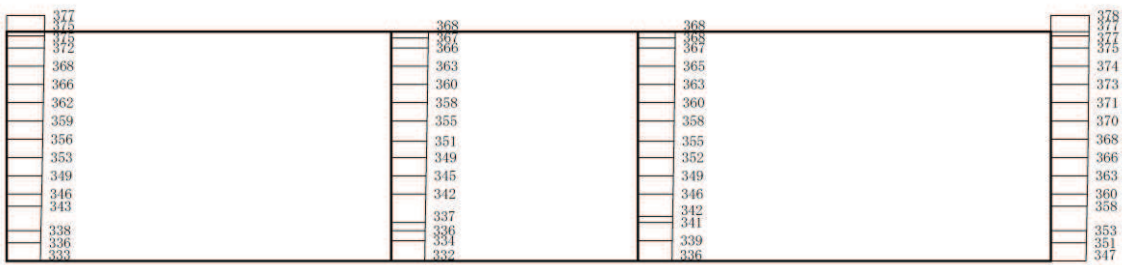


(a) S d - D 3 (++) 水平

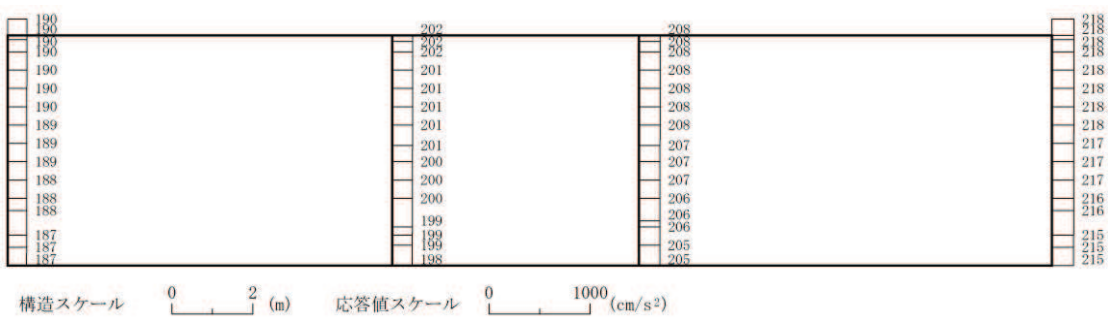


(b) S d - D 3 (++) 鉛直

図 4-160 最大加速度分布図 (38/56) (解析ケース②)



(a) S d - F 1 (++) 水平



(b) S d - F 1 (++) 鉛直

図 4-161 最大加速度分布図 (39/56) (解析ケース②)

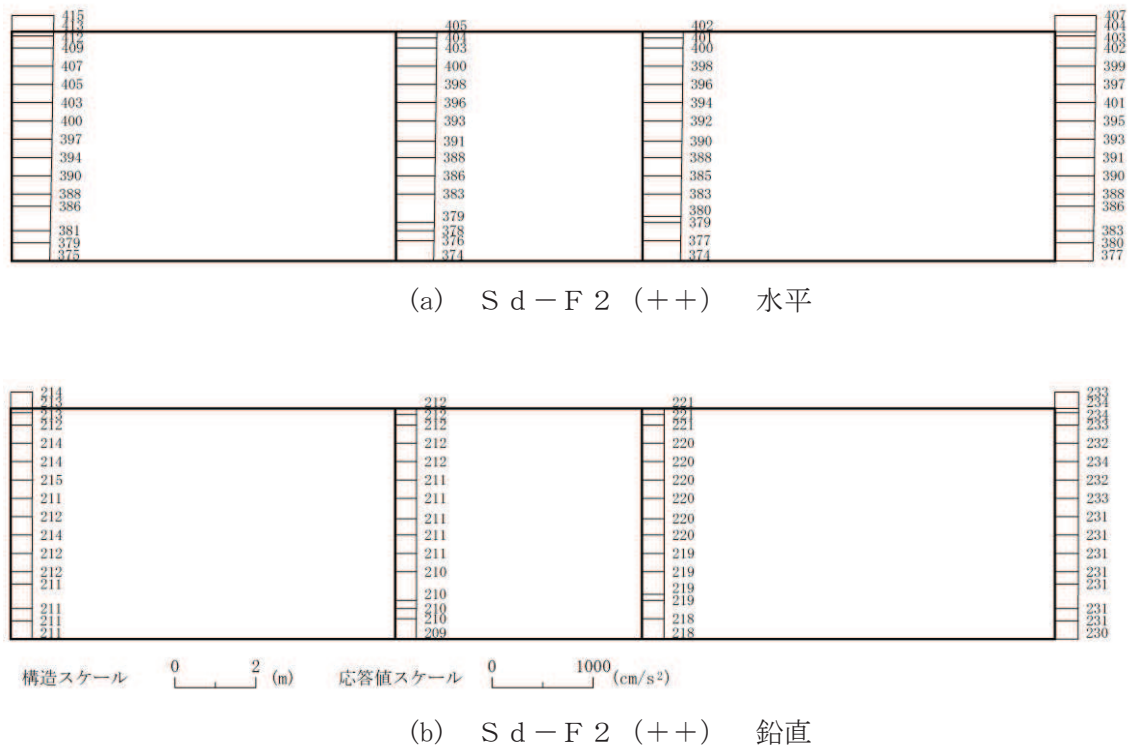
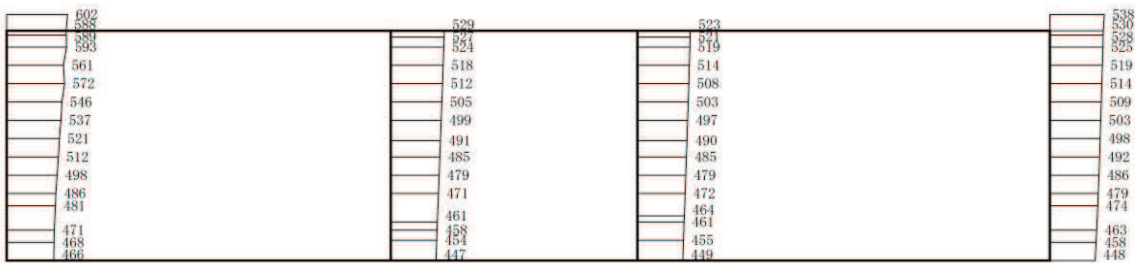
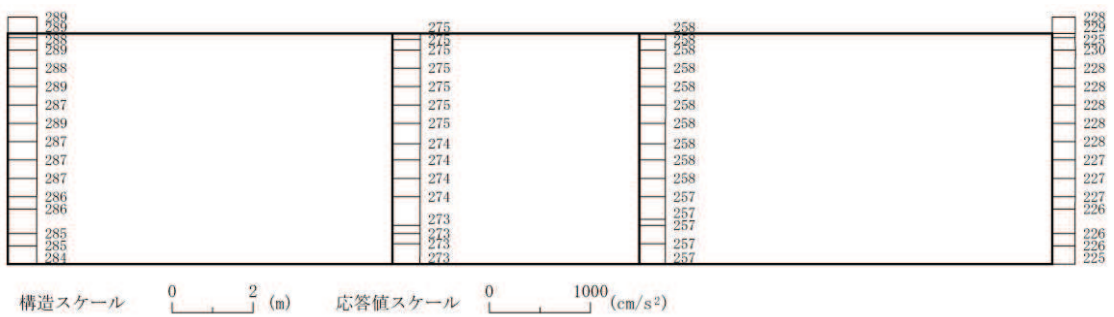


図 4-162 最大加速度分布図 (40/56) (解析ケース②)

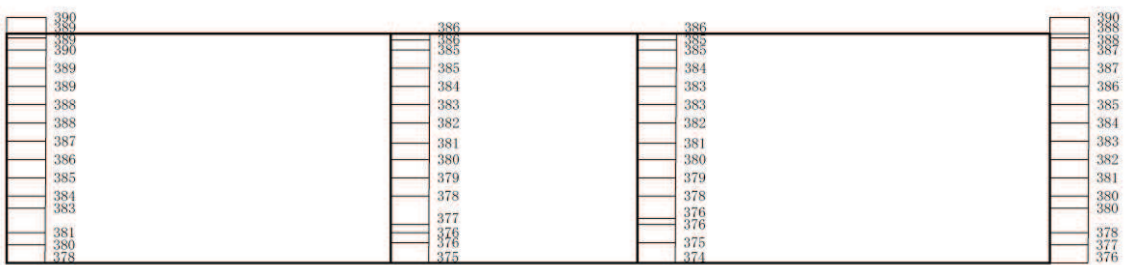


(a) S d - F 3 (++) 水平

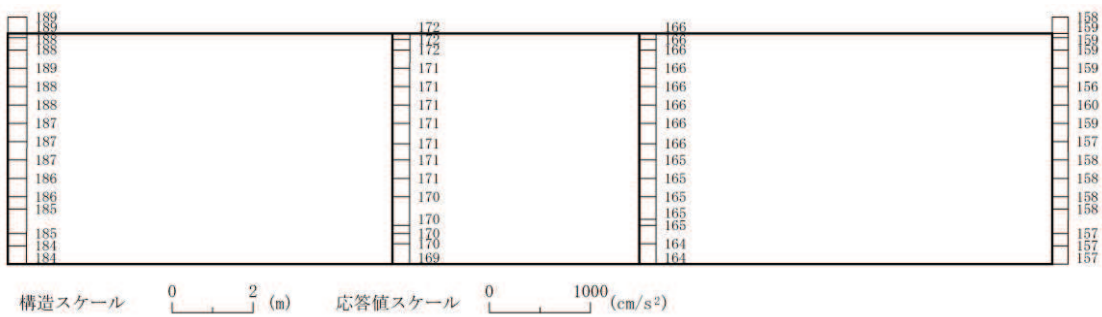


(b) S d - F 3 (++) 鉛直

図 4-163 最大加速度分布図 (41/56) (解析ケース②)

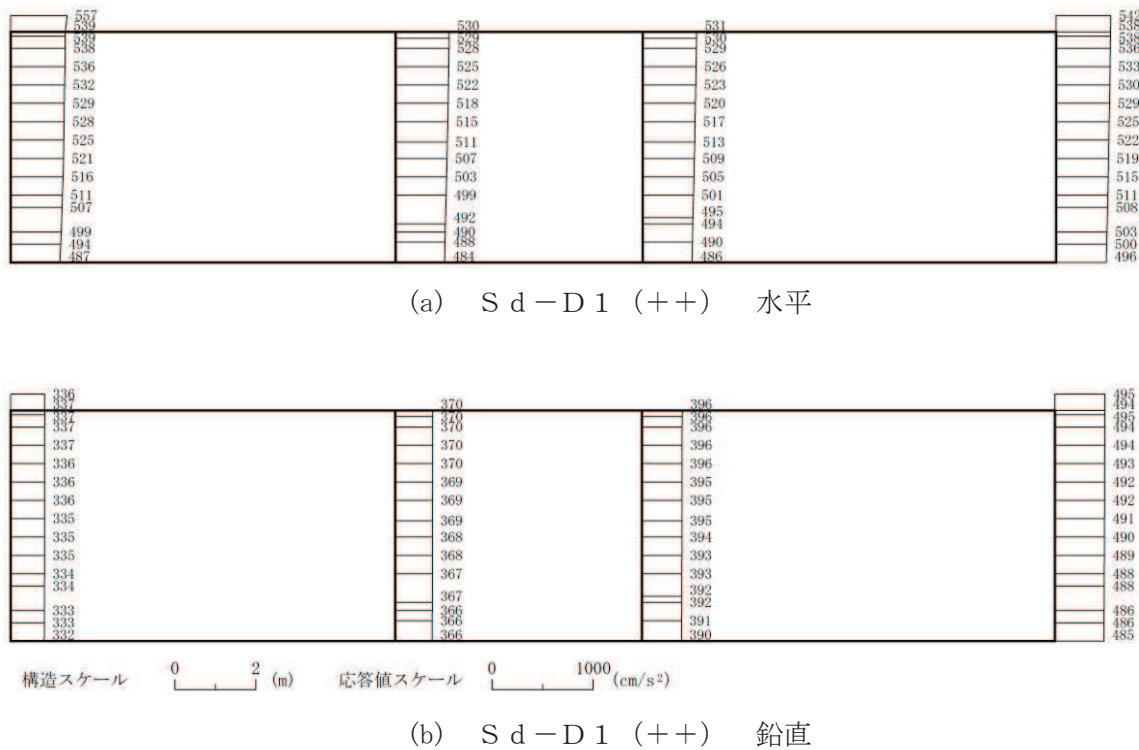


(a) S d - N 1 (++) 水平



(b) S d - N 1 (++) 鉛直

図 4-164 最大加速度分布図 (42/56) (解析ケース②)



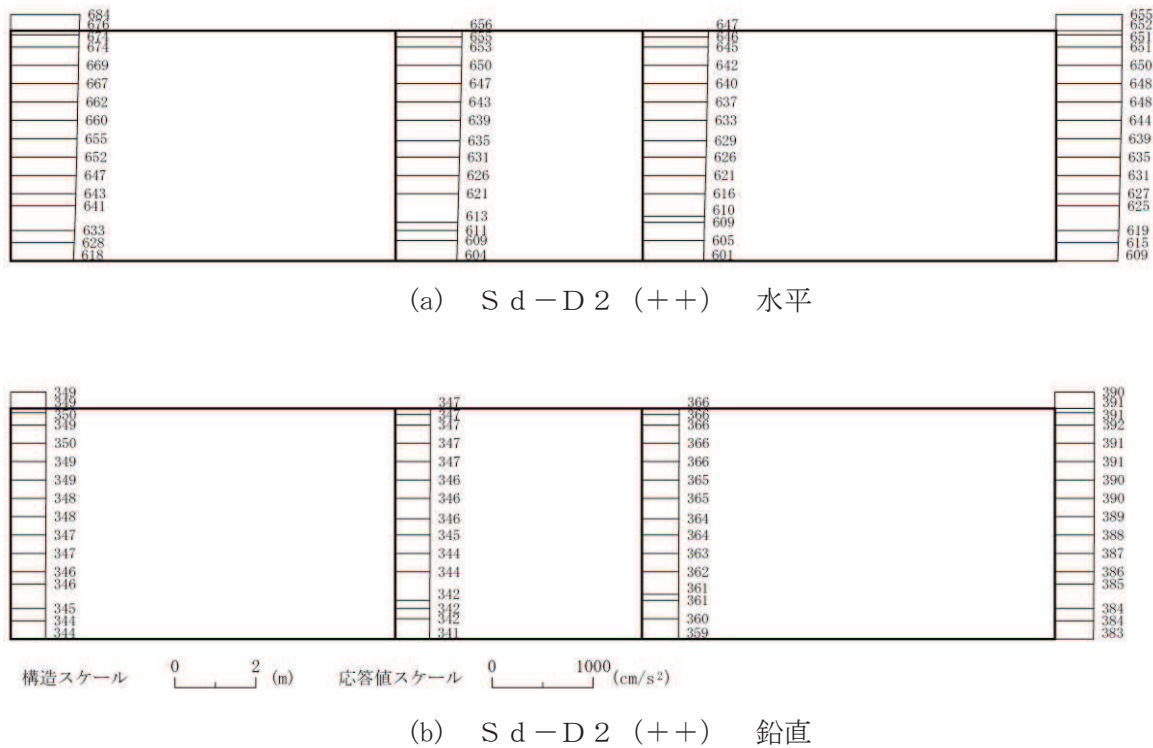


図 4-166 最大加速度分布図 (44/56) (解析ケース③)

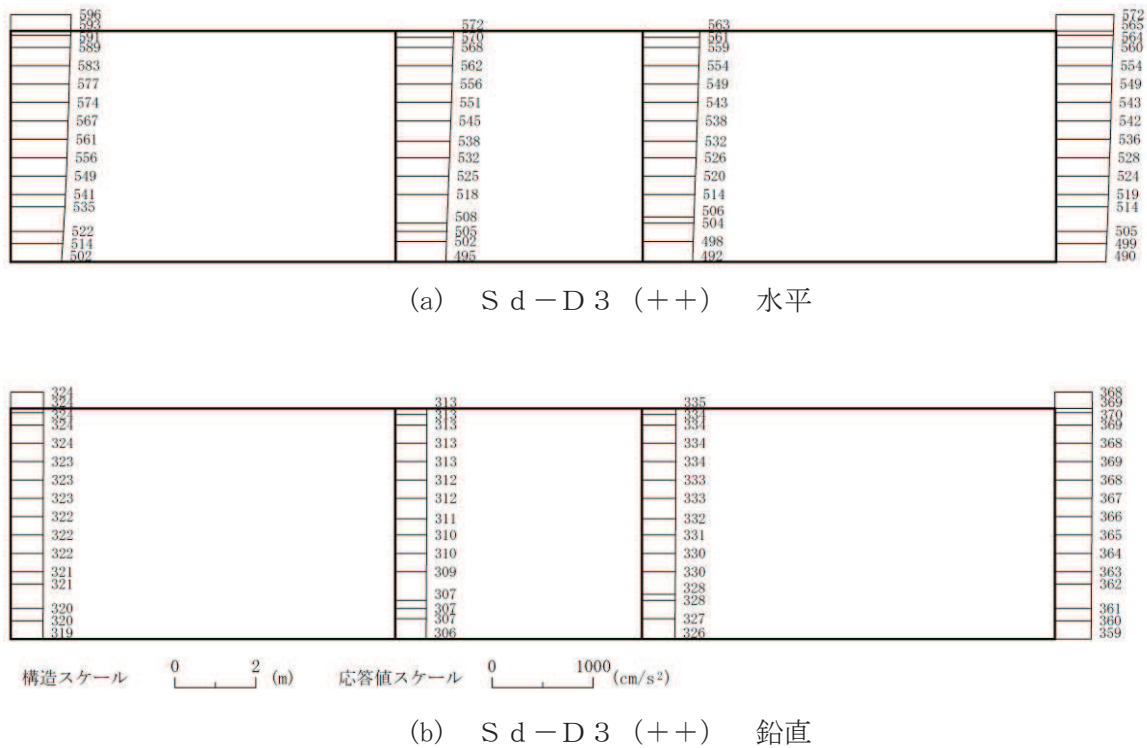


図 4-167 最大加速度分布図 (45/56) (解析ケース③)

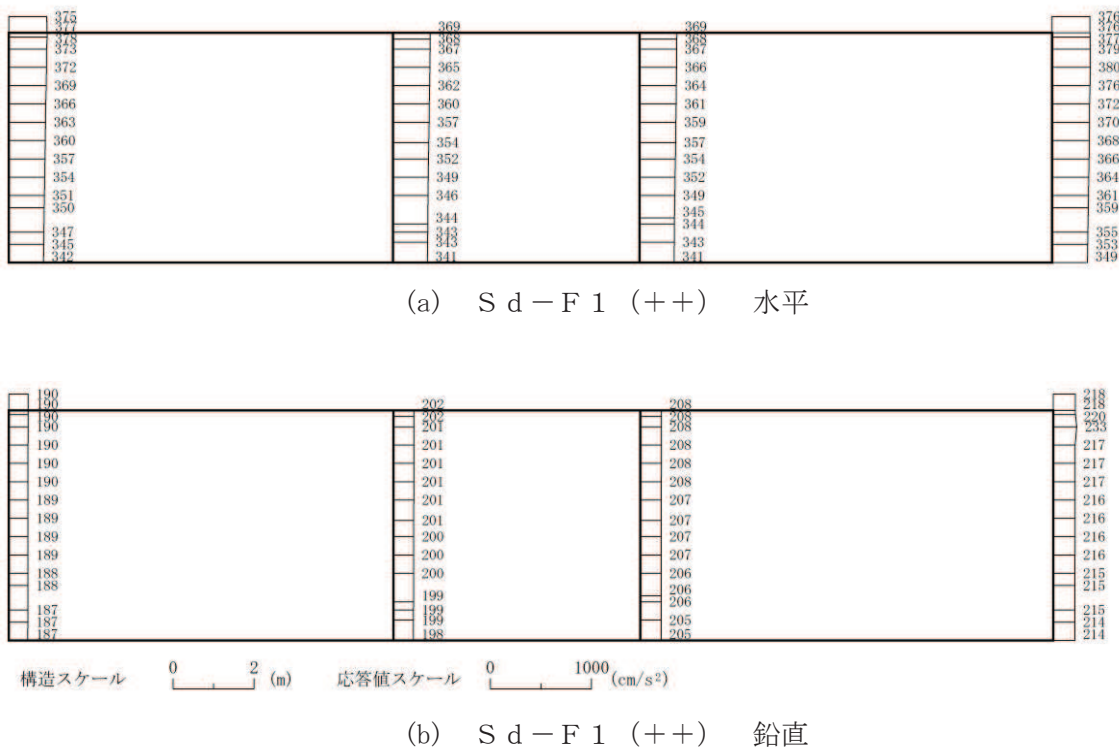
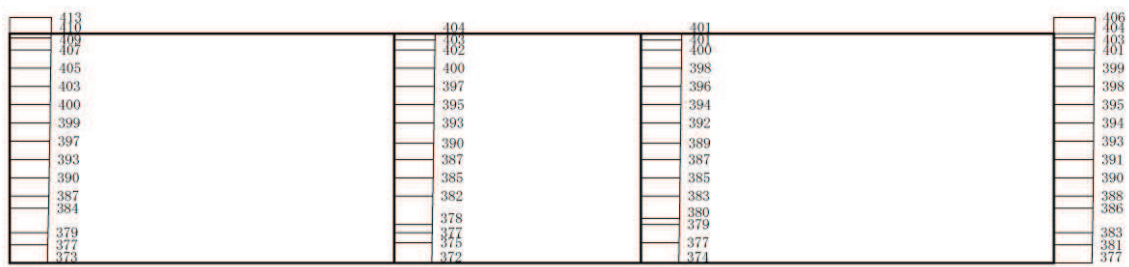
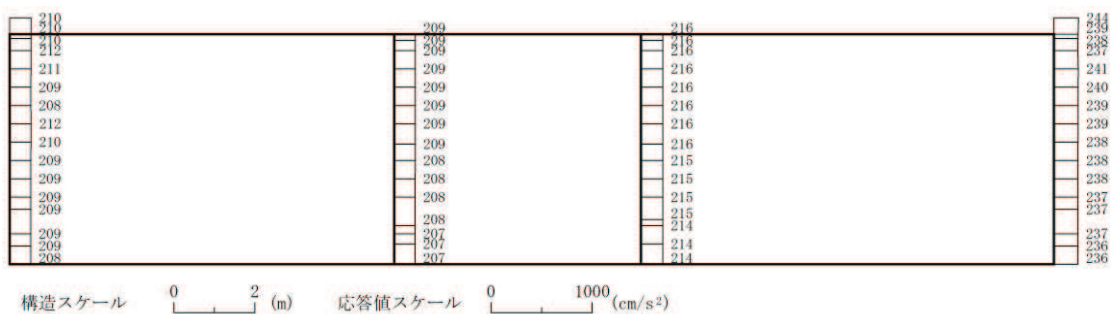


図 4-168 最大加速度分布図 (46/56) (解析ケース③)

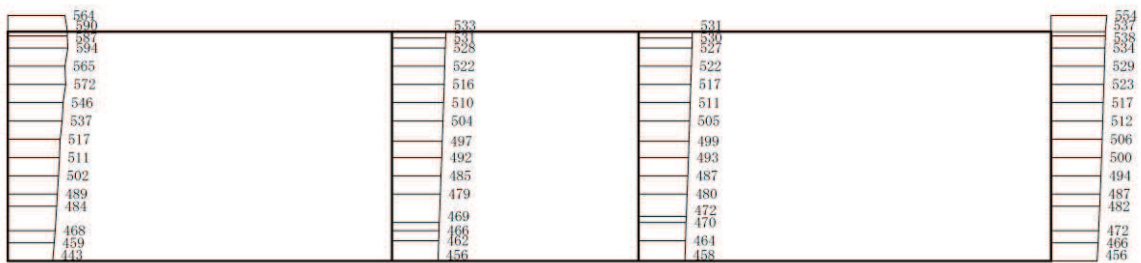


(a) S d - F 2 (++) 水平

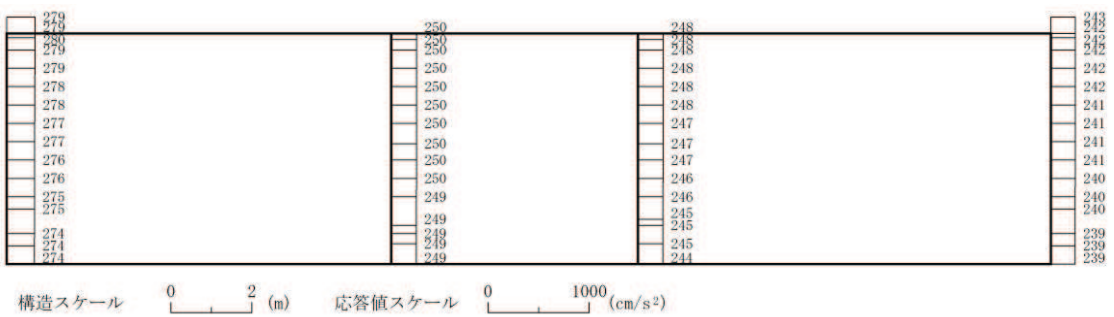


(b) S d - F 2 (++) 鉛直

図 4-169 最大加速度分布図 (47/56) (解析ケース③)

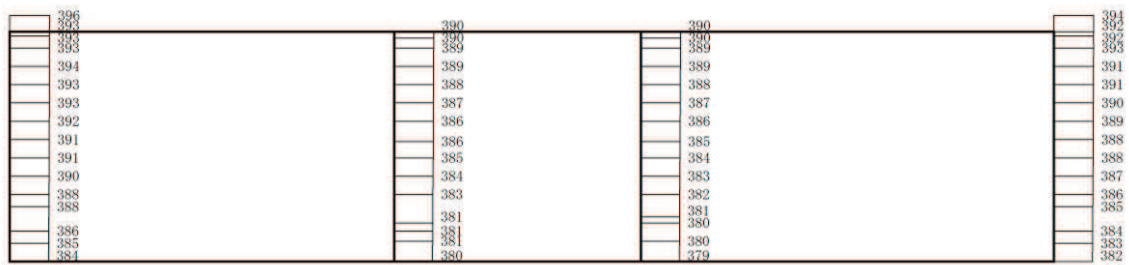


(a) S d - F 3 (++) 水平

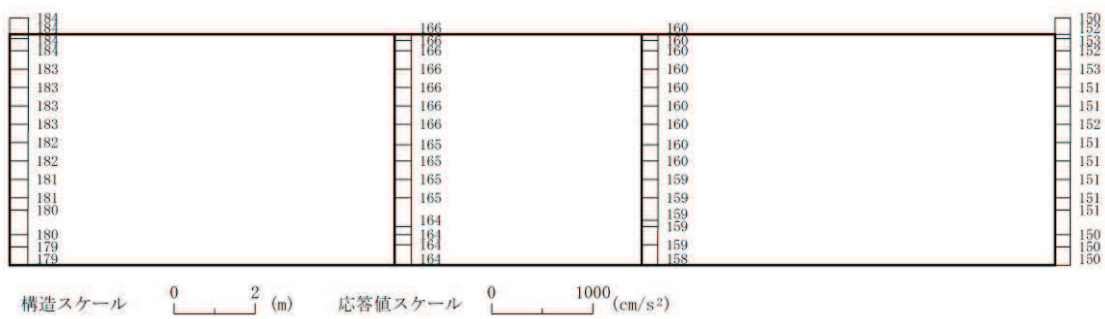


(b) S d - F 3 (++) 鉛直

図 4-170 最大加速度分布図 (48/56) (解析ケース③)



(a) S d - N 1 (++) 水平



(b) S d - N 1 (++) 鉛直

図 4-171 最大加速度分布図 (49/56) (解析ケース③)

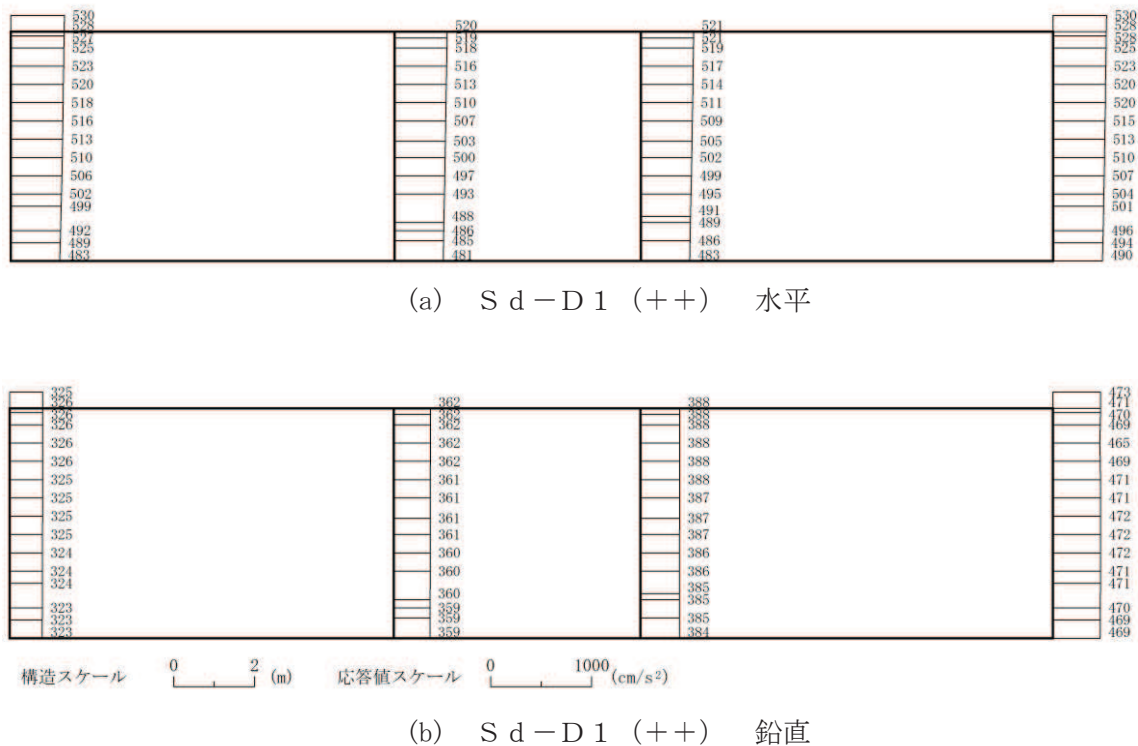


図 4-172 最大加速度分布図 (50/56) (解析ケース④)

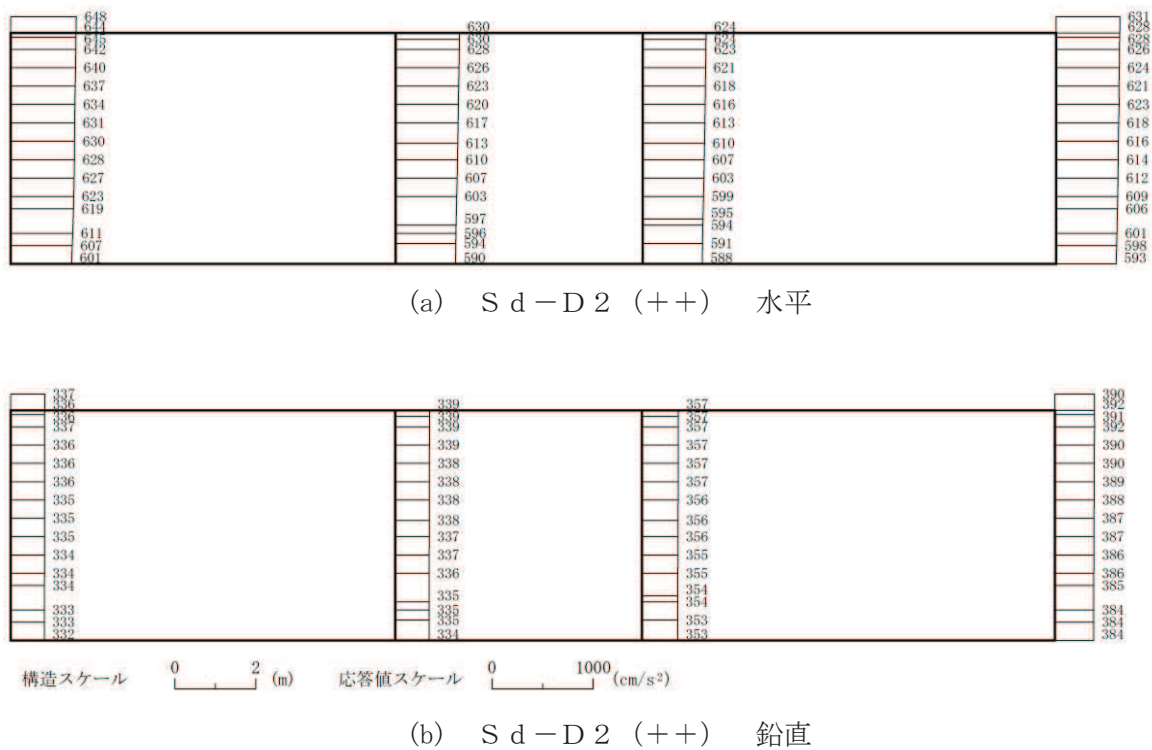


図 4-173 最大加速度分布図 (51/56) (解析ケース④)

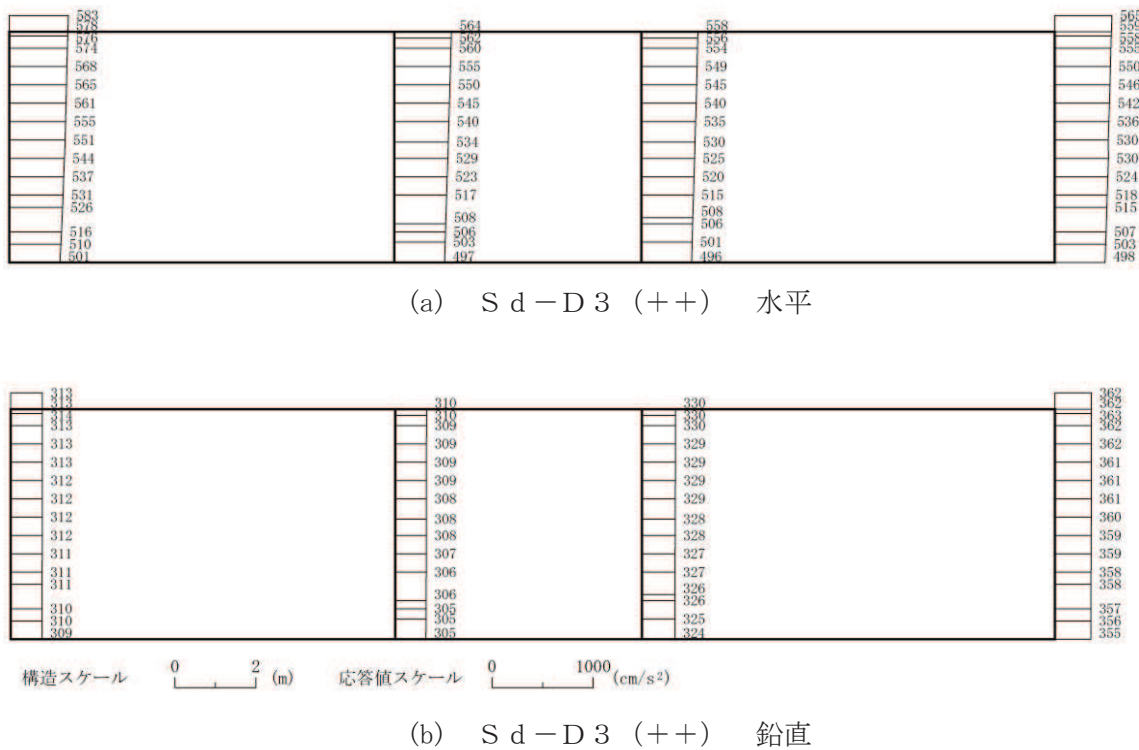
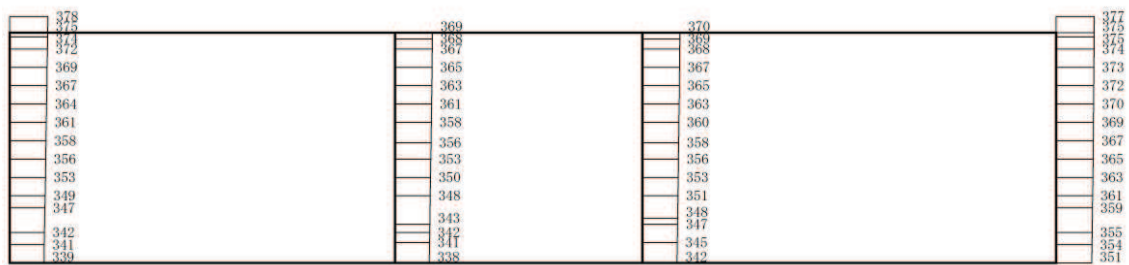
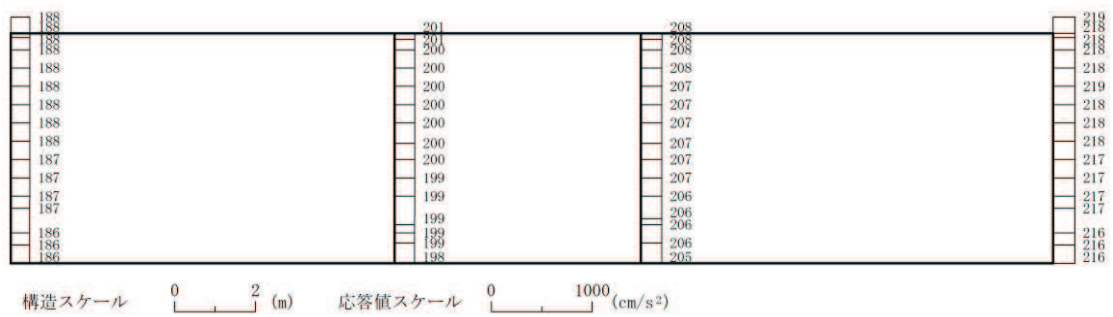


図 4-174 最大加速度分布図 (52/56) (解析ケース④)



(a) S d - F 1 (++) 水平



(b) S d - F 1 (++) 鉛直

図 4-175 最大加速度分布図 (53/56) (解析ケース④)

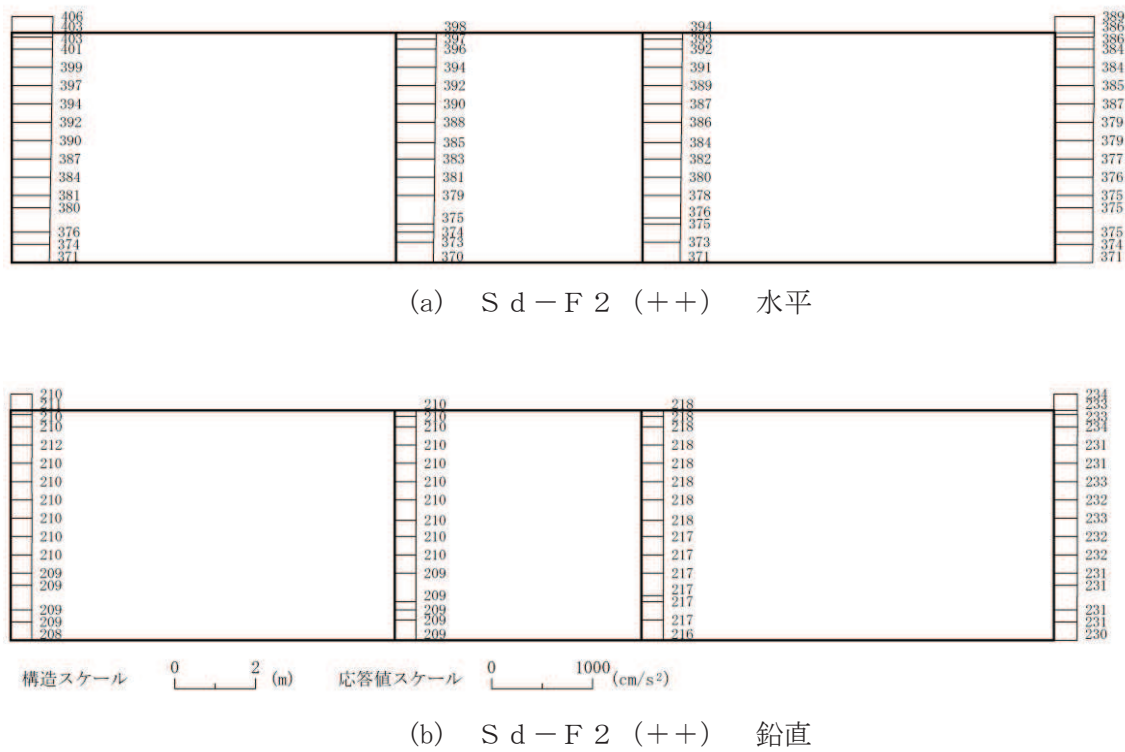
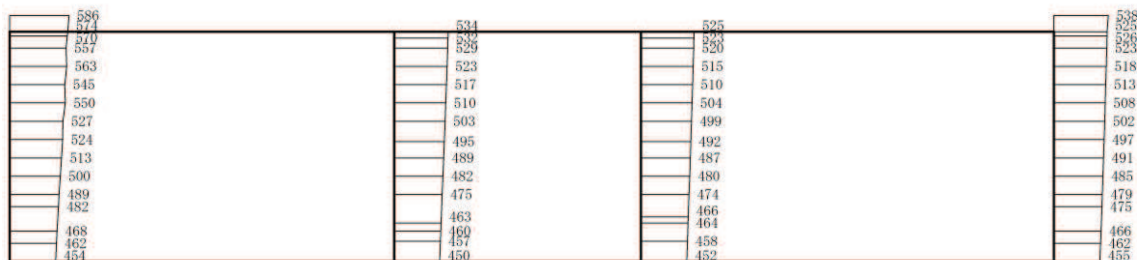
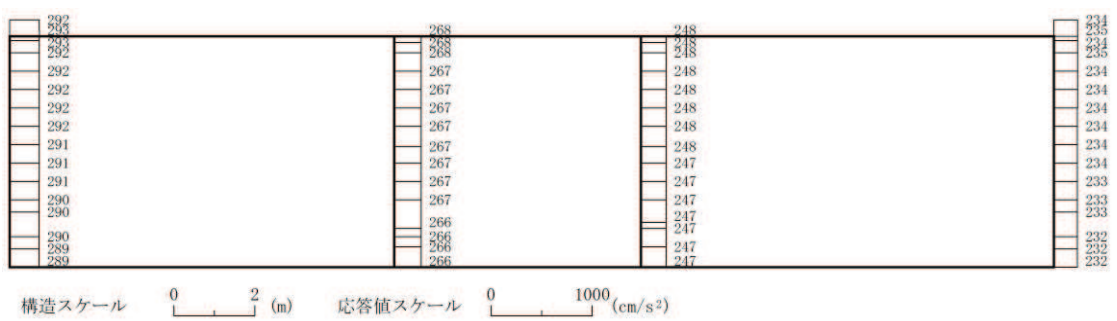


図 4-176 最大加速度分布図 (54/56) (解析ケース④)



(a) S d-F 3 (++) 水平



(b) S d-F 3 (++) 鉛直

図 4-177 最大加速度分布図 (55/56) (解析ケース④)

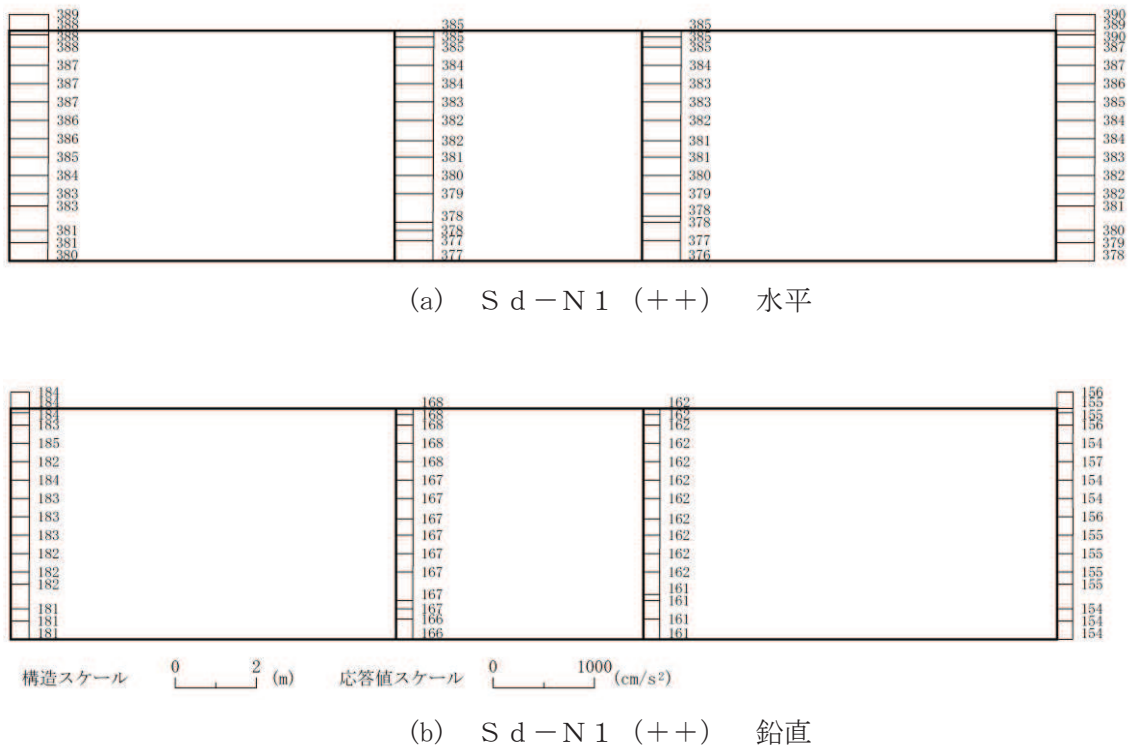


図 4-178 最大加速度分布図 (56/56) (解析ケース④)